

**O'ZBEKISTON RESPUBLIKASI OLIY VA O'RTA  
MAXSUS TA'LIM VAZIRLIGI**

---

**H. T. TO'RAYEV, A. THAVOV**

**NAZARIY MEXANIKA.  
STATIKA VA KINEMATIKA**

**1 Jild**

Professor H.T. To'rayev umumiy tahriri ostida

*O'zbekiston respublikasi Oliy va o'rta maxsus ta'lif vazirligi  
tamonidan oliy o'quv yurtlari talabalari uchun  
darslik sifatida tavsiya etilgan*

**«NOSHIR»  
TOSHKENT-2012**

**УДК: 531.1(075)**

**КБК 22.21**

**T 76**

**To'rayev N.T.**

**Nazariy mexanika. Statiştika va kinematika:** darslik; jild 1/  
N.T. To'rayev. — Toshkent: Noshir, 2012. 304 bct.

**КБК 22.21**

### **T a q r i z c h i l a r :**

**J. Aqilov**— fizika-matematika fanlari doktori, professor;

**J. Qayumov** — fizika-matematika fanlari nomzodi, dotsent.

Mazkur darslikning statika qismida statikaning asosiy aksiomalari, tekislikda kesishuvchi kuchlar, parallel kuchlar, taqsimlangan kuchlar, ishqalanish va fermalar hisobi hamda fazoda kuchlar tizimlariga doir masalalar bayon etilgan.

Kinematika qismida esa nuqta kinematikasi, qattiq jismning ilgarilanma va qo'zgalmas o'q atrofidagi aylanma harakati, tekis harakati, qo'zg'almas nuqta atrofidagi harakati, moddiy nuqtaning murakkab va qattiq jismning murakkab harakatlari kabi masalalar yoritilgan.

Har bir mavzu bo'yicha masalalarni yechishga doir ushubiy ko'rsatmalar va masalalar yechib ko'rsatilgan, muammoli masala va topshiriqlar hamda mustaqil ishlash uchun savollar berilgan.

Mazkur darslik Otiy o'quv yurtlarining 5440200-Mexanika, 5460100-Matematika, 5480100-Amaliy matematika va informatika yo'nalishlari bo'yicha bakalavriat hamda 5A440201-Nazariy mexanika, 5A480104-Matematik modellashtirish, 5A480103-Amaliy matematika va informatsion texnologiyalar, 5A460102-Differensial tenglamalar magistratura mutaxassisliklari bo'yicha ta'lim olayotgan ta'abalarga mo'ljallangan. Bundan tashqari, darslikdan professor-o'qituvchilar, aspirantlar va ilmiy xodimlar ham foydalaniishlari mumkin.

---

## KIRISH

Nazariy mexanika fani moddiy jismlarning o'zaro ta'sirini, mexanik harakatning umumiylarini va muvozanat shartlarini o'rGANADI.

Tabiatdag'i barcha jismlar materiyadan iboratdir. Nazariy mexanikada materiyaning alohida fizik-kimyoiy xossalari e'tiborga olinmaydi. Materiya doimo harakatda bo'lganligidan, uni vaqt va fazodan ajratib tasvirlab bo'lmaydi. Nazariy mexanikaning vazifasi moddiy jisnlarning vaqt o'tishi bilan fazoda bir-birlariga nisbatan qo'zg'alishlarni o'rGANISH hamda jismlarning muvozanatda bo'lish hollarini tekshirishdan iborat.

Nazariy mexanika kursi, odatda, klassik mexanika deb ataladi. Klassik mexanikada moddiy jismlarning o'zaro mexanik ta'sirini va bu ta'sir natijasida holati hamda harakatini hisobga olishga asos solgan — Shaqning X—XI asrlarida ijod etgan buyuk mutafakkirlari Abu Ali ibn Sino, Abu Rayhon Beruniy va italiya olimi Galilyeo Galilley (1564—1642), ingлиз matematigi va mexanigi Isaak Nyuton (1642—1727) lar hisoblanadi. Mexanik ta'sir natijasida moddiy jismlarning shakli (uni tashkil qiluvchi zarralarning joylashish tartibi), holati va harakati o'zgaradi. Mexanik ta'sirni tavsiflovchi omil sifatida kuch tushunchasi kiritiladi.

Nazariy mexanika qo'yilgan masalalarining qanday nuqtayi nazaridan tekshirishiga qarab, uch qismga bo'linadi: *statika*, *kinematika* va *dinamika*.

Ushbu darslikda nazariy mexanikaning *statika* va *kinematikaga* doir masalalari o'rGANILADI. Kitobning asosi sifatida hammuallif A.Tilavov tomonidan Samarqand davlat universiteti talabalariga uzluksiz o'qilayotgan ma'ruzalar olingan. Uning tarkibi va mazmuniga Moskva, Sankt-Peterburg, Nijniy Novgorod, Kiev va O'zbekiston milliy universitetlari kafedralari bilan ilmiy, o'quv-uslubiy sohalaridagi hamkorlik hamda universitet talabalariga mexanika fanining yetuk olimlari V.G. Vilke, V.K. Prokopov,

Yu.I. Neymark, N.A.Fufayev, N.V. Butenin, I.A.Kukles, H.R. Rahimov, T.N.Nurov va T.Sh. Shirinqulovlar tomonidan o'qilgan ma'ruzalarning ham ijobiy ta'siri bor.

Darslik 11 bobdan iborat. Birinchi bobda statikaning asosiy tushunchalari, aksiomalari, bog'lanishlar hamda ularning turlari, bир nuqtada kesishuvchi kuchlar sistemasi va ularning muvozanat shartlari, markazga va o'qqa nisbatan kuch hamda kuchlar sistemasining momenti, tekislikda kuchlar sistemasining xos-salari, kuch va kuchlar sistemasining nuqtaga hamda o'qqa nisbatan momentiga doir masalalarning yechimi keltirilgan.

**Ikkinci bobda** bir tomonga yo'nalgan ikki parallel kuchlar sistemasi, qarama-qarshi tomonga yo'nalgan ikkita parallel kuchlar sistemasi, tekislikda juft kuchlar sistemasi va ularning muvozanat shartlariga doir nazariyalar, bir tekislikda yotgan parallel kuchlar sistemasininig muvozanat shartlari, tekislikda ixtiyoriy ravishda joylashgan kuchlar sistemasining muvozanat shartlari, paralel kuchlar markazi, og'irlik markazi, og'irlik markazining koordinatalarini topish usullari, ba'zi oddiy jismlarning og'irlik markazini aniqlash, Gulden-Pap teoremlari kabi masalalar bayon etiladi.

**Uchinchi bobda** taqsimlangan kuchlar, to'gri chiziq kesmasi bo'yicha doimiy intensivlik bilan taqsimlangan parallel kuchlar, to'g'ri chiziq kesmasi bo'yicha taqsimlanish intensivligi chiziqli qonun bilan o'zgaruvchi parallel kuchlar, balkaning qistirilgan nuqtasining reaksiyasi, taqsimlangan kuchlarga doir masalalar, qattiq jismlar sistemasining muvozanati, qattiq jismlar sistemasining muvozanatiga doir masalalar bayon etiladi.

**To'rtinchi bobda** sirpanishdagi ishqalanish qonunlari, yumalashda hosil bo'ladigan ishqalanish kuchi, ferma sterjenlaridagi zo'riqishlarning tugunlarni qirqish usuli bilan topish, ishqalanish kuchi tufayli yuzaga keladigan jismlar muvozanatini tekshirishga doir masalalarni yechish uchun uslubiy tavsiyalar, yumalashda hosil bo'ladigan ishqalanish kuchini topishga doir masalalar, fermalar hisobiga doir masalalarning tugunlarini qirqish usuli bilan yechishga doir uslubiy tavsiyalar bayon etiladi.

**Beshinchi bobda** fazoda ta'sir chiziqlari bir nuqtada kesishuvchi va ixtiyoriy ravishda joylashgan kuchlar sistemasining muvozanat shartlari, juftlar sistemasini qo'shish, fazoda ixtiyoriy ravishda joylashgan kuchlar sistemasini berilgan markazga va ularni bitta bosh vektorga hamda bosh momentga keltirish, bosh vek-tor va bosh momentni hisoblash formulalari, kuchlar sistemasini keltirishning xususiy hollari, fazoda parallel kuchlar sistemasining muvozanat shartlari, fazoda kesishuvchi kuchlar sistemasining muvozanatiga doir masalalarni yechish uslubi, kuchlar sistemasini keltirishga doir masalalar, fazoda ixtiyoriy ravishda joylashgan kuchlar sistemasining muvozanatiga doir masalalarni yechish bo'yicha tavsiyalar bayon etiladi.

**Oltinchi bobda** kinematikaning asosiy tushunchalari, nuqta harakatining berilish usullari, nuqtaning trayektoriya bo'ylab harakat qonuniga doir masalalarni yechish bo'yicha uslubiy tavsiyalar, moddiy nuqtaning tezligi, nuqta tezligini topishga doir masalalarni yechish bo'yicha uslubiy tavsiyalar, moddiy nuqtaning tezlanishi, differensial geometriyadan ba'zi ma'lumotlar, harakati tabiiy usulda berilgan nuqtaning tezlanishi, nuqtaning tekis va tekis o'zgaruvchan harakati, aylana bo'ylab harakatlanuvchi nuqtaning tezlanishi, nuqta tezlanishining qutb koordinatalaridagi ifodasi, nuqta tezlanishini topishga doir masalalarni yechish bo'yicha uslubiy tavsiyalar, egri chiziqli koordinatalar, sferik koordinatalar sistemasi, tezlikning egri chiziqli koordinatalardagi ifodasi, tezlanishning egri chiziqli koordinatalardagi ifodasi, egri chiziqli koordinatalar sistemasida nuqta tezligi va tezlanishini topishga doir uslubiy tavsiyalar kabi masalalar bayon etilgan.

**Yettinchi bobida** mexanik sistema va qattiq jismning erkinlik darajasi, qattiq jismning ilgarilanma harakati, qattiq jismning qo'zg'almas o'q atrofidagi aylanma harakati, qattiq jismning ilgarilanma va qo'zg'almas o'q atrofidagi aylanma harakatiga doir masalalar yechish bo'yicha uslubiy tavsiyalar bayon etilgan.

**Sakkzinchi bobda** qattiq jismning tekis parallel harakatiga doir asosiy tushunchalar, tekis shakl nuqtalarining tezliklari va tezlanishlari, tezlanishlar oniy markazi, tekis shaklning o'z

tekisligidagi harakat tenglamasi, qattiq jismning tekis parellel harakatiga doir masalalarni yechish bo'yicha uslubiy tavsiyalar berilgan.

**To'qqizinchi bobda** bitta qo'zg'almas nuqtaga ega bo'lagn qattiq jismning harakat tenglamalari, oniy aylanish o'qi, aksoidlar, bitta qo'zg'almas nuqtaga ega bo'lgan qattiq jismning oniy burchak tezligi va oniy burchak tezlanishi, Eyler va Krilov burchaklari, burchak tezlanishini hisoblash, qattiq jismning bitta qo'zg'almas nuqta atrofidagi harakatiga doir masalalarni yechish bo'yicha uslubiy tavsiyalar yoritilgan.

**O'ninchи bobda** moddiy nuqtaning murakkab harakati to'g'risidagi asosiy ta'riflar, vektorming absolut va nisbiy hosilalalri, tezliklar hamda tezlanishlarni qo'shish haqidagi teoremlar, nuqtaning murakkab harakatiga doir masalalarni yechish bo'yicha uslubiy tavsiyalar bayon etilgan.

**O'nbirinchi bobda** qattiq jismning ilgarilanma va aylanma harakatlarini qo'shish, qattiq jism harakatlarini qo'shishning umumiyligi, qattiq jismning murakkab harakatiga doir masalalarni yechish bo'yicha uslubiy tavsiyalar, planetar va differerensial tishli uzatmalarining burchak tezliklarini topishga doir masalalar yoritilgan.

Nazariy masalalarni bayon etishda misol va masalalardan keng foydalilanigan, har bir paragrafning oxirida mustaqil ishlash uchun masalalar, savol va topshiriqlar berilgan.

Oliy o'quv yurtlari talabalari uchun «Nazariy mexanika» fanidan o'zbek tilida marhum ustozimiz M. O'rozboyev, P. Shohaydarova va J. Zoirov, T.R. Rashidov, Sh. Shoziyotov va K.B. Mo'minov, Yu.N.Yoqubov va S.A. Saidov, S. Q. Aziz-Qoriyev tomonidan yaratilgan kitoblar «Nazariy mexanika» fanini o'qitishda, tabiiyki, ijobiy rol o'ynadi.

Talabalarga tavsiya etilayotgan ushbu darslik «Nazariy mexanika» fani bo'yicha davlat ta'llim standartlida ko'rsatilgan o'quv dasturlariga va uzlusiz ta'llim tizimi uchun o'quv adabiyotlarning yangi avlodini yaratish konsepsiyasiga to'liq javob beradi.

Kitob kamchiliklardan xoli bo'lmaganligi tufayli, mualliflar kitob haqidagi tanqidiy fikr va mulohazalarni minnatdorchilik bilan qabul qildilar va oldindan o'z tashakkurini izhor etadilar.

Kitobning qo'lyozmasi bilan mufassal tanishib, uning sifatini yaxshilash yo'lida foydali ko'satma va maslahatlar bergan taqrizchilar fizika-matematika fanlari dokori, professor J.Oqilov va fizika - matematika fanlari nomzodi, dotsent J. Qayumovga, matnini kompyuterga kiritgan va maketini tuzib nashr etishga tayyorlagan G. Israfilova va S. Goncharovalarga o'z minnatdorchiligidimizni bildiramiz.

*Mualliflar*

---

## S T A T I K A

### *I BOB. STATIKANING ASOSIY AKSIOMALARI. TEKISLIKDA KESISHUVCHI KUCHLAR SISTEMASI*

Bu bobda statikaning asosiy tushunchalari, aksiomalari, bog'lanishlar va ularning turlari, bir nuqtada kesishuvchi kuchlar sistemasi va ularning muvozanat shartlari, markazga va o'qqa nisbatan kuch hamda kuchlar sistemasining momenti, tekislikda kuchlar sistemasining xossalari, kuch va kuchlar sistemasining nuqtaga hamda o'qqa nisbatan momentiga doir masalalarning yechimi keltirilgan.

#### **1.1. Statikaning asosiy tushunchalari va aksiomalari**

Moddiy nuqta, mexanik sistema, qattiq jism, kuch, kuchlar sistemasi va bog'lanishlar.

Statika bo'limida kuchlar sistemasi ta'siridagi mexanik sistemaning yoki mexanik sistemaga qo'yilgan kuchlar sistemasining muvozanat shartlari o'rganiladi. Statikaning asosiy tusgunchalari: moddiy nuqta, mexanik sistema, qattiq jism va kuchlar hisoblanadi.

**Moddiy niqta** deganda o'lchamlari va shakli e'tiborga olinmaydigan hamda massasi bir nuqtaga joylashgan deb qaraladigan jism tushiniladi.

Har bir nuqtasining harakati qolgan nuqtalarining holati va harakatiga bog'liq bo'lgan moddiy nuqtalar to'plamiga **mexanik sistema** deyiladi.

Ixtiyoriy ikkita nuqtasi orasidagi masofa o'zgarmas va massasi uzlusiz taqsimlangan mexanik sistemaga **absolut qattiq jism** deyiladi.

Moddiy jismlarning o'zaro ta'sirini xarakterlovchi kattalikka **kuch** deyiladi.

Nazariy mexanikada kuch tushunchasi asosiy birlamchi tushuncha hisoblanadi. Kuch vektor kattalik bo'lib, u o'zining son qiymati (miqdori) yoki moduli, qo'yilish nuqtasi va yo'nalishi bilan xarakterlanadi. Kuch vektori bilan ustma-ust tushuvchi to'g'ri chiziqqa, shu kuchning ta'sir chizig'i deb ataladi. **Kuchlar sistemasi** deb qaralayotgan qattiq jismga yoki mexanik sistema nuqtalariga qo'yilgan kuchlar to'plamiga aytildi. Bitta nuqtaga qo'yilgan kuchlar sistemasini ham qarash mumkin.

Jismga ta'sir etuvechi  $(\dot{F}_1, \dot{F}_2, \dots, \dot{F}_n)$  kuchlar to'plamiga kuchlar sistemasi deyiladi.

Berilgan  $(\dot{F}_1, \dot{F}_2, \dots, \dot{F}_n)$  kuchlar sistemasi ta'siridan qattiq jism yoki mexanik sistema o'zining tinch holatini yoki inersial harakatini o'zgartirmasa, bunday sistemaga nolga ekvivalent yoki muvozanatlashgan kuchlar sistemasi deyiladi va quyidagicha yoziladi:

$$(\dot{F}_1, \dot{F}_2, \dots, \dot{F}_n) \sim 0.$$

Qattiq jismga qo'yilgan  $(\dot{F}_1, \dot{F}_2, \dots, \dot{F}_n)$  kuchlar sistemasining ta'sirini boshqa bir  $(\ddot{Q}_1, \ddot{Q}_2, \dots, \ddot{Q}_k)$  kuchlar sistemasining ta'siri bilan almashtirish mumkin bo'lsa, bunday kuchlar sistemalariga ekvivalent kuchlar sistemalari deyiladi va quyidagicha yoziladi:

$$(\dot{F}_1, \dot{F}_2, \dots, \dot{F}_n) \sim (\ddot{Q}_1, \ddot{Q}_2, \dots, \ddot{Q}_k).$$

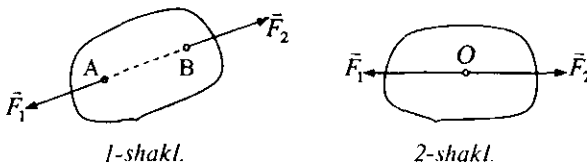
Kuchlar sistemasining jismga ko'rsatadigan ta'sirini bitta kuchning ta'siri bilan almashtirish mumkin bo'lsa, bu kuch berilgan kuchlar sistemasining teng ta'sir etuvchisi deyiladi.  $(\dot{F}_1, \dot{F}_2, \dots, \dot{F}_n)$  kuchlar sistemasining teng ta'sir etuvchisini  $\ddot{R}$  bilan belgilasak, u holda quyidagi ifoda hosil bo'ladi.

$$(\dot{F}_1, \dot{F}_2, \dots, \dot{F}_n) \sim \ddot{R}.$$

## Statika aksiomalari

**1-aksioma (Ikki kuchning muvozanati haqidagi aksioma).** Qattiq jismning ixtiyoriy ikkta nuqtasiga qo'yilgan, miqdorlari teng

va shu nuqtalardan o‘tuvchi to‘g‘ri chiziq bo‘ylab qarama-qarshi tomonga yo‘nalgan ikkita kuch muvozanatlashgan kuchlar sistemasini hosil qiladi (1-shakl). Xususiy holda qattiq jismning bitta nuqtasiga qo‘yilgan, miqdorlari teng va bir to‘g‘ri chiziq bo‘ylab qarama-qarshi tomonga yo‘nalgan ikkita kuch muvozanatlashgan kuchlar sistemasini tashkil etadi (2-shakl).



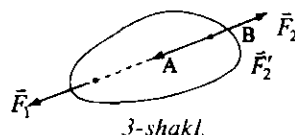
**2-aksioma (Nolga ekvivalent kuchlar sistemasini qo‘shish yoki ayirish haqidagi aksioma).** Qattiq jismga qo‘yilgan kuchlar sistemasiga nolga ekvivalent kuchlar sistemasi qo‘shilsa yoki ayirlsa, kuchlar sistemasining jismga ko‘rsatadigan ta’siri o‘zgarmaydi, boshqacha aytganda, dastlabki kuchlar sistemasiga ekvivalent kuchlar sistemasi hosil bo‘ladi.

**Natija.** Qattiq jismning biror nugtasiga qo‘yilgan kuchning miqdori va yo‘nalishini o‘zgartirmasdan jismning kuch ta’sir chizig‘ida yotuvchi ixtiyoriy nuqtasiga ko‘chirganda kuchning jismga ko‘rsatadigan ta’siri o‘zgarmaydi.

**Ishbot.** Qattiq jismning biror  $A$  nuqtasiga  $\vec{F}_1$  kuch qo‘yilgan bo‘lsin. Jismning kuch ta’sir chiziqida yotgan ixtiyoriy  $B$  nuqtasiga shunday  $(\vec{F}_2, \vec{F}'_2) \sim 0$  sistemani qo‘yapmizki, bunda  $F_1 = F_2 = F'_2$  va

$\vec{F}_1 \uparrow\uparrow \vec{F}'_2$ ,  $\vec{F}_1 \uparrow\downarrow \vec{F}_2$  bo‘lsin (3-shakl).

2-aksiomaga asosan  $\vec{F}_1 \sim (\vec{F}_1, \vec{F}_2, \vec{F}'_2)$ , birinchi aksiomaga asosan  $(\vec{F}_1, \vec{F}_2) \sim 0$ .



Natijada

$$\vec{F}_1 \sim (\vec{F}_1, \vec{F}_2, \vec{F}'_2) \sim \vec{F}'_2.$$

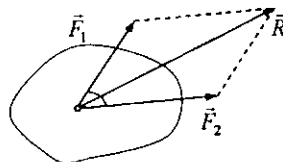
**3-aksioma.** Ikkita nolga ekvivalent kuchlar sistemasi o'zaro ekvivalent bo'ladi, ya'ni

$$\text{ya'ni } \begin{aligned} &(\vec{F}_1, \vec{F}_2, \dots, \vec{F}_n) \sim 0, \quad (\vec{P}_1, \vec{P}_2, \dots, \vec{P}_m) \sim 0 \Rightarrow \\ &(\vec{F}_1, \vec{F}_2, \dots, \vec{F}_n) \sim (\vec{P}_1, \vec{P}_2, \dots, \vec{P}_m) \end{aligned}$$

**4-aksioma (Parallelogrammi aksiomasi).** Qattiq jismning bitta nuqtasiga qo'yilgan ikkita parallel bo'lmagan kuchlar teng ta'sir etuvchisining moduli bu kuchlarga qurilgan parallelogramm diagonaliga teng hamda shu diagonal bo'ylab yo'nalgan bo'ladi (4-shakl):

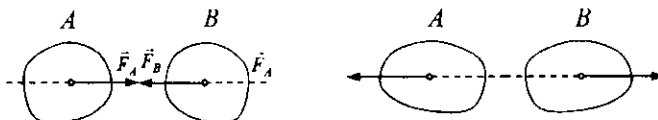
$$(\vec{F}_1, \vec{F}_2) \sim \vec{R}, \quad \vec{R} = \vec{F}_1 + \vec{F}_2, \quad R = \sqrt{F_1^2 + F_2^2 + 2F_1F_2 \cos\alpha},$$

$$\sin(\vec{R}, \wedge \vec{F}_1) = \frac{F_2 \sin(\vec{F}_1, \wedge \vec{F}_2)}{R}, \quad \sin(\vec{R}, \wedge \vec{F}_2) = \frac{F_1 \sin(\vec{F}_1, \wedge \vec{F}_2)}{R}$$



4-shakl.

**5-aksioma (Ta'sir va aksta'sir prinsipi).** Ikki qatiq jismning o'zaro ta'siri miqdor jihatidan teng va bir to'g'ri chiziq bo'ylab qarama-qarshi tomonga yo'nalgan bo'ladi (5-shakl).



5-shakl.

**6-aksioma (Qotish prinsipi).** Qattiq bo‘lmagan jism kuchlar sistemasi ta’siridan muvozanatda bo‘lsa, jism qattiq holatga o’tganda ham uning muvozanati buzilmaydi.

**Bog‘lanish aksiomasi.** Erksiz qattiq jismga qo‘yilgan bog‘lanishlar ta’sirini bog‘lanish reaksiyalari bilan almashtirib, jismni berilgan aktiv kuchlar va bog‘lanish reaksiyalari ta’siridagi erkin qattiq jism deb qarash mumkin.

**Asosiy birliklar sistemasi.** Mexanik miqdorlarning o‘lchovi uchun uchta asosiy birlikni kiritish yetarli. Bularidan ikkitasi uzunlik va vaqt birliklari bo‘lsa, uchinchi o‘lchov birligi sifatida massa yoki kuchning o‘lchov birligi tanlanadi. Kuch va massa o‘zaro dinamikaning asosiy tenglamasi

$$kuch = massa \times tezlanish$$

bilan bog‘langanligi uchun ulardan bittasini tanlash yetarli. Shuning uchun ham ikkita asosiy o‘lchov birliklar sistemasini kiritish mumkin.

**a) Birinchi xil o‘lchov birliklar sistemasi.** Bu sistemada asosiy o‘lchov birliklar: masofa, vaqt va massa; kuch hosilaviy birlik hisoblanadi. Bunday birliklar sistemasiga fizik miqdorlarning xalqaro o‘lchov birliklar sistemasi (SI) kiradi. Bunga asosan mexanik miqdorlarning o‘lchov birliklari: metr, kilogramm, massa va sekund.

SI sistemasida kuchning o‘lchov birligi sifatida  $1 \text{ kg}$  massaga  $1 \text{ m/sek}^2$  tezlanish beruvchi kuch miqdori qabul qilingan. Kuchning bu o‘lchov birligiga nyuton deyiladi:

$$1\text{N}=1\text{kg} \cdot 1\text{m/sec}^2=1\text{kg m/sec}^2.$$

Birinchi xil o‘lchov birliklar sistemasiga fizikada keng qo‘llanadigan SGS sistemasi ham kiradi. Bu sistemaning asosiy o‘lchov birliklari: santimetr, gramm massa va sekund. Kuch birligi dina. Idina =  $10^{-5}\text{N}$ .

**b) Ikkinci xil o‘lchov birliklar sistemasi.** Asosiy o‘lchov birliklar: masofa, vaqt va kuch. Bu sistemaga texnikada keng tarqalgan texnik o‘lchov birliklar sistemasi MKGS kiradi. Bunda asosiy birliklar: metr, kilogramm kuch va sekund. Massaning o‘lchov birligi

$$1 \frac{\text{kg sek}^2}{\text{m}}.$$

SI va MKGS o'chov birliklar sistemalarida kuchning o'chov birliklari quyidagicha bog'langan:

$$1\text{kg kuch} \approx 9,81\text{ N} \text{ yoki } 1\text{N} \cdot 0,102\text{kg kuch}.$$

## 1.2. Bog'lanish va bog'lanish reaksiyaları

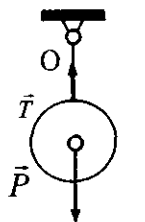
Agar sistemaning har bir nuqtasi fazoda ixtiyoriy holatni egallay olsa va ixtiyoriy tezlikka crisha olsa, bunday sistemaga **erkin sistema**, aks holda **erksiz sistema** deyiladi. **Sistema holati va harakatiga chek qo'yuvchi sabablarga bog'lanishlar**. Agar bog'lanish sistema nuqtalarining faqat holatigagina chek qo'ysa, bunday bog'lanishga geometrik bog'lanish, holati hamda tezliklariga chek qo'yganda esa bunday bog'lanishga kinematik bog'lanish deyiladi.

Bog'lanishlar ichki va tashqi bog'lanishlarga bo'linadi. Agar bog'lanish butun bir sistemaning ko'chishiga chek qo'ymasdan, uning ayrim nuqtalarining nisbiy harakatiga chek qo'ysa, bunday bog'lanishga **ichki bog'lanish**, butun sistema ko'chishiga chek qo'ysa, **tashqi bog'lanish** deyiladi.

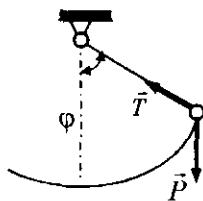
Bog'lanishning jismga ko'rsatadigan ta'sirini belgilovchi kuchga **bog'lanish reaksiyasi** deyiladi. Bog'lanishdagi jismning harakati qaysi tomondan cheklangan bo'lsa, reaksiya kuchi shu yo'nalishga qarama-qarshi yo'nalgan bo'ladi.

Jismlar asosan tayanchlar, iplar, zanjirlar yoki trosslar va sterjenlar vositasida bog'langan bo'ladi. Bog'lanish reaksiyalarining aniqlash masalasi statikaning asosiy masalalaridan biri hisoblanadi. Umumiyl holda masalani yechmasdan turib, bog'lanish reaksiyasini aniqlab bo'lmaydi. Lekin ayrim hollarda masalani yechmasdan, reaksiya kuchlarining yo'nalishini aniqlash mumkin. Masalan,  $\vec{P}$  og'irlikdagi qattiq jism cho'zilmaydigan ip yordamida qo'zg'almas O nuqtaga osib qo'yilgan bo'lsa, ip bog'lanish vazifasini o'taydi. Bu holda bog'lanish reaksiyasi  $\vec{T}$  ip bo'ylab O nuqtaga qarab

yo'nalgan bo'ladi (6-shakl). Shu holda og'ir jism tebranma harakatda bo'lsa, ipning reaksiya kuchi ip bo'ylab yo'nalgan bo'ladi, uning son qiymati nafaqat  $\bar{P}$  ga balki, burilish burchagi  $\varphi$  va burchak tezligi  $d\varphi/dt$  larga ham bog'liq, ya'ni jismning harakatiga bog'liq bo'ladi (7-shakl).

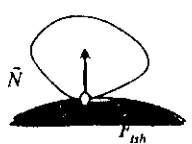


6-shakl.

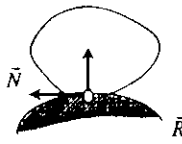


7-shakl.

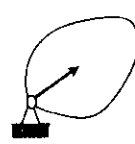
Jism qo'zg'almas silliq sirtga tayangan bo'lsin. Bu holda sirtning reaksiya kuchi jism bilan sirtning urinish nuqtasiga qo'yilgan bo'lib, sirtning shu nuqtadagi normali bo'ylab yo'nalgan bo'ladi (8-shakl). Bu kuchga **normal reaksiya kuchi** deyiladi. Bog'lanish reaksiyasining miqdori tashqi kuchga va jismning harakatiga bog'liq bo'ladi.



8-shakl.



9-shakl.

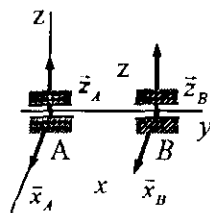


10-shakl.

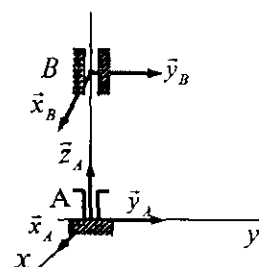
Agar sirt va jism silliq bo'lmasa, bog'lanish reaksiyasi ularning urinish nuqtasiga qo'yilgan bo'lib, yo'nalishi va miqdorini masalani yechmasdan aniqlab bo'lmaydi. Bu holda bog'lanish reaksiyasining miqdori va yo'nalishi jism hamda sirtlarning fizik xossalariga, tashqi kuchlarga va jism harakatiga bog'liq bo'ladi. Sirtning reaksiyasi bu holda sirtning normali bo'ylab yo'nalgan normal reaksiyaga va urinma tekislikda yotuvchi urinma reaksiya kuchlariga ajraladi (9-shakl). Urinma reaksiya kuchiga **ishqalanish kuchi** deyiladi.

Agar bog'lanish bitta qo'zg'almas  $O$  nuqtadan tashkil topgan bo'lsa, bog'lanish reaksiyasi shu  $O$  nuqtaga qo'yilib, yo'nalishi va miqdori ixtiyoriy bo'lishi mumkin (10-shakl). Bu holda ham bog'lanish reaksiyasining miqdori va yo'nalishi jismga qo'yilgan tashqi kuchlarga hamda jismning holatiga va harakatiga bog'liq bo'ladi.

Agar bog'lanish jismning harakatini bitta tekislikda yotgan o'zaro perpendikular ikkita yo'nalish bo'yicha cheklasa, bunday bog'lanishga texnikada ***silindrik bog'lanish*** (podshipniklar) deyiladi. Masala yechilayotgan vaqtida bunday bog'lanish reaksiyasini koordinata o'qlari bo'ylab yo'nalgan ikkita o'zaro perpendikular tuzuvchilarga ajratish qulay bo'ladi (11-shakl).



11-shakl.



12-shakl.

Agar jism bitta qo'zg'almas nuqtaga ega bo'lsa, ya'ni bitta nuqtasi bilan bog'langan bo'lsa, bunday bog'lanishga ***sferik bog'lanish*** deyiladi. Bu holda bog'lanish reaksiyasini koordinata o'qlari bo'ylab yo'nalgan o'zaro perpendikular uchta tuzuvchiga ajratish qulay (12-shakl).

### Mustaqil ishlash uchun savol va topshiriqlar

1. Mexanikaning asosiy tushunchalari nimalar?
2. Kuchlar sistemasi deganda nimani tushunasiz?
3. Qanday kuchlar sistemasiga muvozanatlashgan kuchlar sistemasi deyiladi?
4. Ekvivalent kuchlar sistemasi deganda nimani tushinasiz?
5. Bog'lanishlar deganda nimani tushunasiz?
6. Bog'lanish aksiomasini ta'riflab, tushuntiring.

### 1.3. Bir nuqtada kesishuvchi kuchlar sistemasi

Kuch, kuchlar sistemasi, teng ta'sir etuvchi kuch, kuch ko'pburchagi.

#### 1.3.1. Kuchlar sistemasini bitta teng ta'sir etuvchiga keltirish

Ta'sir chiziqlari bir nuqtada kesishuvchi kuchlar sistemasiga bir nuqtada kesishuvchi kuchlar sistemasi deyiladi.

Bir nuqtada kesishuvchi kuchlar sistemasining teng ta'sir etuvchisini topamiz. Qattiq jismga ta'sir etuvchi bir nuqtada kesishuvchi  $(\vec{F}_1, \vec{F}_2, \dots, \vec{F}_n)$  kuchlar sistemasi berilgan bo'lsin.

Avval parallelogramm aksiyomidan foydalanib berilgan kuchlar sistemasining birinchi ikkitasining teng ta'sir etuvchisini topamiz. Teng ta'sir etuvchining moduli

$$\vec{R}_{12} = \vec{F}_1 + \vec{F}_2, \quad R_{12} = \sqrt{F_1^2 + F_2^2 + 2F_1F_2 \cos(\vec{F}_1, \vec{F}_2)}$$

ga teng, yo'naliishi esa quyidagi munosabatlardan topiladi:

$$\frac{F_2}{\sin(\vec{F}_1, \vec{R}_{12})} = \frac{F_1}{\sin(\vec{F}_2, \vec{R}_{12})} = \frac{R_{12}}{\sin(\vec{F}_1, \vec{F}_2)}.$$

Endi  $\vec{R}_{12}$  kuch bilan  $\vec{F}_3$  kuchni yoki  $\vec{F}_1, \vec{F}_2, \vec{F}_3$  kuchlarning teng ta'sir etuvchisini topamiz:

$$(\vec{F}_1, \vec{F}_2) \sim \vec{R}_{12},$$

bunda

$$\vec{R}_{12} = \vec{F}_1 + \vec{F}_2;$$

Shunga o'xshash

$$(\vec{R}_{12}, \vec{F}_3) \sim \vec{R}_{123},$$

bunda

$$\vec{R}_{123} = \vec{F}_1 + \vec{F}_2 + \vec{F}_3,$$

va hokazo.

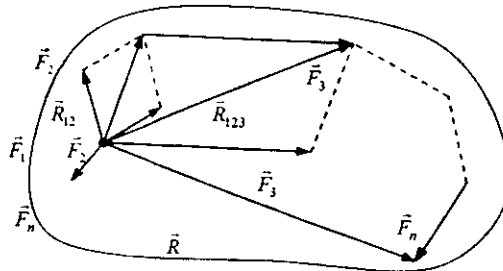
$$(\vec{R}_{123\cdots(n-1)}, \vec{F}_n) \sim \vec{R}$$

bunda

$$\vec{R} = \vec{F}_1 + \vec{F}_2 + \vec{F}_3 + \dots + \vec{F}_n = \sum_{i=1}^n \vec{F}_i \quad (1.3.1)$$

Shunday qilib, bir nuqtada kesishuvchi kuchlar sistemasi bitta kuchga ekvivalent, ya'ni teng ta'sir etuvchiga ega. Bu teng ta'sir etuvchi berilgan sistemasi kuchlarining geometrik yig'indisiga teng.

Bir nugtada kesishuvchi kuchlar sistemasining teng ta'sir etuvchisini kuch ko'pburchagini qurish usuli bilan ham topish mumkin. Buning uchun  $\vec{F}_1$  kuchni kuchlar sistemasining markazi deb olib,  $\vec{F}_2$  kuchni o'z-o'ziga parallel ravishda shunday ko'chiramizki,  $\vec{F}_2$  kuchning boshi  $\vec{F}_1$  kuchning oxiri bilan ustma-ust tushsin. Xuddi shunday  $\vec{F}_3$  kuchni o'z-o'ziga parallel ravishda ko'chiramiz, natijada  $\vec{F}_3$  kuchning boshi  $\vec{F}_2$  kuchning oxiri bilan ustma-ust tushsin va hokazo, shu ishni davom ettirib, oxiri  $\vec{F}_n$  kuchni ko'chiranimizda bu kuchining boshi  $\vec{F}_{n-1}$  kuchning oxiri bilan ustma-ust tushsin. Kuchlar sistemasi markazidan chiqib  $\vec{F}_n$  kuchning oxirini tutashtiruvchi  $\vec{R}$  kuch berilgan kuchlar sistemasining teng ta'sir etuvchisi bo'ladi. Shunday usul bilan qurilgan ko'pburchakka **kuch ko'pburchagi** deyiladi (13-shakl).



13-shakl.

Kuchlar sistemasi teng ta'sir etuvchisining moduli va yo'nalishini analitik usul bilan ham topish mumkin.

Geometriya kursidan malumki, vektorlar yig'indisining koordinata o'qlaridagi proyeksiyalari berilgan vektorlarning mos o'qlardagi proeksiyalari yig'indisiga teng, ya'ni

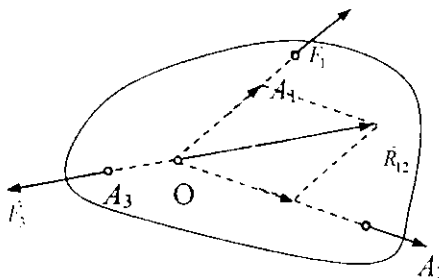
$$R_x \equiv \sum_{i=1}^n F_{ix}, \quad R_y \equiv \sum_{i=1}^n F_{iy}, \quad R_z \equiv \sum_{i=1}^n F_{iz}.$$

Teng ta'sir etuvchining moduli va yo'nalishi quyidagicha topiladi:

$$R = \sqrt{R_x^2 + R_y^2 + R_z^2},$$

$$\cos(\vec{R}, \wedge x) = \frac{R_x}{R}, \quad \cos(\vec{R}, \wedge y) = \frac{R_y}{R}, \quad \cos(\vec{R}, \wedge z) = \frac{R_z}{R}.$$

**Uch kuch haqidagi teorema.** Bir tekislikda yotgan uchta kuchlar sistemasi muvo-zanatda bo'lsa, ularning ta'sir chiziqlari bir nuqtada kesishadi.



14-shakl.

**Ishot.** Bir tekislikda yotgan uchta  $\vec{F}_1, \vec{F}_2, \vec{F}_3$  kuch muvozanatda bo'lsin. Berilgan  $\vec{F}_1$  va  $\vec{F}_2$  kuchlarni ta'sir chiziqlari bo'ylab kesishish nuqtasiga ko'chirib, ularni parallelogram qoidasiga ko'ra qo'shamiz, natijada

$$(\vec{F}_1, \vec{F}_2, \vec{F}_3) \sim (\vec{R}_{12}, \vec{F}_3) \sim 0$$

ga kelamiz, bunda

$$\vec{R}_{12} \sim (\vec{F}_1, \vec{F}_2)$$

va aytilganidek,  $\vec{R}_{12}, \vec{F}_3$  kuchlar muvozanatlashgan kuchlar sistemasini hosil qiladi. 1-aksiomaga asosan bu ikki kuch bir to‘g‘ri chiziq bo‘ylab qarama-qarshi tomonga yo‘nalgan va demak  $\vec{F}_3$  kuchining ta’sir chizig‘i ham  $O$  nuqtadan o‘tadi.

### 1.3.2. Bir nuqtada kesishuvchi kuchlar sistemasining muvozanat shartlari

**Teorema.** Bir nuqtada kesishuvchi kuchlar sistemasi muvozanatda bo‘lishi uchun berilgan kuchlar sistemasining teng ta’sir etuvchisi nolga teng bo‘lishi zarur va yetarli, yani

$$\vec{R} \equiv \sum_{i=1}^n \vec{F}_i = 0. \quad (1.3.2)$$

To‘g‘ri burchakli Oxyz dekart koordinatalar sistemasini tanlab, (1.3.2) tenglamani koordinata o‘qlariga proyeksalaymiz, natijada uchta skalar tenglamalar sistemasini hosil qilamiz, ya’ni

$$R_x = \sum_{i=1}^n F_{ix} = 0; \quad R_y = \sum_{i=1}^n F_{iy} = 0; \quad R_z = \sum_{i=1}^n F_{iz} = 0. \quad (1.3.3)$$

Muvozanatdagi qattiq jism erkin bo‘limasa, bog‘lanishlar aksiomasidan foydalanib, bog‘lanishlarning jismga ko‘rsatadigan ta’sirini ularning reaksiya kuchi bilan almashtiramiz. Natijada avval ham aytilganidek, bunday jismni berilgan kuchlar va bog‘lanish reaksiya kuchlari ta’siridagi erkin jism deb qarash mumkin.

(1.3.3) tenglamalardan foydalanib, kuchlar sistemasining muvozanat shartlarini quy-idagicha ifodalash ham mumkin: bir nuqtada kesishuvchi kuchlar sistemasi muvozanatda bo‘lishi uchun berilgan kuchlarning mos koordinata o‘qlaridagi proyeksiyalari yig‘indisi alohida-alohida nolga teng bo‘lishi zarur va yetarli.

Agar qattiq jismga qo‘yilgan kuchlar sistemasi bir tekislikda joylashgan bo‘lsa, koordinata o‘qlaridan bittasini, masalan, z o‘qini

kuchlar tekisligiga perpendikular qilib olish kerak. U holda (1.3.3) tenglamalarning uchinchisi aynan nolga teng bo‘ladi, ya’ni

$$R_z \equiv \sum_{i=1}^n F_{iz} \equiv 0.$$

Natijada quyidagi tenglamalar sistemasi hosil bo‘ladi:

$$R_x \equiv \sum_{i=1}^n F_{ix} = 0; \quad R_y \equiv \sum_{i=1}^n F_{iy} = 0. \quad (1.3.4)$$

(1.3.4) tenglamalar sistemasi bir tekislikda joylashgan va bir nuqtada kesishuvchi kuchlar sistemasining muvozanat shartlarini ifodalaydi.

#### **1.4. Tekislikda kesishuvchi kuchlar sistemasining muvozanatiga doir masalalarni yechish bo‘yicha uslubiy tavsiyalar**

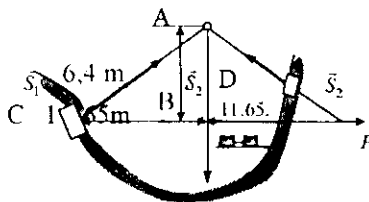
Tekislikda kesishuvchi kuchlar sistemasining muvozanatiga oid masalalarni quyidagi tartibda yechish tavsiya etiladi.

1. Muvozanati tekshirilayotgan qattiq jismni ajratib, unga ta’sir etuvchi aktiv kuchlar shaklda tasvirlab olinishi kerak.
2. Qaralayotgan qattiq jism erkin bo‘lmasa bog‘lanish aksiomasidan foydalanib, unga qo‘yilgan bog‘lanish reaksiyalarini ham tasvirlab olish zarur (albatta, bog‘lanish turiga e’tibor berish talab etiladi).
3. Masalani geometrik usulda yechish uchun qattiq jismga ta’sir etuvchi kuchlar sistemasiga mos kuch ko‘pburchagi yasalib, keyin bu ko‘pburchakdan noma’lum miqdor topiladi.
4. Masalani analitik usulda yechish uchun mos koordinatalar sistemasini tanlash kerak (ko‘p hollarda koordinatalar sistemasining boshi sifatida kuch markazi olinadi).
5. Tanlangan koordinatalar sistemasiga nisbatan (1.3.4) tenglamalar sistemasi tuziladi.
6. Tuzilgan tenglamalar sistemasi birgalikda yechilib, izlanayotgan noma’lum miqdorlar topiladi.

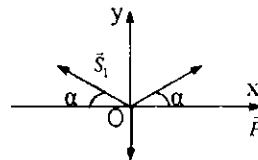
Mazkur uslubiy tavsiyalar assosida quyida mavzuga doir ayrim masalalarni yechib ko'rsatamiz.

**1.4.1-masala (И.В.Мешчерский 2.12.).** Tog'larda qurilgan temir yo'lida, yo'lning dara ichidagi bir qismi shaklda ko'rsatilgandek osilgan.  $AB$  osmaga  $P = 500kN$  kuch ta'sir qiladi, deb hisoblab,  $AC$  va  $AD$  sterjenlardagi zo'riqishlar aniqlansin (15-shakl).

**Yechish.** Masalani avval analitik usul bilan yechamiz. Buning uchun tegishli koordinatalar sistemasini tanlaymiz. Koordinatalar sistemasining boshi sifatida  $A$  nuqtani olamiz (16-shakl).



15-shakl.



16-shakl.

(1.3.3) muvozanat tenglamalarini tuzamiz

$$\sum_{i=1}^3 F_{ix} = S_1 \cos \alpha - S_2 \cos \alpha = 0,$$

$$\sum_{i=1}^3 F_{iy} = S_1 \sin \alpha + S_2 \sin \alpha - P = 0. \quad (a)$$

$\sin \alpha$  va  $\cos \alpha$  larni topamiz:

$$\operatorname{tg} \alpha = \frac{6,4}{11,65} \approx 0,549; \quad \sin \alpha = \frac{\operatorname{tg} \alpha}{\sqrt{1 + \operatorname{tg}^2 \alpha}} = 0,47$$

$$\cos \alpha = \frac{1}{\sqrt{1 + \operatorname{tg}^2 \alpha}} \approx 0,88.$$

Topilganlarni ( $a$ ) tenglamalarga qo'yamiz:

$$\begin{cases} S_1 = S_2, \\ 0,48S_1 + 0,48S_1 = P. \end{cases}$$

Bulardan  $S_1 = S_2 = 532kN$ .

Javob.  $AC$  va  $AD$  sterjenlarning har biri  $532kN$  ga teng kuch bilan siqilar ekan.

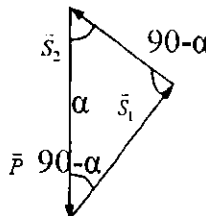
Endi masalani kuch uchburchagidan foydalananib yechaylik. Kuchlarning o‘z-o‘ziga parallel ko‘chirib, uchburchak yasaymiz (17-shakl).

Sinuslar teoremasiga asosan

$$\frac{P}{\sin 2\alpha} = \frac{S_1}{\cos \alpha} = \frac{S_2}{\cos \alpha}.$$

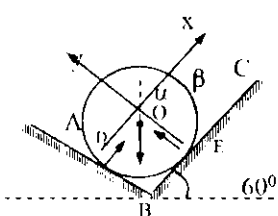
Bundan

$$S_1 = S_2 = \frac{P}{\sin \alpha} \approx 532kN.$$

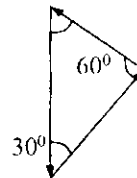


19-shakl.

**1.4.2-masala (Мешгерский 2.18.).** Bir-biriga tik bo‘lgan ikkita silliq  $AB$  va  $BC$  og‘ma tekisliklarda og‘irligi  $60N$  bo‘lgan bir jinsli shar turibdi.  $BC$  tekislik bilan gorizontal tekislik orasidagi burchak  $60^\circ$ . Sharning har qaysi tekislikka ko‘rsatadigan bosimi aniqlansin (18-shakl).



18-shakl.



19-shakl.

**Yechish.** Koordinatalar sistemasi boshini shar markazi  $O$  nuqtada olib, koordinata o'qlarini shaklda ko'rsatilganday yo'naltiramiz. (1.3.3) muvozanat tenglamalarini tuzamiz:

$$\sum_{i=1}^3 F_i = N_D - P \cos \beta = 0, \quad \sum_{i=1}^3 F_{iy} = N_E - P \cos \alpha = 0. \quad (a)$$

Shaklga asosan:  $\alpha = 60^\circ$ ,  $\beta = 30^\circ$ . (a) tenglamalardan

$$N_D = P \cos 30^\circ = 60 \text{N} \cdot \frac{\sqrt{3}}{2} \approx 52 \text{N},$$

$$N_E = P \cos 60^\circ = 60 \text{N} \cdot \frac{1}{2} = 30 \text{N}.$$

Endi masalani geometrik usul bilan yechamiz. Kuchlarni o'z-ziga parallel ravishda ko'chirib, kuch uchburchagini tuzsak (19-shakl), bu uchburchakdan

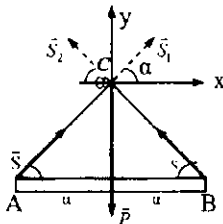
$$\frac{N_E}{\sin 30^\circ} = \frac{P}{\sin 90^\circ} = \frac{N_D}{\sin 60^\circ}.$$

Shunday qilib,

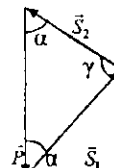
$$N_E = P \cdot \sin 30^\circ = 60 \text{N} \cdot \frac{1}{2} = 30 \text{N},$$

$$N_D = P \cdot \sin 60^\circ = 60 \text{N} \cdot \frac{\sqrt{3}}{2} = 52 \text{N}.$$

**1.4.3-masala (Мешчерский 2.25).** Og'irligi 160N, uzunligi 1,2 m bo'lgan bir jinsli  $AB$  sterjen ikkita  $AC$  va  $CB$  sim arqonlar bilan  $C$  nuqtaga osib qo'yilgan. Ikkala sim arqonnining uzunligi 1 m dan. Sim arqonlardagi taranglik kuchlari aniqlansin (20-shakl).



20-shakl.



21-shakl.

**Berilgan:**  $P=160\text{N}$ ,  $AB=1,2\text{m}$ ,  $AC=BC=1\text{m}$ .

**Topish kerak:**  $S_1$ ,  $S_2$ .

**Yechish.** Koordinatalar sisemasini shaklda ko'rsatilgandek qilib tanlaymiz. Tanlagan  $Cxy$  koordinatalar sistemasiga nisbatan (1.4.3) muvozanat tenglamalarini tuzamiz:

$$\begin{aligned} \sum_{i=1}^3 F_{ix} &= S_1 \cos \alpha - S_2 \cos \alpha = 0, \\ \sum_{i=1}^3 F_{iy} &= S_1 \sin \alpha + S_2 \sin \alpha - P = 0. \end{aligned} \quad (\text{a})$$

Shakldan  $\cos \alpha = \frac{AB/2}{AC} = \frac{3}{5}$ ,  $\sin \alpha = \frac{4}{5}$

(a) tenglamalardan

$$\begin{cases} S_1 = S_2, \\ \frac{4}{5}S_1 + \frac{4}{5}S_1 = P, \end{cases} \Rightarrow S_1 \frac{5}{8}P = \frac{5}{8}160\text{N} = 100\text{N}.$$

Endi masalani kuch uchburchagidan foydalanim yechamiz (21-shakl):

$$\frac{S_1}{\sin \alpha} = \frac{S_2}{\sin \alpha} = \frac{P}{\sin \gamma}, \quad \gamma = 180^\circ - 2\alpha,$$

$$\sin \gamma = \sin(180^\circ - 2\alpha) = \sin 2\alpha = 2\sin \alpha \cos \alpha = 2 \cdot \frac{4}{5} \cdot \frac{3}{5} = \frac{24}{25}.$$

$$\text{Natijada } S_1 = S_2 = \frac{\sin \alpha}{\sin \gamma} P = \frac{4}{5} \cdot \frac{25}{24} \cdot 160\text{N} = \frac{5}{6} \cdot 160\text{N} = 100\text{N}.$$

**1.4.4-masala (И.В. Меншерский 2.20).** Og'irligi  $20\text{N}$  bo'lган bir jinsli shar silliq og'ma tekislik ustida sim arqon yordamida ushlab turiladi. Bu sim arqon tekislikdan yuqoriroqda mahkamlangan prujinali taroziga bog'langan. Prujinali tarozining ko'rsatishi  $10\text{N}$  ga teng. Gorizont bilan tekislik orasidagi burchak  $30^\circ$ . Vertikal bilan sim arqon orasidagi  $\alpha$  burchak va sharning tekislikka ko'rsatadigan bosimi aniqlansin. Prujinali tarozining og'irligi hisobga olinmasin.

*Berilgan:*  $P = 20\text{N}$ ,  $F = 10\text{N}$ ,  $30^\circ$ .  
*Topish kerak:*  $\alpha$ ,  $Q$ .

**Yechish.** Avval ta'sir etuvchi kuchlarni shaklda tasvirlab olamiz.

Koordinatalar sistemasini shaklda ko'r-satilganidek qilib tanlaymiz. Koordinatalar sistemasining boshi sifatida kuchlarning ta'sir chiziqlari kesishish nuqtasini olish qulay.

Muvozanat tenglamalarini tuzamiz:

$$\sum_{i=1}^3 F_{ix} = F \cos(90^\circ - \alpha) - Q \cos 60^\circ = 0,$$

$$\sum_{i=1}^n F_{iy} = F \cos \alpha + Q \cos 30^\circ - P = 0.$$

Bundan

$$\begin{cases} F \sin \alpha - \frac{1}{2} Q = 0; \\ F \cos \alpha + \frac{\sqrt{3}}{2} Q = P, \end{cases} \Rightarrow \begin{cases} Q = 2F \sin \alpha; \\ Q = \frac{2(P - F \cos \alpha)}{\sqrt{3}}, \end{cases} \Rightarrow$$

$$\Rightarrow 2F \sin \alpha = \frac{2(P - F \cos \alpha)}{\sqrt{3}};$$

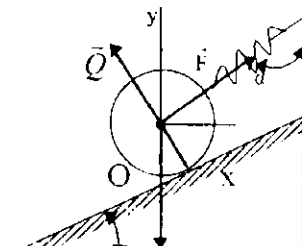
$$\sqrt{3}F \sin \alpha + F \cos \alpha = P; \quad 2F \sin(\alpha + \varphi) = P; \quad \varphi = \operatorname{arctg} \frac{1}{\sqrt{3}} = 30^\circ;$$

$$\sin(\alpha + 30^\circ) = \frac{P}{2F} = \frac{20}{2 \cdot 10} = 1; \quad \alpha + 30^\circ = 90^\circ, \quad \alpha = 60^\circ.$$

Natijada quyidagiga ega bo'lamiz:

$$Q = 2F \sin 60^\circ = 2 \cdot 10 \frac{\sqrt{3}}{2} = 10 \cdot 1,73 \text{N} = 17,3 \text{N}.$$

*Javob.*  $\alpha = 60^\circ$ ;  $Q = 17,3 \text{N}$ .



22-shakl.

## Muammoli masala va topshiriqlar

1.  $\vec{F}_1 = 3\vec{i} + 5\vec{j}$ ,  $\vec{F}_2 = \vec{i} - 2\vec{j}$  kuchlar teng ta'sir etuvchisining moduli va yo'nalishi topilsin.

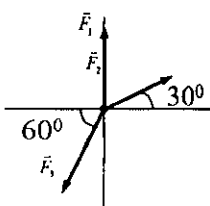
2. Gorizontal tekislik ustida turgan sharning tekislikka ko'rsatadigan bosimi topilsin. Sharning og'irligi  $P$  ga teng bo'lib, uning markaziga qo'yilgan.

3. Og'irligi  $P$  ga teng bo'lган yuk bir xil uzunlikdagi ikkita cho'zilmaydigan arqonga osilgan holatda muvozanatda turadi. Arqonlar o'zaro  $60^\circ$  li burchak tashkil qiladi. Arqonlarning tortilish kuchlari topilsin.

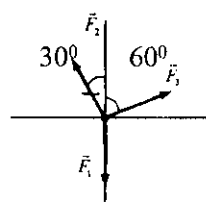
4.  $\vec{F} = 3\vec{i} + 4\vec{j}$  kuch vektori bilan  $Oy$  koordinata o'qi orasidagi burchak kosinusini topilsin.

5. Uchta kesishuvchi kuch proyeksiyalari bilan berilgan:  
 $F_{1x} = 10\text{N}$ ;  $F_{1y} = 2\text{N}$ ;  $F_{2x} = -4\text{N}$ ;  $F_{2y} = 3\text{N}$ ;  $F_{3x} = -6\text{N}$ ;  
 $F_{3y} = -5\text{N}$ . Kuchlar sistemasi muvozanatda bo'ladimi?

6. Shaklda tasvirlangan kuchlar sistemasining teng ta'sir etuvchisi topilsin;  $F_1 = F_3 = 3\text{N}$ ,  $F_2 = \sqrt{3}$ .



6-masala.

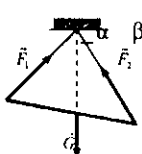


7-masala.

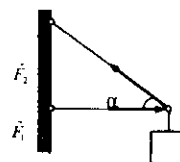
7. Shaklda tasvirlangan kuchlar sistemasi muvozanatlashgan kuchlar sistemasini hosil qiladi.  $F_2 = 15\text{N}$  bo'lsa,  $\vec{F}_1$  va  $\vec{F}_2$  kuchlarining modullari topilsin.

8. Iplarning tortilish kuchlari  $F_1 = 120\text{N}$ ,  $F_2 = 80\text{N}$  va burchaklar  $\alpha = 45^\circ$ ,  $\beta = 30^\circ$  bo'lsa,  $AB$  balkanining  $G$  og'irligi topilsin.

9. Yuk  $A$ ,  $B$  va  $C$  nuqtalarda sharnirlar vositasida biriktirilgan  $AC$  va  $BC$  sterjenlarda ushlab turiladi.  $BC$  sterjenning tortilish kuchi  $F_2 = 45N$  va  $\alpha = 60^\circ$  bo'lsa,  $AC$  sterjenlarning siqilish kuchi va yukning og'irlilik kuchi topilsin.

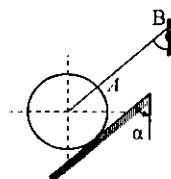


8-masala.

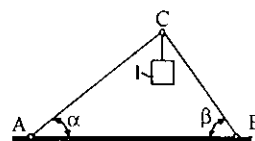


9-masala.

10. Og'irligi  $12N$  bo'lgan bir jinsli shar arqon yordamida silliq og'ma tekislikda muvozanatda ushlab turiladi.  $\alpha = 30^\circ$ ,  $\beta = 60^\circ$  bo'lsa, sharning tekislikka ko'rsatadigan bosimi topilsin.



10-masala.



11-masala.

11. Og'irligi e'tiborga olinmaydigan  $AC$  va  $BC$  sterjenlar o'zaro va gorizontal tekislikka sharnirlar vositasida biriktirilgan.  $C$  sharmirga 1 yuk osilgan.  $AC$  sterjenning zo'riqishi  $45N$  va  $\alpha = 30^\circ$ ,  $\beta = 60^\circ$  bo'lsa,  $BC$  sterjen reaksiyasi topilsin.

### Mustaqil ishlash uchun savol va topshiriqlar

1. Qanday kuchlar sistemasiga bir nuqtada kesishuvchi kuchlar sistemasi deyiladi?
2. Qanday ko'pburchakka kuch ko'pburchagi deyiladi?
3. Bir nuqtada kesishuvchi kuchlar sistemasining teng ta'sir e'tuvchisi qanday topiladi?
4. Kuch ko'pburchagida teng ta'sir e'tuvchi qanday tasvirlanadi?
5. Kuchlar sistemasining teng ta'sir etuvchisi qanday hisoblanadi?
6. Teng ta'sir etuvchining proyeksiyalari qanday hisoblanadi?

## 1.5. Markazga va o'qqa nisbatan kuch hamda kuchlar sistemasining momenti

Kuch, skalar va vektor, kuchning nuqtaga va o'qqa nisbatan momenti.

### 1.5.1. Kuchning nuqtaga nisbatan algebraik momenti. Bir tekislikda yotadigan kuchlar sistemasi qaralganda kichning nuqtaga nisbatan momenti tushunchasidan foydalilaniladi

Kuchning nuqtaga nisbatan algebraik momenti deb kuch modulini kuch yelkasiga ko'paytmasining (+) yoki (-) ishorasi bilan olinganiga aytiladi va quyidagicha yozialdi:

$$mom_0(\vec{F}) = M_0(\vec{F}) = \pm Fh . \quad (1.5.1)$$

Biror  $O$  nuqtadan kuch ta'sir chizig'igacha bo'lgan eng qisqa  $h$  masofaga kuch yelkasi (25-shakl),  $O$  nuqtaga esa kuch markazi deyiladi.

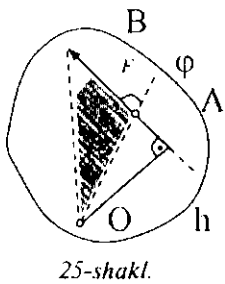
Agar kuch jismni  $O$  markaz atrofida soat mili harakati yo'naliishiga teskarli yo'naliishida aylantirishga intilsa (+) ishora, soat mili harakati yo'naliishida aylantirishga intilsa (-) ishora olinadi. Kuchning ta'sir chizig'i kuch markazidan o'tsa, kuchning bu markazga nisbatan algebraik momenti nolga teng. (1.5.1) formulaga asosan kuchning nuqtaga nisbatan algebraik momentining son qiymati kuch vektori va  $O$  markazga qurilgan uchburchak yuzining ikki baravariga teng, ya'ni

$$\left| M_0(\vec{F}) \right| = 2S_{OAB} . \quad (1.5.2)$$

### 1.5.2. Kuchning nuqtaga nisbatan moment vektori

Fazoviy kuchlar sistemasi qaralganda kuchning nuqtaga nisbatan vektorli momenti tushunchasidan foydalilaniladi.

Kuchning  $O$  markazga nisbatan momenti deb shunday vektorga aytiladiki, bu vektor  $O$  nuqtaga qo'yilgan bo'lib, uning moduli



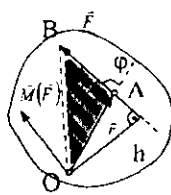
kuch vektori va  $O$  nuqtaga qurilgan uchburchak yuzining ikki baravariga teng, yo'nalishi esa kuch vektori va  $O$  nuqta orqali o'tuvchi tekislikka perpendikular bo'lib, moment vektori uchidan qaralganda kuch jismni soat mili yo'nalishiga teskari yo'nalishda aylantirsa musbat, aks holda mansiy bo'ladi. Kuchning  $O$  nuqtaga nisbatan moment vektorini  $\overrightarrow{mom}_o(\vec{F})$  yoki  $\vec{M}_o(\vec{F})$  deb belgilaymiz. Moment vektorining ta'rifiga asosan

$$\overrightarrow{mom}_o(\vec{F}) = \vec{M}_o(\vec{F}) = \vec{r} \times \vec{F}. \quad (1.5.3)$$

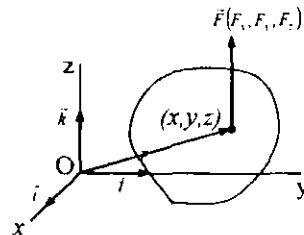
Haqiqatan ham, 26-shaklga asosan:

$$|\vec{M}_o(\vec{F})| = |\vec{r} \times \vec{F}| = rF \sin \varphi = Fh = 2S_{OAB},$$

bunda  $r = rsin\varphi$ . (1.5.3) formuladagi  $\vec{r}$ -kuch qo'yilgan nuqta ning  $O$  nuqtaga nisbatan radius-vektori.  $\vec{r} \times \vec{F}$  vektorming yo'nalishi va vektorlar tekisligiga perpendikular. Demak, moment vektorini (1.5.3) ko'rinishda yozish mumkin. Kuchni ta'sir chizig'i bo'ylab ko'chirilganda uning nuqtaga nisbatan momenti o'zgarmaydi.



26-shakl.



27-shakl.

Kuchning ta'sir chizig'i kuch markazidan o'tsa, uning o'sha markazga nisbatan moment vektori nolga teng bo'ladi.

Agar to'g'ri burchakli dekart koordinatalari sistemasida  $\vec{F}$  kuch o'zining  $F_x, F_y, F_z$  proyeksiyalari va kuch qo'yilgan nuqta  $(x, y, z)$  koordinatalari bilan berilgan bolsa (27-shakl), (1.5.3) formulani quyidagicha yozish mumkin:

$$\begin{aligned}\vec{M}_0(\vec{F}) &= \vec{r} \times \vec{F} = \begin{vmatrix} \vec{i} & \vec{j} & \vec{k} \\ x & y & z \\ F_x & F_y & F_z \end{vmatrix} = \\ &= (yF_z - zF_y)\vec{i} + (zF_x - xF_z)\vec{j} + (xF_y - yF_x)\vec{k},\end{aligned}\quad (1.5.4)$$

bunda  $\vec{i}, \vec{j}, \vec{k}$ -lar koordinata o'qlarining birlik vektorlari.

(1.5.4) munosabatlardan foydalanib,  $\vec{M}(\vec{F})$  moment vektorining proyeksiyalari uchun

$$\begin{aligned}M_{0x}(\vec{F}) &= yF_z - zF_y, \\ M_{0y}(\vec{F}) &= zF_x - xF_z, \\ M_{0z}(\vec{F}) &= xF_y - yF_x.\end{aligned}\quad (1.5.5)$$

formulalarni yozish mumkin.

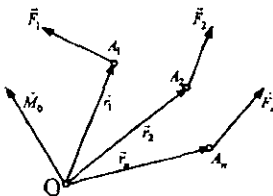
Moment vektorining moduli va yo'naltiruvchi kosinuslari quyidagicha topiladi:

$$\begin{aligned}|\vec{M}_0(\vec{F})| &= \sqrt{(yF_z - zF_y)^2 + (zF_x - xF_z)^2 + (xF_y - yF_x)^2}; \\ \cos(\vec{M}_0 \wedge X) &= \frac{M_x(\vec{F})}{|\vec{M}_0(\vec{F})|}, \quad \cos(\vec{M}_0 \wedge Y) = \frac{M_y(\vec{F})}{|\vec{M}_0(\vec{F})|}, \\ \cos(\vec{M}_0 \wedge Z) &= \frac{M_z(\vec{F})}{|\vec{M}_0(\vec{F})|}.\end{aligned}\quad (1.5.6)$$

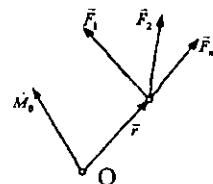
### 1.5.3. Kuchlar sistemasining markazga nisbatan momenti

$(\vec{F}_1, \vec{F}_2, \dots, \vec{F}_n)$  kuchlar sistemasi berilgan bo'lsin (28-shakl).  $O$  markazga nisbatan bu sistema kuchlarining moment vektorlari yig'indisini  $\vec{M}_0$  deb belgilaymiz, ya'ni

$$\vec{M}_0 = \sum_{i=1}^n \overrightarrow{mom}_i(\vec{F}) = \sum_{i=1}^n (\vec{r}_i \times \vec{F}_i). \quad (1.5.7)$$



28-shakl.



29-shakl.

$\vec{M}_0$  vektorga kuchlar sistemasining  $O$  markazga nisbatan bosh momenti deyiladi. Agar hamma kuchlar bitta nuqtaga qo'yilgan bo'lsa, u holda

$$\vec{M}_0 = \sum_{i=1}^n (\vec{r}_i \times \vec{F}_i) = \vec{r}_r \times \sum_{i=1}^n \vec{F}_i. \quad (1.5.8)$$

Demak, bir nuqtaga qo'yilgan kuchlar yig'indisining biror  $O$  nuqtaga nisbatan momenti kuchlarning o'sha nuqtaga nisbatan momentlari yig'indisiga teng (Varinon teoremasi).

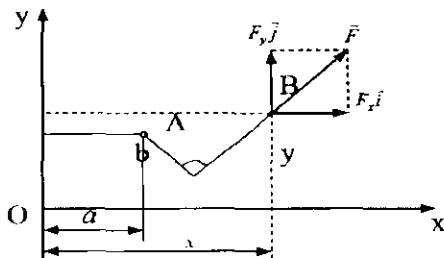
Kuchning  $A$  nuqtaga nisbatan algebraik momentini analitik tarzda quyidagicha ham ifodalash mumkin (30-shakl):

$$M_A(\vec{F}) = (x - a)F_y - (y - b)F_x, \quad (1.5.9)$$

bunda  $x$  va  $y$  kuch qo'yilgan nuqtaning dekart koordinatalari,  $a$  va  $b$   $A$  nuqtaning koordinatalari,  $F_x$  va  $F_y$  esa kuchning koordinata o'qlaridagi proyeksiyalari (30-shakl). Xususiy holda  $\vec{F}$  kuchining momenti koordinatalar boshiga nisbatan hisoblansa, (1.5.9) quyidagi ko'rinishda yoziladi:

$$M_0(\vec{F}) = xF_y - yF_x. \quad (1.5.10)$$

Endi bitta qo'zg'almas nuqtaga ega bo'lgan qattiq jismning muvozanati haqidagi masalani qaraymiz. Agar bunday qattiq jism muvozanatda bo'lsa, qo'zg'almas nuqtaning reaksiya kuchi jismga qo'yilgan aktiv kuchlarning teng ta'sir etuvchisi bilan muvozanatda bo'lishi kerak. Demak, aktiv kuchlarning teng ta'sir etuvchisining ta'sir chizig'i qo'zg'almas nuqtadan o'tishi kerak, aks holda jismning ag'darilishi yuz beradi.



30-shakl.

Agar moment markazi sifatida qattiq jismning qo'zg'almas nuqtasini olsak, reaksiya kuchining momenti nolga teng va demak, aktiv kuchlar teng ta'sir etuvchisining momenti ham nolga teng bo'ladi. Bu holda Varinon teoremasiga asosan aktiv kuchlarning qo'zg'almas nuqtaga nisbatan algebraik momentlari yig'indisi nolga teng, ya'ni

$$\sum_{i=1}^n M_0(\vec{F}_i) = 0. \quad (1.5.11)$$

#### 1.5.4. Kuchning o'qqa nisbatan momenti

*Kuchning o'qqa nisbatan momenti deb kuchning o'q ustida olingan ixtiyoriy nuqtaga nisbatan momentining shu o'qdagi proyeksiyasiga aytildi, ya'ni*

$$mom_x(\vec{F}) = (\vec{r} \times \vec{F})_x. \quad (1.5.12)$$

$\vec{F}$  kuchning  $x$  o'qi ustida olingan biror  $O$  nuqtaga nisbatan momentining shu o'qdagi proyeksiyasi  $O$  nuqtani tanlashga bog'liq emasligini ko'tsatamiz (31-shakl). Haqiqatan ham (1.5.12) tenglikni quyidagi ko'rinishda yozish mumkin:

$$mom_x(\vec{F}) = (\vec{r} \times \vec{F})_x = (\vec{r} \times \vec{F})\vec{x}^0 = (\vec{x}^0 \times \vec{r})\vec{F},$$

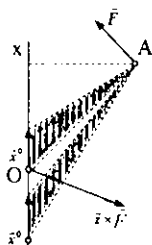
bunda  $\vec{x}^0$  -  $x$  o'qining birlik vektori.

$\vec{x}^0 \times \vec{r}$  ifodaning son qiymati (31-shakl) asosi  $|\vec{x}^0|$  va balandligi  $r \sin(\vec{x}^0, \vec{r}) = d$  ga teng bo'lgan uchburchak yuzining ikki baravariga

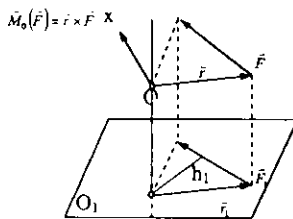
teng. Uchburchakning asosi ham balandligi ham o'zgarmas miqdorlar, demak  $(\vec{r} \times \vec{F})_x$  miqdor  $O$  nuqtani tanlashga bog'liq emas.

Kuchning o'qqa nisbatan momenti ta'rifini boshqacha ko'rinishda ham ifodalash mumkin: kuchning o'qqa nisbatan momenti deb kuchning shu o'qqa perpendikular tekislikdagi proyeksiyasining o'q bilan tekislik kesishgan nuqtaga nisbatan algebraik momentiga aytildi (32-shakl), ya'ni

$$mom_x(\vec{F}) = mom_{O_1}(\vec{F}) = \pm F_i h_i \quad (1.5.13)$$



31-shakl.



32-shakl.

(1.5.13) formuladagi (+) yoki (-) ishora quyidagicha tanlanadi:  $x$  o'qining musbat uchidan qaralganda  $\vec{F}$  kuch tekislikni soat mili harakatiga teskari yo'nalishda aylantirsa (+) ishora, aks holda (-) ishora olinadi. Agar  $\vec{F}$  kuchning ta'sir chizig'i  $x$  o'qini kesib o'tsa yoki parallel bo'lsa, kuchning shu o'qqa nisbatan momenti nolga teng bo'ladi.

Agar ixtiyoriy  $O$  nuqta sifatida  $Oxyz$  koordinatalar sistemasining boshi tanlansa, kuchning o'qqa nisbat momenti ta'rifiga hamda (1.5.5) ga asosan kuchning koordinata o'qlariga nisbatan momentlari uchun quyidagi formulalarni yozish mumkin:

$$\left. \begin{aligned} mom_x(\vec{F}) &= (\vec{r} \times \vec{F})_x = yF_z - zF_y, \\ mom_y(\vec{F}) &= (\vec{r} \times \vec{F})_y = zF_x - xF_z, \\ mom_z(\vec{F}) &= (\vec{r} \times \vec{F})_z = xF_y - yF_x. \end{aligned} \right\} \quad (1.5.14)$$

## 1.6. Kuch va kuchlar sistemasining nuqtaga hamda o'qqa nisbatan momentini hisoblash tartibi

1. Berilganlardan foydalanib moment hisoblanadigan nuqtaga nisbatan kuch yelkasi topiladi.

2. (1.5.1) formuladan foydalanib kuchning algebraik momenti topiladi.

3. Kuchning o'qqa nisbatan momentini hisoblashda koordinata o'qlaridan birortasini moment hisoblanishi kerak bo'lgan o'q bilan ustma-ust tushirish va o'q ustidagi ixtiyoriy nuqta sifatida koordinatalar sistemasining boshi olinishi kerak.

4. Kuch qo'yilgan nuqtaning koordinatalari va kuchning koordinata o'qlaridagi proyeksiyalari topiladi.

5. (1.5.14) formulalarni tegishlisidan foydalanib, kuchning o'qqa nisbatan momenti hisoblanadi.

Endi kuch va kuchlar sistemasining nuqtaga hamda o'qqa nisbatan momentini topishga doir masalalarni yechib ko'rsatamiz.

### 1.6.1. Kuchning va kuchlar sistemasining nuqtaga nisbatan momentiga doir masalalar

**6.1-masala (O.Ə. Kene 2.1.3).**  $F = 420\text{N}$  kuch  $Oxy$  tekisligining  $A$  nuqtasiga qo'yilgan.  $x_A = 0,2\text{m}$ ,  $y_A = 0,3\text{m}$  va burchak  $\alpha = 30^\circ$  bo'lsa,  $F$  kuchning  $O$  nuqtaga nisbatan momenti topilsin (33-shakl).

*Berilgan:*  $F=420\text{N}$ ,

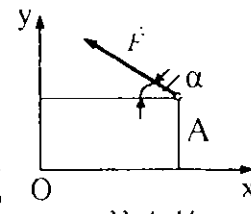
$x_A = 0,2\text{m}$ ,  $y_A = 0,3\text{m}$ ,  $\alpha = 30^\circ$

*Topish kerak:*  $M_O(\vec{F})$ .

*Yechish.*  $\vec{F}$  kuchni  $O$  nuqtaga nisbatan momentini (1.5.10) formuladan foydalanib topamiz:

$$M_O(\vec{F}) = x_A F_y - y_A F_x,$$

$$F_x = -F \cos \alpha = -F \cos 30^\circ = -\frac{\sqrt{3}}{2} F,$$



$$F_y = -F \sin \alpha = F \sin 30^\circ = \frac{1}{2} F.$$

Natijada

$$M_0(\vec{F}) = 0,2m \frac{1}{2} F - 0,3m \left( -\frac{\sqrt{3}}{2} F \right) = (0,1 + 0,26)m \cdot 420N.$$

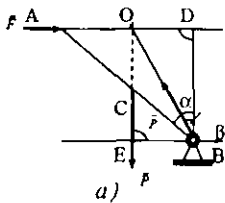
$$M_0(\vec{F}) = 151Nm.$$

**6.2-masala (O.Ə. Kene 2.1.5).** Og'irligi  $P$  ga teng bo'lgan ingichka bir jinsli  $AB$  sterjen polga mahkamlangan  $B$  sharnir atrofida aylana oladi. Sterjen muvozanatda qolishi uchun uning  $A$  uchiga qanday  $F$  kuchni vertikalga nisbatan qaysi burchak ostida qo'yish kerak? (34a-shakl).

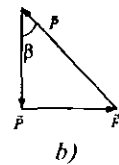
**Yechish.**  $AB$  sterjenning muvozanatini tekshiramiz. Sterjenga ikkita  $\vec{P}$  va  $\vec{F}$  aktiv kuchlar qo'yilgan. Bu kuchlarning ta'sir chiziqlari  $O$  nuqtada kesishadi.  $B$  sharnir reaksiyasi  $\vec{R}$  ning ta'sir chizig'i ham uch kuch haqidagi teoremmaga asosan  $O$  nuqtadan o'tishi kerak. 34-a shaklga asosan  $AC=CB$  va, demak,  $AO=OD$ .

$$\operatorname{tg} \alpha = \frac{AB}{BD} = \frac{2OD}{BD}, \quad \operatorname{tg} \beta = \frac{OA}{BD} \Rightarrow \operatorname{tg} \beta = \frac{1}{2} \operatorname{tg} \alpha.$$

34-b shaklga asosan  $F = \frac{P}{2} \operatorname{tg} \alpha$ .



34-shakl.



Bu shart bajarilganda sterjen muvozanatda bo'ladi.  $F > \frac{P}{2} \operatorname{tg} \alpha$  shart bajarilsa, sterjen  $B$  sharnir atrofida soat mili harakati

yo'nalishida,  $F < \frac{P}{2} \operatorname{tg} \alpha$  shart bajarilganda esa soat mili harakatiga qarama-qarshi yo'nalishda aylanadi.

Masalani riehagning (1.5.4) muvozanat shartidan foydalanib yechish ham mumkin. Bu shartni quyidagi ko'rinishda yozamiz:

$$M_B(\vec{P}) + M_B(\vec{F}) = 0. \quad (\text{a})$$

$$M_B(\vec{P}) = P \cdot BE = \frac{1}{2} P \cdot AB \sin \alpha, \quad M_B(\vec{F}) = -F \cdot BD = -F \cdot AB \cos \alpha$$

Bularni (a) tenglamaga qo'yamiz:

$$\frac{1}{2} P \cdot AB \sin \alpha - F \cdot AB \cos \alpha = 0.$$

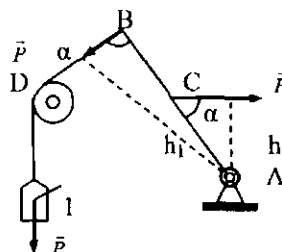
$$\text{Bundan } F = \frac{P}{2} \operatorname{tg} \alpha.$$

**6.3-masala (О.Э. Кене 2.1.9).** A sharnirga mahkamlangan  $AB$  sterjenda  $D$  shkiv orqali o'tuvchi arqon yordamida  $l$  yuk ushlab turiladi. Agar burchak  $\alpha = 60^\circ$  va yukning og'irligi  $2\text{N}$  bo'lsa, sterjenni muvozanatda ushlab turish uchun  $\vec{F}$  kuchning miqdori qanday bo'llishi kerak (35-shakl)?

*Berilgan:*  $\alpha = 60^\circ$ ,  $P=2\text{N}$ ,  $AC=BC$ .

*Topish kerak.*  $\vec{F}$  kuch miqdorini.

**Yechish.** Yukning og'irlilik kuchi  $\vec{P}$  ni arqon bo'ylab  $B$  nuqtaga ko'chiramiz.  $B$  va  $C$



35-shakl.

nuqtalarga qo'yilgan  $\vec{P}$  va  $\vec{F}$  kuchlar uchun (1.5.11) muvozanat tenglamasini tuzamiz. Moment markazi sifatida  $A$  nuqtani olamiz. U holda

$$M_A(\vec{F}) + M_A(\vec{P}) = 0; \quad hF - h_1 P = 0,$$

bunda  $h = AC \sin \alpha = \frac{\sqrt{3}}{2} AC$ ,  $h_1 = AB \sin \alpha = \frac{\sqrt{3}}{2} AB = \sqrt{3} AC$ .

$$\text{Natijada } \frac{\sqrt{3}}{2} AC \cdot F - \sqrt{3} ACP = 0 \Rightarrow F = 2P = 2 \cdot 2N = 4N.$$

**6.4-masala (O.Э.Кене 2.1.13).** Qo'zg'almas  $O$  nuqtaga ega bo'lган richagga miqdori  $F_1 = 6N$  bo'lган  $\vec{F}_1$  kuch va u bilan ichagni muvozanatda saqlab turuvchi  $\vec{F}_2$  kuch qo'yilgan.  $\alpha = 70^\circ$ ,  $AO = 0,3m$ ,  $BO = 0,4m$  bo'lsa,  $\vec{F}_2$  kuchning miqdori aniqlansin (36-shakl).

Berilgan:  $\alpha = 70^\circ$ ,  $AO = 0,3m$ ,

$BO = 0,4m$   $F_1 = 6N$

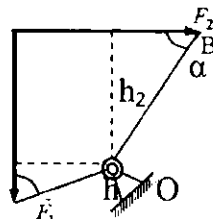
Topish kerak.  $\vec{F}_2$  kuch miqdorini.

**Yechish.**  $O$  markazga nisbatan muvozanat tenglamasini tuzamiz:  $M_O(\vec{F}_1) + M_O(\vec{F}_2) = 0$ .

36-shaklga asosan  $-h_1 F_1 + h_2 F_2 = 0$ ,

$h_1 = OA \sin 70^\circ \approx 0,28m$ ,  $h_2 = OB \sin 70^\circ = 0,4m$ .

$$\text{Natijada } F_2 = \frac{h_1}{h_2} F_1 = 4,5N.$$



36-shakl.

**6.5-masala (О.Э.Кене 2.2.11).** Kvadrat uchlariga miqdori  $4N$  dan bo'lган oltita kuch qo'yilgan. Berilgan kuchlar sistemasining  $B$  nuqtaga nisbatan bosh momenti topilsin (37-shakl).  $\ell = 0,4m$

Berilgan:  $F_1 = F_2 = \dots = F_6 = 4N$ ,  $\ell = 0,4m$ .

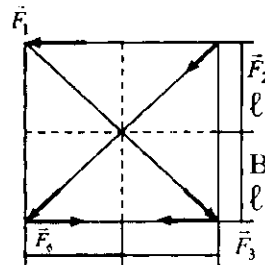
Topish kerak.  $M_B$ .

**Yechish.** (1.5.8) formuladan foydalanib kuchlar sistemasining  $B$  nuqtaga nisbatan bosh momentini topamiz:

$$\bar{M}_B = \sum_{i=1}^6 \bar{M}_B(\vec{F}_i).$$

Kuchlar sistemasining  $B$  nuqtaga nisbatan algebraik momenti, kuchlarning algebraik momentlari yig'indisiga teng, ya'ni

$$M_B = \ell \cdot F_1 + \frac{\sqrt{2}}{2} \ell F_2 + \frac{\sqrt{2}}{2} \ell F_3 - \ell F_4 + \ell F_5 + \frac{\sqrt{2}}{2} \ell F_6 = \\ = \left( \frac{3\sqrt{2}}{2} + 1 \right) \ell \cdot F, \quad M_B = 1,24m \cdot 4N = 4,9Nm.$$



37-shakl.

### 1.6.2. Kuchning va kuchlar sistemasining o'qqa nisbatan momentiga doir masalalar

**6.6-masala (O.Ə.Kene 5.1.7).** To'g'ri burchakli parallelepipedning  $A$  nuqtasiga  $F = 4kN$  kuch qo'yilgan. Agar  $a = 10m$ ,  $b = 6m$ ,  $c = 20m$  bo'lsa, kuchning  $Oy$  o'qiga nisbatan momenti topilsin (38-shakl).

*Berilgan:*  $F = 4kN$ ,  $a = 10m$ ,  $b = 6m$ ,  $c = 20m$ .

*Topish kerak.*  $M_y$ .

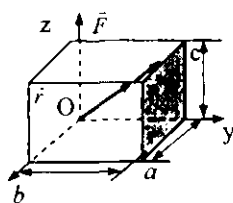
**Yechish.** Kuchning o'qqa nisbatan momentini topish formulasiga asosan

$$M_y(\vec{F}) = (\vec{r} \times \vec{F})_y = zF_x - xF_z,$$

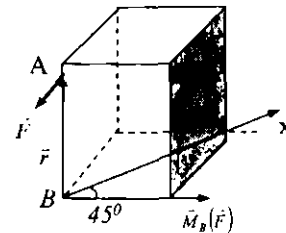
$$x = a = 10m, \quad z = c = 20m, \quad F_x = -F, \quad F_z = 0,$$

$$M_y(F) = 20m (-4kN) = -80kNm = -8 \cdot 10^4 Nm.$$

**6.7-masala (O.Ə. Kene 5.1.5).** Qirrasi 5m bo'lgan kubning  $A$  nuqtasiga  $F = 6kN$ , kuch qo'yilgan. Bu kuchning  $Bx$  o'qiga nisbatan momenti topilsin (39-shakl).



38-shakl.



39-shakl.

**Yechish.** Avval  $\vec{F}$  kuchning  $B$  nuqtaga nisbatan momentini hisoblaymiz:

$$\vec{M}_B(\vec{F}) = \vec{r} \times \vec{F}.$$

$\vec{M}_B(\vec{F})$  moment vektori kubning qirrasi bo'ylab yo'nalgan (40-shakl).

O'qqa nisbatan momentning ta'rifiga asosan

$$M_x(\vec{F}) = (\vec{r} \times \vec{F})_x = r \cdot F \sin 90^\circ \cdot \cos 45^\circ = \frac{\sqrt{2}}{2} 5m \cdot 6kN,$$

$$M_x(\vec{F}) = 2,12 \cdot 10^4 \text{ Nm}.$$

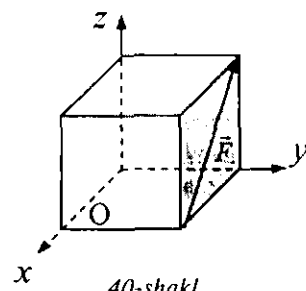
**6.8-masala (Kene 5.1.10).** Qirrasi  $0,2\text{m}$  bo'lgan kubning uchiga  $F=5\text{N}$  kuch qo'yilgan.  $\vec{F}$  kuchning  $Oz$  o'qiga nisbatan momenti hisoblansin (40-shakl).

**Yechish.** (1.4.14) formulalarning uchinchisidan foydalanib  $\vec{F}$  kuchning  $Oz$  o'qiga nisbatan momentini hisoblaymiz:

$$M_z(\vec{F}) = xF_y - yF_x,$$

bunda  $x$  va  $y$  kuch qo'yilgan nuqtaning koordinallari:  $x=y=0,2\text{m}$ .  $\vec{F}$  kuchning  $x$  va  $y$  o'qlaridagi proyeysiylari quyidagicha:

$$F_x = -FCos45^\circ = -\frac{\sqrt{2}}{2} F; \quad F_y = 0.$$



40-shakl.

$$\text{Natijada } M_z(\vec{F}) = 0,2m \cdot 0 - 0,2m \cdot \left( \frac{\sqrt{2}}{2} \right) 5N = 0,707 \text{ Nm},$$

$$M_z(\vec{F}) = 0,707 \text{ Nm}.$$

### Muammoli masala va topshiriqlar

1.  $\vec{F}$  kuch qo'yilish nuqtasining koordinatalari  $x = y = 0,2\text{m}$  proyeksiyalari  $F_x = F_y = 180\text{N}$ . Kuchning koordinatalar boshiga nisbatan algebraik momenti topilsin.

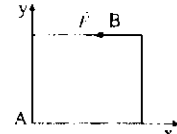
2. Koordinatalar boshiga qo'yilgan kuchning koordinata o'qalridagi proyeksiyalari:  $F_x = 3\text{N}$ ;  $F_y = 4\text{N}$ . Kuchning  $(0;3)$  nuqtaga nisbatan algebraik momenti topilsin.

3. Tomoni  $0,2m$  bo'lgan kvadrat plastinkaring  $B$  nuqtasiga  $F = 100\text{N}$  kuch qo'yilgan. Kuchning koordinatalar boshiga nisbatan algebraik momenti topilsin.

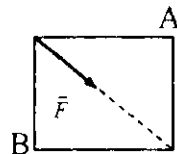
4. Tekislikning  $(2;3)$  nuqtasiga  $F = 150\text{N}$  kuch qo'yilgan. Kuchning ta'sir chizig'i  $x$  o'qi bilan  $450$  li burchak tashkil qiladi. Kuchning koordinatalar boshiga nisbatan momentning moduli topilsin.

5. Tomoni  $0,2\text{ m}$  dan bo'lgan kvadratning  $A$  uchuga  $F = 120\text{N}$  kuch qo'yilgan. Kuchning  $B$  nuqtaga nisbatan momentning moduli topilsin.

6. Oxy tekisligining  $A$  nuqtasiga  $F = 420\text{N}$  kuch qo'yilgan  $A$  nuqtaning koordinatalari  $x_A = 0,2\text{m}$ ,  $y_A = 0,3\text{m}$  va bo'lsa, kuchning  $O$  nuqtasiga nisbatan momenti topilsin.



3-masala.



5-masala.

### Mustaqil ishslash uchun savol va topshiriqlar

1. Kuchning nuqtaga nisbatan momenti deb nimaga aytildi?
2. Kuchning nuqtaga nisbatan algebraik momenti deb nimaga aytildi?
3. Kuch momentining moduli nimaga teng?
4. Kuchning o'qqa nisbatan momenti deb nimaga aytildi?
5. Moment vektorining moduli va yo'nalishi qanday topiladi?

## *II BOB. PARALLEL KUCHLAR SISTEMASI*

Ushbu bobda bir tomonga yo'nalgan ikkita paralel kuchlar sistemasi, qarama-qarshi tomonga yo'nalgan ikkita parallel kuchlar sistemasi, tekislikda juft kuchlar sistemasi va ularning muvozanat shartlariga doir nazariyalar, bir tekislikda yotgan parallel kuchlar sistemasininig muvozanat shartlari, tekislikda ixtiyoriy ravishda joylashgan kuchlar sistemasining muvozanat shartlari, parallel kuchlar markazi, og'irlik markazi, og'irlik markazining koordinatalarini topish usullari, ba'zi oddiy jismalarning og'irlik markazini aniqlash, Gulden-Pap teoremlari kabi masalalar bayon etiladi.

### **2.1. Parallel kuchlar sistemasi**

Kuch, parallel va antiparallel kuchlar, juft kuch, juftlik momenti.

#### **2.1.1. Bir tomonga yo'nalgan ikkita parallel kuchlar sistemasi**

Absolut qattiq jismning ikkita har xil nuqtalariga qo'yilgan ikkita  $\vec{P}$  va  $\vec{Q}$  parallel kuchlar sistemasini qaraymiz (41-shakl). Kuchlar qo'yilgan nuqtalarni  $A$  va  $B$  bilan belgilaymiz.  $A$  va  $B$  nuqtalarga miqdorlari teng hamda  $AB$  to'g'ri chiziq bo'ylab qarama-qarshi tomonga yo'nalgan  $\vec{S}$  va  $\vec{S}'$  kuchlarni qo'yamiz. Bunday ikkita kuch muvozanatlashgan kuchlar sistemasini hosil qiladi, ya'ni

$$(\vec{S}, \vec{S}') \sim 0.$$

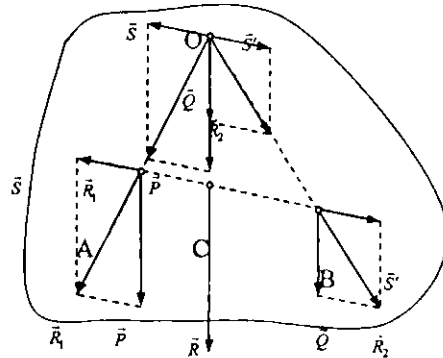
$A$  va  $B$  nuqtalarga qo'yilgan va kuchlarni qo'shib, ularning teng ta'sir etuvchi  $\vec{R}_1$  va  $\vec{R}_2$  larni hosil qilamiz. Ikkinci aksiomaga asosan

$$(\vec{P}, \vec{Q}) \sim (\vec{P}, \vec{Q}, \vec{S}, \vec{S}')$$

va demak

$$(\vec{P}, \vec{Q}) \sim (\vec{R}_1, \vec{R}_2).$$

$\vec{R}_1$  va  $\vec{R}_2$  kuchlarni ta'sir chiziqlari bo'ylab ularni  $O$  kesishish nuqtasiga ko'chiramiz (41-shakl).



41-shakl.

Keyin  $\vec{R}_1$  va  $\vec{R}_2$  kuchlarini  $AB$  to'g'ri chiziq va  $\vec{P}$ ,  $\vec{Q}$  kuchlarga parallel  $\vec{P}$  va  $\vec{S}$ ,  $\vec{Q}$  va  $\vec{S}'$  tuzuvchilarga ajratamiz. Shunday qilib, bitta nuqtaga qo'yilgan kuchlar sistemasiga ega bo'lamiz.  $(\vec{S}, \vec{S}')$  muvozanatlashgan kuchlar sistemasini tashkil qiladi, shuning uchun

$$(\vec{P}, \vec{Q}, \vec{S}, \vec{S}') \sim (\vec{P}, \vec{Q}).$$

$\vec{P}$  va  $\vec{Q}$  kuchlar  $\vec{P}$  va  $\vec{Q}$  kuchlarga parallel to'g'ri chiziq bo'ylab bir tomonga yo'nalgani uchun ularning teng ta'sir etuvchisi  $\vec{R} = \vec{P} + \vec{Q}$  bo'ladi. Demak, uning moduli berilgan kuchlar modullari yig'indisiga teng, ya'ni

$$R = P + Q. \quad (2.3.1)$$

Teng ta'sir etuvchining yo'naliishi berilgan kuchlarga paralleldir. Mos uchburchaklarning o'xshashligidan

$$\frac{P}{OC} = \frac{S}{AC}, \quad \frac{Q}{OC} = \frac{S'}{SB}.$$

Bu proporsiyalarning birinchingisini ikkinchisiga bo'lib, quyidagini hosil qilamiz:

$$\frac{P}{Q} = \frac{CB}{AC}, \quad \text{bundan } \frac{P}{CB} = \frac{Q}{AC}.$$

Oxirgi proporsiyadan quyidagi hosilaviy proporsiyaga kelamiz:

$$\frac{P+Q}{AC+CB} = \frac{P}{CB} = \frac{Q}{AC},$$

$P+Q=R$  va  $AC+CB=AB$  bo'lgani uchun

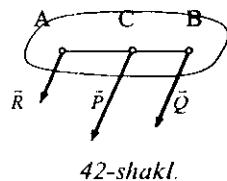
$$\frac{P}{CB} = \frac{Q}{AC} = \frac{R}{AB}. \quad (2.3.2)$$

Shunday qilib, bir tomonga yo'nalgan ikkita parallel kuch teng ta'sir etuvchiga ega bo'lib, teng ta'sir etuvchining moduli berilgan kuchlar modullari yig'indisiga teng. Yo'nalishi berilgan kuchlarga parallel va ular bilan bir xil bo'ladi. Teng ta'sir etuvchi-ning ta'sir chizig'i  $AB$  kesmani berilgan kuchlarning modullariga nisbatan ichki ravishda teskari proporsional bo'laklarga ajratadi.

Endi berilgan  $\tilde{R}$  kuchni ikkita parallel tuzuvchiga ajratish masalasini qaraymiz. Bu masalani cheksiz ko'p usullar bilan yechish mumkin, ya'ni masala umumiy holda aniqmas masala hisoblanadi.

Masala aniq masala bo'lishi uchun tuzuvchi kuchlardan bittasining moduli va qo'yilish nuqtasi yoki ikkala tuzuvchining ham qo'yilish nuqtasi berilishi kerak. Masalan,  $C$  nuqtaga qo'yilgan  $\tilde{R}$  kuchni unga parallel shunday ikkita tuzuvchiga ajratilganki, ulardan biri  $A$  nuqtaga qo'yilgan bo'lib, moduli  $P$  ga teng. Ikkinci qo'shiluvchining moduli  $Q$  va qo'yilish nuqtasi  $B$  quyidagi munosabatlardan topiladi (42-shakl):

$$R = P + Q, \quad \frac{P}{CB} = \frac{Q}{AC},$$



42-shakl.

bulardan

$$Q = R - P, \quad CB = \frac{P}{Q} AC.$$

Endi  $\vec{R}$  kuchni  $A$  va  $B$  nuqtalarga qo'yilgan ikkita parallel tuzuvchilarga ajratish talab etilsin. Tuzuvchi kuchlarning modullari quyidagi munosabatlardan topiladi:

$$P = R \cdot \frac{CB}{AB}, \quad Q = R \cdot \frac{AC}{AB}.$$

### 2.1.2. Qarama-qarshi tomonga yo'nalgan ikkita parallel kuchlar sistemasi

Qarama-qarshi tomonga yo'nalgan ikkita parallel kuchga anti parallel kuchlar deyiladi.  $A$  va  $B$  nuqtalarga qo'yilgan miqdorlari teng bo'limgan ikkita anti parallel kuchlar berilgan bo'lsin (43-shakl).

Moduli katta bo'lgan  $\vec{P}$  kuchni ikkita  $\vec{R}$  va  $\vec{Q}'$  tuzuvchiga shunday ajratamizki, bu kuchlardan bittasi  $\vec{Q}'$  ning moduli  $\vec{Q}$  ning moduliga teng va  $\vec{Q}$  kuch bilan bir to'g'ri chiziq bo'ylab qarama-qarshi tomonga yo'nalgan bo'lsin, ya'ni  $Q = Q'$ ,  $\vec{Q} = -\vec{Q}'$ .

U holda  $\vec{Q}$  va  $\vec{Q}'$  kuchlar nol sistemani hosil qiladi, ya'ni  $(\vec{Q}, \vec{Q}') \sim 0$ .  $\vec{R}$  kuchning moduli va qo'yilish nuqtasi (2.3.1) va (2.3.2) formulalardan topiladi, ya'ni

$$R = P - Q. \quad (2.3.3)$$

$$\frac{P}{BC} = \frac{Q}{AC} = \frac{R}{AB}. \quad (2.3.4)$$

$\vec{R}$  kuch  $\vec{P}$ ,  $\vec{Q}$  antiparallel kuchlarining teng ta'sir etuvchisi bo'ladi, ya'ni

$$(\vec{P}, \vec{Q}) \sim (\vec{R}, \vec{Q}, \vec{Q}') \sim \vec{R}.$$

Shunday qilib, ikkita antiparallel kuchlar sistemasi teng ta'sir etuvchiga ega bo'lib, uning modullari berilgan kuchlar modullari

ayirmasiga teng, yo'nalishi berilgan kuchlarga parallel va katta kuch bilan bir xil bo'ladi. Teng ta'sir etuvchining qo'yilish nuqtasi  $AB$  kesmaning davomidagi  $C$  nuqtada bo'lib,  $AB$  kesmani tashqi ravishda kuchlar modullariga nisbatan teskari proporsional bo'laklarga ajratadi.

## 2.2. Juftlar nazariyasi

Qattiq jismning ikkita har xil nuqtalariga qo'yilgan modullari teng va qarama-qarshi tomonga yo'nalgan ikki parallel kuchlar sistemasiga **juft kuch** deyiladi (44-shakl). Kuchlarning ta'sir chiziqlari orasidagi masofaga juft kuch yelkasi deyiladi.

Juft kuch teng ta'sir etuvchiga ega emas. Buni teskaridan faraz qilib isbotlaymiz. Faraz qilaylik,  $(\vec{F}, \vec{F}')$  juft kuch  $\vec{R}$  teng ta'sir etuvchiga ega bo'lsin.  $(\vec{F}, \vec{F}')$  kuchlar sistemasiga miqdori teng ta'sir etuvchining moduliga teng va bir to'g'ri chiziq bo'ylab qarama-qarshi tomonga yo'nalgan  $\vec{R}'$  kuchni qo'shamiz, natijada  $(\vec{F}, \vec{F}', \vec{R}')$  muvozanatlashgan kuchlar sistemasi hosil bo'ladi, ya'ni

$$(\vec{F}, \vec{F}', \vec{R}') \sim 0, \quad \vec{R}' = -\vec{R}.$$

Uch kuchning muvozanati haqidagi teoremaning zaruriy sharti bajarilmaydi. Demak,  $(\vec{F}, \vec{F}')$  juft kuch teng ta'sir etuvchiga ega emas. Bundan juft kuch ta'siridagi jism muvozanatda bo'lmaydi degan xulosa kelib chiqadi. Juft kuch ta'siridagi jism aylanma harakat qiladi. Juftning jismga ko'rsatadigan ta'siri uning momenti bilan xarakterlanadi. Juftning algebraik momenti deb juftni tashkil qiluvchi kuchlardan birining moduli bilan juft yelkasi ko'paytmasining (+) yoki (-) ishora bilan olinganiga aytildi, ya'ni

$$M(\vec{F}, \vec{F}') = mom(\vec{F}, \vec{F}') = \pm F_1 \cdot d = \pm F_2 \cdot d. \quad (2.2.1)$$

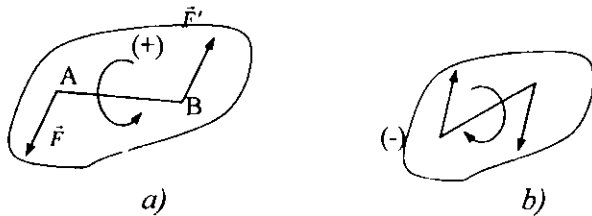
Juft kuch yotgan tekislikka juft tekisligi deyiladi. Agar juft kuch juft tekisligini soat mili harakati yo'nalishiga qarama-qarshi yo'nalishda aylantirsa (2.2.1) formulada (+) ishora, soat

milli harakati yo'nalishida aylantirsa (-) ishora olinadi (45- a, b shakl).

### Tekislikdagi juft kuchlar haqida teoremlar

**1-teorema.** Juftning algebraik momenti ixtiyoriy markazga nisbatan juftni tashkil qiluvchi kuchlarning algebraik momentlari yig'indisiga teng.

**Ishot.** Ixtiyoriy  $O$  nuqtani tanlaymiz (46-shakl).  $O$  nuqtaga nisbatan  $A$  va  $B$  nuqtalarning radius-vektorlarini  $\vec{r}_1$ ,  $\vec{r}_2$  bilan



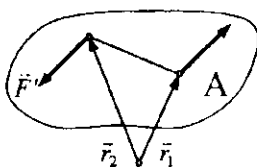
45-shakl.

belgilaymiz. U holda  $\overrightarrow{AB} = \vec{r}_2 - \vec{r}_1$  va

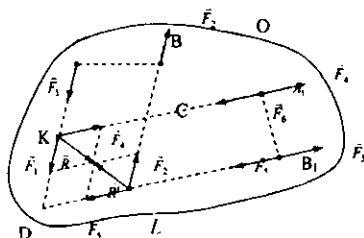
$$\overrightarrow{AB} \times \vec{F}' = (\vec{r}_2 - \vec{r}_1) \times \vec{F}' = \vec{r}_2 \times \vec{F}' - \vec{r}_1 \times \vec{F}'$$

$$\vec{F}' = \vec{F} \text{ bo'lgani uchun } mom(\vec{F}, \vec{F}') = \overrightarrow{AB} \times \vec{F}' = \vec{r}_1 \times \vec{F}' + \vec{r}_2 \times \vec{F}' = mom_0(\vec{F}) + mom_0(\vec{F}')$$

**2-teorema.** Juftni o'z tekisligida bir holatdan boshqa bir holatga ko'chirganda juftning jismiga ko'rsatadigan ta'siri o'zgarmaydi.



46-shakl.



47-shakl.

**Isbot.** Yelkasi  $AB$  bo'lgan  $(\vec{F}_1, \vec{F}_2)$  juft berilgan bo'lsin (47-shakl). Tekislikning  $A_1$  va  $B_1$  nuqtalariga miqdorlari teng va yo'nalishlari qarama-qarshi  $\vec{F}_3, \vec{F}_4$  va  $\vec{F}_5, \vec{F}_6$  kuchlarni qo'yamiz ( $F_3 = F_4 = F_5 = F_6$ ), bunda  $AB = A_1B_1$ .

$\vec{F}_1, \vec{F}_2, \vec{F}_4$  va  $\vec{F}_5$  kuchlarning ta'sir chiziqlari bo'ylab  $K$  va  $L$  nuqtalarga ko'chiramiz. Natijada  $K$  va  $L$  nuqtalarga qo'yilgan  $(\vec{F}_1, \vec{F}_4)$  va  $(\vec{F}_2, \vec{F}_5)$  kuchlar sistemasiga ega bo'lamiz.  $\vec{F}_1$  va  $\vec{F}_4$  kuchlarni teng ta'sir etuvchisini  $\vec{R}$  bilan  $\vec{F}_2$  va  $\vec{F}_5$  kuchlarni teng ta'sir etuvchisini  $\vec{R}'$  bilan belgilaymiz, ya'ni  $(\vec{F}_1, \vec{F}_4) \sim (\vec{R}, \vec{R})$ ,  $(\vec{F}_2, \vec{F}_5) \sim (\vec{R}', \vec{R}')$ .  $\vec{F}_1 = \vec{F}_2$ ,  $\vec{F}_4 = \vec{F}_5$  bo'lgani uchun  $\vec{R}$  va  $\vec{R}'$  kuchlarning modullari teng va bir to'g'ri chiziq bo'ylab qarama-qarshi tomonga yo'nalgan. U holda

$$(\vec{F}_1, \vec{F}_4, \vec{F}_2, \vec{F}_5) \sim (\vec{R}, \vec{R}') \sim 0.$$

Natijada

$$(\vec{F}_1, \vec{F}_2) \sim (\vec{F}_1, \vec{F}_2, \vec{F}_3, \vec{F}_4, \vec{F}_5, \vec{F}_6) \sim (\vec{F}_3, \vec{F}_6).$$

Momentlari teng bo'lgan ikkita juftga *ekvivalent juftlar* deyiladi, ya'ni

$$mom(\vec{F}, \vec{F}') = mom(\vec{P}, \vec{P}') \Rightarrow (\vec{F}, \vec{F}') \sim (\vec{P}, \vec{P}').$$

**3-teorema.** Juftning momentini o'zgartirmasdan uning tashkil etuvchi kuchlarini va yelkasini har qancha o'zgartirganda ham juftning jismga ko'rsatadigan ta'siri o'zgarmaydi.

**Isbot.**  $(\vec{P}_1, \vec{P}_2)$  juft berilgan bo'lsin (48-shakl).  $\vec{P}_2$  kuchni unga parallel ikkita tuzuvchiga ajratamiz, ya'ni

$$\vec{P}_2 \sim (\vec{Q}, \vec{P}_2 - \vec{Q}).$$

Kuchlardan bittasi  $A$  nuqtaga ikkinchisi  $AB$  kesma yotgan to'g'ri chiziq davomidagi  $C$  nuqtaga qo'yilgan bo'lsin.  $A$  nuqtaga

qo‘yilgan  $\vec{P}$  va  $\vec{P}_2 - \vec{Q}$  kuchlarning teng ta’sir etuvchisi  $\vec{Q}'$  ning moduli

$$Q' = P_1 - (P_2 - Q) = Q.$$

Natijada yelkasi  $AC$  bo‘lgan yangi justga ega bo‘lamiz.  $AC$  yelka quyidagi munosabatni qanoatlantiradi:  $\frac{Q}{AB} = \frac{P_2}{AC}$  bundan

$$Q \cdot AC = P_2 \cdot AB. \quad (2.2.2)$$

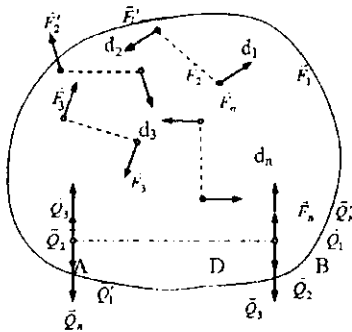
(2.2.2) tenglikdagi  $Q \cdot AC$  ko‘paytma  $(\vec{Q}, \vec{Q}')$  just kuchning momentini,  $P_2 \cdot AB$  ko‘paytma esa  $(\vec{P}_1, \vec{P}_2)$  justning momentini ifodalaydi, ya’ni  $mom(\vec{Q}, \vec{Q}') = mcm(\vec{P}_1, \vec{P}_2)$ .

**4-teorema.** Bir tekislikda yotgan just kuchlar sistemasi bitta just kuchga ekvivalent bo‘lib, uning momenti berilgan just kuchlar momentlari yig‘indisiga teng.

**Ishbot.** Bir tekislikda yotgan  $(\vec{F}_1, \vec{F}'_1), (\vec{F}_2, \vec{F}'_2), \dots, (\vec{F}_n, \vec{F}'_n)$  just kuchlar berilgan bo‘lsin (49-shakl). 3-teoremadan foydalanim, berilgan just kuchlarning momentlarini o‘zgartirmay bitta  $D$  yelkaga keltiramiz.

Natijada

$$[(\vec{F}_1, \vec{F}''_1), (\vec{F}_2, \vec{F}''_2), \dots, (\vec{F}_n, \vec{F}''_n)] \sim [(\vec{Q}_1, \vec{Q}'_1), (\vec{Q}_2, \vec{Q}'_2), \dots, (\vec{Q}_n, \vec{Q}'_n)].$$



49-shakl.

$A$  va  $B$  nuqtalarga qo'yilgan kuchlarni qo'shib,  $(\vec{R}, \dot{\vec{R}}')$  yangi juft kuchni hosil qilamiz. 49-shaklga asosan

$$R' = R = Q_1 - Q_2 - Q_3 + \dots + Q_4.$$

$(\vec{R}, \dot{\vec{R}}')$  juftning momenti

$$\begin{aligned} mom(\vec{R}, \dot{\vec{R}}') &= R \cdot D = \\ &= (Q_1 D) + (-Q_2 D) + (-Q_3 D) + \dots + (Q_4 D). \end{aligned} \quad (2.2.3)$$

3-teoremaga asosan

$$\begin{aligned} Q_1 D &= F_1 d_1 = mom(\vec{F}_1, \vec{F}'_1) \\ -Q_2 D &= -F_2 d_2 = mom(\vec{F}_2, \vec{F}'_2) \\ Q_n D &= F_n d_n = mom(\vec{F}_n, \vec{F}'_n) \end{aligned}$$

Bu tengliklarni hadma-had qo'shib, (2.2.3) ga asosan quyidagi topamiz:

$$mom(\vec{R}, \dot{\vec{R}}') = \sum_{i=1}^n mom(\vec{F}_i, \vec{F}'_i) \quad (2.2.4)$$

### 2.3. Bir tekislikda yotgan parallel kuchlar sistemasining muvozanat shartlari

Kuch, kuchlar sistemasi, kuchning koordinata o'qlaridagi proyeksiyalari, kuchning nuqtaga nisbatan momenti.

Bir tekislikda yotgan parallel kuchlar sistemasining muvozanat shartlari quyidagi tenglamalar bilan ifodalanadi:

$$\begin{cases} \sum_{i=1}^n F_y = 0, \\ \sum_{i=1}^n M_0(\vec{F}_i) = 0. \end{cases} \quad (2.3.1)$$

Bir tekislikda yotgan parallel kuchlar sistemasi muvozanatda bo'lishi uchun kuchlarning shu kuchlarga perpendikular bo'lma-

gan o'qdagi proyeksiyalari yig'indisi va kuchlar tekisligidagi ixtiyoriy nuqtaga nisbatan momentlari yig'indisi nolga teng bo'lishi zarur va yetarli.

Bir tekislikda yotgan parallel kuchlar sistemasining muvozanat shartlarini boshqacha ko'rinishdagi tenglamalar bilan ham berish mumkin, ya'ni

$$\begin{cases} \sum_{i=1}^n M_A(\bar{F}_i) = 0, \\ \sum_{i=1}^n M_B(\bar{F}_i) = 0. \end{cases} \quad (2.3.2)$$

Bir tekislikda yotgan parallel kuchlar sistemasining muvozanatda bo'lishi uchun kuchlar sistemasining shu kuchlarga perpendikular to'g'ri chiziq ustidagi ixtiyoriy ikkita nuqtaga nisbatan algebraik momentlari yig'indisi alohida-alohida nolga teng bo'lishi zarur va yetarli.

#### **2.4. Bir tekislikda yotgan parallel kuchlar sistemasining muvozanatiga doir masalalarni yechish bo'yicha uslubiy tavsiyalar**

Bir tekislikda yotgan parallel kuchlar sistemasining muvozanatiga doir masalalarni yechish bo'yicha quyidagi uslubiy tavsiyalarini berish mumkin:

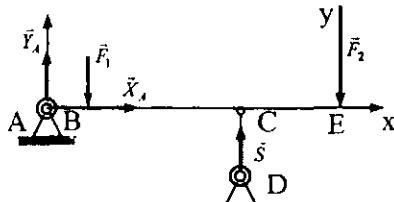
1. Qaralayotgan qurilmaning qaysi qismining muvozanati tekshirilayotganini aniqlash kerak.
  2. Koordinatalar sistemasi o'qlaridan bittasini kuchlarga parallel qilib tanlash maqsadga muvofiq.
  3. Qurilmaga ta'sir etuvchi aktiv kuchlar va bog'lanish reaksiyalarini shaklda tasvirlab olinadi.
  4. Moment markazi yoki moment markazlari tanlanib (2.3.1) tenglamalar sistemasi yoki (2.3.2) tenglamalr sistemasi tuziladi.
  5. Tuzilgan tenglamarni birgalikda yechib, izlanayotgan nomalumlar topiladi.
- Berilgan uslubiy tavsiyalar asosida quyida parallel kuchlar sistemasining muvozanatiga doir masalalarni yechib ko'rsatamiz.

**4.1-masala (О.Э.Кепе 2.3.3).**  $AE$  sterjen  $A$  nuqtada sharnir vositasida biriktirilgan va  $CD$  vertikal sterjenga tirkalgan. Agar bo'lsa,  $CD$  sterjendagi  $S$  zo'riqish kN da topilsin (50-shakl).

**Yechish.**  $A$  sharniring reaksiyasini koordinata o'qlari bo'ylab yo'nalgan  $\bar{x}_A, \bar{y}_A$  tuzuvchilarga ajratamiz. Uchta noma'lum reaksiya kuchi mavjud, bu noma'lumlarni topish uchun uchta tenglama kerak bo'ladi.

*Berilgan:*  $AB = 1\text{m}$ ,  $BC = CE = 2\text{m}$ ,  $F_1 = 2\text{kN}$ ,  $F_2 = 4\text{kN}$ .

*Topish kerak:*  $S$ .



50-shakl.

**Yechish.** Topish kerak bo'lgan  $S$  noma'lum reaksiyani  $A$  nuqtaga nisbatan bitta moment tenglamasidan topish mumkin, ya'ni

$$\sum_{i=1}^5 mom_A(\vec{F}_i) = 0. \quad (\text{a})$$

$\bar{x}_A$  va  $\bar{y}_A$  kuchlarning ta'sir chiziqlari  $A$  nuqtadan o'tadi. Shuning uchun bu kuchlarning  $A$  nuqtaga nisbatan momentlari nolga teng:

$$-AB \cdot F_1 + AC \cdot S - AE \cdot F_2 = 0$$

yoki

$$3m \cdot S = 1m \cdot 2\text{kN} + 5 \cdot 4\text{kN}.$$

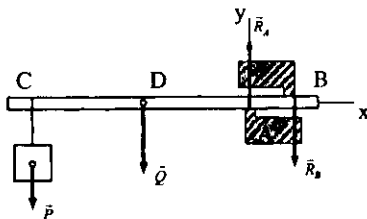
Bundan

$$S = 7,33\text{kN}.$$

**4.2-masala (Мешчерский 3.12).** Uzunligi 4m, og'irligi 5kN bo'lgan bir jinsli gorizontal balka qalinligi 0,5 m bo'lgan devorga shunday qilib o'rnatilganki, u  $A$  va  $B$  nuqtalarda devorga tiralib turadi. Balkaning erkin uchiga og'irligi 40kN bo'lgan Pyuk osilgan.  $A$  va  $B$  nuqtalardagi reaksiya kuchlari topilsin (51-shakl).

Berilgan:  $BC = 4\text{m}$ ,  $AB = 0,5\text{m}$ ,  $P = 40\text{kN}$ ,  $Q = 4\text{kN}$ .

Topish kerak:  $R_A$ ,  $R_B$  reaksiya kuchlarini.



51-shakl.

**Yechish.** Koordinatalar sistemasini shaklda ko'rsatilganday qilib tanlab,  $y$  o'qiga nisbatan proyeksiyalar tenglamarasini va  $A$  nuqtaga nisbatan moment tenglamarasini tuzamiz, yani

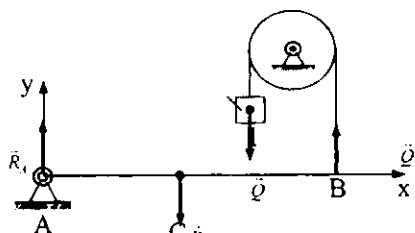
$$\sum_{i=1}^4 F_{iy} = R_A - R_B - Q - P = 0,$$

$$\sum_{i=1}^4 mom_A(\vec{F}_i) = AC \cdot P + AD \cdot Q - AB \cdot R_B = 0.$$

Bu tenglamarga berilganlarni qo'yamiz:

$$\begin{cases} R_A - R_B = 4\text{kN} + 40\text{kN}, \\ 0,5\text{m}R_B = 3,5\text{m} \cdot 40\text{kN} + 1,5 \cdot 4\text{kN}. \end{cases} \quad (\text{a})$$

Bu tenglamalarning ikkinchisidan  $R_B = 295\text{kN}$ , birinchisidan  $R_A = 340\text{kN}$ . Javob:  $R_A = 340\text{kN}$ ,  $R_B = 295\text{kN}$ .



52-shakl.

**4.3-masala (O.Ə.Kene 2.3.13).** Og'irligi  $340\text{N}$  bo'lgan bir jinsli  $AB$  balkani gorizontal holatda muvozanatda ushlab turuvchi  $l$  yukning og'irligi topilsin (52-shakl).

**Yechish.** Yukning  $Q$  og'irlik kuchini arqon bo'ylab  $B$

nuqtaga ko'chiramiz, bu kuch vertikal yuqoriga yo'nalgan bo'ladi.  $\vec{Q}$  kuchning modulini topish uchun  $A$  nuqtaga nisbatan moment tenglmasini tuzamiz, ya'ni

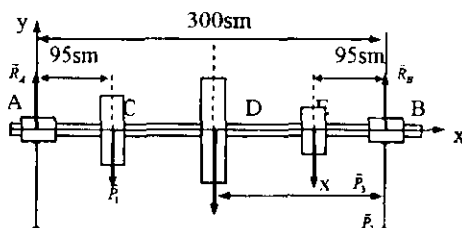
$$\sum_{i=1}^3 mom_A(\vec{F}_i) = -AC \cdot P + AB \cdot Q = 0.$$

Balka bir jinsli bo'lgani uchun  $AC = \frac{1}{2}AB$ . Natijada yuqoridagi tenglamalardan:  $Q = \frac{1}{2}P$ , yoki  $Q = 170\text{N}$ .

**4.4-masala (И.В.Менгерский 3.5).**  $AB$  transmission valga  $P_1 = 3\text{kN}$ ,  $P_2 = 5\text{kN}$ ,  $P_3 = 2\text{kN}$  bo'lgan uchta shkiv o'rnatilgan. O'lchamlar shaklda ko'rsatilgan.  $A$  podshipnikning reaksiyasi  $B$  podshipnik reaksiyasigateng bo'lishi uchun  $P_2$  og'irlikdagi shkivni  $B$  podshipnikdan qanday  $x$  masofada o'rnatish kerak? Valning og'irligi e'tiborga olinmasin (53-shakl).

*Berilgan:*  $P_1 = 3\text{kN}$ ,  $P_2 = 5\text{kN}$ ,  $P_3 = 2\text{kN}$ .

*Topish kerak:*  $x$ .



53-shakl.

**Yechish.** Koordinatalar sistemasini shaklda ko'rsatilganday qilib tanlaymiz.  $y$  o'qiga nisbatan proyeksiyalar tenglamarasini va  $B$  nuqtaga nisbatan moment tenglamalarini tuzamiz, ya'ni

$$\sum_{i=1}^5 F_{iy} = R_A - P_1 - P_2 - P_3 + R_B = 0,$$

$$\sum_{i=1}^5 mom_B(\vec{F}_i) = BE \cdot P_3 + BD \cdot P_2 + BC \cdot P_1 - BA \cdot R_A = 0. \quad (a)$$

$R_A = R_B$  bo'lgani uchun (a) tenglamalarning birinchisidan

$$R_A = R_B = 5\text{kN},$$

ikkinchisini quyidagi ko'rinishda yozsak:

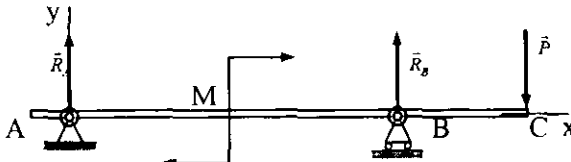
$$95\text{sm} \cdot 2\text{kN} + x \cdot 5\text{kN} + 205\text{sm} \cdot 3\text{kN} - 30\text{sm} \cdot 5\text{kN} = 0,$$

bundan  $x = 135\text{sm}$ .

**4.5-masala (И.В.Менгерский 3.15).** Gorizontal konsol balkaga momenti  $M = 6\text{kN}\cdot\text{m}$  bo'lgan juft kuch, uning C nuqtasiga esa vertikal  $P = 2\text{kN}$  yuk ta'sir qiladi. Balkaning  $AB$  oralig'i  $3,5\text{m}$ , konsolning chiqib turgan qismi  $BC = 0,5\text{m}$ . Tayanchlardagi reaksiyalar topilsin (54-shakl).

*Berilgan:*  $M = 6\text{kN}\cdot\text{m}$ ,  $P = 2\text{kN}$ ,  $AB = 3,5\text{m}$ ,  $BC = 0,5\text{m}$ .

*Topish kerak:*  $R_A \cdot R_B$



54-shakl.

**Yechish.**  $\vec{R}_A$  va  $\vec{R}_B$  noma'lum reaksiyalarni topish uchun y o'qiga nisbatan proyeksiyalar tenglamasini va A nuqtaga nisbatan moment tenglamasini tuzamiz, ya'ni

$$\begin{aligned} \sum_{i=1}^3 F_{iy} &= R_A + R_B - P = 0, \\ \sum_{i=1}^4 mom_A(\vec{F}_i) &= AB \cdot R_B - AC \cdot P - M = 0. \end{aligned} \quad (a)$$

(a) tenglamalarning ikkinchisidan

$$R_B = \frac{1}{AB} (AC \cdot P + M) = \frac{1}{3,5\text{m}} (4\text{m} \cdot 2\text{kN} + 6\text{kNm}), \quad R_B = 4\text{kN}.$$

birinchisidan  $R_A = P - R_B = -2\text{kN}$ .

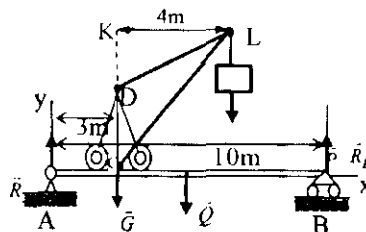
*Javob.*  $R_A = -2\text{kN}$  vertikal bo'ylab pastga,  $R_B = 4\text{kN}$  esa vertikal bo'ylab yuqoriga yo'nalgan.

**4.6-masala (И.В.Мешгерский 3.17).** Uzunligi 10 m bo'lgan  $AB$  balka ustiga yuk ko'taradigan kran uchun yo'l solingan. Kranning og'irligi 50kN bo'lib, uning og'irlik markazi  $CD$  o'qda yotadi.  $R$  yukning og'irligi 10kN,  $AB$  balkaning og'irligi 30kN; kranning  $KL$  qulochi uzunligi 4m,  $AC = 3\text{m}$ . Kranning  $DL$  strelasi balka bilan bir vertikal tekislikda bo'lgan hol uchun  $A$  va  $B$  nuqtalardagi tayanch reaksiyalari topilsin (55-shakl).

*Berilgan:*  $AB = 10\text{m}$ ,  $G = 50\text{kN}$ ,  $P = 10\text{kN}$ ,  $Q = 30\text{kN}$ ,  $KL = 4\text{m}$ ,  $AC = 3\text{m}$ .

*Topish kerak:*  $R_A$ ,  $R_B$  tayanch reaksiya kuchlarini.

**Yechish.** Koordinatalar sistemasini 55-shaklda ko'rsatilgandek tanlaymiz. Masalani (2.3.1) tenglamalardan foydalanib yechamiz. Axy koordinatalar sistemasiga nisbatan proyeksiya tenglamasini va  $A$  nuqtaga nisbatan moment tenglamasini tuzamiz



55-shakl.

$$\begin{cases} \sum_{i=1}^5 \dot{F}_i = R_A - G - Q - P + R_B = 0; \\ \sum_{n=1}^5 mom_A(\dot{F}_i) = ACG - \frac{1}{2} ABQ - (AC + KL)P + ABR_B = 0. \end{cases}$$

Bu tenglamaga berilgan miqdorlarni qo'yamiz, natijada

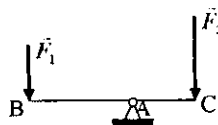
$$\begin{cases} R_A - 50\text{kN} - 30\text{kN} - 10\text{kN} + R_B = 0; \\ -3\text{m} \cdot 30\text{kN} - 5\text{m} \cdot 30\text{kN} - 7\text{m} \cdot 10\text{kN} + 10\text{m} \cdot R_B = 0. \end{cases}$$

Bu tenglamalar sistemasini yechib, noma'lumlarni topamiz, ya'ni  $R_B = 37\text{kN}$ ;  $R_A = 53\text{kN}$ .

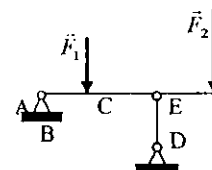
### Muammoli masala va topshiriqlar

1. A sharnirga mahkamlangan BC brusga vertikal  $F_1 = 4\text{kN}$  va  $F_2$  kuchlar ta'sir etadi. Brus gorizontal holatda muvozanatda turishi uchun  $F_2$  kuchning miqdori qanday bo'lishi kerak.  $AC = 2\text{m}$ ,  $AB = 6\text{m}$ .

2. AE balka A nuqtada sharnir vositasida mahkamlangan va CD vertikal sterjenga suyalgan.  $AB = 1\text{m}$ ,  $BC = CE = 2\text{m}$  va  $F_1 = 2\text{kN}$ ,  $F_2 = 4\text{kN}$  bo'lsa, CD sterjenning zo'riqishini toping.



I-masala.

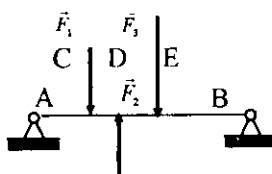


2-masala.

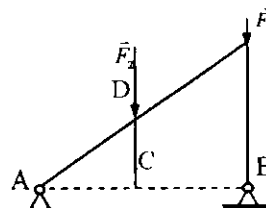
3. AB balkaga vertikal  $F_1 = 1\text{kN}$ ,  $F_2 = 2\text{kN}$  va  $F_3 = 3\text{kN}$  kuchlar ta'sir etadi.  $AC = CD = DE = 1\text{m}$ ,  $BE = 2\text{m}$  bo'lsa, B tayanchning reaksiyasini toping.

4. ADB romnga vertikal  $F_1 = 9\text{kN}$  va  $F_2 = 4\text{kN}$  kuchlar ta'sir etadi. B tayanch reaksiyasini toping.  $AC = 2,5\text{m}$ ,  $AB = 6\text{m}$ .

5. Og'irligi  $340\text{m}$  bo'lgan AB balka gorizontal holatda muvozatnada bo'lishi uchun I yukning og'irligi qanday bo'lishi kerak? Balka bir jinsli

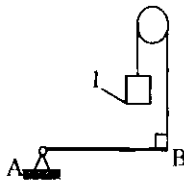


3-masala.

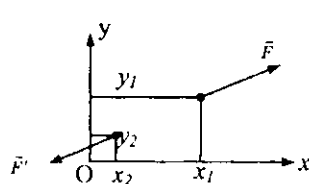


4-masala.

6.  $(\bar{F}, \bar{F}')$  juft kuchni tashkil qiluvchi kuchlarning proyeksiyalari  $F_x = -F'_x = 7,5\text{N}$ ,  $F_y = -F'_y = 2,5\text{N}$  berilgan, kuchlar qo'yiliш nuqtalarining koordinatalari;  $x_1 = 0,1\text{m}$ ,  $y_1 = 0,15\text{m}$ ,  $x_2 = 0,015\text{m}$   $y_2 = 0,02\text{m}$ . Juftning momenti topilsin.



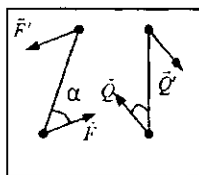
5-masala.



6-masala.

7. Plitaga uni tekisligida yotuvchi ikkita juft kuch ta'sir qiladi.  $F = 8\text{N}$ ,  $Q = 5\text{N}$ ,  $AB = 0,25$ ,  $CD = 0,20\text{m}$  va  $\alpha = 60^\circ$ ,  $\beta = 60^\circ$  bo'lса, juftlar momentlari yig'indisi topilsin.

8. Bir tekislikda yotgan va muvozanatlashgan uchta juft berilgan  $M_1 = 510\text{Nm}$ ,  $M_2 = 120\text{Nm}$  bo'lsa,  $M_3$  momenti topilsin.



7-masala.



8-masala.

### Mustaqil ishlash uchun savol va topshiriqlar

1. Bir tomonga yo'nalgan ikki parallel kuch teng ta'sir etuvchisining moduli nimaga teng?

2. Bir tomonga yo'nalgan ikki parallel kuch teng ta'sir etuvchisining ta'sir chizig'i qaysi nuqtadan o'tadi?

3. Qarama-qarshi tomonga yo'nalgan ikki parallel kuch teng ta'sir etuvchisining moduli nimaga teng?

4. Juft kuch deb nimaga aytildi?

5. Juftning moment vektori deb qanday vektorga aytildi?

6. Juftning algebraik momenti deb nimaga aytildi?

7. Juft kuch haqidagi teoremlarini tushintirib bering.

## 2.5. Tekislikda ixtiyoriy ravishda joylashgan kuchlar sistemasining muvozanat shartlari

Kuch, kuch intensivligi, teng ta'sir etuvchi, tekis va chiziqli qonun bilan taqsimlanish, reaksiya kuchi, reaksiya momenti.

Tekislikda ixtiyoriy ravishda yo'nalghan kuchlar sistemasi muvozanatda bo'lishi uchun kuchlarning bosh vektori va tekislikning ixtiyoriy nuqtasiga nisbatan bosh momenti nolga teng, ya'ni

$$\begin{cases} \sum_{i=1}^n \vec{F}_i = 0; \\ \sum_{i=1}^n mom_0(\vec{F}_i) = 0. \end{cases} \quad (2.5.1)$$

bo'lishi zarur va yetarli.

(2.5.1) tenglamalarni tekislikda dekart koordinatalar sistemasi o'qlariga proyeksiyalab, quyidagi tenglamalar sistemasiniga kelamiz:

$$\begin{cases} \sum_{i=1}^n F_{ix} = 0; \\ \sum_{i=1}^n F_{iy} = 0; \\ \sum_{i=1}^n mom_0(\vec{F}_i) = 0. \end{cases} \quad (2.5.2)$$

(2.5.2) munosabatlар tekislikda ixtiyoriy ravishda joylashgan kuchlar sistemasining muvozanat shartlarini ifodalaydi. Tekislikda ixtiyoriy yo'nalghan kuchlar sistemasi muvozanatda bo'lishi uchun kuchlar sistemasining koordinata o'qlaridagi proyeksiyalari yig'indisi va tekislikdag'i ixtiyoriy nuqtaga nisbatan algebraik momentlari yig'indisi alohida-alohida nolga teng bo'lishi zarur va yetarli.

Tekislikda ixtiyoriy ravishda yo'nalghan kuchlar sistemasining muvozanat shartlarini yana boshqacha ko'rinishda ham berish mumkin: bir tekislikda ixtiyoriy yo'nalghan kuchlar sistemasi

muvozanatda bo'lishi uchun kuchlar sistemasining bir to'g'ri chiziqda yotmaydigan ixtiyoriy uchta  $A$ ,  $B$  va  $C$  nuqtalarga nisbatan algebraik momentlari yig'indisi alohida-alohida nolga teng, ya'ni

$$\sum_{i=1}^n mom_A(\dot{F}_i) = 0; \quad \sum_{i=1}^n mom_B(\dot{F}_i) = 0; \quad \sum_{i=1}^n mom_C(\dot{F}_i) = 0. \quad (2.5.3)$$

bo'lishi zarur va yetarli.

Tekislikda ixtiyoriy ravishda yo'nalgan kuchlar sistemasining uchinchi xil muvozanat shartlarini ham berish mumkin: Tekislikda ixtiyoriy ravishda yo'nalgan kuchlar sistemasi muvozanatda bo'lishi uchun kuchlar sistemasining tekislikdagi ixtiyoriy ikkita  $A$  va  $B$  nuqtaga nisbatan olingan algebraik momentlari yig'indisi hamda kuchlar sistemasining shu nuqtalardan o'tuvchi to'g'ri chiziqqa perpendikular bo'limgan o'qdagi proyeksiyalari yig'indisi nolga teng bo'lishi zarur va yetarli, ya'ni

$$\sum_{i=1}^n mom_A(\vec{F}_i) = 0; \quad \sum_{i=1}^n mom_B(\vec{F}_i) = 0; \quad \sum_{i=1}^n (\vec{F}_i)_\ell = 0, \quad (2.5.4)$$

bunda  $\ell = AB$  to'g'ri chiziqqa perpendikular bo'limgan o'q.

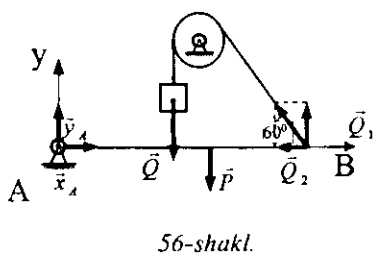
## **2.6. Tekislikda ixtiyoriy ravishda joylashgan kuchlar sistemasining muvozanat shartiga doir masalalarni yechish bo'yicha uslubiy tavsiyalar**

1. Koordinatalar sistemasi o'qlarini kuchlarning proyeksiyalarini hisoblashga qulay qilib tanlash kerak.
2. Moment markazi sifatida ikkita va undan ortiq noma'lum reaksiya kuchlari kesishgan nuqtani olish maqsadga muvofiq.
3. Tanlangan koordinatalar sistemasi va moment markaziga nisbatan (2.5.2) tenglamalar sistemasini tuzish lozim.
4. Tekislikda bir to'g'ri chiziqda yotmaydigan uchta nuqtani tanlab, (2.5.3) tenglamalar sistemasi tuziladi.
5. Tekislikda  $A$  va  $B$  nuqtalarni va  $AB$  to'g'ri chiziqqa perpendikular bo'limgan  $\ell$  o'qni tanlab, (2.5.4) tenglamalar sistemasi tuziladi.

6. Tuzilgan tenglamalar sistemasini yechib, izlanayotgan noma'lumlar topiladi.

Berilgan uslubiy tavsiyalar asosida quyida tekislikda ixtiyoriy ravishda joylashgan kuchlar sistemasining muvozanat shartlarga doir masalalarni yechib ko'rsatamiz.

**6.1-masala (O.Ә.Kene 2.4.20).** Og'irligi 346N bo'lgan  $AB$  bir jinsli balkani gorizontal holatda muvozanatda ushlab turuvchi 1 yuqning og'irligi topilsin (56-shakl).



**Yechish.** Noma'lum kuchlar uchta, ularni topish uchun uchta tenglama tuzish kerak bo'ladi. Ammo masalaning shartiga ko'ra bitta  $\vec{Q}$  kuchni topish talab qilingan. 4 nuqtani moment markazi qilib olsak, tuzilgan moment tenglamasida faqat bitta  $Q$  noma'lum qatnashadi, ya'ni

$$\sum_{i=1}^5 mom_A(\vec{F}_i) = -\frac{AB}{2}P + AB \cdot Q_1 = 0. \quad (a)$$

$\vec{x}_A, \vec{y}_A$  va  $\vec{Q}_2$  kuchlarning ta'sir chiziqlari  $A$  nuqtadan o'tadi, shuning uchun ularni  $A$  nuqtaga nisbatan momentlari nolga teng. Shaklga asosan

$$Q_1 = Q \cos 30^\circ = \frac{\sqrt{3}}{2} Q.$$

Buni (a) tenglamaga qo'yamiz, natijada

$$Q = \frac{1}{\sqrt{3}}P = \frac{1}{\sqrt{3}}346N \approx 200N.$$

*Javob:*  $Q=200N$ .

**6.2-masala (O.Ә.Kene 2.4.15).** Og'irligi 100kN bo'lgan bir jinsli brusning bir uchi  $A$  sharnir yordamida mahkamlangan, ikkinchi uchi silliq devorga tayanib muvozanatda turadi. Agar  $\alpha = 60^\circ$  bo'lsa, brusning devorga ko'rsatadigan bosimi topilsin (57-shakl).

Berilgan:  $P = 100\text{kN}$ ,  $\alpha = 60^\circ$ .

Topish kerak:  $N$ .

**Yechish.** Masalada uchta noma'lum miqdor qatnashadi. Ularni topish uchun uchta tenglama kerak bo'ladi. Lekin masalaning shartiga ko'ra bitta  $\bar{N}$  reaksiyani topish kerak. Shuning uchun  $A$  nuqtani moment markazi deb olib, momentlar tenglamasini tuzsak, hosil bo'lgan tenglamada faqat bitta  $N$  noma'lum reaksiya qatnashadi, ya'ni

$$\sum_{i=1}^4 \text{mom}_{A'}(\vec{F}_i) = hP - h_1 N = 0. \quad (a)$$

Shakldan

$$h_1 = AB \cos 60^\circ, \quad h = \frac{AB}{2} \sin 60^\circ.$$

Bularni (a) tenglamaga qo'yamiz:

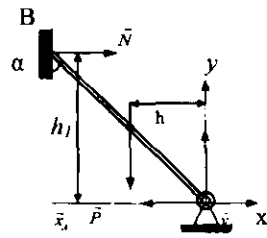
$$P \frac{AB}{2} \sin 60^\circ - NAB \cos 60^\circ = 0$$

yoki  $\frac{\sqrt{3}}{4} P - \frac{1}{2} N = 0$ , bundan

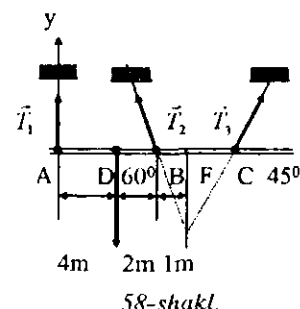
$$N = \frac{\sqrt{3}}{2} P = 86,6\text{kN}.$$

Javob:  $N = 86,6\text{kN}$ .

**6.3-masala. (И.В.Мешчерский 4.11).** Ko'priking qismlarini yig'ishda ko'prikin fermasining biror  $ABC$  qismini shaklda ko'rsatilgandek, uchta arqon bilan ko'tarishga to'g'ri keldi. Ferma shu qismining og'irligi  $42\text{kN}$ , og'irlik markazi  $D$  nuqtada. Masofalar mos ravishda:  $AD = 4\text{m}$ ,  $BD = 2\text{m}$ ,  $BF = 1\text{m}$ . Agar  $AC$  to'g'ri chiziq gorizontal bo'lsa, arqonlardagi taranglik kuchlari qancha bo'ladi.



57-shakl.



58-shakl.

*Berilgan:*  $R = 42\text{kN}$ ,  $AD = 4\text{m}$ ,  $BD = 2\text{m}$ ,  $BF = 1\text{m}$ ;

*Topish kerak:*  $T_1$ ,  $T_2$ ,  $T_3$ .

**Yechish.** Koordinatalar sistemasini rasmida ko'rsatilgandek tanlaymiz va (2.5.2) tenglamalar sistemasiini tuzamiz:

$$\sum_{i=1}^n F_{ix} = -T_2 \cos 60^\circ + T_3 \cos 45^\circ = 0,$$

$$\sum_{i=1}^n F_{iy} = T_1 + T_2 \cos 30^\circ + T_3 \cos 45^\circ - P = 0.$$

$\sum_{i=1}^n mom_A(F_i) = -4P + 6T_2 \cos 30^\circ + (7 + \sqrt{3})T_3 \cos 45^\circ = 0$ . *EFC* uchburchakdan  $EF=FC$ , *EFB* uchburchakdan  $EF=\sqrt{3}$ , shuning uchun  $AC=7+\sqrt{3}$ .

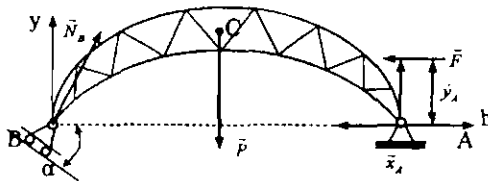
$$\begin{cases} T_2 = \sqrt{2}T_3 = 0, \\ 2T_1 + \sqrt{3}T_2 + \sqrt{2}T_3 = 2P, \\ -4 \cdot 42 + 6 \frac{\sqrt{3}}{2}T_2 + \frac{7 + \sqrt{3}}{2}\sqrt{2}T_3 = 0. \end{cases}$$

Bu tenglamalardan  $T_1 = 18\text{kN}$ ,  $T_2 = 17,7\text{kN}$ ,  $T_3 = 12,4\text{kN}$ .

**6.4-masala (И.В.Мешчерский 4.22).** Arka shaklidagi fermaning  $A$  nuqtasi qo'zg'almas sharnirli tayanchda va  $B$  nuqtasi gorizont bilan  $30^\circ$  burchak tashkil qilgan silliq tekislikdagi qo'zg'aluvchi tayanchda turadi. Oraliq  $AB = 20\text{m}$ . Fermaning ustidagi qori bilan birgalikda og'irligi  $100\text{kN}$  va u  $AB$  oraliqning o'rtaidan yuqoridagi  $C$  nuqtaga qo'yilgan. Shamol bosimining teng ta'sir etuvchisi  $F = 20\text{kN}$  bo'lib,  $AB$  ga parallel holda yo'nalgan, uning ta'sir chizig'i  $AB$  dan  $4\text{m}$  uzoqlikda. Tayanchlardagi reaksiyalar topilsin (59-shakl).

*Berilgan:*  $\alpha = 30^\circ$ ,  $AB = 20\text{m}$ ,  $P = 100\text{kN}$ ,  $F = 20\text{kN}$ ,  $h = 4\text{m}$ .

*Topish kerak:*  $x_A$ ,  $y_A$ ,  $N_B$ .



59-shakl.

**Yechish.** Koordinatalar sistemasini shaklda ko'rsatilganday qilib tanlaymiz. Tanlangan koordinatlar sistemasiga nisbatan proksiyalar tenglamalarini va  $B$  nuqtani markaz qilib olib, moment tenglamasini, ya'ní (2.5.2) ni tuzamiz:

$$\begin{aligned} \sum_{i=1}^5 F_{ix} &= N_B \cos(90^\circ - \alpha) - F - x_A = 0, \\ \sum_{i=1}^5 F_{iy} &= N_B \cos \alpha - P - y_A = 0, \\ \sum_{i=1}^5 mom_B(\vec{F}_i) &= -\frac{AB}{2}P + AB y_A + hF = 0. \end{aligned} \quad (a)$$

(a) tenglamalarga berilganlarni qo'yib, quyidagilarni hosil qilamiz:

$$\begin{cases} \frac{1}{2}N_B - F - x_A = 0, & \frac{\sqrt{3}}{2}N_B - P + y_A = 0, \\ -10P + 20y_A + 4 \cdot F = 0. \end{cases} \quad (b)$$

(b) tenglamalarning oxirgisidan

$$y_A = \frac{1}{20m}(10m \cdot 100kN - 4m \cdot 20kN),$$

yoki

$$y_A = 46kN.$$

Buni ikkinchi tenglamaga qo'yib,  $N_B$  ni topamiz:

$$\frac{\sqrt{3}}{2}N_B = P - y_A; \quad \frac{\sqrt{3}}{2}N_B = 100kN - 46kN.$$

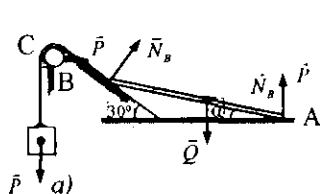
bundan  $N_B = 62,4 \text{ kN}$ .

(b) tenglamalarning birinchisidan

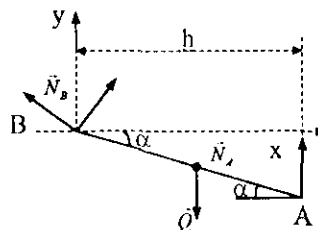
$$x_A = \frac{1}{2} N_B - F; \quad x_A = 11,2 \text{ kN}.$$

Javob:  $x_A = 11,2 \text{ kN}$ ,  $y_A = 46 \text{ kN}$ ,  $N_B = 62,4 \text{ kN}$ .

**6.5-masala (И.В.Менгченский 4.10).** Og'irligi 100N bo'lgan bir jinsli  $AB$  sterjenning bir uchi gorizontall silliq polga, ikkinchi uchi esa gorizontga nisbatan  $30^\circ$  burchak tashkil qiluvchi silliq qiya tekislikka tayangan. Sterjenning  $B$  uchini  $C$  blokdan o'tgan va  $P$  yuk osilgan arqon ushlab turadi. Arqonning  $BC$  qismi qiya tekislikka parallel. Blokdagi ishqalanishni hisobga olmay, arqonga osilgan  $P$  yukning og'irligi, pol bilan qiya tekislikka tushadigan  $N_A$  va  $N_B$  bosimlar topilsin (60-shakl).



60-shakl.



Berilgan:  $Q = 100 \text{ N}$ ,  $30^\circ$ .

Topish kerak:  $P$ ,  $N_A$ ,  $N_B$ .

**Yechish.**  $AB$  sterjenning muvozanatini tekshiramiz.  $P$  kuchni arqon bo'ylab  $B$  nuqtaga ko'chiramiz.  $B$  nuqtani koordinatalar boshi sifatida olib, koordinatalar sistemasini shaklda ko'rsatilganday qilib tanlaymiz.  $A$  va  $B$  tayanch reaksiyalarini qo'yamiz, natijada sterjen  $P, Q, N_A$  va  $N_B$  kuchlar ta'sirida muvozanatda turadi. Tanlangan koordinatalar sistemasiga nisbatan proyeksiya tenglamalarni va  $B$  nuqtaga nisbatan moment tenglamasini, ya'ni (2.5.2) tenglamalarni tuzamiz:

$$\begin{aligned} \sum_{i=1}^4 F_{ix} &= -PCos30^0 + N_B Cos60^0 = 0; \\ \sum_{i=1}^4 F_{iy} &= PCos60^0 + N_B Cos30^0 - Q + N_A = 0; \\ \sum_{i=1}^4 mom_B(\vec{F}_i) &= -\frac{h}{2}Q + hN_A = 0, \end{aligned} \quad (a)$$

yoki

$$\begin{cases} \frac{1}{2}N_B - \frac{\sqrt{3}}{2}P = 0, & N_A = \frac{1}{2}Q, \\ \frac{1}{2}P + \frac{\sqrt{3}}{2}N_B - Q + N_A = 0. \end{cases} \quad (b)$$

(b) tenglamalarning uchinchisidan:  $N_A = 50N$ . Birinchi tenglamadan

$$N_B = \sqrt{3}P, \quad (c)$$

buni ikkinchi tenglamaga qo'yamiz:

$$\frac{1}{2}P + \frac{3}{2}P - Q + N_A = 0.$$

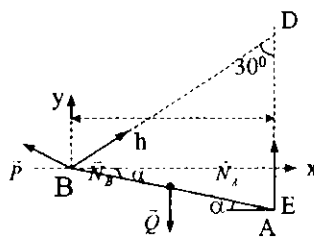
Bundan  $2P = Q - N_A$  yoki  $P = 25N$ .

$P$  ning bu qiymatini (c) ga qo'ysak

$$N_B = 25\sqrt{3}N = 43,3N.$$

Endi masalani (2.5.3) tenglamalardan foydalanib yechamiz. Moment markazlari sifatida  $B, D$  va  $E$  nuqtalarini olamiz (61-shakl).

$$\begin{aligned} \sum_{i=1}^4 mom_B(\vec{F}_i) &= -\frac{h}{2}Q + hN_A = 0, \\ \sum_{i=1}^4 mom_D(\vec{F}_i) &= -BD \cdot P + \frac{h}{2}Q = 0, \\ \sum_{i=1}^4 mom_E(\vec{F}_i) &= -BE \cdot N_B \cos 30^0 - BE \cdot P \cos 60^0 + \frac{h}{2}Q = 0. \end{aligned} \quad (d)$$



6 l-shakl.

Shaklga asosan  $BE=h$ .

Bularni (d) tenglamalarga qo'yamiz:

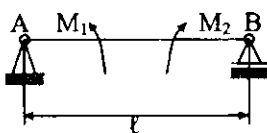
$$\begin{cases} N_A = \frac{1}{2}Q, & -2P + \frac{1}{2}Q = 0, \\ -\sqrt{3}N_B + \frac{1}{2}Q = 0, & -\sqrt{3}N_2 - P + Q = 0. \end{cases}$$

Bularning birinchisidan  $N_A = 50\text{N}$ , ikkinchisidan  $P = 25\text{N}$ , uchinchisidan esa  $N_B = 43,3\text{N}$  kelib chiqadi.

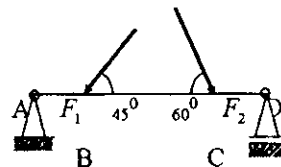
Javob:  $N_A = 50\text{N}$ ,  $N_B = 43,3\text{N}$ ,  $P = 25\text{N}$ ,

### Muammoli masala va topshiriqlar

1. Uzunligi  $\ell = 3\text{m}$  bo'lgan balkaga momentlari  $M_1 = 2\text{kNm}$ ,  $M_2 = 8\text{kNm}$  bo'lgan just kuchlar ta'sir etadi. B tayanchning reaksiyasini toping.



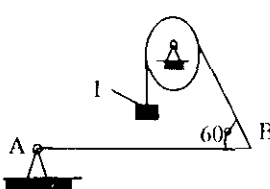
1-masala.



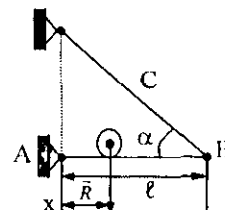
2-masala.

2.  $F_1 = 84,6\text{N}$ ,  $F_2 = 208\text{N}$  bo'lsa, D tayanchning reaksiyasini toping.  $AB = 1\text{m}$ ,  $BC = 3\text{m}$ ,  $CD = 2\text{m}$ .

3.  $AB$  balkaning og'irligi  $346\text{N}$ , uni gorizontal holatda muvozanatda ushlab turuvchi  $l$  yukning og'irligini toping.  $AB$  balka bir jinsli deb olinsin.



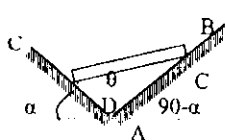
3-masala.



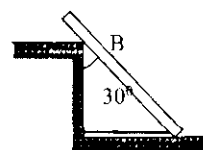
4-masala.

4. Kran gorizontal balkasining uzunligi  $\ell$  ga teng, uning bir uchi sharnir yordamida mahkamlangan ikkinchi  $B$  uchi gorizont bilan  $\alpha$  burchak hosil qiluvchi  $BC$  tortqich vositasiga, devorga tortilib turadi. Balka ustida og'irligi  $R$  bo'lgan yuk siljiy oladi. Yukning holati  $A$  sharnirgacha bo'lgan o'zgaruvchi masofaga qarab aniqlanadi.  $BC$  tortqichning tortilish kuchi  $T$  yuk holatining o'zgarishiga qarab aniqlansin. Balkaning og'irligi hisobga olinmasin.

5. Og'irligi  $R$  bo'lgan bir jinsli  $AB$  balka vertikal tekislikda joylashgan silliq  $CD$  va  $DE$  og'ma to'g'ri chiziqlarga tiralib turadi. Bu to'g'ri chiziqlardan birinchisi gorizont bilan  $\alpha$  burchak, ikkinchisi  $90^\circ - \alpha$  burchak hosil qiladi. Muvozanat holatida balkaning gorizont bilan hosil qilgan burchagi  $\theta$  hamda tayanchlarga ko'rsatilgan bosimi topilsin.



5-masala.

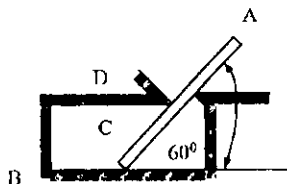


6-masala.

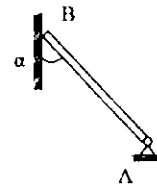
6. Og'irligi  $600\text{N}$ , uzunligi  $4\text{m}$  bo'lgan bir jinsli balka bir uchi bilan silliq polga va oraliqdagi  $B$  nuqtasi bilan balandligi  $3\text{m}$  bo'lgan stolbaning uchiga tiralgan, balka vertikal bilan  $30^\circ$  burchak tashkil etadi. Balkani pol bo'ylab tortilgan  $AC$  arqon shu

holatda ushlab turadi. Ishqalanishni hisobga olmay, arqonning tortilish kuchi stolbaning reaksiyasi  $R_B$  va pol reaksiyasi  $R_C$  topilsin.

7. Og'irligi 200N bo'lgan bir jinsli  $AB$  balka gorizontal silliq polga  $B$  nuqtada 60° burchak ostida tiralib turadi, bundan tashqari, uni ikkita  $C$  va  $D$  tayanchlar ushlab turadi.  $B$ ,  $C$  va  $D$  tayanchlardagi reaksiyalar topilsin:  $AB=3\text{m}$ ,  $CB=0,5\text{m}$ ,  $BD=1\text{m}$ .



7-masala.



8-masala.

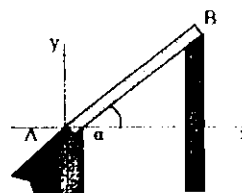
8. Og'irligi 100kN bo'lgan bir jinsli  $B$  uchi silliq devorga tayangan, ikkinchi uchi  $A$  sharnirga mahkamlangan.  $\alpha=60^\circ$  bo'lsa, brusning devorga beradigan bosimini aniqlang.

9. Og'irligi 100N bo'lgan bir jinsli  $AB$  sterjenning bir uchi gorizontal silliq polga, ikkinchi uchi esa gorizontga nisbatan  $30^\circ$  burchak tashkil qiluvchi silliq qiya tekislikka tayangan. Sterjenning  $B$  uchini  $C$  boltdan o'tgan va  $R$  yuk osilgan arqon ushlab turadi. Arqonning  $BC$  qismi qiya tekislikka parallel. Blokdagi ishqalanishni hisobga olmay, arqonga osilgan  $R$  yukning og'irligi, pol bilan qiya tekislikka tushadigan  $N_A$  va  $N_B$  bosimlar topilsin.

10. Bir tomonga nishab bo'lgan tomning stropilasi  $AB$  brusdan iborat bo'lib, uning yuqorigi  $B$  uchi silliq tayanchda erkin holatda yotadi, pastki  $A$  uchi esa devorga tiralib turadi. Tomning qiyaligi  $tg\alpha=0,5$ ;  $AB$  brusga uning o'rtafiga qo'yilgan 9kN li vertikal kuch ta'sir qiladi.  $A$  va  $B$  nuqtalardagi tayanch reaksiyalari aniqlansin.



9-masala.



10-masala.

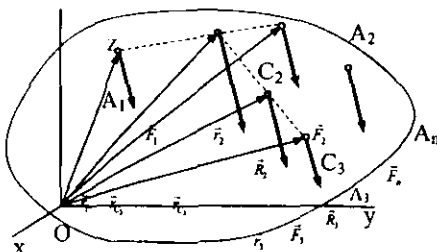
## Mustaqil ishlash uchun savol va topshiriqlar

1. Tekislikda kuchlar sistemasining birinchi xil muvozanat tenglamalarini tushuntiring.
2. Tekislikda kuchlar sistemasining ikkinchi xil muvozanat tenglamalarini yozib tushuntiring.
3. Tekislikda kuchlar sistemasining uchinchi xil muvozanat tenglamalarining mohiyatini tushuntiring.

### 2.7. Parallel kuchlar markazi

Kuch, parallel kuchlar sistemasi, teng ta'sir etuvchi, nuqta va koordinata tekisliklariiga nisbatan statik moment.

Teng ta'sir etuvchiga keltiriladigan parallel kuchlar sistemasining markaziy tushunchesini kiritaylik. Qattiq jismning  $A_1, A_2, \dots, A_n$  nuqtalarga qo'yilgan  $(\vec{F}_1, \vec{F}_2, \dots, \vec{F}_n)$  parallel kuchlar sistemasi berilgan bo'lsin. Avval bir tomonqa yo'nalgan parallel kuchlarni qaraymiz (62-shakl).



*62-shakl.*

$\vec{F}_1$  va  $\vec{F}_2$  ikkita kuchni qo'shamiz.  $A_1$  va  $A_2$  nuqtalarning koordinatalarini mos ravishda  $A_1(x_1, y_1, z_1)$  va  $A_2(x_1, y_2, z_1)$  bilan radius-vektorlarini esa  $\vec{r}_1$  va  $\vec{r}_2$  bilan belgilaymiz.  $\vec{F}_1$  va  $\vec{F}_2$  kuchlarning teng ta'sir etuvchisini  $\vec{R}_2$  bilan belgilaymiz. U holda  $\vec{R}_2$  kuchning modulli  $R_2 = P_1 + P_2$ .  $\vec{R}_2$  kuchning qo'yilishi nuqtasini topamiz.

Shaklga asosan

$$\overrightarrow{A_1C_2} = \dot{\vec{r}}_{c_2} - \dot{\vec{r}}_1, \quad \overrightarrow{C_2A_2} = \dot{\vec{r}}_2 - \dot{\vec{r}}_{c_2}. \quad (2.7.1)$$

Ikkinchи томондан 1-§ даги (2.1.2) formulaga асосан  $C_2$  нуқтанинг холати quyидаги муносабатдан топилади:

$$\frac{\overrightarrow{A_1C_2}}{P_2} = \frac{\overrightarrow{C_2A_2}}{P_1}.$$

$\overrightarrow{A_1C_2}$ ,  $\overrightarrow{C_2A_2}$  va  $\overrightarrow{A_1A_2}$  векторлар кolleniarligidan

$$\frac{\overrightarrow{A_1C_2}}{P_2} = \frac{\overrightarrow{C_2A_2}}{P_1}$$

yoki (2.7.1) муносабатларга асосан

$$\frac{\dot{\vec{r}}_{c_2} - \dot{\vec{r}}_2}{P_2} = \frac{\dot{\vec{r}}_2 - \dot{\vec{r}}_{c_2}}{P_1},$$

bundan

$$\dot{\vec{r}}_{c_2} = \frac{P_1\dot{\vec{r}}_1 + P_2\dot{\vec{r}}_2}{P_1 + P_2}. \quad (2.7.2)$$

Endи  $\dot{\vec{R}}_2$  ва  $\dot{\vec{F}}_3$  yoki  $\dot{\vec{F}}_1, \dot{\vec{F}}_2, \dot{\vec{F}}_3$  кучларнинг teng ta'sir etuvchisini qo'yilish nuqtalarini topamiz:

$$(\dot{\vec{R}}_2, \dot{\vec{F}}_3) \sim (\dot{\vec{F}}_1, \dot{\vec{F}}_2, \dots, \dot{\vec{F}}_n) \sim \dot{\vec{R}}_3.$$

$\dot{\vec{R}}_2$  ва  $\dot{\vec{F}}_3$  bir томонга yo'nalган parallel кучлар bo'lganligi учун улarning teng ta'sir etuvchisi  $\dot{\vec{R}}_3$  ham shu yo'nalishiga ega va uning moduli quyidagi formuladan топилади:

$$R_3 = R_2 + F_3 \approx F_1 + F_2 + F_3.$$

Teng ta'sir etuvchining qo'yilish nuqtasi

$$\dot{\vec{r}}_{c_3} = \frac{R_2\dot{\vec{r}}_{c_2} + F_3\dot{\vec{r}}_3}{R_2 + F_3}$$

formuladan топилади. (2.7.2) formulaga асосан

$$\dot{\vec{r}}_{c_3} = \frac{F_1\dot{\vec{r}}_1 + F_2\dot{\vec{r}}_2 + F_3\dot{\vec{r}}_3}{F_1 + F_2 + F_3}. \quad (2.7.3)$$

Endi to'la induksiya usulidan foydalanib, (2.7.3) formulani  $n$  ta kuch uchun ham o'rinli ekanligini isbot qilish mumkin. Buning uchun (2.7.3) formula  $k$  ta kuch uchun o'rinli deb  $k+1$  ta kuch uchun ham o'rinli bo'llishini ko'ramiz. Faraz qilaylik, (2.7.3) formula  $k$  ta kuch uchun o'rinli, ya'ni

$$\dot{r}_{c_k} = \frac{F_1\dot{r}_1 + F_2\dot{r}_2 + \dots + F_k\dot{r}_k}{F_1 + F_2 + \dots + F_k} = \frac{\sum_{i=1}^k F_i \dot{r}_i}{\sum_{i=1}^k F_i} \quad (2.7.4)$$

bo'lsin.  $\vec{F}_1, \vec{F}_2, \dots, \vec{F}_k$  kuchlarining teng ta'sir etuvchisi  $\vec{R}_k$  shu kuchlar bilan bir xil yo'nalgan bo'lib, uning moduli quyidagiga teng:

$$R_k = F_1 + F_2 + \dots + F_k = \sum_{i=1}^k F_i.$$

Endi  $\vec{R}_k$  va  $\vec{F}_{k+1}$  kuchlarining teng ta'sir etuvchisini topamiz.  $\vec{R}_k$  va  $\vec{F}_{k+1}$  bir tomonga yo'nalgan parallel kuchlar ekanligidan teng ta'sir etuvchisi ular bilan bir xil yo'nalgan, moduli esa quyidagicha topiladi:

$$R_{k+1} = R_k + F_{k+1} = F_1 + F_2 + \dots + F_{k+1}.$$

$\vec{R}_{k+1}$  kuchning qo'yilish nuqtasi (2.7.2) ko'ra

$$\dot{r}_{c_{k+1}} = \frac{\vec{R}_{k+1} + \vec{F}_{k+1}}{R_{k+1} + F_{k+1}}$$

bo'ladi. (2.7.4) formulga asosan esa

$$\dot{r}_{c_{k+1}} = \frac{F_1\ddot{r}_1 + F_2\ddot{r}_2 + \dots + F_{k+1}\dot{r}_{k+1}}{F_1 + F_2 + \dots + F_{k+1}} = \frac{\sum_{i=1}^{k+1} F_i \dot{r}_i}{\sum_{i=1}^{k+1} F_i}.$$

Shunday qilib, bir tomonga yo'nalgan  $(\vec{F}_1, \vec{F}_2, \dots, \vec{F}_n)$  parallel kuchlar sistemasining teng ta'sir etuvchisining yo'nalaishi berilgan

kuchlarning yo‘nalishi bilan bir xil, moduli esa modullari yig‘indisiga teng, ya’ni

$$R = \sum_{i=1}^n F_i.$$

Teng ta’sir etuvchining qo‘yilish nuqtasi quyidagi formula yordamida topiladi:

$$\vec{r}_c = \frac{\sum_{i=1}^n F_i \vec{r}_i}{\sum_{i=1}^n F_i}. \quad (2.7.5)$$

(2.7.5) tenglikning ikkala tomonini koordinatalar sistemasi o‘qlariga proyeksiyalab, parallel kuchlar markazining koordinatalarini topamiz:

$$x_c = \frac{\sum_{i=1}^n F_i x_i}{\sum_{i=1}^n F_i}, \quad y_c = \frac{\sum_{i=1}^n F_i y_i}{\sum_{i=1}^n F_i}, \quad z_c = \frac{\sum_{i=1}^n F_i z_i}{\sum_{i=1}^n F_i}, \quad (2.7.6)$$

bunda  $x_i, y_i, z_i$  —  $F_i$  kuch qo‘yilgan nuqtasining koordinatalari.

Berilgan kuchlarning qo‘yilish nuqtalari atrofida bir xil burchakka burganda ularning teng ta’sir etuvchisi ham xuddi shunday burchakka o‘sha yo‘nalishda buriladi, ammo uning qo‘yilish nuqtasi o‘zgarmaydi. Demak, teng ta’sir etuvchi qo‘yilish nuqtasining holati parallel kuchlar yo‘nalishiga bog‘liq bo‘lmash ekan. Bu nuqtaning holati berilgan kuchlarning modullariga va qo‘yilish nuqtalarining holatiga bog‘liqdir.

Agar qarama-qarshi tomonga yo‘nalgan parallel kuchlar sistemasi berilgan bo‘lsa, ularni qarama-qarshi tomonga yo‘nalgan ikkita parallel kuchlar sistemasiga ajratamiz. Hosil bo‘lgan kuchlar sistemalarining teng ta’sir etuvchilarini topiladi. Natijada anti parallel kuchlar sistemasiga kelamiz. Bu ikki kuchni ham bitta teng ta’sir etuvchiga keltirish mumkin. Uning moduli va qo‘yilish nuqtasi (2.1.3) va (2.1.4) formulalar orqali topiladi. Yuqorida

keltirilgan formulalardan foydalanishda bir tomonga yo'nalgan kuchlarning modullari oldiga (+) ishorasini, ikkinchi tomonga yo'nalgan kuchlarning modullari oldiga (-) ishorasini qo'yish lozim.

(2.7.5) formuladagi  $\sum_{i=1}^n F_i \vec{r}_i$  ifodaga parallel kuchlar sistemasining  $O$  nuqtaga nisbatan statik momenti deyiladi.

$\sum_{i=1}^n F_i x_i, \sum_{i=1}^n F_i y_i, \sum_{i=1}^n F_i z_i$  miqdorlarga parallel kuchlar sistemasining mos ravishda  $(yz), (zx)$  va  $(xy)$  tekisliklarga nisbatan statik momentlari deyiladi.

$$(2.7.5) \text{ va } (2.7.6) \text{ lardan } \sum_{i=1}^n F_i \vec{r}_i = \vec{r}_c \sum_{i=1}^n F_i,$$

$$\sum_{i=1}^n F_i x_i = x_c, \sum_{i=1}^n F_i y_i = y_c, \sum_{i=1}^n F_i z_i = z_c.$$

munosabatlar kelib chiqadi.

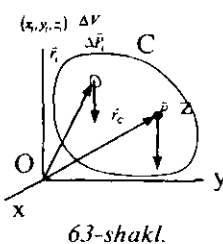
### Mustaqil ishlash uchun savol va topshiriqlar

1. Bir tomonga yo'nalgan parallel kuchlar sistemasining teng ta'sir etuvchisi qanday topiladi?
2. Qarama-qarshi tomonga yo'nalgan parallel kuchlar sistemasining teng ta'sir etuvchisi qanday topiladi?
3. Parallel kuchlar sistemasi teng ta'sir etuvchisi qo'yilish nuqtasining radius-vektori qanday topiladi?
4. Parallel kuchlar sistemasi teng ta'sir etuvchisi qo'yilish nuqtasining koordinatalari qanday topiladi?

## 2.8. Og'irlilik markazi

Parallel kuchlar, parallel kuchlar markazi, zichlik, bir jinslilik

O'g'irlilik markazi tushunchasini kiritish uchun jismni fikran yetarlicha ko'p sondagi shunday bo'laklarga ajratiladi, har bir bo'lakchaning hajmi (massasi) jism hajmidan juda kichik bo'lsin.



(63-shakl). Har bir elementda bo'lakchaning og'irlik kuchini  $\Delta P_i$  bilan, butun jismning og'irlik kuchi  $P$  bilan belgilanadi. Bo'lakchalarning og'irlik kuchi Yer markaziga qarab yo'nalgan. Jism o'lchamlari Yernikiga qaraganda juda kichik bo'lganligi uchun bo'lakchalarning og'irlik kuchlarini parallel kuchlar sistemasi deb qarash mumkin.  $\Delta P_i$  parallel kuchlar sistemasining markaziga jismning **og'irlik markazi** deyiladi. Jism og'irlik markazining radius-vektorini (2.7.5) formuladan foydalaniib topish mumkin, ya'ni

$$\vec{r}_c = \frac{\sum_{i=1}^n \vec{r}_i \Delta P_i}{\sum_{i=1}^n \Delta P_i} = \frac{\sum_{i=1}^n \Delta P_i \vec{r}_i}{P}, \quad (2.8.1)$$

bunda  $\vec{r}_i - i$  — elementar bo'lakcha og'irlik markazining radius-vektori,  $P = \sum_{i=1}^n \Delta P_i$  jismning og'irligi,  $n$  — elementar bo'lakchalarning soni.

Berilgan jismning hajmini  $V$  bilan, elementar bo'lakchaning hajmi  $\Delta V$  bilan va og'irligi  $\Delta P$  bilan belgilanadi:

$$\gamma = \lim_{\Delta V \rightarrow 0} \frac{\Delta P}{\Delta V} = \frac{dP}{dV}$$

miqdorga jismning berilgan nuqtasidagi birlik hajmining og'irligi (solishtirma og'irlik) deyiladi. Ushbu

$$\rho = \frac{\gamma}{g}, \quad \left( \rho = \frac{dm}{dV} \right)$$

miqdorga jismning berilgan nuqtasidagi zichligi (birlik hajmining massasi) deyiladi.

Umumiy holda  $\gamma$  va  $\rho$  lar jism nuqtalari koordinatalarining funksiyasidir. Agar jism bir jinsli bo'lsa,  $\gamma$  va  $\rho$  o'zgarmas bo'ladi.

Texnik birliklar sistemasida:  $\rho$  ning o'lchov birligi  $1\text{kg/m}^3$ ,  $\rho$  ning o'lchov birligi  $1\text{kg}\cdot\text{sek}^2/\text{m}^4$ .

$\gamma$  va  $\rho$  larning aniqlanishiga binoan ixtiyoriy elementar bo'lakchaning og'irligini quyidagi ko'rinishda ifodalash mumkin:

$$\Delta P_i = \gamma_i \Delta V_i = g_i \rho_i \Delta V_i.$$

Bunga asosan (2.8.1) tenglik quyidagi ko'rinishga keladi:

$$\vec{r}_c = \frac{\sum_{i=1}^n \Delta P_i \vec{r}_i}{\sum_{i=1}^n \Delta P_i} = \frac{\sum_{i=1}^n \gamma_i \Delta V_i \vec{r}_i}{\sum_{i=1}^n \gamma_i \Delta V_i}. \quad (2.8.2)$$

(2.8.2) formulani koordinata o'qalariga proyeksiyalab, og'irlik markazining koordinatalari topiladi, ya'ni

$$x_c = \frac{\sum_{i=1}^n \gamma_i \Delta V_i x_i}{\sum_{i=1}^n \gamma_i \Delta V_i}, \quad y_c = \frac{\sum_{i=1}^n \gamma_i \Delta V_i y_i}{\sum_{i=1}^n \gamma_i \Delta V_i}, \quad z_c = \frac{\sum_{i=1}^n \gamma_i \Delta V_i z_i}{\sum_{i=1}^n \gamma_i \Delta V_i} \quad (2.8.3)$$

Jismning o'lchamlari unchga katta bo'limgaganligi uchun barcha bo'lakehalarning og'irlik kuchlarining tezlanishlarini bir xil, ya'ni  $g_i = g$  deb olish mumkin. U holda (2.8.2) va (2.8.3) formulalarni quyidagi ko'rinishda yozish mumkin:

$$\vec{r}_c = \frac{\sum_{i=1}^n \rho_i \Delta V_i \vec{r}_i}{\sum_{i=1}^n \rho_i \Delta V_i} \quad (2.8.4)$$

va

$$x_c = \frac{\sum_{i=1}^n \rho_i \Delta V_i x_i}{\sum_{i=1}^n \rho_i \Delta V_i}, \quad y_c = \frac{\sum_{i=1}^n \rho_i \Delta V_i y_i}{\sum_{i=1}^n \rho_i \Delta V_i}, \quad z_c = \frac{\sum_{i=1}^n \rho_i \Delta V_i z_i}{\sum_{i=1}^n \rho_i \Delta V_i}, \quad (2.8.5)$$

bunda  $\sum \rho \Delta V$  — butun sistema massasi.

(2.8.5) jism massalar markazining koordinatalarini topish formulalarini ifodalaydi.

Jismning og'irlilik markazi (massalar markazi) geometrik nuqta bo'lib jismning birorta ham nuqtasi bilan ustma-ust tushmasligi mumkin (masalan, halqaning og'irlilik markazi).

Agar  $\gamma$  va  $\rho$  lar nuqta koordinatalarining uzlusiz funksiyalari bo'lsa, barcha olingan formulalardagi yig'indilarni butun jism hajmi bo'yicha olingan integrallar bilan almashtirish mumkin. Masalan, bir jinsli jism uchun (2.8.4) va (2.8.5) formulalar quyidagi ko'rinishga keladi:

$$\bar{r}_c = \frac{\int \vec{r} dV}{V},$$

$$x_c = \frac{\int x dV}{V}, \quad y_c = \frac{\int y dV}{V}, \quad z_c = \frac{\int z dV}{V}. \quad (2.8.6)$$

$\int_{(V)} \vec{r} dV$  — miqdorga hajmnning 0 nuqtaga nisbatan statik momenti,  $\int_{(V)} x dV, \int_{(V)} y dV, \int_{(V)} z dV$  miqdorlarga esa hajmnning mos ravishda ( $yz$ ), ( $zx$ ) va ( $xy$ ) tekisliklarga nisbatan statik momentlari deyiladi.

Agar jism sirt formasida, ya'ni uning bitta o'lchami qolgan ikkita o'lchamidan bir necha tartibga kichik bo'lsa, elementar bo'lakchaning og'irligi quyidagicha aniqlanadi:

$$\Delta P_i = \gamma_i \Delta S_i, \quad P = \gamma \cdot S,$$

bunda  $\gamma_i$  — birlik yuzaning og'irligi;  $\Delta S_i$  — elementar bo'lakchaning yuzasi;  $S$  — butun sirtning yuzasi. U holda bir jinsli sirtning og'irlilik markazi quyida ifodadan topiladi:

$$\vec{r}_c = \frac{\sum_{i=1}^n \vec{r}_i \Delta S_i}{S} \quad \text{yoki} \quad \vec{r}_c = \frac{\int \vec{r} dS}{S}. \quad (2.8.7)$$

Agar jism bir jinsli chiziqdan iborat, ya'ni bir o'lchami qolgan ikkita o'lchamidan bir necha tartibga kichik bo'lsa, elementar bo'lakchaning og'irligi quyidagi tengdir:

$$\Delta P_i = \gamma_i \Delta \ell_i, \quad P = \gamma \ell$$

bunda  $\gamma_i$  — birlik uzunlikning og'irligi;  $\Delta \ell_i$  — elementar bo'lakchaning uzunligi;  $\ell$  — butun chiziq uzunligi. Bu holda og'irlik markazining radius-vektori quyidagi munosabatlardan topiladi:

$$\vec{r}_c = \frac{\sum_{i=1}^n \vec{r}_i \Delta \ell_i}{\ell}, \quad \vec{r}_c = \frac{\int \vec{r}_i d\ell}{\ell} \quad (2.8.8)$$

## 2.9. Og'irlik markazining koordinatalarini topish usullari

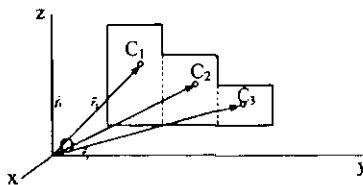
### 2.9.1. Bo'laklarga ajratish usuli

Berilgan jism murakkab formada bo'lib, uni chekli sondagi og'irlik markazi elementar usullar bilan topiladigan oddiy jismlarga ajratish mumkin bo'lsin. Masalan, 64-shaklda tasvirlangan jism qaralsa, uni shunday uchta bo'lakka ajratish mumkinki, ularning har birini og'irlik markazi elementar usul bilan topiladi, ya'ni

$$\vec{r}_1 = \frac{\sum_{(i)} \vec{r}_i \Delta S_i}{S_1}, \quad \vec{r}_2 = \frac{\sum_{(i)} \vec{r}_i \Delta S_i}{S_2}, \quad \vec{r}_3 = \frac{\sum_{(i)} \vec{r}_i \Delta S_i}{S_3}. \quad (2.9.1)$$

Berilgan jismning og'irlik markazi quyidagicha aniqlanadi:

$$\vec{r}_c = \frac{\sum_{i=1}^n \vec{r}_i \Delta S_i}{S} = \frac{\sum_{(i)} \vec{r}_i \Delta S_i + \sum_{(i)} \vec{r}_i \Delta S_i + \sum_{(i)} \vec{r}_i \Delta S_i}{S_1 + S_2 + S_3}.$$



64-shakl.

(2.9.1) munosabatlarga asosan

$$\sum_{(i)} \vec{r}_i \wedge S_i = \vec{r}_1 S_1, \quad \sum_{(i)} \vec{r}_i \wedge S_i = \vec{r}_2 S_2, \quad \sum_{(i)} \vec{r}_i \wedge S_i = \vec{r}_3 S_3.$$

Bular yuqoridagi formulaga qo'yiladi:

$$\vec{r}_c = \frac{\vec{r}_1 S_1 + \vec{r}_2 S_2 + \vec{r}_3 S_3}{S_1 + S_2 + S_3}, \quad (2.9.2)$$

bunda  $\vec{r}_1, \vec{r}_2, \vec{r}_3$  — lar mos ravishda 1,2,3—bo'laklar og'irlik markazlarining radius-vektorlari,  $S_1, S_2, S_3$  lar yuzalari. (2.9.2) ga o'xshash formula hajm va chiziqlar uchun ham o'rini.

**2.9.2. Simmetriya usuli.** Agar bir jinsli jism simmetriya tekisligiga, simmetriya o'qiga, simmetriya markaziga ega bo'lsa, uning og'irlik markazi mos ravishda simmetriya tekisligida, simmetriya o'qida yoki simmetriya markazida yotadi.

a) Faraz qilaylik, jism simmetriya tekisligiga ega bo'lsin. Jismning simmetriya tekisligini ( $xy$ ) tekisligi deb olamiz. U holda jismning har bir  $(x,y,z)$  koordinatali  $\Delta V$  zarrasiga ( $xy$ ) tekisligiga nisbatan simmetrik  $(x,y,-z)$  koordinatali xuddi shunday  $\Delta V$  hajmli zarrasi mos keladi. Shuning uchun jismning ( $xy$ ) tekisligiga nisbatan statik momenti nolga teng, ya'ni  $\Sigma z \Delta V$  bo'ladi. Og'irlik markazini topish formulasiga asosan, bundan esa og'irlik markazi ( $xy$ ) tekisligida yotishi kelib chiqadi.

b) Jism simmetriya o'qiga ega bo'lsin. Simmetriya o'qini  $z$  o'qi bilan ustma-ust tushiramiz. U holda jismning har bir  $\Delta V$  hajmli va  $(x,y,z)$  koordinatali zarrasiga  $z$  o'qiga nisbatan simmetrik xuddi shunday  $\Delta V$  hajmli va  $(-x,-y,z)$  koordinatali zarrasi mos keladi,

shuning uchun  $\Sigma x \Delta V = 0$ ,  $\Sigma y \Delta V = 0$  tengliklar bajariladi. Bundan esa og'irlik markazining  $x$  va  $y$  koordinatalari nolga teng, ya'ni  $x_c = 0$ ,  $y_c = 0$  ekanligi kelib chiqadi. Demak, og'irlik markazi  $z$  o'qini ustida yotadi.

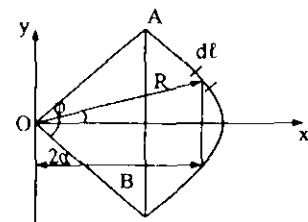
d) Jism simmetriya markaziga ega bo'lsin. Koordinatalar boshi sifatida jismning simmetriya markazi olinadi. U holda jismning har bir  $\Delta V$  hajmli va  $r$  radius-vektorli zarrasiga  $O$  nuqtaga nisbatan simmetrik xuddi shunday  $\Delta V$  hajmli va  $-r$  radius-vektorli zarrasi mos keladi, shuning uchun  $\Sigma r \Delta V = 0$ . Bundan esa og'irlik markazini topish formulasiga asosan  $z_c = 0$  ekan kelib chiqadi. Demak, jismning og'irlik markazi uning simmetriya markazida yotar ekan.

**2.9.3. Manfiy massalar usuli.** Agar biz qaraydigan jism murakkab jism, masalan, jism tutash to'ldirilmagan bo'lsa, yoki tekis yuza qaraladigan holda bu yuza bir nechta teshiklarga ega bo'lsa, bunday jismning og'irlik markazini manfiy massalar usulidan foydalanib topish mumkin. Bu usulning mohiyati shundan iboratki, jism to'ldirilgan jism va qo'shimcha jismlardan iborat deb qaraladi. Og'irlik markazini hisoblashda qoshimcha jismlarning hajmi shartli ravishda manfiy ishora bilan olinadi.

## 2.10. Ba'zi oddiy jismlarning og'irlik markazlari

Murakkab jismlarning og'irlik markazini, ularni oddiy jismlarga ajratib hisoblash qulay bo'ladi. Shu nuqtayi nazardan amalda ba'zi oddiy jismlarning og'irlik markazini bilish talab qilinadi.

**2.10.1. Aylana yoyining og'irlik markazi.**  $R$  radiusli  $AB$  aylana yoyi berilgan bo'lsin.  $AB$  yoy va  $AB$  vatarga perpendikular  $OC$  radius o'tkaziladi. Ana shu  $OC$  radiusdan o'tuvchi to'g'ri chiziq simmetriya o'qi bo'ladi (65-shakl).



65-shakl.

Koordinatalar boshini aylana markazida olib,  $x$  o'qini  $OC$  o'q bo'ylab yo'naltiramiz. Og'irlik markazi  $x$  o'qining ustida yotadi ( $y_c = 0$ ).

Yoyning markaziy burchagi  $2\alpha$  ga teng bo'lsin. Yoydan  $d\ell$  uzunligidagi elementlar bo'lakcha ajratib olinadi. U holda yoyning og'irlik markazi quyidagicha hisoblanadi:

$$x_c = \frac{\int x d\ell}{\ell}, \quad y_c = 0.$$

Bunda  $d\ell = R d\varphi$ ,  $x = \cos \varphi$ ,  $\ell = 2R\alpha$  bo'lgani uchun

$$x_c = \frac{R^2 \int_{-\alpha}^{\alpha} \cos \varphi d\varphi}{2R\alpha} = \frac{R \sin \alpha}{\alpha}. \quad (2.10.1)$$

Shunday qilib, yoyning og'irlik markazining koordinatalari

$$\left( \frac{R \sin \alpha}{\alpha}; 0 \right)$$

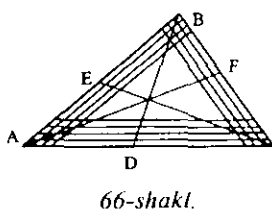
bo'ladi. Hususan yoy yarim aylana bo'lgan holda  $\alpha = \frac{\pi}{2}$  va  $\sin \alpha = 1$ , natijada

$$x_c = \frac{2R}{\pi}, \quad (y_c = 0).$$

**2.10.2. Uchburchakning og'irlik markazi.**  $ABC$  uchburchakning og'irlik markazi topiladi (66-shakl).

Uchburchak uning asosiga parallel kesmalar bilan cheksiz ko'p sondagi bo'lakehalarga ajratiladi. Bo'lakchalar yetarlicha ingichka

bo'lsa, ularni oddiy kesma deb olish mumkin. Bu kesmalarning og'irlik markazlari ularning o'rtalarida bo'ladi. Bu kesmalar o'rtalarining geometrik o'rni esa uchburchakning medianasıdir. Demak, uchburchak yuzining og'irlik markazi uning medianasida yotar ekan. Uchala medianaga



ham tegishli bo'lgan nuqta, medianalarning kesishish nuqtasi bo'ladi. Demak, uchburchak yuzining og'irlik markazi uning medianalari kesishgan nuqtasida yotadi.

**2.10.3. Doira sektorining og'irlik markazi.**  $R$  radiusli  $AOB$  doira sektorining og'irlik markazi topiladi (67-shakl). Sektoring markaziy burchagi  $2\alpha$  bo'lsin.

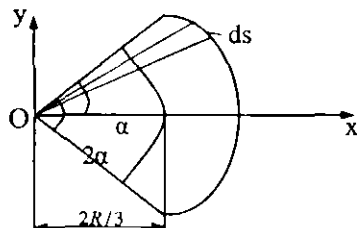
Markaziy burchakni teng ikkiga bo'lувчи  $OC$  o'q uning simmetriya o'qi bo'ladi. Koordinatalar boshini doira markazida olib,  $x$  o'qini  $OC$  o'q bo'ylab yo'naltiramiz (67-shakl).

Sektoring og'irlik markazi  $Ox$  o'qining ustida yotadi va demak  $y_c = 0$ . Sektor markaziy burchagi juda kichik bo'lgan sektorlarga ajratiladi. Bu sektorlarni asosi juda kichik bo'lgan uchburchaklar deb qarash mumkin. Ularning og'irlik markazlari doira markazidan  $\frac{2}{3}R$  masofada yotadi. Natijada bu sektorlar og'irlik markazlarining geometrik o'rni radiusi  $\frac{2}{3}R$  ga teng aylana yoyidan iborat bo'ladi.

Shunday qilib, masala markaziy burchagi  $2\alpha$  va radiusi  $\frac{2}{3}R$  ga teng bo'lgan aylana yoyining og'irlik markazini topishga keladi. Sektorchalarning yuzlari bir xil ekanligi uchun hosil bo'lgan aylana yoyining massasi teng taqsimlangandir.  $\frac{2}{3}R$  radiusli aylana yoyining og'irlik markazi (2.10.1) formuladan foydalanib topiladi:

$$x_c = \frac{2}{3}R \frac{\sin \alpha}{\alpha}, \quad (y_c = 0). \quad (2.10.2)$$

Xususiy holda yarim doira uchun  $\alpha = \frac{\pi}{2}$  va  $\sin \alpha = 1$  bo'lib, (2.10.2) formuladan yarim doira og'irlik markazining absissasi  $x_c = \frac{4R}{3\pi}$  ekanligi kelib chiqadi.

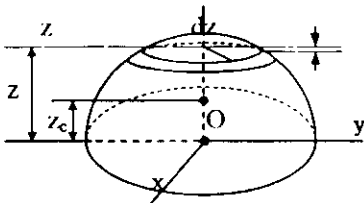


67-shakl.

**2.10.4. Yarim sharning og'irlik markazi.** Radiusi  $R$  ga teng bo'lgan sharning og'irlik markazi topiladi (68-shakl). Oz o'qi simmetriya o'qi bo'yab yo'naltiriladi. U holda  $x_c = 0$ ,  $y_c = 0$  bo'lib, og'irlik markazining  $z_c$  koordinatasini quyidagicha topiladi:

$$z_c = \frac{1}{V} \int_V z dV. \quad (2.10.3)$$

Yarim shardan radiusi  $r$  ga, qalinligi  $dz$  ga teng bo'lgan elementar disk (shar kamari) ajratib olinadi. U holda  $r = \sqrt{R^2 - z^2}$ ,  $dV = \pi r^2 dz = \pi(R^2 - z^2) dz$ .



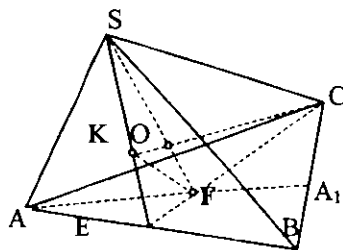
68-shakl.

$$\text{Yarim sharning hajmi } V = \frac{2}{3} \pi R^3.$$

Bularni (2.10.3) ga qo'yib  $z_c = \frac{1}{\frac{2}{3} \pi R^3} \int_0^\pi \pi(R^2 - z^2) z dz = \frac{3}{2R^3} \left( R^2 \frac{R^2}{2} - \frac{R^4}{4} \right) = \frac{3}{8} R$  topiladi. Shunday qilib, yarim shar og'irlik markazining koordinatalari uchun quyidagini hosil qilamiz:

$$z_c = \frac{3}{8} R, \quad (x_c = 0, \quad y_c = 0).$$

**2.10.5. Piramidaning og'irlik markazi.** Uchburchakli bir jinsli piramidaning og'irlik markazi topiladi (69-shakl).



69-shakl.

Piramidani uning  $ABC$  asosiga parallel tekisliklar bilan katta sondagi uchburchak plastinkalarga ajratiladi. Uchburchakning og'irlik markazi uning medianalari kesishgan nuqtasida ekanligidan, hosil bo'lgan biroq plastinkalarning og'irlik markazlari  $FS$  kesma ustida yotadi. Endi piramidani  $ABS$  tomoniga parallel tekisliklar bilan plastinkalarga ajratamiz. Yuqoridagi mulohazaga asosan hosil bo'lgan plastinkalarning og'irlik markazlari  $KC$  kesma ustida yotishi kelib chiqadi. Shunday qilib, piramidaning og'irlik markazi  $FS$  va  $KC$  kesmalarining kesishish nuqtasida yotadi.

$KF \parallel SC$  kesmani o'tkaziladi. Natijada  $\triangle KOF \sim \triangle OSC$  uchburchaklarning o'xshashligidan

$$\frac{FO}{OS} = \frac{KF}{SC}.$$

$$\frac{KF}{SC} = \frac{EK}{EC} = \frac{EF}{EC} = \frac{1}{3}.$$

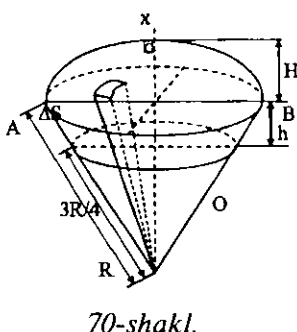
Natijada

$$\frac{FO}{OS} = \frac{KF}{SC} = \frac{1}{3} \text{ bundan } FO = \frac{1}{3} OS = \frac{1}{4} SF,$$

va nihoyat

$$FO = \frac{1}{4} SF, \quad SO = \frac{3}{4} SF. \quad (2.10.4)$$

Shunday qilib, piramidaning og'irlik markazi, piramida asosining og'irlik markazi bilan uning uchini tutashtiruvchi kesmada yotadi. Asosidan boshlab hisoblaganda shu kesmani  $1/4$  nisbatda



70-shakl.

bo‘ladi. Ko‘pburchakli piramida va konus uchun ham (2.10.4) formula o‘rinli bo‘ladi.

**2.10.6. Shar sektorining og‘irlik markazi.**  $R$  radiusli  $OACB$  shar sektorining og‘irlik markazini topiladi (70-shakl).

Sektor asoslari bir xil va uchi shar markazida bo‘lgan katta sondagi piramidalarga ajratiladi. Hosil bo‘lgan

piramidalarning og‘irlik markazlarini (2.10.4) formuladan foydalaniib topiladi. Piramidalarning hajmlari bir xil bo‘lganligi uchun ularning og‘irlik markazlari  $\frac{3}{4}R$  radiusli sferik segment sirti ustida yotadi. Shunday qilib, shar sektorining og‘irlik markazi  $\frac{3}{4}R$  bilan ustma-ust tushadi.

Hosil bo‘lgan sferik segmentning balandligini  $h$  deylik, u holda  $h = \frac{3}{4}H$ . Sferik segmentning og‘irlik markazi quyidagicha topiladi:

$$x_c = \frac{3}{4}R - \frac{h}{2}. \quad (2.10.5)$$

Koordinatalar boshini shar markazida olib,  $Ox$  o‘qi shar sektorining simmetriya o‘qi bo‘ylab yo‘naltiriladi.

Shar sektorining og‘irlik markazi bilan hosil bo‘lgan sferik segmentning og‘irlik markazi ustma-ust tushadi, shuning uchun (2.10.5) formuladan shar sektori og‘irlik markazining abssissasi quyidagiga teng bo‘ladi:

$$x_c = \frac{3}{4}R - \frac{3}{8}H = \frac{3}{8}\left(R - \frac{H}{2}\right). \quad (2.10.6)$$

(2.10.6) formulada  $H=R$  deb yarim shar og‘irlik markazini topish mumkin, ya’ni

$$x_c = (3/8)R.$$

## 2.11. Gulden-Pap teoremlari

**1-teorema.** Egri chiziqning o'z tekisligida yotuvchi lekin bu chiziqni kesmaydigan o'q atrofida aylanishidan hosil bo'lgan sirtning yuzi, shu egri chiziq uzunligi bilan egri chiziq og'irlilik markazi chizgan aylana uzunligining ko'paytmasiga teng.

$AB$  egri chiziq va shu egri chiziq tekisligida yotuvchi hamda uni kesmaydigan  $y$  o'q berilgan bo'lsin (71-shakl).

$AB$  yoyni  $\Delta\ell$  uzunlikdagi bo'lakchalarga ajratamiz. yowni  $Oy$  o'q atrofida aylanishidan hosil bo'lgan elementar sirtning yuzi  $2\pi x\Delta\ell$  ga teng bo'ladi. Butun  $AB$  egri chiziqni  $Oy$  o'qi atrofida aylanishidan hosil bo'lgan sirtning yuzi quyidagiga teng:

$$S = \sum 2\pi x\Delta\ell = 2\pi \sum x\Delta\ell.$$

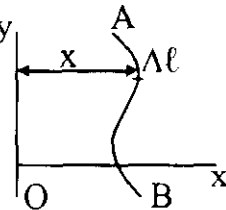
Og'irlilik markazining koordinatalarini topish formulasiga asosan  $\sum x\Delta\ell = x_0\ell$ .  $x_0$  —  $AB$  egri chiziq og'irlilik markazining abssissasi,  $\ell$  — egri chiziqning uzunligi. Shunday qilib,  $AB$  egri chiziqning aylanishidan 71-shakl hosil bo'lgan sirtning yuzi quyidagiga teng:

$$S = 2\pi x_0\ell. \quad (2.10.7)$$

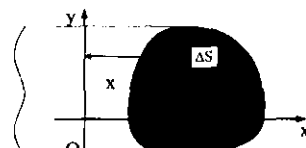
**2-teorema.** Yassi shaklning o'z tekisligida yotuvchi lekin shaklni kesmaydigan o'q atrofida aylanishidan hosil bo'lgan jismning hajmi shu shakl yuzasi bilan shakl og'irlilik markazi chizgan aylana uzunligining ko'paytmasiga teng.

(S) tekis shakl va shu shakl tekisligida yotuvchi lekin shaklni kesmaydigan  $y$  o'qi berilgan bo'lsin (72-shakl).

Berilgan shakl  $\Delta S$ , yuzali elementar bo'lakchalarga ajratiladi. Har bir elementar yuzani  $y$  o'qi atrofida aylanishidan hosil bo'lgan jismning hajmini



71-shakl.



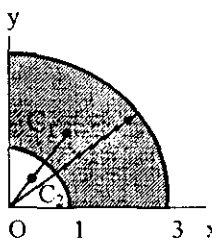
72-shakl.

$\Delta V_i = 2\pi x_i \Delta S_i$  deb olish mumkin. U holda berilgan shaklni aylanishidan hosil bo'lgan jismning hajmi quyidagi teng bo'ladi:

$$V = \sum 2\pi x_i \Delta S_i = 2\pi \sum x_i \Delta S_i.$$

Og'irlik markazining koordinatalarini topish formulasiga asosan  $\sum x_i \Delta S_i = x_0 S$ , bunda  $x_0$  — berilgan shakl og'irlik markazining abssissasi,  $S$  — yuzasi. Shunday qilib, ( $S$ ) shaklning aylanishidan hosil bo'lgan jismning hajmi uchun quyidagi ifoda hosil bo'ladi:  $V = 2\pi x_0 S$ .

## 2.12. Jismlarning og'irlik markazini topishga doir masalalar



73-shakl.  
73-shakl.

**2.12.1-masala (И.В.Мешcherский 9.5).**  
73-shaklda tasvirlangan chorak halqa og'irlik markazining koordinatalari aniqlansin.

**Yechish.** Manfiy yuzalar usulidan foydalanib qaralayotgan yuzaning og'irlik markazi topiladi. Radiusi 3sm bo'lgan sektor yuzasini  $S_1$ , kichik sektor yuzasini  $S_2$ , katta sektor yuzasini og'irlik markazini koordinatalarini  $x_1$ ,  $y_1$ , kichik sektorning og'irlik markazining koordinatalarini  $x_2$ ,  $y_2$  deb belgilaymiz. Doira sektorining og'irlik markazini topish formulasiga asosan:

$$OC_1 = \frac{2}{3} R \frac{\sin \alpha}{\alpha}; \quad R=3 \text{ sm}; \quad \alpha=\frac{\pi}{4}, \quad OC_1 = \frac{2}{3} 3 \text{ sm} \frac{\frac{\sin \frac{\pi}{4}}{\pi}}{\frac{4}{4}} = \frac{8 \sqrt{2}}{\pi} \text{ sm} = \frac{4 \sqrt{2}}{\pi},$$

$$OC_2 = \frac{2}{3} 1 \text{ sm} \frac{\frac{\sin \frac{\pi}{4}}{\pi}}{\frac{4}{4}} = \frac{8 \sqrt{2}}{3\pi} \text{ sm} = \frac{4 \sqrt{2}}{3\pi} \text{ sm},$$

$$x_1 = OC_1 \cos 45^\circ = \frac{4\sqrt{2}}{\pi} \cdot \frac{\sqrt{2}}{2} = \frac{4}{\pi} \text{ sm},$$

$$y_1 = OC_1 \sin 45^\circ = \frac{4\sqrt{2}}{\pi} \cdot \frac{\sqrt{2}}{2} = \frac{4}{\pi} \text{ sm},$$

$$x_2 = OC_2 \sin 45^\circ = \frac{4\sqrt{2}}{3\pi} \cdot \frac{\sqrt{2}}{2} = \frac{4}{3\pi} \text{ sm}$$

$$y_2 = OC_2 = \frac{4}{3\pi} \text{ sm}, \quad S_1 = \frac{\pi R^2}{4} = \frac{9\pi}{4}; \quad S_2 = \frac{\pi r^2}{4} = \frac{\pi}{4}.$$

Qaralayotgan shaklning og'irlik markazi topiladi:

$$x_c = \frac{S_1 X_1 - S_2 X_2}{S_1 - S_2} = \frac{\frac{9\pi}{4} \cdot \frac{4}{\pi} - \frac{\pi}{4} \cdot \frac{4}{3\pi}}{\frac{9\pi}{4} - \frac{\pi}{4}} \approx 1,38 \text{ sm},$$

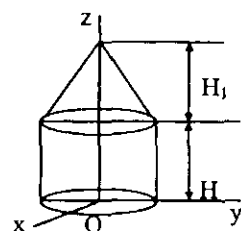
$$y_c = \frac{S_1 Y_1 - S_2 Y_2}{S_1 - S_2} = \frac{\frac{9\pi}{4} \cdot \frac{4}{\pi} - \frac{\pi}{4} \cdot \frac{4}{3\pi}}{\frac{9\pi}{4} - \frac{\pi}{4}} \approx 1,38 \text{ sm}.$$

**2.12.2-masala (O.Ә.Kene 9.5).** Silindr va konusdan tashkil topgan bir jinsli jism og'irlik markazining koordinatalari topilsin. Konus va silindrning radiuslari bir xil va balandliklari  $H_1 = 2H = 0,4 \text{ m}$ .

**Yechish.** Jism simmetriya o'qiga ega, shuning uchun simmetriya o'qi bo'ylab Oz o'qini yo'naltiramiz. Natijada  $x_c = 0$ ;  $y_c = 0$ . Murakkab hajmning og'irlik markazini topish formulasiga asosan:

$$z_c = \frac{V_1 z_1 + V_2 z_2}{V_1 + V_2},$$

bunda  $V_1$  — silindrning hajmi;  $z_1$  — silindr og'irlik markazining koordinatasi;  $V_2$  — konusning hajmi;  $z_2$  — konus og'irlik markazining koordinatasi



74-shakl.

$$V_1 = \pi r^2 H; \quad z_1 = \frac{H}{2}; \quad V_2 = \pi r^2 H_1; \quad z_2 = H_1 + H.$$

$$z_c = \frac{\pi \cdot r^2 H \cdot \frac{H}{2} + \frac{1}{3} \pi \cdot r^2 H_1 \left( \frac{1}{4} H_1 + H \right)}{\pi \cdot r^2 H + \frac{1}{3} \pi \cdot r^2 H_1} =$$

$$= \frac{0,2 \cdot 0,1 + \frac{0,4 \cdot 0,3}{3}}{0,2 + \frac{0,4}{3}} = \frac{0,06 + 0,12}{1} = 0,18.$$

*Javob.*  $x_c = y_c = 0; \quad z_c = 0,18.$

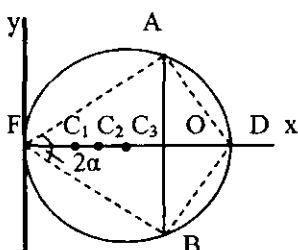
**2.12.3-masala (И.В.Меншерский 9.1).** Sterjenli  $AFBD$  konturning og‘irlilik markazining vaziyatini aniqlaymiz. Kontur  $FD=R$  radiusli aylananing to‘rtidan biriga teng,  $ADB$  yoy va diametri  $AB$  vatar bo‘lgan  $AFB$  yarim aylana yoyidan tashkil topgan. Sterjennarning chiziqli zichligi bir xil.

**Yechish.** Konturni ikki qismga  $AFB$  yarim aylana va  $ADB$  yoylarga bo‘lamiz. Koordinata boshini  $F$  nuqtada olib,  $x$  o‘qini konturning simmetriya o‘qi bo‘ylab yo‘naltiramiz. U holda kontur og‘irlilik markazining ordinatasi  $y_c = 0$  bo‘ladi. Og‘irlilik markazining abssissasini bo‘laklarga ajratish usulidan foydalanib topiladi, ya’ni

$$x_c = \frac{l_1 x_1 + l_2 x_2}{l_1 + l_2}. \quad (a)$$

Bunda  $x_1$ — $AFB$  yarim aylanining og‘irlilik markazining abssissasi,  $\ell_1$  — uzunligi,  $x_2$ — $ADB$  yoyning og‘irlilik markazining abssissasi,  $\ell_2$  esa uzunligi.

(2.10.1) formuladan foydalanib,  $ADB$  yoyning og‘irlilik markazining abssissasi topiladi:



75-shakl.

$$x_2 = FD \frac{\sin \alpha}{\alpha}; \quad \alpha = \frac{\pi}{4};$$

$$FD = R, \quad \sin \alpha = \frac{\sqrt{2}}{2}.$$

Demak,

$$x_2 = \frac{2\sqrt{2}}{\pi} R. \quad (b)$$

Yoyning uzunligi

$$l_2 = \frac{\pi R}{2}.$$

Yarim aylananing radiusi  $OA=OB=OF=r$  bilan belgilanadi (75-shakl). U holda  $\angle DAB = 22^030'$  bo'ladi.  $\Delta OAD$  dan

$$\tg 22^030' = \frac{2 - \sqrt{2}}{2} \text{ natijada } OD = r \frac{2 - \sqrt{2}}{2}.$$

Shaklga asosan  $r + OD = R$  yoki

$$r + r \frac{2 - \sqrt{2}}{2} = R \quad \text{bundan} \quad r = \frac{R}{\sqrt{2}}.$$

Yarim aylana uchun  $\alpha = \frac{\pi}{2}$ ,  $\sin \alpha = 1$ . (2.10.1) formulaga asosan

$$OC_1 = \frac{2r}{\pi} = \frac{\sqrt{2}R}{\pi}, \quad x_1 = r - \frac{\sqrt{2}R}{\pi} = \frac{R}{\sqrt{2}} - \frac{\sqrt{2}R}{\pi} = \frac{\pi - 2}{\sqrt{2}\pi} R. \quad (d)$$

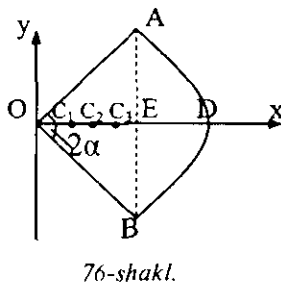
Yarim aylana uzunligi

$$l_1 = \pi r = \frac{R\pi}{\sqrt{2}} \quad (e)$$

(b), (c), (d) va (e) ifodalarni (a) ga qo'yamiz:

$$x_c = \frac{\frac{\pi - 2}{\sqrt{2}\pi} R \cdot \frac{R\pi}{\sqrt{2}} + \frac{2\sqrt{2}}{\pi} R \cdot \frac{\pi R}{2}}{\frac{R\pi}{\sqrt{2}}} = \frac{\pi - 2 + 2\sqrt{2}}{(\sqrt{2} - 1)\pi} R = 0,524R.$$

**2.12.4-masala (И.В.Мешчерский 9.3).** Radiusi  $AO = 30\text{sm}$  bo'lgan doiraviy segment yuzining C og'irlilik markazini topamiz. Koordinata boshini doira markazida olib, x o'qini segmentning



simmetriya o‘qi bo‘ylab yo‘naltiramiz. U holda  $y_c = 0$ . Yuzaning og‘irlik markazi manfiy massalar usulidan foydalanib topiladi. Segment yuzi sektorgacha to‘ldiramiz va uchburchak yuzini manfiy ishora bilan olamiz, ya’ni

$$x_c = \frac{S_1 x_1 - S_2 x_2}{S_1 - S_2}. \quad (a)$$

Bunda  $x_1$  — sektor yuzasining og‘irlik markazining abssissasi,  $S_1$  — sektor yuzi  $x_2$  — uchburchak yuzining og‘irlik markazining abssissasi,  $S_2$  — uchburchak yuzi.

(2.10.1) formulaga asosan:

$$x_1 = \frac{2}{3} R \frac{\sin \alpha}{\alpha}; \quad 2\alpha = \frac{\pi}{3}; \quad \sin \alpha = \frac{1}{2}$$

va demak

$$x_1 = \frac{2R}{\pi}. \quad (b)$$

$$\text{Sektoring yuzi} \quad S_1 = \frac{\pi R^3}{6}. \quad (c)$$

Endi uchburchakning og‘irlik markazining abssissasi topiladi.  $AOB$  uchburchak teng tomonli bo‘lganligi uchun  $AB = AO = BO = R$

$$AE = \frac{AB}{2} = \frac{R}{2}$$

u holda

$$OE = \sqrt{R^2 - \frac{R^2}{4}} = \frac{\sqrt{3}}{2} R.$$

Uchburchakning og‘irlik markazini topish formulasiga asosan

$$x_2 = \frac{2}{3} OE = \frac{\sqrt{3}}{3} R. \quad (d)$$

Uchburchakning yuzi

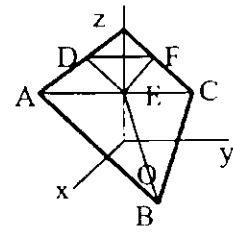
$$S_2 = \frac{\sqrt{3}}{4} R^2. \quad (e)$$

(b),(c),(d) va (e) ifodalarni (a) ga qo'yib hisoblanadi:

$$x_c = \frac{\pi R^2 \cdot 2R - \sqrt{3} R^2 \cdot \frac{\sqrt{3}}{3} R}{\frac{\pi R^2}{6} - \frac{\sqrt{3}}{4} R^2} = R \frac{1}{2\pi - 3\sqrt{3}} \approx 27,7 \text{ sm.}$$

### 2.12.5-masala(И.В.Менгерский 9.23).

Asosiga parallel qilib kesilgan bir jinsli  $ABCDEF$  tetraedr uchun yuza  $ABC = a$ ,  $DEF = b$ , ularning orasidagi masofa  $h$  berilgan  $ABC$  asosdan kesik tetraedrnинг og'irlik markazigacha bo'lgan masofani toping (77-shakl).



77-shakl.

**Yechish.** Kesik piramida ostki asosining massalar markazini koordinatalar boshi qilib olamiz. ( $xy$ ) tekisligi sifatida  $ABC$  uchburchak tekisligini olamiz. Tetraedrnинг og'irlik markazi uning balandligida yotadi. Chunki tetraedr bir jinsli.

Demak,  $x_c = 0, y_c = 0$ .

$ABCD$  tetraedrnинг og'irlik markazini  $z_1$  bilan, hajmini  $V_1$  bilan qo'shimcha  $DEFC$  tetraedrnинг og'irlik markazini  $z_2$  bilan hajmi  $V_2$  bilan belgilanadi.

Manfiy massalar usuliga asosan:

$$z_c = \frac{V_1 z_1 - V_2 z_2}{V_1 - V_2} \quad (\text{a})$$

$O_1S = h_1$  deb belgilab olamiz. U holda  $OS = h + h_1$  geometriyadan ma'lumki,

$$\frac{a}{b} = \frac{(h + h_1)^2}{h_1^2} \text{ bundan } (a - b)h_1^2 - 2bh_1 - bh^2 = 0$$

$$\text{bundan } h_{1,2} = \frac{bh + h\sqrt{ab}}{a - b}, \quad \sqrt{ab} > b \text{ bo'lganligi uchun}$$

$$h_1 = h \frac{b + \sqrt{ab}}{a - b}.$$

Shunday qilib

$$OS = h + h \frac{b + \sqrt{ab}}{a - b} + \frac{h(a + \sqrt{ab})}{a - b}.$$

*CABD* tetraedrning og‘irlik markazi

$$z_1 = \frac{1}{4} OS = \frac{h(a + \sqrt{ab})}{4(a - b)} \quad (b)$$

ga teng. Hajmi  $V_1 = \frac{1}{3} a \cdot OC = \frac{ah(a + \sqrt{ab})}{3(a - b)}$  (c)

*CDFE* tetraedrning og‘irlik markazi

$$z_2 = h + \frac{1}{4} h_1 = \frac{4ah - 3bh + h\sqrt{ab}}{4(a - b)} \quad (d)$$

bo‘ladi. Hajmi

$$V_2 = \frac{1}{3} bh_1 = \frac{bh(b + \sqrt{ab})}{3(a - b)} \quad (e)$$

(b),(c),(d) va (e) ifodalarni (a) ga qo‘yamiz. Natijada berilgan hajmnning og‘irlik markazi

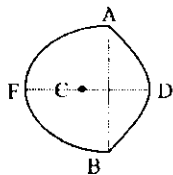
$$z_c = \frac{\frac{ah(a + \sqrt{ab})}{3(a - b)} - \frac{h(a + \sqrt{ab})}{4(a - b)} - \frac{bh(b + \sqrt{ab})}{3(a - b)} + \frac{h(4a + \sqrt{ab} - 3b)}{4(a - b)}}{\frac{ah(a + \sqrt{ab})}{3(a - b)} - \frac{bh(b + \sqrt{ab})}{3(a - b)}}$$

ga teng bo‘ladi. Ba’zi soddalashtirishlardan so‘ng

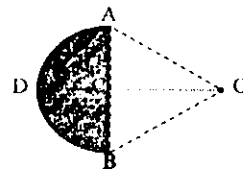
$$z_c = \frac{ha + 2\sqrt{ab} + 3b}{4a + \sqrt{ab} + b}, \quad x_c = 0, \quad y_c = 0.$$

### Muammoli masala va topshiriqlar

1. Sterjenli *AFBD* konturning *C* og‘irlik markazining vaziyati aniqlansin. Kontur *FD=R* radiusli aylananing to‘rtidan biriga teng bo‘lgan *ADB* yoy va diametri *AB* vatar bo‘lgan *AFB* yarim aylana yoyidan tashkil topgan. Sterjenlarning chiziqli zichligi bir xil.

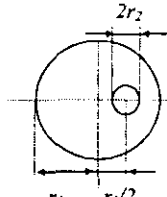


1-masala.

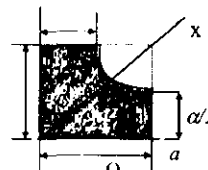


2-masala.

2. Radius  $AO = 30$  sm bo'lgan  $ADB$  doiraviy segment yuzining  $C$  og'irlik markazi topilsin; burchak  $AOB = 60^\circ$ .



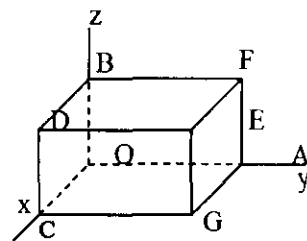
3-masala.



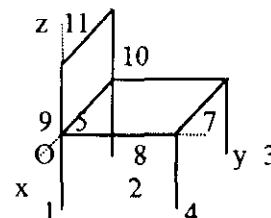
4-masala.

3. Yumaloq teshikli bir jinsli disk og'irlik markazining koordinatalarini aniqlang. Diskning radiusi  $r_1$  ga, teshikning radiusi  $r_2$  ga teng, bu teshikning markazi  $r_1/2$  masofada turadi deb hisoblansin.

4. Rasmda ko'rsatilgan shakl og'irlik markazining koordinatalari topilsin.



5-masala.

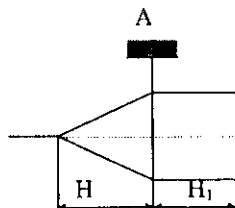


6-masala.

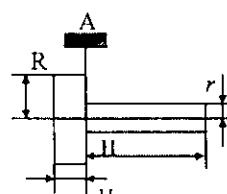
5. To'g'ri burchakli parallelepiped konturi og'irlik markazining koordinatalari aniqlansin: parallelepiped qirralari bir jinsli brus-

lardan iborat bo'lib, ularning uzunliklari:  $OA = 0,8\text{ m}$ ,  $OB = 0,4\text{ m}$ ,  $OC = 0,6\text{ m}$ . Bu bruslarning og'irliklari mos ravishda:  $OA = 250\text{ m}$ ,  $OB$ ,  $OC$  va  $CD$  lar  $75\text{ N}$  dan;  $OG = 200\text{ N}$ ,  $AF = 125\text{ N}$ ,  $AG$  va  $GE = 50\text{ N}$ ;  $BD$ ,  $BF$ ,  $DE$  va  $EF$  lar  $25\text{ N}$  dan.

**6.** Stul ko'rinishidagi jism og'irlik markazining koordinatalari topilsin; bu jism bir xil uzunlik va bir xil og'irlikdagi sterjenlardan tuzilgan. Sterjenlarning uzunligi  $44\text{ sm}$ .



7-masala.



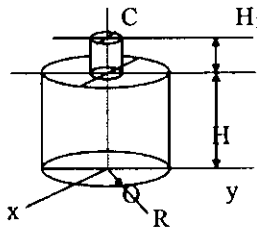
8-masala.

**7.** Bir jinsli jism konus va silindrda tashkil topgan. Agar jismning simmetriya o'qi gorizontal bo'lsa, konusning  $H$  balandligini toping.  $H_1 = 0,3\text{ m}$ .

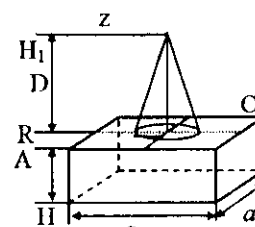
**8.** Ikkita silindrda tashkil topgan jism  $A$  nuqtasida osib qo'yilgan. Jismning simmetriya o'qi gorizontal, silindrning balandligi  $H_1 = 0,5\text{ m}$ , radiusi  $R = 32$  bo'lsa,  $H$  balandlikni toping.

**9.** Jism bir jinsli to'g'ri burchakli parallelepipeddan va bir jinsli konusdan tashkil topgan. Agar jismning og'irlik markazi  $ABCD$  tekislikda yotsa, konusning  $R$  radiusini toping.  $N_1 = 3\text{ N}$ ,  $a = 2\text{ m}$ .

**10.** Figuraning shtrixlangan yuzasining og'irlik markazining  $u_s$  koordinatasini toping.  $R = 0,99\text{ m}$ ,  $r = 0,33\text{ m}$ .



7-masala.



8-masala.

## **Mustaqil ishlash uchun savol va topshiriqlar**

1. *Jismning og 'irlik markazi umumiy holda qanday topiladi?*
2. *Bir jinsli hajmning og 'irlik markazi qanday topiladi?*
3. *Bir jinsli sirtning og 'irlik markazi qanday topiladi?*
4. *Bir jinsli egri chiziqning og 'irlik markazi qanday topiladi?*
5. *Bo'laklarga ajratish usulini tushuntirib bering.*
6. *Manfiy masalalar usulini tushuntirib bering.*
7. *Simmetriya usulini tushuntirib bering.*
8. *Gulden-Pap teoremlarini tahlil qiling.*

### **III BOB. TAQSIMLANGAN KUCHLAR SISTEMASI**

*Statikada qattiq jismning birorta nuqtasiga qo'yilgan jamlangan kuch qaratadi. Haqiqatda esa kuch qattiq jismning biror hajm yoki yuza yoki biror egri chiziq bo'lagiga qo'yilgan bo'ladi. Bunday kuchga taqsimlangan kuch deyiladi. Nazariy mexanika aksioma va teoremlari jamlangan kuchlar uchun beriladi, shu sababli taqsimlangan kuchdan jamlangan kuchga o'tish usullarini qarab chiqishga to'g'ri keladi.*

Taqsimlangan kuchlar o'zining taqsimlanish intensivligi bilan tavsiflanadi. Hajm birligiga, yuza birligiga yoki uzunlik birligiga to'g'ri keluvchi kuchga *taqsimlangan kuch intensivligi* deyiladi. Asosan taqsimlangan parallel kuchlar ko'p uchraydi. Taqsimlangan parallel kuchlarga jismning butun hajmi bo'ylab taqsimlangan hajmiy kuchlar misol bo'la oladi. Suyuqlikning idish tubiga va devorlariga beradigan bosimi sirt bo'ylab taqsimlangan kuchlarga, ingichka simning og 'irlik kuchi egri chiziq bo'lagi bo'ylab taqsimlangan kuchga misol bo'ladi.

Biz quyida egri chiziq bo'yicha taqsimlangan va intensivligi o'zgarmas yoki chiziqli qonun bilan taqsimlangan kuchlarni qaraymiz.

#### **3.1. Taqsimlangan kuchlar**

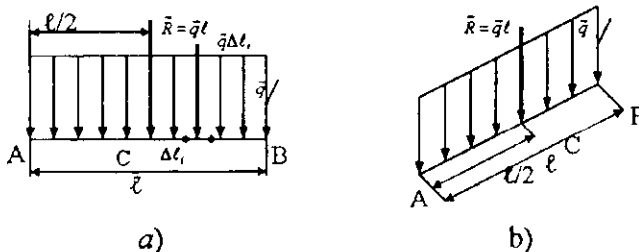
*Kuch, kuch intensivligi, teng ta'sir etuvchi, tekis va chiziqli qonun bilan taqsimlanish, reaksiya kuchi, reaksiya momenti.*

**3.1.1. To‘gri chiziq kesmasi bo‘yicha doimiy intensivlik bilan taqsimlangan parallel kuchlar.** To‘gri chiziqning uzunligi  $\ell$  ga teng bo‘lgan  $AB$  kesmasi bo‘ylab  $\vec{q}$  doimiy intensivlik bilan taqsimlangan kuchni qaraymiz (78- a shakl).  $AB$  kesma uzunligi kesma uzunligiga nisbatan yetarlicha kichik bo‘lakchalarga ajratiladi. Har bir bo‘lakchaga  $\vec{q}\Delta\ell_i$ , kuch ta’sir qiladi. Bunda  $\Delta\ell_i$ , uzunlik yetarlicha kichik, shuning uchun  $\vec{q}\Delta\ell_i$ , ni jamlangan kuch deb qarash mumkin. Shunday yo‘l bilan hosil qilingan  $\vec{q}\Delta\ell_i$ , parallel kuchlar sistemasi bitta teng ta’sir etuvchiga keltiriladi, natijada

$$\vec{R} = \sum_{i=1}^n \vec{q}\Delta\ell_i = \vec{q} \sum_{i=1}^n \Delta\ell_i = \vec{q}\ell. \quad (3.1.1)$$

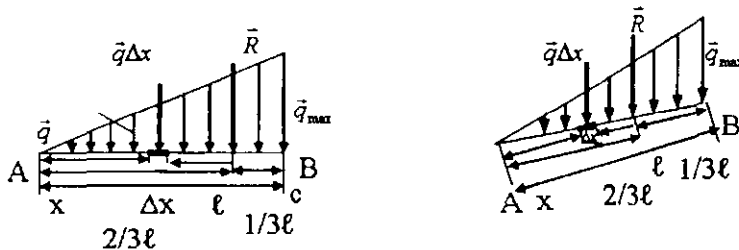
Teng ta’sir etuvchi  $\vec{R}$  kuch taqsimlanish intensivligi o‘zgarmas bo‘lganligi uchun  $AB$  kesmaning o‘rtasiga qo‘yilgan bo‘ladi. Uning moduli  $AB$  kesma va  $\vec{q}$  vektorga qurilgan to‘g’ri to‘rtburchakning yuziga teng.

Agar o‘zgarmas insensivlik bilan taqsimlangan parallel kuchlarga to‘g’ri chiziqning  $AB$  kesmasi og‘ma ravishda joylashgan bo‘lsa, teng ta’sir etuvchining moduli  $q\ell$  ga teng, ammo parallelogrammning yuzasiga teng bo‘lmaydi. Teng ta’sir etuvchining ta’sir chizig‘i  $AB$  kesmaning o‘rtasidan o’tadi (78- b shakl).



78-shakl.

**3.1.2. To‘g’ri chiziq kesmasi bo‘yicha taqsimlanish intensivligi chiziqli qonun bilan o‘zgaruvchi parallel kuchlar.** Chiziqli qonun bilan taqsimlangan parallel kuchlarni qaraymiz (79- a shakl).



79-shakl.

Bunday taqsimlanishni uchburchak qonuni deyiladi. Uchbur-chak qonuni bilan taqsimlangan parallel kuchlar moduli

$$R = \frac{q_{\max}}{2} \ell \quad (3.1.2)$$

bo'lgan teng ta'sir etuvchiga keltiriladi. Haqiqatan ham,  $AB$  kesmani uzunlikdagi bo'lakchalarga ajratib, har bir bo'lakchaga to'g'ri keluvchi kuchlar qo'shiladi va  $\Delta x \rightarrow 0$  da limitga o'tamiz. U holda

$$R = \lim_{\substack{\Delta x \rightarrow 0 \\ n \rightarrow \infty}} \sum_{i=1}^n q_i \Delta x = \int_0^\ell q dx.$$

79-a shakldagi uchburchaklarning o'xshashligidan

$\frac{q}{x} = \frac{q_{\max}}{\ell} \Rightarrow q = \frac{q_{\max}}{\ell} x$ .  $q$  ning bu qiymatini yuqoridagi integralga qo'yib hisoblaniladi:

$$R = \int_0^\ell \frac{q_{\max}}{\ell} x dx = \frac{q_{\max}}{\ell} \frac{x^2}{2} \Big|_0^\ell = \frac{q_{\max}}{2} \ell.$$

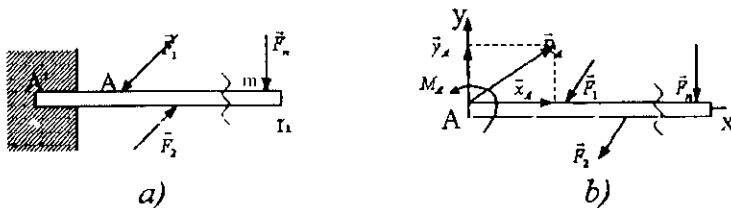
Teng ta'sir etuvchining qo'yilish nuqtasi uchburchak asosidan boshlab hisoblaganda  $(1/3)\ell$  masofada, uchburchak uchidan hisoblaganda  $(2/3)\ell$  masofada bo'ladi.

Teng ta'sir etuvchining moduli  $q_{\max}$  vektor hamda  $A$  va  $B$  nuqtalarga qurilgan uchburchak yuziga teng.

Chiziqli qonun bilan taqsimlangan parallel kuchlar  $AB$  kesmaga perpendikular bo'lmasa teng ta'sir etuvchining moduli

$R = \frac{q_{\max}}{2} \ell$  ga teng, lekin uchburchak yuziga teng emas, qo'yilish nuqtasi  $AB$  kesmaning oldingi holatidagidek bo'laklarga ajraladi.

**3.1.3. Balkaning qistirilgan nuqtasining reaksiyasi.** Balkaning uchlaridan birining  $A'A$  qismi devorga qistirilgan (80-shakl) hamda unga  $\vec{F}_1, \vec{F}_2, \dots, \vec{F}_n$  kuchlar qo'yilgan bo'lsin. Shu  $A'A$  qismining reaksiyasi topiladi. Balkaning  $A'A$  qismiga taqsimlangan kuchlar ta'sir qiladi. Bu kuchlarni teng ta'sir etuvchiga keltirganda bitta  $\vec{R}_A$  kuchga va  $M_A$  momentga ega bo'lamiz.



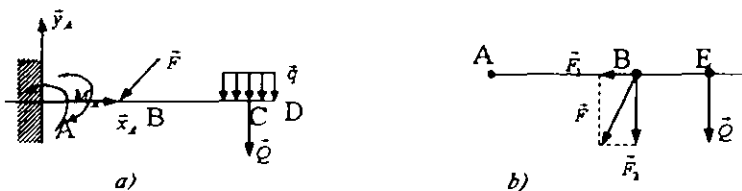
80-shakl.

Shunday qilib, balkani qistirilishi sharnirdan shu bilan farq qilar ekanki, qistirilgan nuqtada  $\vec{R}_A$  reaksiyadan tashqari momenti  $M_A$  ga teng bo'lgan just kuch hosil bo'ladi.  $M_A$  moment qo'yilgan kuchlar ta'siridan balkaning aylanish yo'nalishiga qarama-qarshi yo'nalgan bo'ladi.

### 3.2. Taqsimlangan kuchlarga doir masalalar

Taqsimlangan kuchlar mavzusiga doir masalalarni yechib ko'rsatamiz.

**3.2.1-masala (O.Ə.Kene 2.4.34).**  $AD$  balkaga momenti  $M = 200 N \cdot m$  bo'lgan juft kuch, intensivligi  $q = 20 N / m$  bo'lgan taqsimlangan kuch va  $F$  kuch qo'yilgan. Balkaning qistirilgan nuqtasining reaksiya momenti  $650 N \cdot m$  bo'lishi uchun  $\vec{F}$  kuchning miqdori qanday bo'lishi kerak (81-shakl). O'lchamlar:  $AB=BC=CD=2m$ .



81-shakl.

Berilgan:  $M = 200 \text{ N} \cdot \text{m}$ ,  $q = 20 \text{ N/m}$ ,  $M_A = 650 \text{ N} \cdot \text{m}$ ,  $AB = BC = CD = 2\text{m}$ . Topish kerak:  $F$ .

**Yechish.** Noma'lum miqdorlar uchta:  $\ddot{x}_A, \ddot{y}_A$  va  $\dot{F}$ . Lekin bizdan faqat bitta  $\dot{F}$  kuchni topish talab qilingan. Agar  $A$  nuqtaga nisbatan moment tenglamasi tuzilsa, bir noma'lumli bitta tenglama hosil bo'ladi, ya'ni

$$M_A - M + mom_A(\dot{F}) + mom_A(\vec{Q}) = 0, \quad (\text{a})$$

bunda

$$mom_A(\dot{F}) = mom_A(\dot{F}_2) = -AB \cdot \dot{F}_2 = -AB \cdot F \cos 30^\circ.$$

(3.1.1) formulaga asosan

$$Q = q \cdot CD = 20 \text{ N/m} \cdot 2\text{m} = 40 \text{ N}, \quad mom_A(\vec{Q}) = -AE \cdot Q.$$

Bularni (a) tenglamaga qo'yiladi:

$$M_A - M - AB \cdot F \frac{\sqrt{3}}{2} - AE \cdot Q = 0$$

yoki  $650 \text{ N} \cdot \text{m} - 200 \text{ N} \cdot \text{m} - \sqrt{3}mF - 5m \cdot 40 \text{ N} = 0$ , bundan

$$F = \frac{250}{\sqrt{3}} \text{ N} = 144 \text{ N}.$$

**3.2.2-masala (O.Ø.Kene 2.4.47).** Chiziqli qonun bilan taqsimlangan kuchning eng katta qiymati  $q_{\max} = 400 \text{ N/m}$  va balkanining qistirilgan  $A$  uchida hosil bo'ladigan moment  $300 \text{ N} \cdot \text{m}$  ni muvozanatlashtiruvchi  $F$  kuchning qiymati topilsin (82-shakl).  $AB = 3\text{m}$ ,  $BD = 1\text{m}$ ,  $BC = 2,4\text{m}$ .

Berilgan:  $M_A = 300 \text{ N} \cdot \text{m}$ ,  
 $q_{\max} = 400 \text{ N/m}$ ,  $AB = 3 \text{ m}$ ,  $BD = 1 \text{ m}$ ,  
 $BC = 2,4 \text{ m}$ .

Topish kerak:  $F$ .

**Yechish.** Qurilma qo'yilgan aktiv kuchlar ta'siridan soat mili yo'naliishi shida aylanishga intiladi, shuning uchun  $A$  nuqtada hosil bo'ladigan reaksiya momentining yo'nalishi bu yo'nalishiga qarama-qarshi bo'lishi kerak. Taqsimlangan parallel kuchlarning teng ta'sir etuvchisi (3.1.2) formulaga asosan

$$Q = \frac{q_{\max} BC}{2} = \frac{400 \text{ N/m} \cdot 2,4 \text{ m}}{2} = 480 \text{ N}.$$

Teng ta'sir etuvchining qo'yilish nuqtasi

$$BE = h = \frac{2}{3} BC \cdot \frac{2}{3} \cdot 2,4 = 1,6 \text{ m}.$$

$A$  nuqtaga nisbatan moment tenglamasini tuziladi:

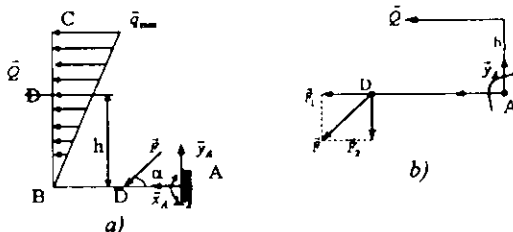
$$M_A + AD \cdot F - hQ = 0, \quad AD = 2 \text{ m}.$$

Berilganlarni bu tenglamaga qo'yamiz:

$$300 \text{ N} \cdot \text{m} + 2 \text{ m} \cdot F - 1,6 \text{ m} \cdot 480 \text{ N} = 0.$$

Bundan  $2F = (768 - 300) \text{ N}$ ,  $F = 234 \text{ N}$ .

**3.2.3-masala (O.Ə.Kene 2.4.49).** Taqsimlangan parallel kuch intensivligi  $q_{\max} = 40 \text{ N/m}$ ,  $F = 150 \text{ N}$  va o'lchamlar  $AD = BD = 1 \text{ m}$ ,  $BC = 3 \text{ m}$  bo'lsa,  $A$  nuqtada hosil bo'ladigan reaksiya momenti topilsin (83-shakl).



83-shakl.

Berilgan:  $q_{\max} = 40 \text{ N/m}$ ,  $F = 150 \text{ N}$ ,  $AD = BD = 1 \text{ m}$ ,  $BC = 3 \text{ m}$ ,  $\alpha = 30^\circ$ .

Topish kerak:  $M_A$ .

**Yechish.** Parallel kuchlarning teng ta'sir etuvchisi (3.1.2) formulaga asosan  $Q = \frac{1}{2} BC q_{\max} = \frac{1}{2} \cdot 3 \text{ m} \cdot 4 \text{ N/m} = 60 \text{ N}$ .

Teng ta'sir etuvchining qo'yilish nuqtasi topiladi:

$$h = BD = \frac{2}{3} BC = 2 \text{ m}.$$

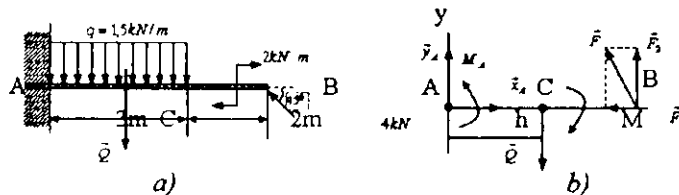
$A$  nuqtaga nisbatan moment tenglamasi

$$-M_A + Qh + F_2 AD = 0, \quad F_2 = FC \cos 60^\circ = \frac{1}{2} F.$$

Bundan

$$M_A = 60 \text{ N} \cdot 2 \text{ m} + \frac{1}{2} \cdot 150 \text{ N} \cdot 1 \text{ m} = 195 \text{ N} \cdot \text{m}, \quad M_A = 195 \text{ N} \cdot \text{m}.$$

**3.2.4-masala (И.В.Мешперекий).** To'plangan kuch, tekis taqsimlangan yuk va just kuch ta'siridagi shaklda tasvirlangan konsol balkaning qistirib mahkamlangan uchidagi reaksiya kuchlari aniqlansin (84-shakl).



84-shakl.

**Yechish.** Koordinatalar sistemasi shaklda ko'rsatilganday qilib tanlanadi. Tanlangan sistemaga nisbatan proyeksiya tenglamalarini va  $A$  nuqtaga nisbatan moment tenglamasi tuziladi:

$$\begin{cases} \sum_{i=1}^5 F_{ix} = x_A - F_1 = 0, \\ \sum_{i=1}^5 F_{iy} = y_A - Q + F_2 = 0, \\ \sum_{i=1}^5 mom_A(\vec{F}_i) = M_A - AC \cdot Q + AB F_1 = 0. \end{cases} \quad (a)$$

(a) tenglamalarning birinchi ikkitasidan

$$x_A = F_1 = FCos45^0 = 2,8kN;$$

$$y_A = Q - F_2 = Q - FCos45^0 = 4,5kN - 2,8kN = 1,7kN,$$

bunda  $Q = 3m \cdot 1,5kN = 4,5kN$ .

(a) tenglamalarning ukkinchisidan

$$M_A = 1,5m \cdot 4,5kN - 5m \cdot 2,8kN = -5,35kN \cdot m.$$

$$Javob. x_A = 2,8kN, y_A = 1,7kN, M_A = -5,35kN \cdot m.$$

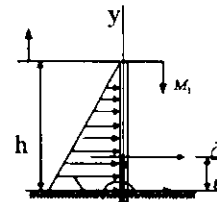
**3.2.5-masala (И.В.Менгерский 4.30).** Shaklda tasvirlangan just kuch va uchburchak qonuni bilan taqsimlangan yuk ta'sirida bo'lgan konsol balka qistirilgan uchining reaksiya kuchlari topilsin (85-shakl).

Berilgan:  $M_1 = 4kN \cdot m$ ,  $h = 12m$ ,  $q_{\max} = 1,5kN/m$ .

Topish kerak:  $x_A$ ,  $y_A$ ,  $M_A$ .

**Yechish.** Koordinatalar sistemasini shaklda ko'rsatilganday qilib tanlaymiz. Uchburchak qonuni bilan taqsimlangan parallel kuchlarning teng ta'sir etuvchisini topish formulasi (3.1.2) ga asosan

$$Q = \frac{q_{\max} \cdot h}{2} = \frac{1,5kN/m \cdot 12m}{2} = 9kN.$$



85-shakl.

Teng ta'sir etuvchining qo'yilish nuqtasi topiladi:

$$\ell = \frac{1}{3}h = 4m.$$

Endi tanlangan koordinatalar sistemasiga nisbatan proyeksiya tenglamalarini va  $A$  nuqtaga nisbatan moment tenglamasi tuziladi:

$$\begin{cases} \sum_{i=1}^3 F_{ix} = x_A + Q = 0; & \sum_{i=1}^3 F_{iy} = y_A = 0; \\ \sum_{i=1}^n mom_A(F_i) = -Q\ell - M_1 + M_A = 0. \end{cases} \quad (a)$$

(a) tenglamalarning birinchisidan

$$x = -Q = -9kN,$$

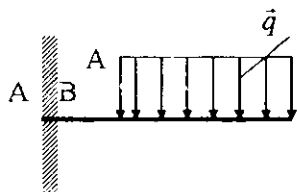
uchinchisidan

$$M = M_1 + Q \cdot l; \quad M = 40kN \cdot m.$$

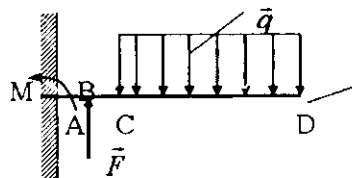
$$Javob: x_A = -9kN, \quad y_A = 0, \quad M = 40kN \cdot m.$$

### Muammoli masala va topshiriqlar

1. Balkaning mahkamlangan  $A$  nuqtasidagi reaksiya kuchining momenti  $400 \text{ Nm}$  bo'lsa, taqsimlangan kuchning intensivligini toping.  $AB=2\text{m}$ ,  $BC=4\text{m}$ .



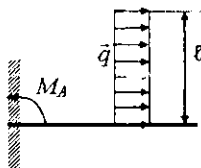
1-masala.



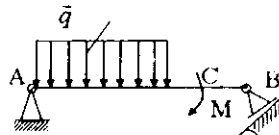
2-masala.

2.  $AD$  balkaning mahkamlangan  $A$  nuqtasidagi moment  $240 \text{ Nm}$  taqsimlangan kuchning intensivligi  $q=40 \text{ N/m}$  bo'lsa,  $F$  vertikal kuchni toping.  $CD=3\text{m}$ ,  $AB=BC=1\text{m}$ .

3. Taqsimlangan kuchning intensivligi qanday bo'lganda, 4 bog'lanishda hosil bo'ladi moment  $M_A=200 \text{ Nm}$  bo'ladi.  $\ell=1\text{m}$ .



3-masala.

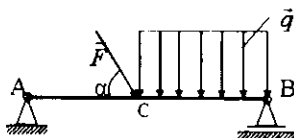


4-masala

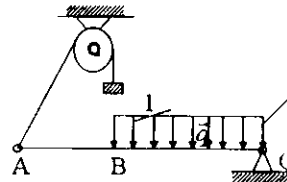
4.  $B$  tayanchning reaksiyasi  $250 \text{ N}$ , taqsimlangan kuchning intensivligi  $q=2 \text{ N/m}$  bo'lsa,  $M$  momentni toping.

5.  $AB$  balkaga intensivligi  $q=2 \text{ N/m}$  bo'lgan taqsimlangan kuch va  $F=6 \text{ N}$  jamlangan kuch ta'sir etadi.  $AC=1/3 \text{ AB}$  va  $\alpha=45^\circ$  bo'lsa,  $B$  tayanchning reaksiyasiini toping.

**6.** *AC* balka *C* sharnir bilan mahkamlangan va blok orqali o'tuvchi ip yordamida gorizontal holatda ushlab turiladi.  $BC=5\text{m}$ ,  $AC=8\text{m}$ ,  $\alpha=45^\circ$ . I yukning og'irligi  $20\text{N}$  bo'ssa, taqsimlangan kuchning intensivligini toping.



5-masala.



6-masala.

### Mustaqil ishlash uchun savol va topshiriqlar

1. *Kuch intensivligi deganda nimari tushinasiz?*
2. *Doimiy intensivlik bilan taqsimlangan kuchning teng ta'sir etuvchisini moduli nimaga teng?*
3. *Chiziqli qonun bilan taqsimlangan kuch deganda nimani tushinasiz?*
4. *Chiziqli qonun bilan taqsimlangan kuchning teng ta'sir etuvchisining moduli nimaga teng?*
5. *Teng ta'sir etuvchi kuch qo'yilish nuqtasi qanday topiladi?*
6. *Balka qistirilgan nuqtasining reaksiya kuchi va reaksiya momenti qanday topiladi?*

### 3.3. Qattiq jismlar sistemasining muvozanati

Tashqi va ichki kuchlar, kuch momenti, ta'sir va aks ta'sir.

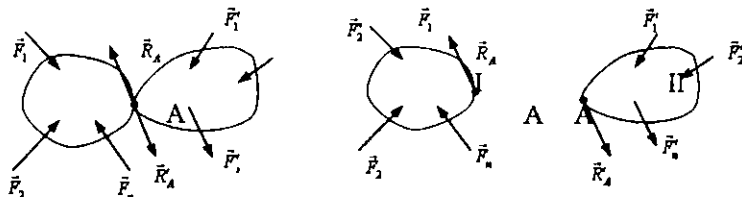
Qattiq jismlar sistemasiga ta'sir etuvchi kuchlar sistemasini qaraymiz. Qattiq jismlar bir-biri bilan sharnirlar vositasida bog'langan, bir-biriga tegib turgan bo'lishi mumkin. Qattiq jismlar sistemasiga ta'sir etuvchi kuchlarni ichki va tashqi kuchlarga ajratish mumkin.

Qattiq jismlar sistemasiga kirmaydigan jismlar tomonidan sistema qismlariga ko'rsatiladigan ta'sir kuchlari tashqi kuchlar deyiladi. Qattiq jismlar sistemasiga kiruvchi jismlarning o'zaro ta'sir kuchlariga *ichki kuchlar* deyiladi.

Misol sifatida temir yo'l poyezdini qaraydigan bo'lsak, bu yerda vagonlarning og'irlik kuchlari, teplovozning tortish kuchi va reqlarning g'ildiraklarga beradigan reaksiya kuchlari tashqi kuchlar hisoblanadi. Vagonlarning o'zaro ta'sir kuchlari, gazlarning porshenga beradigan bosim kuchlari va hokazolar ichki kuchlarga misol bo'ladi.

Qattiq jismlar sistemasiga Yer kirmaydigan bo'lsa, sistemaning og'irlik kuchi tashqi kuch hisoblanadi.

Qattiq jismlar sistemasiga qo'yilgan kuchlar sistemasining muvozanati qaralganda, jismlar sistemasi alohida jismlarga ajratiladi va har bir jismga ta'sir etuvchi kuchlar sistemasining muvozanati tekshiriladi. Bu tenglamalarga ham ichki ham tashqi kuchlar kiradi. Butun sistemaning muvozanati qaralganda ta'sir va aks ta'sir qonuniga asosan jismlarning bir-biriga tegib turgan nuqtasida muvozanatlashgan kuchlar sistemasi hosil bo'ladi, ya'ni  $(\vec{R}_A, \vec{R}'_A) \sim 0$  (86-shakl). Shuning uchun qattiq jismlar sistemasining muvozanati qaralayotganda sistemaga ta'sir etuvchi tashqi kuchlar sistemasining muvozanat shartlari e'tiborga olinadi.



86-shakl.

86-shaklda tasvirlangan ikkita jism sistemasining har bir jismi uchun muvozanat shartlari tuziladi.

I jism uchun

$$\sum_{i=1}^n \vec{F}_i + \vec{R}_A = 0; \quad \sum_{i=1}^n M_0(\vec{F}_i) + M_0(\vec{R}_A) = 0, \quad (3.3.1)$$

II jism uchun

$$\sum_{i=1}^k \vec{F}'_i + \vec{R}'_A = 0; \quad \sum_{i=1}^k M_0(\vec{F}'_i) + M_0(\vec{R}'_A) = 0, \quad (3.3.2)$$

Ta'sir va aks ta'sir qonuniga asosan

$$\dot{R}_A = \dot{R}'_A, \quad (3.3.3)$$

va

$$M_0(\dot{R}_A) = -M(\dot{R}'_A). \quad (3.3.4)$$

(3.3.3) va (3.3.4) larni e'tiborga olib, (3.3.1) va (3.3.2) tenglamalarni hadma-had qo'shsak, quyidagi munosabatlar hosil bo'ladi:

$$\sum_{i=1}^n \ddot{F}_i + \sum_{i=1}^k \dot{F}_i = 0; \quad \sum_{i=1}^n M_0(\dot{F}_i) + \sum_{i=1}^n M_0(\ddot{F}_i) = 0.$$

Bu munosabatlar qattiq jismlar sistemasiga qo'yilgan tashqi kuchlar sistemasining muvozanat shartlarini ifodalaydi.

$N$  ta qattiq jismdan tashkil topgau sistema qaratildigan bo'linsa, tashkil qiluvechi har bir jismga ta'sir etuvechi tashqi kuchlarni tekis kuchlar sistemasi deb hisoblansa, har bir qattiq jism uchun uchta muvozanat tenglamalarini tuzish mumkin. Hamma jismlar uchun tuzilsa,  $3N$  ta tenglamalar sistemasi hosil bo'ladi. Agar izlanayotgan noma'lumlar soni  $3N$  tadan oshmasa, masala statik aniq, agar noma'lumlar soni  $3N$  tadan oshsa, masala statik aniqmas bo'ladi. Aniqmaslikni ochish uchun sistemani tashkil qiluvchi har bir jism uchun muvozanat tenglamalarini tuzish kerak. Undan keyin jismlarni guruhlarga ajratib, har bir guruh uchun va butun sistema muvozanat tenglamalarini tuzish orqali, yetishmaydigan tenglamalarni hosil qilish mumkin. Guruhlarning muvozanat tenglamalarini tuzishda o'zaro ta'sir kuchlari e'tiborga olinmaydi.

Muvozanatdagi qattiq jismlar sistemasiga oid masalalarni qarashda sistemadagi jismlarning o'zaro bog'lanish xarakteriga qarab, uchta guruhga ajratish mumkin:

1. Sistemaga kiruvchi jismlar bir-biriga erkin tiralib turadi. Bu holda jismlarning o'zaro ta'sir kuchlari shu jismlarning bir-biriga tiralib turgan yuzalarining umumiyligi normali bo'ylab yo'nalgan bo'ladi.

2. Sistemadagi jismlar egiluvchan iplar yoki sterjenlar yordamida bir-biriga bog'langan. Bu holda ip yoki sterjenlar bo'ylab yo'nalgan reaksiya kuchlari ichki kuchlar bo'ladi.

3. Sistemadagi jismlar bir-biri bilan sharnirlar yordamida bog'langan. Bu holda ichki kuchlar sharnirlarga qo'yilgan bo'lib, yo'nalishi noma'lum bo'ladi. Shu sababli, bunday masalalarni yechishda ichki kuchlar koordinata o'qlari bo'ylab yo'nalgan ikkita tuzuvchiga ajratiladi.

### 3.4. Qattiq jismlar sistemasining muvozanatiga doir masalalar

**3.4.1-masala (O.Ə.Kene 3.3.3).** Sharnirli to'rt zvenolikning  $BC$  zvenosiga  $M_2 = 200 N \cdot m$  momentli juft kuch qo'yilgan. Agar  $BC = 2 \cdot OA = 400 mm$  bo'lsa, qurilma muvozanda turishi uchun uning  $OA$  krivoshipiqa qo'yilishi kerak bo'lган  $M_1$  moment topilsin (87-shakl).

**Yechish.** Qattiq jismni tashkil qiluvchi barcha qismlar bir-biri bilan sharnirlar vositasida biriktirilgan. Masalada sakkizta noma'lum reaksiya kuchlari va  $M_1$  noma'lum moment qatnashadi.

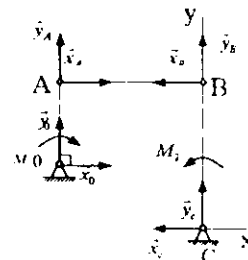
Qurilmani uchta qismga ajratib, har bir qism uchun uchtadan, to'qqizta muvozanat tenglamasini tuzish mumkin. Ammo masalani boshqacha yo'l bilan ham yechish mumkin. Masalan,  $BC$  qismiga qo'yilgan barcha kuchlar uchun  $C$  nuqtaga nisbatan moment tenglamasini tuzsak, undan  $x_B$  ni topish mumkin. Ta'sir va aks ta'sir qonuniga asosan  $\bar{x}_A = -\bar{x}_B$  ( $x_A = x_B$ ). Undan keyin  $OA$  krivoshipiqa qo'yilgan barcha kuchlar uchun  $O$  nuqtaga nisbatan moment tenglamasi tuziladi.

$BC$  qism uchun,

$$\sum_{i=1}^n mom_C(\vec{F}_i) = M_2 + BC \cdot x_A = 0, \quad BC = 400 mm = 0,4 m.$$

Bundan  $x_A = -500 N$ .

$OA$  krivoshipi uchun



87-shakl.

$$\sum_{i=1}^n mom_O (\vec{F}_i) = -M_1 - OA \cdot x_A = 0, \quad OA = \frac{1}{2} BC = 0,2m.$$

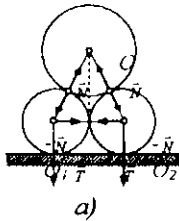
$x_A = x_B = -500N$  ga asosan:  $M_1 = -OA \cdot x_A = 100N \cdot m$ .

**3.4.2-masala (И.В.Менгерский 4.58).** Markazlari cho'zilmaydigan ip bilan bog'langan ikkita bir jinsli silindr gorizontal tekislikda turibdi, silindrlardan har birining radiusi  $r$ , og'irligi  $P$ . Ularning ustida radiusi  $R$ , og'irligi  $Q$  bo'lgan bir jinsli uchinchi silindr bor. Ishqalanishni hisobga olmay, ipning tortish kuchi, silindrarning tekislikka va bir-biriga tushiradigan bosimi aniqlansin (88-shakl).

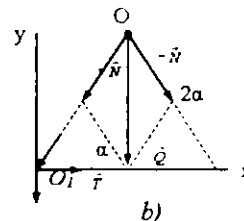
**Yechish.** Silindrarning yerga beradigan bosim kuchi silindrlar umumiy og'irligining yarmiga teng, ya'ni

$$R = P + \frac{Q}{2}.$$

$$88\text{-a shaklga asosan } \cos \alpha = \frac{r}{r+R}.$$



a)



b)

88-shakl.

$O_1$  nuqtaga qo'yilgan kuchlarni  $x$  o'qiga proyeksiyalab, quyidagi tenglamani tuzamiz:

$$\sum_{i=1}^3 F_{ix} = T - N \cos \alpha = 0,$$

bundan

$$T = N \cos \alpha = \frac{r}{r+R} N. \quad (a)$$

88- b shaklga asosan

$$\frac{Q}{2}/N = \sin \alpha; \quad \sin \alpha = \sqrt{1 - \cos^2 \alpha} = \frac{\sqrt{R^2 + 2rR}}{r+R}.$$

Demak,

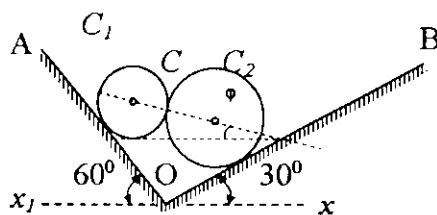
$$N = \frac{r+R}{2\sqrt{R^2 + 2rR}} Q.$$

Buni (a) tenglamaga qo'yiladi:

$$T = \frac{rQ}{2\sqrt{R^2 + 2rR}}.$$

**Javob.** Pastdag'i har qaysi silindrning tekislikka tushiradigan bosimi  $P + \frac{Q}{2}$  ga teng. Pastdag'i silindrлarning har biri bilan yuqoridagi silindr orasi dagi bosimi  $\frac{Q(R+r)}{2\sqrt{R^2 + 2rR}}$  ga teng. Ipnинг tortishish kuchi  $\frac{Qr}{2\sqrt{R^2 + 2rR}}$  ga teng.

**3.4.3-masala (И.В.Мепперский 4.56).** Ikkita silliq  $OA$  va  $OB$  qiya tekisliklar orasiga, markazi  $C_1$ , og'irligi  $P_1=10N$  va markazi  $C_2$ , og'irligi  $P_2=30N$  bo'lgan bir-biriga tegib turuvchi ikkita bir jinsli silliq silindr qo'yilgan. Agar  $\angle A O x_1 = 60^\circ$ ,  $\angle B O x = 30^\circ$  bo'lsa,  $C_1 C_2$  to'g'ri chiziqning gorizontal  $xOx_1$  o'q bilan hosil qilgan  $\varphi$  burchagi, silindrлarning tekisliklarga bosimi  $N_1$  va  $N_2$ , shunigdek, silindrлarning bir-biriga tushiradigan bosimining miqdori  $N$  aniqlansin (89-shakl!)



89-shakl.

*Berilgan:*  $P_1 = 10N$ ,  $P_2 = 30N$ ,  $\angle AOX_1 = 60^\circ$ ,  $\angle BOx = 30^\circ$ .

*Topish kerak:*  $\varphi$ ,  $N_1$ ,  $N_2$ ,  $N$ .

**Yechish.** Silindrлarning о‘рта qирқими  $C_1C_2$  то‘ғ’ри chiziqdagi  $C$  nuqtada bir-biriga tegib turuvchi, doiralardan iborat bo‘ladi.

Har qaysi silindrning muvozanati alohida-alohida tekshiriladi.

O‘ng tomondagи silindrдан chap tomondagи silindrغا tushadigan bosim  $N_1$   $C_1C_2$  то‘ғ’ри chiziq bo‘ylab  $C_2$  dan  $C_1$  ga qarab yo‘naladi ( $89 - \alpha$  shakl), chap tomondagи silindrдан o‘ng tomondagи silindrغا tushadigan bosim esa  $C_1$  dan  $C_2$  ga qarab yo‘nalgan bo‘ladi. Ta’sir va aks ta’sir qonuniga asosan  $N_1 = N_2 = N$ .

Masalani ikki usul bilan yechish mumkin.

**Birinchi usul.** Birinchi silindrغا ta’sir etuvchi uchta kuch bitta  $C_1$  nuqtada kesishadi ( $90 - \alpha$  shakl). Masala kuch uchburchagidan foydalanib yechiladi ( $90 - \beta$  shakl).

Kuch uchburchagidan

$$\frac{N_1}{\sin 60^\circ} = \frac{P_1}{\sin(60^\circ + \varphi)} = \frac{R_D}{\sin(90^\circ - \varphi)}.$$

Bundan

$$N_1 = \frac{P_1 \sin 60^\circ}{\sin(30^\circ + \varphi)} = \frac{\sqrt{3} P_1}{2 \sin(30^\circ + \varphi)}. \quad (a)$$

Ikkinci va uchinchi nisbatlar tengligidan

$$R_D = \frac{P_1 \sin(90^\circ - \varphi)}{\sin(30^\circ + \varphi)}. \quad (b)$$

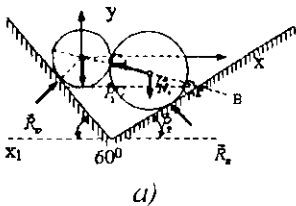
O‘ng tomondagи silindr uchun ham qurilgan kuch uchburchagidan ( $90 - \delta$  shakl)

$$\frac{N_2}{\sin 30^\circ} = \frac{P_2}{\sin(60^\circ - \varphi)} = \frac{R_D}{\sin(90^\circ + \varphi)} \quad (c)$$

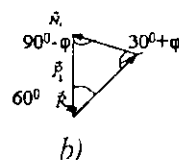
va

$$N_2 = \frac{P_2 \sin 30^\circ}{\sin(60^\circ - \varphi)} = \frac{P_2}{2 \sin(60^\circ - \varphi)}, \quad (d)$$

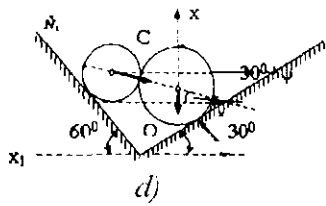
$$R_B = \frac{P_2 \sin(90^\circ + \varphi)}{\sin(60^\circ - \varphi)} + \frac{P_2 \cos \varphi}{\sin(60^\circ - \varphi)} \quad (f)$$



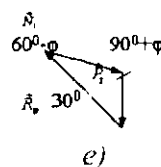
a)



b)



d)



e)

90-shakl.

kelib chiqadi.  $N_1 = N_2$  bo'lgani uchun (a) va (d) tengliklardan

$$\frac{\sqrt{2}P_1}{2 \sin(30^\circ + \varphi)} = \frac{P_2}{2 \sin(60^\circ - \varphi)},$$

bundan

$$10\sqrt{3} \sin(60^\circ - \varphi) = 30 \sin(30^\circ + \varphi),$$

yoki

$$\sin(60^\circ - \varphi) = \sqrt{3} \sin(30^\circ + \varphi),$$

yoki

$$\sin 60^\circ \cos \varphi - \cos 60^\circ \sin \varphi = \sqrt{3} (\sin 30^\circ \cos \varphi + \cos 30^\circ \sin \varphi).$$

Bu tenglamaning ikkala tomonini  $\cos \varphi$  ga bo'lib, quyidagini hosl qilamiz:

$$\frac{\sqrt{3}}{2} - \frac{1}{2} \operatorname{tg} \varphi = \frac{\sqrt{3}}{2} + \frac{3}{2} \operatorname{tg} \varphi,$$

bundan

$$\operatorname{tg} \varphi = 0 \text{ yoki } \varphi = 0.$$

(a) tenglamadan:

$$N_1 = \frac{10\sqrt{3}}{2 \sin 30^\circ} = 10\sqrt{3} = 17,3 N.$$

(b) tenglamadan:

$$R_D = \frac{P_1 \sin 90^\circ}{\sin 30^\circ} = 10N \cdot 2 = 20N.$$

(f) tenglamadan:

$$R_B = \frac{P_2 \cos \varphi}{\sin 60^\circ} = \frac{30N}{\sqrt{3}/2} = \frac{60\sqrt{3}}{3} = 20\sqrt{3}N = 34,6N.$$

**Ikkinci usul.** Chapdagι silindar uchun  $C_1$  nuqtani koordinatalar markazi deb ɔlib, koordinatalar sistemasi 73- a shaklda-  
gidek qilib tanlanadi va muvozanat tenglamalari tuziladi:

$$\begin{aligned} \sum_{i=1}^3 F_{ix} &= -N \cos \varphi + R_D \cos 30^\circ = 0, \\ \sum_{i=1}^3 F_{iy} &= N \sin \varphi + R_D \sin 30^\circ - P_1 = 0. \end{aligned} \quad (a)$$

O'ng tomondagi silindr uchun ham koordinatalar sistemasini  
90- c shakldagidek tanlab, muvozanat tenglamalari tuziladi:

$$\begin{aligned} \sum_{i=1}^3 F_{ix} &= -R_B \cos 60^\circ + N \cos \varphi = 0, \\ \sum_{i=1}^3 F_{iy} &= R_B \cos 30^\circ - N \sin \varphi - P_2 = 0. \end{aligned} \quad (b)$$

(a) va (b) tenglamalar birgalikda yechiladi:

$$\begin{aligned} \frac{\sqrt{3}}{2} R_D - N \cos \varphi &= 0, & \frac{1}{2} R_D + N \sin \varphi - P_1 &= 0, \\ -\frac{1}{2} R_B + N \cos \varphi &= 0, & \frac{\sqrt{3}}{2} R_B - N \sin \varphi - P_2 &= 0. \end{aligned} \quad (c)$$

(c) tenglamalarni birinchisining uchinchisi bilan, ikkinchi  
tenglamani to'rtinchi tenglama bilan qo'shiladi, natijada

$$\begin{cases} \sqrt{3}R_D - R_B = 0, \\ \frac{1}{2}R_D + \frac{\sqrt{3}}{2}R_B - P_1 - P_2 = 0. \end{cases}$$

Bundan:

$$R_B = \sqrt{3}R_D, \quad \frac{1}{2}R_D + \frac{\sqrt{3} \cdot \sqrt{3}R_D}{2} = P_1 + P_2$$

yoki

$$4R_D = 80\text{N} \Rightarrow R_D = 20\text{N}, \quad R_B = \sqrt{3} \cdot 20\text{N} = 34,6\text{N}.$$

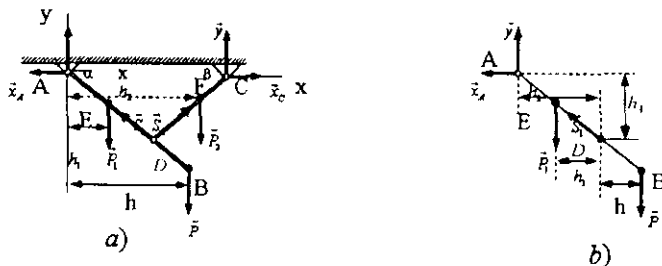
(c) tenglamalarning birinchi va ikkinchisidan

$$\operatorname{tg}\varphi = -\frac{R_D \sin 30^\circ - P_1}{R_D \cos 30^\circ} = -\frac{20 \frac{1}{2} - 10}{20\sqrt{3}/2} = 0,$$

bundan esa  $\varphi = 0$  kelib chiqadi. (c) tenglamalarning birinchisidan quyidagi topiladi:

$$N = \frac{\sqrt{3}}{2}R_D = 10\sqrt{3}\text{N} = 17,3\text{N}.$$

**3.4.4-masala (И.В.Мешчерский 4.43).** O'zaro  $D$  sharnir bilan biriktirilgan ikkita  $AB$  va  $CD$  balkalari  $A$  va  $C$  sharnirlar vositasida shi pgaosilgan.  $AB$  balkaning og'irligi  $60\text{N}$  bo'lib,  $E$  nuqtaga qo'yilgan.  $CD$  balkaning  $F$  nuqtasiga og'irligi  $50\text{N}$ ,  $AB$  balkaning  $B$  nuqtasiga vertikal  $P=200\text{N}$  kuch qo'yilgan. Quyidagi o'chamlar berilgan:  $AB = 1\text{m}$ ,  $CD = 0,8\text{m}$ ,  $AE = 0,4\text{m}$ ,  $CE = 0,4\text{m}$ ;  $AB$  va  $CD$  balkalar gorizontga mos ravishda  $\alpha = 60^\circ$  va  $\beta = 45^\circ$  burchak bilan og'gan  $A$  va  $C$  sharnirlarning reaksiyalari aniqlansin (91-shakl).



91-shakl.

*Berilgan:*  $P_1 = 60N$ ,  $P_2 = 50N$ ,  $P = 200N$ ,  $AB = 1m$ ,  
 $CD = 0,8m$ ,  $AE = 0,4m$ ,  $CE = 0,4m$ ,  $\alpha = 60^\circ$ ,  $\beta = 45^\circ$ .

*Topish kerak:*  $x_A$ ,  $x_C$ ,  $y_A$ ,  $y_C$ .

**Yechish.** Koordinatalar sistemasi shaklda ko'rsatilganday qilib tanlanadi va  $x$  o'qiga nisbatan muvozanat tenglamasi tuziladi:

$$\sum_{i=1}^7 F_{ix} = -x_A + x_C = 0 \Rightarrow x_A = x_C. \quad (a)$$

Butun sistemaning muvozanati tekshiriladi.  $A$  nuqtaga nisbatan butun sistemaga ta'sir etuvchi kuchlarning moment tenglamasi tuziladi:

$$\sum_{i=1}^7 mom_A (\vec{F}_i) = -h_1 P_1 - h P - h_2 P_2 + ACy_A = 0. \quad (b)$$

91- a shaklga asosan

$$h_1 = AC \cos 60^\circ = 0,4m \cdot \frac{1}{2} = 0,2m,$$

$$h = AB \cos 60^\circ = 1m \cdot \frac{1}{2} = 0,5m,$$

$$\frac{AC}{\sin(180 - (\alpha + \beta))} = \frac{CD}{\sin 60^\circ} \Rightarrow AC = \frac{\sin 75^\circ}{\sin 60^\circ} \cdot CD = 0,9m,$$

$$\frac{AD}{\sin 45^\circ} = \frac{CD}{\sin 60^\circ} \Rightarrow AD = \frac{\sin 45^\circ}{\sin 60^\circ} \cdot CD = 0,66m.$$

$$h_2 = AC - CF \cos 45^\circ = 0,9m - 0,28m = 0,62m.$$

(b) tenglamadan:

$$AC \cdot y_A = h_1 P_1 + h_1 P + h_2 P_2 = 0,2m \cdot 60N + 0,5m \cdot 200N + 0,66m \cdot 50N$$

yoki

$$0,9m \cdot y_A - 142N \Rightarrow y_A = 158N.$$

Endi bitta  $AB$  balkaning muvozanati tekshiriladi.  $AB$  balkaga qo‘yilgan kuchlarni  $D$  nuqtaga nisbatan moment tenglamasi tuziladi (91- b shakl)

$$\sum_{i=1}^5 mom_D (\dot{F}_i) = -hP + h_1 P_1 + h_3 x_A - h_2 y_A = 0 \quad (c)$$

91- b shaklga asosan

$$BD = AB - AD = 1m - 0,66m = 0,34m,$$

$$h = BD \cos 60^\circ = 0,17m;$$

$$DE = AD - AE = 0,66m - 0,4m = 0,26m,$$

$$h_1 = DE \cos 60^\circ = 0,13m; h_3 = AD \sin 60^\circ = 0,66 \cdot \frac{\sqrt{3}}{2} m = 0,57m,$$

$$h_2 = AD \cos 60^\circ = 0,33m.$$

Bularni (c) tenglamaga qo‘yib,  $x_A$  ni topiladi:

$$0,75m \cdot x_A = 0,17m \cdot 200N - 0,13m \cdot 60N + 0,33m \cdot 150N$$

yoki

$$x_A = 133N.$$

(a) tenglamaga asosan

$$x_C = -x_A = -133N.$$

Endi  $CD$  balkaning muvozanatini tekshiramiz.  $CD$  balkaga ta’sir etuvchi kuchlarning  $D$  nuqtaga nisbatan moment tenglamasini tuzamiz

$$\begin{aligned} \sum_{i=1}^n mom_D (\dot{F}_i) &= -DF \cos 45^\circ \cdot P_2 + \\ &+ CD \cos 45^\circ y_C - \cos 45^\circ \cdot x_C = 0 \end{aligned}$$

yoki  $-0,4m \frac{\sqrt{2}}{2} 50N + 0,8m \frac{\sqrt{2}}{2} y_C - 0,8 \frac{\sqrt{2}}{2} x_C = 0.$

bundan  $2y_C = 50N + 266N \Rightarrow y_C = 158N.$

## IV BOB. ISHQALANISH VA FERMALAR HISOBI

*Ushbu bobda sirpanishdagi ishqalanish qonuntari, yumalashda hosil bo'ladigan ishqalanish kuchi, ferma sterjentlaridagi zo'riqishlarni tugunlarni qirqish usuli bilan topish kabi masalalar bayon etilgan.*

### 4.1. Sirpanishdagi ishqalanish qonunlari

Bog'lanish, bog'lanish reaksiyasi, sirpanib ishqalanish kuchi, ishqalanish burchagi, ishqalanish koefitsienti, yumalab ishqalanish kuchi, yumalab ishqalanish koefitsienti.

Bir jismning ikkinchi bir jism sirtidagi nisbiy muvozanati tufayli hosil bo'ladigan ishqalanish kuchiga *tinch holatdagi ishqalanish kuchi* deyiladi. Bir jismning ikkinchi bir jism sirtida nisbiy harakatlanishi natijasida hosil bo'ladigan ishqalanishga *harakatdagi ishqalanish (dinamik ishqalanish) kuchi* deyiladi.

Sirt ustida turgan jismga teng ta'sir etuvchisi  $\vec{R}^{(a)}$  bo'lgan  $(\dot{F}_1, \dot{F}_2, \dots, \dot{F}_n)$  kuchlar sistemasi ta'sir etayotgan bo'lsin (92-shakl). Sirtning to'la reaksiyasi  $\vec{R}$ , sirpanib ishqalanish kuchi  $\vec{F}$  va sirtning  $\vec{N}$  normal reaksiyalarini teng ta'sir etuvchisidan iborat, ya'ni

$$\begin{aligned}\vec{R} &= \vec{N} + \vec{F}, \\ \vec{R}^{(a)} &= \sum_{i=1}^n \dot{F}_i.\end{aligned}\tag{4.1.1}$$

Agar  $\vec{R}^{(a)}$  kuchning miqdori  $\vec{R}$  kuchning miqdoridan kichik bo'lsa, jism tinch holatda turaveradi.  $\vec{R}^{(a)}$  kuchining miqdorini oshira borilsa, ma'lum miqdorga yetganda jism harakatlanish chegarasida bo'ladi. Ishqalanish kuchining bu holatdagi qiymati uning eng katta qiymati (maksimal qiymati) bo'ladi. 92-shaklga asosan:  $\vec{R}^{(a)}$  kuchining sirt urinmasi bo'ylab yo'nalgan tuzuvchisini  $\vec{Q}$  bilan,  $\vec{R}$  to'la reaksiya kuchini urinma bo'ylab yo'nalgan tuzuvchisi  $\vec{F}$  bilan belgilanadi. Ana shu  $\vec{F}$  tuzuvchiga *sirpanib ishqalanish kuchi* deyiladi.

Tinch holatdagi sirpanib ishqalanish qonunlari. **Kulon qonunlari:**

1. Ishqalanish kuchi jismlarning urinish nuqtasidagi umumiy urinma tekisligida yotadi va tashqi kuchlar ta'siridan hosil bo'ladigan haqiqiy siljishga qarama-qarshi yo'nalgan. Tinch holatdagi ishqalanish kuchi jismga ta'sir etuvchi aktiv kuchlarga bog'liq va uning moduli nol bilan ishqalanish kuchining eng katta qiymati orasida bo'ladi, ya'ni

$$0 \leq F \leq F_{\max}. \quad (4.1.2)$$

2. Ishqalanish kuchi sirtlarning urinish yuzasiga bog'liq emas. Masalan, gorizontal sirt ustida turgan g'isht u qaysi tomoni bilan sirtga urinishiga qaramasdan, uni siljitisht uchun bir xil kuch kerak bo'ladi.

3. Sirpanib ishqalanish kuchining eng katta qiymati normal bosimga proporsional, ya'ni

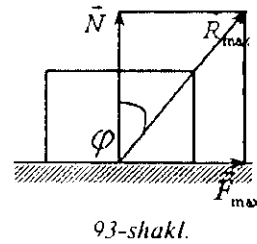
$$F_{\max} = f_{st} N, \quad (4.1.3)$$

bunda  $F$  — o'chovsiz parametr bo'lib, unga ishqalanish koefitsienti,  $f_{st}$  — statik ishqalanish koefitsienti deyiladi.

4. Sirpanib ishqalanish koefitsienti urinuvchi sirtlarning materialiga, fizik xususiyatiga, ya'ni sirtlarning dag'alligiga, namligiga, haroratiga va hokazolarga bog'liq. Ishqalanish koefitsienti tajribalar yo'li bilan aniqlanadi.

Sirpanib ishqalanish kuchi o'zining  $\dot{F} = \dot{F}_{\max}$  qiymatiga erishganda, to'la reaksiya kuchi ham o'zining  $\dot{R}_{\max}$  qiymatiga erishadi.

$\dot{R}_{\max}$  reaksiya kuchi bilan normal orasidagi burchakka ishqalanish burchagi deyiladi (93-shakl). Shaklga asosan



$$\dot{F}_{\max} = N \operatorname{tg} \varphi. \quad (4.1.4)$$

Buni (4.1.3) tenglik bilan solishtirib, quyidagini hosil qilamiz:

$$\operatorname{tg} \varphi = \frac{\dot{F}_{\max}}{N} = f_{st}. \quad (4.1.5)$$

Demak, ishqalanish burchagi ishqalanish koeffitsientiga bog'liq bo'lar ekan.

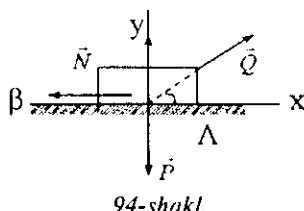
#### **4.2. Ishqalanish kuchi tufayli yuzaga keladigan jismlar muvozanatini tekshirishga doir masalalarni yechish uchun uslubiy tavsiyalar**

Ishqalanish kuchi tufayli yuzaga keladigan jismlar muvozanatini tekshirishga doir masalalarni yechish uchun quyidagi uslubiy tavsiyalarni berish mumkin:

1. Jismga ta'sir etuvchi barcha aktiv va reaksiya kuchlari (normal va sirpanib ishqalanish reaksiyalari)ni jismga qo'yib olish kerak.
2. Koordinatalar sistemasining boshini imkonli boricha ko'proq kuchlarni ta'sir chiziqlari kesishgan nuqtada olish va o'qlardan bittasini sirtlarning umumiy urinma tekisligida yotuvchi (agar fazoviy jismning muvozanati qaralayotgan bo'lsa, koordinata tekisliklaridan bittasi sifatida urinma tekislikni olish) qilib olish, ikkinchi o'qni sirtning bosh normali bo'ylab yo'naltirish lozim.
3. Qaralayotgan jismning unga qo'yilgan aktiv kuchlar, bog'lanishlar reaksiyalari ta'siridagi jism deb qarab, tanlangan koordinatalar sistemasiga nisbatan muvozanat tenglamalarini tuzish kerak.
4. Hosil qilingan tenglamalarni birgalikda yechish kerak.

Quyida yuqorida bayon etilgan uslubiy tavsiyalar asosida mavzuga doir masalalarni yechib ko'rsatiladi:

**4.2.1-masala (И.В. Менгерский 5.7).** Og'irligi  $P$  ga teng yashik ishqalanish koeffitsienti  $f$  bo'lgan g'adir-budur tekislikda turadi. Yashikni eng kichik  $Q$  kuch bilan qo'zg'atish uchun kuchni gorizontga nisbatan qanday  $\beta$  burchak ostida qo'yish kerak? Shu eng kichik kuchning miqdori topilsin.



94-shakl.

**Yechish.** Koordinatalar sistemasini boshini  $A$  nuqtada olib,  $Axy$  koordinatalar sistemasini ko'rsatilganday qilib tanlaymiz.  $(\bar{Q}, \bar{P}, \bar{N}, \bar{T})$  kuchlar ta'siridagi yashikning muvozanati tekshiriladi. Bir

nuqtada kesishuvchi kuchlar sistemasining muvozanat tenglamalari tuziladi.

$$\sum_{i=1}^n F_{ix} = Q \cos \beta - T = 0; \quad (a)$$

$$\sum_{i=1}^n F_{iy} = N + Q \sin \beta - P = 0, \quad (b)$$

bunda  $T = fN$  sirpanib ishqalanish kuchi. (b) dan  $N = P - Q \sin \beta$ , buni (a) tenglamaga qo'yiladi:

$$Q \cos \beta - fN = Q \cos \beta - fP + fQ \sin \beta.$$

Bundan

$$Q = \frac{fP}{\cos \beta + f \sin \beta}. \quad (d)$$

(c) tenglikka asosan, agar  $Q$  kuchning ifodasiagi kasrning maxraji eng katta bo'lganda  $Q$  kuchi eng kichik qiymatga erishadi. Quyidagicha belgilash kiritiladi:

$$q = \cos \beta + f \sin \beta. \quad (e)$$

$q$  dan  $\beta$  bo'yicha hosila olib, nolga tenglashtiriladi:

$$q' = -\sin \beta + f \cos \beta = 0.$$

Bundan  $\operatorname{tg} \beta = f$ ;  $\beta = \arctg f$ .

Oxirgi tenglikdan ko'rinish turibdiki,  $\beta$  ishqalanish burchagiga teng bo'lar ekan.

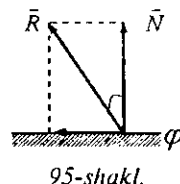
$q$  dan  $\beta$  bo'yicha olingan ikkinchi tartibli hosilaning ishorasiga qarab, uni ekstremumga tekshiriladi:

$$q'' = -\cos \beta - f \sin \beta = -(\cos \beta + f \sin \beta). \quad (f)$$

$\cos \beta$  va  $\sin \beta$  larni forqali ifodalab olamiz:

$$\cos \beta = \frac{1}{\sqrt{1 + \operatorname{tg}^2 \beta}} = \frac{1}{\sqrt{1 + f^2}};$$

$$\sin \beta = \frac{\operatorname{tg} \beta}{\sqrt{1 + \operatorname{tg}^2 \beta}} = \frac{f}{\sqrt{1 + f^2}}.$$



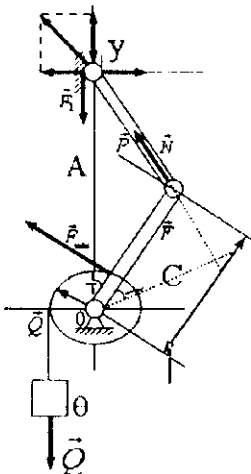
95-shakl.

Bularni ( $f$ ) ga qo'yiladi:

$$q'' = - \left( \frac{1}{\sqrt{1+f^2}} + \frac{f^2}{\sqrt{1+f^2}} \right) = -\sqrt{1+f^2}. \quad (g)$$

$\sqrt{1+f^2}$  musbat bo'lgani uchun  $q''$  manfiy son, demak  $\beta$  ning topilgan qiymatida (d) tenglikning o'ng tomonidagi ifodaning maxraji eng katta bo'ladi, demak  $Q$  kuch o'zining eng kichik qiymatiga erishadi. Shunday qilib,

$$Q_{\min} = \frac{fP}{\cos \beta + f \sin \beta} = \frac{fP}{q} = \frac{fP}{-q''}.$$



96-shakl.

**4.2.2-masala (И.В. Мещерский 5.15).** Krivoshipli mexanizmda yo'naltiruvchi va  $A$  polzun orasidagi, shuningdek, hamma sharnirlar va podshipniklardagi ishqalanishni hisobga olmay,  $Q$  yukni mexanizmning shaklda tasvirlangan holatida ushlab turishi uchun zarur bo'ladi  $P$  kuch aniqlansin. Agar  $A$  polzun bilan yo'naltiruvchi orasidagi ishqalanish koefitsienti  $f$  ga teng bo'lsa,  $Q$  yukning qo'zg'almay qolishini ta'minlaydigan  $P$  kuchning minimal va maksimal qiymatlari qanday?

**Yechish.**  $\vec{Q}$  kuch baraban gardishidagi nuqtalarga qo'yilgan bo'lib, uning urinmasi bo'ylab yo'nalgan va miqdori baraban gardishidagi hamma nuqtalar uchun bir xil. Shuning uchun uning modulini o'zgartirmasdan barabanning  $B$  nuqtasiga qo'yamiz.  $\vec{Q}$  kuchni krivoshipining  $C$  nuqtasiga qo'yilgan va  $CA$  shatun bo'ylab yo'nalgan  $\vec{F}$  kuch bilan shunday almashtiramizki, ularni  $O$  nuqtaga nisbatan momentlari teng bo'lsin, ya'ni  $\alpha Q = hF$ .

96-shaklga asosan

$$\psi = 90 - (\varphi + \theta);$$

$$h = r \cos [90^\circ - (\varphi + \theta)] = r \sin (\varphi + \theta).$$

Shunday qilib,

$$aQ = rF \sin (\varphi + \theta),$$

bundan

$$F = \frac{aQ}{r \sin (\varphi + \theta)}. \quad (a)$$

$\vec{F}$  kuchi o'z ta'sir chizig'i bo'ylab  $A$  nuqtaga ko'chiriladi va uni koordinata o'qlari bo'ylab yo'nalgan tuzuvchilarga ajratiladi. Natijada bir nuqtaga qo'yilgan ( $\vec{P}, \vec{N}, \vec{F}_{ish}, \vec{F}_1, \vec{F}_2$ ) kuchlar sistemasiiga ega bo'lamiz. Bir nuqtada kesishuvchi kuchlar sistemasi uchun muvozanat tenglamalari tuziladi:

$$\begin{aligned} \sum_{i=1}^5 F_{ix} &= -F_{2x} + N = O; \\ \sum_{i=1}^5 F_{iy} &= F_{1y} + (F_{uu})_y + P_y = 0. \end{aligned} \quad (b)$$

Kulon qonuniga asosan

$$F_{uu} = fN,$$

bunda  $N = F_2 = F \sin \varphi$ , natijada

$$F_{uu} = fF \sin \varphi.$$

(a) ga asosan

$$F_{2x} = -F_2 = -F \sin \varphi, \quad F_{1y} = F \cos \varphi,$$

$$F_{uu} = f \frac{aQ \sin \varphi}{r \sin (\varphi + \theta)}. \quad (d)$$

Natijada (b) tenglamalar quyidagi ko'rinishga keladi:

$$\begin{cases} -\frac{aQ \sin \varphi}{r \sin (\varphi + \theta)} + N = O; \\ \frac{aQ \cos \varphi}{r \sin (\varphi + \theta)} - f \frac{aQ \sin \varphi}{r \sin (\varphi + \theta)} - P = O \end{cases} \quad (g)$$

(e) tenglamalarning birinchisidan

$$N = \frac{aQ \sin \varphi}{r \sin(\varphi + \theta)};$$

ikkinchisidan

$$P = \frac{Qa}{r} \cdot \frac{\cos \varphi - f \sin \varphi}{\sin(\varphi + \theta)}. \quad (f)$$

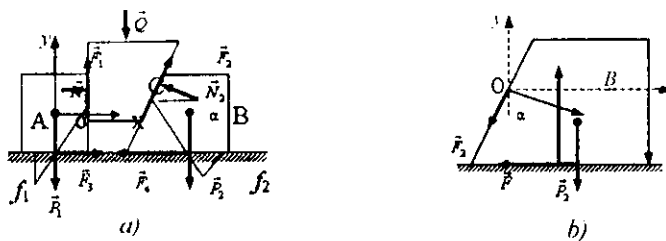
Ishqalanishlarni hisobga olmaganda, ya'ni  $f=0$  bo'lganda  $P$  kuchining miqdori quyidagiga teng:

$$P = \frac{Qa \cos \varphi}{r \sin(\varphi + \theta)}.$$

(f) formulaga asosan

$$P_{\min} = \frac{Qa}{r} \frac{\cos \varphi - f \sin \varphi}{\sin(\varphi + \theta)}, \quad P_{\max} = \frac{Qa}{r} \frac{\cos \varphi + f \sin \varphi}{\sin(\varphi + \theta)}.$$

**4.2.3-masala (И.В.Менгерский 5.12).** G'adir-budur gorizonttal tekislik ustida turgan ikkita  $A$  va  $B$  jismlar orasiga  $C$  ponasi kiritib qo'yilgan. Ponaning bir tomoni vertikal bilan  $\alpha = \operatorname{arctg} \frac{1}{3}$  burchak hosil qiladi.



97-shakti.

$A$  va  $B$  jism og'irliklari mos ravishda 400N va 300N, sirtlar orasidagi ishqalanish koeffitsientlari shaklda ko'rsatilgan. Jismlardan birini siljitudigan  $Q$  kuchning qiymati, shuningdek qo'zg'almay qolgan jismga gorizontal tekislik tomonidan ta'sir etadigan  $F$  ishqalanish kuchining qiymati topilsin (97-shakti).

*Berilgan:*  $\alpha = \operatorname{arctg} \frac{1}{3}$ ,  $P_1 = 400N$ ,  $P_2 = 300N$ ,  $f_1 = 0, 2$ ,  
 $f_1 = 0, 25$ .

*Topish kerak:*  $Q$ ,  $F$ .

**Yechish.** C jismning muvozanati tekshiriladi. Ta'sir etuvchi kuchlar  $\vec{N}_1, \vec{F}_1, \vec{N}_2, \vec{F}_2, \vec{Q}$ . Koordinatalar sistemasini 97- a shakldagidek qilib tanlanadi va muvozanat tenglamalari tuziladi:

$$\sum_{i=1}^5 F_{ix} = N_1 - N_2 \cos \alpha + F_2 \cos(90 - \alpha) = 0;$$

$$\sum_{i=1}^5 F_{iy} = F_1 + F_2 \cos \alpha - Q + N_2 \sin \alpha = 0,$$

bunda  $F_1 = f_1 N_1$ ,  $F_2 = f_2 N_2$ .

Buni yuqoridagi tenglamalarga qo'yamiz:

$$N_1 - N_2 \cos \alpha + f_2 N_2 \sin \alpha = 0;$$

$$f_1 N_1 + f_2 N_2 \cos \alpha + N_2 \sin \alpha - Q = 0,$$

yoki

$$N_1 = N_2 \cos \alpha - f_2 N_2 \sin \alpha; \Rightarrow$$

$$N_1 = \frac{1}{f_1} (Q - f_2 N_2 \cos \alpha - N_2 \sin \alpha),$$

$$N_2 \cos \alpha - f_2 N_2 \sin \alpha = \frac{1}{f_1} (Q - f_2 N_2 \cos \alpha - N_2 \sin \alpha).$$

Bundan

$$Q = f_1 N_2 \cos \alpha - f_1 f_2 N_2 \sin \alpha + f_2 N_2 \cos \alpha + N_2 \sin \alpha. \quad (\text{a})$$

kelib chiqadi.

Endi B jismning muvozanati tekshiriladi: B jismga ta'sir etuvchi kuchlar (97- b shakl):  $\vec{N}_2, \vec{F}_2, \vec{P}_2, \vec{F}, \vec{N}$ . Tanlangan koordinatalar sistemasiga nisbatan B jismning muvozanat tenglamalari tuziladi:

$$\sum_{i=1}^5 F_{ix} = N_2 \cos \alpha - F_2 \sin \alpha - F = 0;$$

$$\sum_{i=1}^5 F_{iy} = N - P_2 - N_2 \sin \alpha - F_2 \cos \alpha = 0,$$

$$\text{bunda} \quad F = f_2 N. \quad (\text{b})$$

Buni yuqoridagi tenglamalarga qo'yamiz

$$\begin{aligned} N_A \cos \alpha - F_2 \sin \alpha - f_2 N &= 0; \\ N &= P_2 + N_2 \sin \alpha + f_2 N_2 \cos \alpha, \end{aligned} \quad (\text{d})$$

$$\text{yoki } N_2 \cos \alpha - 2f_2 N_2 \sin \alpha - f_2 P_2 - f_2^2 N_2 \cos \alpha = 0$$

$$\text{bundan } N_2 = \frac{f_2 P_2}{\cos \alpha - 2f_2 \sin \alpha - f_2^2 \cos \alpha}.$$

$$\cos \alpha = \frac{1}{\sqrt{1+\tan^2 \alpha}} = \frac{3}{\sqrt{10}}; \quad \sin \alpha = \frac{\tan \alpha}{\sqrt{1+\tan^2 \alpha}} = \frac{1}{\sqrt{10}}.$$

Demak,

$$N_2 = \frac{\frac{0,25 \cdot 300 N}{3} - \frac{1}{\sqrt{10}} - \frac{0,63 \cdot 3}{0,25}}{\frac{1}{\sqrt{10}} - \frac{1}{\sqrt{10}}} = \frac{75 \cdot \sqrt{10} N}{2,32} = 102 N.$$

Buni (a) formulaga qo'yib  $Q$  topiladi:

$$Q = N_2 (f_1 \cos \alpha - f_1 f_2 \sin \alpha + f_2 \cos \alpha + \sin \alpha) = 70 N.$$

Endi  $F$  topiladi. (d) formulaga asosan

$$\begin{aligned} N &= P_2 + N_2 (\sin \alpha + f_2 \cos \alpha) = 300 N + 102 N \left( \frac{1}{\sqrt{10}} + \frac{0,25}{\sqrt{10}} \right) = \\ &= 300 N + 56 N = 356 N. \end{aligned}$$

Buni (b) formulaga qo'yib  $F = f_2 N = 0,25 \cdot 356 = 89 N$  topiladi.

### 4.3. Yumalashda hosil bo'ladigan ishqalanish kuchi

Yumalash, ishqalanish, jism, kuch, gorizontal, silindr, moment, reaksiya, normal, qayishlik, qiymat.

Tajribalar shuni ko'rsatadiki, og'ir silindr shaklidagi jism unga qo'yilgani aktiv kuchlar ta'siridan boshqa bir jismi sirtida yumalaganda jism larning deformatsiyasi tufayli ularning urinish nuqtasida nafaqat sirpanishga, balki yumalashga ham qarshilik ko'rsatadigan reaksiya kuchi hosil bo'ladi.

Silindrik jism gorizontal tekislikda aktiv kuchlar ta'sirida bo'lsin. Jism bilan tekislik bitta yasovchisi bo'ylab emas balki, deformatsiya tufayli ma'lum bir yuzasi bilan urinadi. Agar ta'sir etuvchi aktiv kuchlar silindrning o'rta kesimiga nisbatan simmetrik bo'lsa, ya'ni uning butun yasovchisi bo'ylab bir xil deformatsiya hosil qilsa, silindrning bitta o'rta kesimini o'rganish yetarli. Sirt ustida yumalovchi jismga ta'sir etuvchi aktiv kuchlar quyidagi kuchlarga bo'linadi:  $\vec{P}$  og'irlik kuchi, silindr bilan sirtning urinish nuqtasidagi umumiy urinmaga parallel  $\vec{Q}$  tashqi kuch va silindrni aylantirishga intiltiradigan momentli juftlarga bo'linadi (98-shakl).

Agar  $\dot{M}^{(a)} = 0, \dot{Q} \neq 0$  bo'lsa, jism yumalamasdan sirpanadi,  $\dot{M} \neq 0, \dot{Q} = 0$  bo'lsa, jism sirpanmay yumalaydi.

Agar  $\vec{Q}$  kuch o'ng tomoniga yo'nalgan bo'lsa, jism bilan sirtning urinish nuqtasi  $A$  ning chap tomonida bosim kamayadi, o'ng tomonida oshadi. Natijada

$\vec{N}$  normal reaksiya o'ng tomonidagi biror  $B$  nuqtaga ko'chadi va  $BD$  chiziq bo'ylab silindrغا taqsimlangan reaksiya kuchi ta'sir etadi (99-shakl).

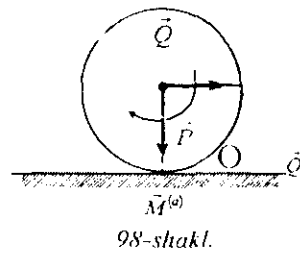
Agar bu taqsimlangan kuchni  $A$  nuqtaga keltirsak, bitta umumiy  $\vec{R}$  reaksiya kuchiga va  $\dot{M}$  momentli juftga ega bo'lamiz  $\vec{R}$  kuch ikkita:  $\vec{N}$  normal bosim va  $\vec{F}$  ishqalanish kuchlariga ajraladi.

G'ildirakka ta'sir etuvchi aktiv kuchlarni  $A$  nuqtaga keltirilsa, bitta  $\vec{R}^{(a)}$  bosh vektorga va  $\dot{M}^{(a)}$  momentli bitta juftga ega bo'lamiz.

Agar g'ildirak muvozanatda bo'lsa, unga ta'sir etuvchi aktiv kuchlar bog'lanish reaksiyasi bilan muvozanatda bo'ladi, ya'ni

$$-\vec{R} = \vec{R}^{(a)} = \sum_{i=1}^n \vec{F}_i^{(a)}, \quad -\dot{M} = \dot{M}^{(a)} = \sum_{i=1}^n M_A(\vec{F}_i^{(a)}). \quad (4.3.1)$$

G'ildirakka qo'yilgan aktiv kuchlar oshira borilsa, natijada  $\dot{M}$  qarshilik momenti ham osha boradi, g'ildirak yumalash



98-shakl.

chegarasiga borganda qarshilik momenti o'zining eng katta qiymatiga erishadi.

G'ildirakning yumalashiga qarshilik ko'rsatuvchi  $M$  momentning eng katta qiymatiga doir quyidagi taqribiy **qonunlar o'rini**:

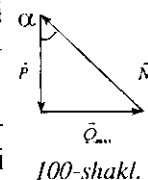
1. G'ildirakni yumalashiga qarshilik ko'rsatuvchi juft kuch momentining eng katta qiymati yetarlicha katta chegaralar uchun g'ildirak radiusiga bog'liq emas.

2. Qarshilik momentining eng katta  $M_{\max}$  qiymati normal bosimga proporsional

$$M_{\max} = \delta N, \quad (4.3.2)$$

bunda  $\delta$  — yumalab ishqalanish koeffitsienti yoki ikkinchi tur ishqalanish koeffitsienti, u uzunlikni ifodalab, taqribiy qiymati  $AD$  kesmaning uzunligiga teng (100-shakl).

3. Yumalab ishqalanish koeffitsienti  $\delta$  urinuvchi  $\alpha$  jismlarning materialiga va ular sirtining fizik xossalariiga bog'liq.



$\tilde{Q}$  kuchining eng katta qiymatini kuch uchbur-chagini qurib ham topish mumkin. Kuch uchburchagi bilan (100-shakl)  $OAD$  uchburchak (99-shakl) o'xshash.

$OA = R$ ,  $AD = \delta$  deb olib, uchburchaklar o'xshashliligidan

$$\frac{Q_{\max}}{\delta} = \frac{P}{R}.$$

Bundan

$$Q_{\max} = \frac{\delta}{R} P.$$

Jism tekislikda muvozanatda bo'lsa, yumalashda hosil bo'ladigan ishqalanish kuchi  $T$  quyidagi formuladan topiladi:

$$T \leq \frac{\delta}{R} N. \quad (4.3.3)$$

(4.1.3) va (4.3.3) formulalar taqqoslansa, jism tinch turgan vaqtidagi yumalab ishqalanish kuchi tinch turgan vaqtidagi sirpanib ishqalanish kuchidan ancha kichik bo'lishini ko'ramiz, chunki

$\delta/R$  nisbat  $f$  dan, ya'ni sirpanib ishqalanish koefitsientidan ancha kichik.

#### 4.4. Yumalashda hosil bo'ladigan ishqalanish kuchini topishga doir masalalar

**4.4.1-masala (O.Ə.Kene 2.6.7).** Og'irligi 4 kg bo'lgan (2) g'ildirak cho'zilmaydigan ip yordamida 1 yuk bilan bog'langan.  $R=0,5$  m, yumalab ishqalanish koefitsienti  $\delta = 0,005$  m, juft kuchning momenti  $M = 50 N\cdot m$ . G'ildirak va yuk uchun sirpanib ishqalanish koefitsienti  $f = 0,2$  bo'lsa, 1 yukning sirpanishi uchun uning eng katta og'irligi qanchaga teng bo'lishi kerak?

Berilgan:  $Q = 4 kN$ ,  $R = 0,5 m$ ,  $\delta = 0,005 m$ ,  $M = 50 N\cdot m$ ,  $f = 0,2$ .

*Topish kerak: R.*

**Yechish.** (4.3.1) muvozanat tenglamalari tuziladi, ya'ni ishqalanish qonuniga asosan

$$M - 2RF_{ish} - M_{kar} = 0 \quad (a)$$

Sirpalanib ishqalanish qonuniga asosan

$$F_{ish} = fP,$$

yumalab ishqalanish qonuniga asosan  $M_{kar} = \delta Q$ . bo'jadi. Bular-

ni (a) tenglamaga qo'yamiz  $M - 2RfP - \delta Q$ .

Bundan

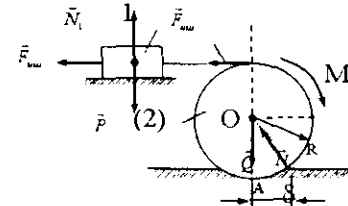
$$P = \frac{M - \delta Q}{2Rf} = \frac{50 N\cdot m - 0,005 m \cdot 4000 N}{2 \cdot 0,5 m \cdot 0,2} = 150 N.$$

**4.4.2-masala. (O.Ə.Kene).** Og'irligi 5kN bo'lgan bir jinsli 1 g'ildirakka momenti  $M = 210 N\cdot m$  bo'lgan juft kuch ta'sir etadi.

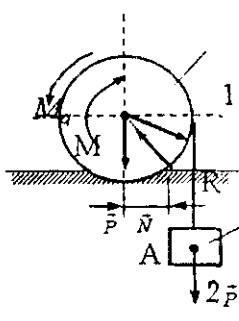
Yumalab ishqalanish koefitsienti  $\delta = 0,003 m$ ,  $R = 0,453 m$  bo'lsa, 1 g'ildirakni chapga yumalashi uchun 2 yukning eng katta og'irligi qancha bo'lishini toping.

*Berilgan:  $Q = 5 kN$ ,  $M = 210 N\cdot m$ ,  $\delta = 0,003 m$ ,  $R = 0,453 m$ .*

*Topish kerak: R.*



101-shakl.



102-shakl.

**Yechish.** G'ildirakning yumalash chegarasida  $M_k$  qarshilik momenti o'zining eng katta qiymatiga erishadi.  $M_k$  qarshilik momentining eng katta qiymati uchun muvozanat tenglamasini, ya'ni  $A$  nuqtaga nisbatan momentlar tenglamasi tuziladi:

$$M - M_k - RP = 0.$$

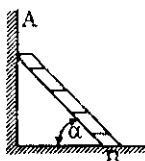
Yumalab ishqalanish qonuniga asosan  $M_k = \delta Q$ .

Natijada  $M - \delta Q - RP = 0$ . Bundan

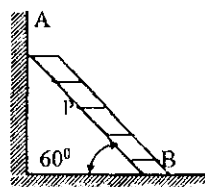
$$P = \frac{M - \delta Q}{R} = \frac{210 \text{ Nm} - 0,003 \text{ m} \cdot 5000 \text{ N}}{0,453 \text{ m}} \approx 430 \text{ N}.$$

### Muammoli masala va topshiqlar

1.  $AB$  narvon notekis devor va g'adir-budur polga tayanib, pol bilan  $60^\circ$  burchak tashkil etadi. Narvonga  $R$  yuk qo'yilgan. Narvon og'irligini hisobga olmay, u muvozanat holatida qoladigan eng katta  $BR$  masofa grafik usul bilan topilsin. Devor va pol uchun ishqalanish burchagi  $15^\circ$  ga teng.



1-masala.

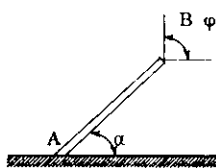


2-masala.

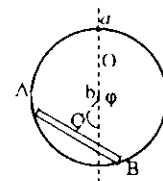
2. Bir jinsli brus  $A$  nuqtada g'adir-budur gorizontal polga tayangan.  $B$  nuqtada u arqon vositasida ushlab turiladi. Brus va pol orasidagi ishqalanish koeffitsienti  $f$  ga teng. Brus o'qining pol bilan hosil qilgan burchagi  $\alpha = 450$ . Arqon gorizont bilan qanday  $\phi$  burchak hosil qilganda brus sirg'anana oladi?

3. Bir jinsni sterjen  $A$  va  $B$  uchlari bilan  $a$  radiusli notekis aylana bo'ylab sirg'anishi mumkin. Sterjenden vertikal tekislikda

joylashgan aylananing  $O$  markazigacha bo'lgan  $OC$  masofa  $b$  ga teng. Sterjen bilan aylana orasidagi ishqalanish koeffitsienti  $f$  ga teng. Sterjenning muvozanat holatlarida  $OC$  to'g'ri chiziq bilan aylananing vertikal diametri orasidagi  $\phi$  burchak topilsin.



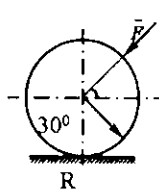
3-masala.



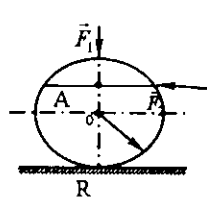
4-masala.

4. Og'irligi  $700N$  bo'lgan bir jinsli g'ildirakka  $\vec{F}$  kuch qo'yilgan. G'ildirakning radiusi  $R = 1m$ , sirg'anib va yumalab ishqalanish koeffitsientlari:  $f = 0,2$ ;  $\delta = 0,008 m$  bo'lsa, g'ildirak yumalashi uchun kerak bo'lgan  $\vec{F}$  kuchning eng kichik qiymati aniqlansin.

5. Og'irligi  $2kN$  bo'lgan bir jinsli g'ildirakka  $\vec{F}_2 = 10N$  gorizontal kuch va  $\vec{F}_1$  vertikal kuchlar ta'sir etadi. Yumalab ishqalanish koeffitsienti  $\delta = 0,005m$ ,  $R = 0,8m$  bo'lsa, g'ildirak sirpanib yumalashi uchun kerak bo'lgan  $\vec{F}$  kuchining eng katta qiymati topilsin.

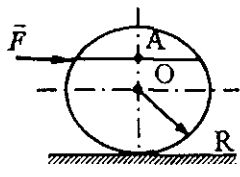


5-masala.

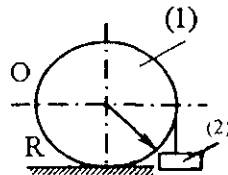


6-masala.

6. Og'irligi  $2kN$  bo'lgan bir jinsli g'ildirakka  $\vec{F}$  gorizontal kuch qo'yilgan. Sirpanib va yumalab ishqalanish koeffitsientlari:  $\delta = 0,006m$ ,  $f = 0,2$ ,  $R = 0,6m$ ,  $OA = 4m$  g'ildirakning sirpanmasligi va yumatamasligi uchun kerak bo'lgan  $\vec{F}$  kuchining eng katta qiymati aniqlansin.



6-masala.



7-masala.

7. (1) g'ildirakka cho'zilmaydigan ip yordamida (2) yuk osilgan. (1) g'ildirakning og'irligi  $3,2kN$ , yumalab ishqalanish koefitsienti  $\delta = 0,004m$ ,  $R = 32,4sm$  bo'lsa, (1) g'ildirak muvozanatda qolishi uchun (2) yukning eng katta og'irligi topilsin.

### Mustaqil ishlash uchun savol va topshiriqlar

1. Sirpanib ishqalanish kuchi bog'lanish reaksiyasining qanday tuzuvchisini tashkil qiladi?
2. Sirpanib ishqalanish qonunlarini yozib tahlil qiling.
3. Sirpanib ishqalanish koefitsientini xarakterlab bering.
4. Qanday holda yumalab ishqalanish kuchi hosil bo'ladi?
5. Qanday holda sof sirpanib ishqalanish hosil bo'ladi?
6. Yumalab ishqalanish qonunlarini yozib tahlil qiling.

### 4.5. Fermalar hisobi. Ferma sterjenlaridagi zo'riqishlarni tugunlarni qirqish usuli bilan topish

Ferma, sterjen, sharnir (tugun), ta'sir-aks ta'sir, ichki va tashqi kuchlar

Sharnirlar yordamida geometrik o'zgarmas qilib tutashtirilgan sterjenlardan hosil bo'lgan qurilmaga **ferma** deyiladi. Sterjenlar uchlarini tutashtiruvchi sharnirlarga **tugunlar** deyiladi. Tugunlari soni  $n$  bilan sterjenlari soni  $m$  quyidagi

$$m = 2n - 3$$

englamanini qanoatlantiradigan fermaga statik aniq ferma deyiladi.

Agar

$$m > 2n - 3$$

shart bajarilsa, bunday ferma statik aniqmas deyiladi.

Agar  $m < 2n - 3$   
shart bajarilsa, qurilmaning geometrik o'zgarmasligi bajarilmaydi.

Kelgusida fermaga qo'yilgan aktiv kuchlar fermaning tugunlariga qo'yilgan va bu kuchlar ferma bilan bir tekislikda yotadi deb qaraymiz. Sharnirlardagi ishqalanishlar hisobga olinmaydi. Bu shartlar bajarilganda sterjenlar yo siqladi yoki cho'ziladi. Shuning uchun ulardagi zo'riqishlar sterjenlar bo'ylab yo'nalgan bo'ladi.

Aktiv kuchlar va tayanch reaksiyalarini ferma uchun tashqi kuchlar, sterjenlardagi zo'riqishlar ichki kuchlar hisoblanadi. Sterjenlardagi zo'riqishlarni hisoblashda fermani qismlarga ajratib, alohida qismlarning muvozanati qaraladi va bu qism uchun zo'riqishlar tashqi kuch hisoblanadi.

#### **4.6. Fermalar hisobiga doir masalalarning tugunlarni qirqish usuli bilan yechishga doir uslubiy tavsiyalar**

1. Fermaning muvozanati tekshirilayotgan qismini ajratib olish kerak.
2. Aktiv kuchlar tasvirlab olinishi lozim.
3. Bog'lanish aksiomasidan foydalanib, qurilmaga bog'lanish reaksiyalarini qo'yib olish kerak.
4. Qaralayotgan qism berilgan aktiv kuchlar va bog'lanishlar reaksiyalarini ta'siridagi qattiq jism deb hisoblanadi.
5. Butun fermaning muvozanat shartlaridan foydalanib, bog'lanish reaksiyalarini topiladi.
6. Ikkita sterjen tutashgan tugun qirqib olinadi va bu tugunning berilgan aktiv kuchlar hamda qirqilgan sterjenlardagi reaksiyalar ta'siridagi muvozanati tekshiriladi. Har bir tugunda ikkitadan noma'lum zo'riqish bo'ladi, ular uchun ikkita proyeysiya tenglamalari tuziladi.

Quyida ferma sterjenlaridagi zo'riqishlarni tugunlarni qirqish usuli bilan topishga doir masalalarni yechib ko'rsatamiz.

**4.6.1-masala (И.В.Менгерский 4.71).** Shaklda qo'yilgan kuchlari bilan birga ko'rsatilgan ko'priq fermasining tayanchlaridagi reaksiyalar va sterjenlaridagi zo'riqishlar aniqlansin (103- a shakl).  $P_1 = 3kN$ ,  $P_2 = 2kN$ ,  $P_3 = 2kN$ . Qolgan o'lchamlar shaklda berilgan.

**Yechish.** A va B tayanch reaksiyalarini topish uchun butun fermani aktiv kuchlar va bog'lanish reaksiyalari ta'siridagi muvozanat tekshiriladi, ya'ni muvozanat tenglamasi tuziladi:

$$\sum_{i=1}^6 F_{ix} = x_A + P_3 = 0$$

$$\sum_{i=1}^6 mom_B (\vec{F}_i) = -3m \cdot P_3 + 3m \cdot P_2 + 7m \cdot P_1 - 10m \cdot y_A = 0, \quad (a)$$

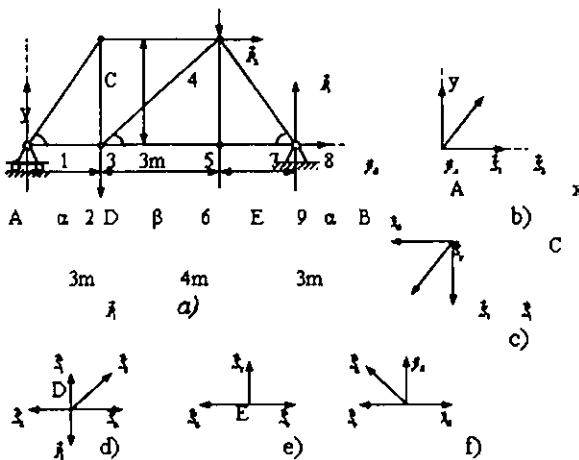
$$\sum_{i=1}^6 mom_A (\vec{F}_i) = -3m \cdot P_1 - 7m \cdot P_2 - 3m \cdot P_2 + 10m \cdot y_B = 0$$

(a) tenglamalarning birinchisidan

$$x_A = -P_3 = -2kN,$$

$$\text{Ikkinchisidan} \quad y_A = 2,1kN,$$

$$\text{Uchinchisidan} \quad y_B = 2,9kN.$$



103-shakl.

Endi ferma sterjenlaridagi zo'riqishlarni topishga o'tamiz.

*A* tugunni kesib, unga ta'sir etuvchi tashqi va ichki kuchlarni qo'yiladi (103- b shakl).  $x$  va  $y$  o'qlardagi proyeksiya tenglamalari tuziladi:

$$\begin{cases} S_2 + S_1 \cos \alpha = 0; \\ y_A + S_1 \sin \alpha = 0, \end{cases} (\alpha = 45^\circ) \Rightarrow \begin{cases} S_2 + \frac{\sqrt{2}}{2} S_1 = 0; \\ S_1 = -\sqrt{2} y_A = -2,97 kN, \end{cases}$$

birinchi tenglamadan

$$S_2 = -\frac{\sqrt{2}}{2} S_1 = 2,1 kN.$$

Endi *C* tugunni qirqib, unga ta'sir etuvchi tashqi va ichki kuchlar qo'yiladi (103- c shakl) va muvozanat tenglamalar tuziladi:

$$\begin{cases} -S_4 - S_1^l \cos \alpha = 0; \\ -S_3 - S_1^l \sin \alpha = 0. \end{cases}$$

Bu tenglamalardan

$$S_4 = -\frac{\sqrt{2}}{2} S_1 = -2,1 kN, \quad S_3 = -\frac{\sqrt{2}}{2} S_1 = 2,1 kN.$$

Endi *D* tugunni qirqib, unga ta'sir etuvchi tashqi va ichki kuchlarning muvozanat tenglamalari tuziladi (103- d shakl)

$$\begin{aligned} S_5 \cos \beta + S_6 - S_2 &= 0; \\ S_5 \sin \beta + S_3 - P_1 &= 0, \end{aligned} \quad \begin{aligned} \operatorname{tg} \beta &= \frac{3}{4}, & \cos \beta &= \frac{4}{5}, & \sin \beta &= \frac{3}{5}. \end{aligned}$$

Natijada

$$\frac{4}{5} S_5 + S_6 = 2,1;$$

$$\frac{3}{5} S_5 = P_1 - S_3, \quad S_5 = 1,5 kN, \quad S_6 = 0,9 kN.$$

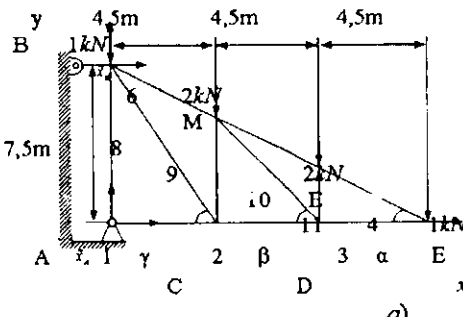
*E* tugunning muvozanati tekshiriladi (103- c shakl)

$$S_9 - S_6 = 0; \quad S_9 = S_6 = 0,9kN;$$

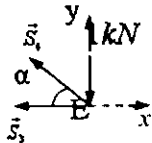
$$S_7 = 0, \quad S_7 = 0.$$

B tugunning qirqib, uni muvozanatini tekshiriladi (103-f shaki)

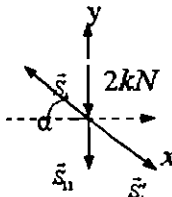
$$y_B + S_8 \cos \alpha = 0; \quad \frac{\sqrt{2}}{2} S_8 = -y_B; \quad S_8 = -4,1kN.$$



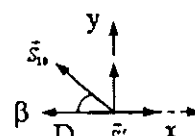
a)



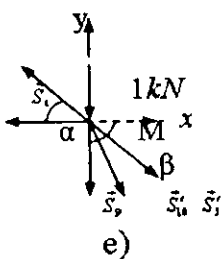
b)



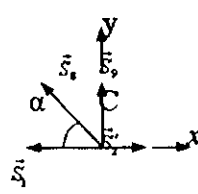
c)



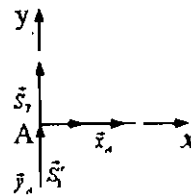
d)



e)



f)



m)

104-shakl.

**4.6.2-masala (И.В.Менгерский 4.73).** Shaklda ta'sir qiluvchi kuchlari bilan birga ko'rsatilgan osma fermaning tayanchlaridagi reaksiyalar va sterjenlardagi zo'riqishlar aniqlansin (104- a shakl).

Avval butun fermaning muvozanati tekshiriladi. Fermaga ta'sir etuvchi aktiv kuchlar va bog'lanishlar reaksiyalarini uchun muvozanat tenglamalari tuziladi (104-shakl):

$$\begin{aligned} \sum_{i=1}^6 F_{ix} &= x_A + x_B = 0, \\ \sum_{i=1}^6 F_{iy} &= y_A - 1kN - 2kN - 2kN - 1kN, \\ \sum_{i=1}^6 mom_A(F_i) &= -7,5m \cdot x_B - 4,5m \cdot 2kN - \\ &- 9m \cdot 2kN - 13,5m \cdot 1kN = 0 \end{aligned} \quad (a)$$

oxirigi tenglamalardan  $x_B = -5,4kN$ .

(a) tenglamalarning ikkinchisidan  $y_A = 6kN$ ,

birinchisidan:  $x_A = -x_B = 5,4kN$ .

Endi tugunlarni qirqish usuli bilan sterjenlardagi zo'riqishlar topiladi.

*E* tugunni qirqib, unga ta'sir etuvchi aktiv kuchlar va fermaning qolgan qismidan beriladigan zo'riqishlarni qo'yamiz va mazkur tugunning muvozanati tekshiriladi (104-b shakl):

$$\sum_{i=1}^3 F_{ix} = -S_3 - S_4 \cos \alpha = 0, \quad \sum_{i=1}^3 F_{iy} = S_4 \cos \alpha - 1kN = 0. \quad (b)$$

104- a shaklga asosan

$$\operatorname{tg} \alpha = \frac{7,5}{13,5} = \frac{5}{9}, \quad \cos \alpha = \frac{9}{\sqrt{106}}, \quad \sin \alpha = \frac{5}{\sqrt{106}}.$$

(b) tenglamalardan

$$S_4 = 2,06kN, \quad S_3 = -1,8kN.$$

Endi *M* tugun xuddi shunday qirqiladi va muvozanat tenglamalari tuziladi (104- c shakl):

$$\sum_{i=1}^4 F_{ix} = S'_3 \cos \alpha - S_5 \cos \alpha = 0;$$

$$\sum_{i=1}^4 F_{iy} = S_5 \sin \alpha - S'_4 \sin \alpha - S_{11} - 2kN = 0.$$

Bu tenglamalardan

$$S_5 = 2,06kN; \quad S_{11} = -2kN.$$

*D* tugunga faqat ichki kuchlar ta'sir qiladi. Tugunning ana shu kuchlar ta'siridagi muvozanati tekshiriladi (104- d shakl):

$$\sum_{i=1}^4 F_{ix} = S'_3 - S_2 - S_{10} \cos \beta = 0;$$

$$\sum_{i=1}^4 F_{iy} = S'_{11} + S_{10} \sin \beta = 0. \quad (c)$$

104- a shaklga asosan

$$\frac{CM}{AB} = \frac{CE}{AE}; \quad CM = \frac{7,5m}{13,5m} \cdot 9m = 5m.$$

$$\operatorname{tg} \beta = \frac{5}{4,5} = \frac{10}{9}; \quad \cos \beta = \frac{9}{\sqrt{181}}, \quad \sin \beta = \frac{10}{\sqrt{181}}.$$

Bu munosabatlardan foydalanib (c) tenglamalardan quyida-gilar topiladi:

$$\frac{10}{\sqrt{181}} S_{10} = -S_{11}; \quad S_{10} = \frac{\sqrt{181}}{10} \cdot 2 = 2,7kN,$$

$$S_2 = S'_3 = \frac{9}{\sqrt{181}} \cdot S_{10}; \quad S_2 = -1,8kN - 1,8kN = -3,6kN.$$

Endi *M* tugunning muvozanati tekshiriladi. Bu tugunga qo'yilgan aktiv kuchlar va sterjenlarda hosil bo'lган ichki kuchlar uchun muvozanat tenglamalari tuziladi (104- e shakl):

$$\sum_{i=1}^5 F_{ix} = S'_{10} \cos \beta + S'_5 \cos \alpha - S_6 \cos \alpha = 0;$$

$$\sum_{i=1}^5 F_{iy} = -S_9 - S'_{10} \sin \beta - S'_5 \sin \alpha = 0.$$

Bu tenglamalardan

$$\frac{9}{\sqrt{106}} S_6 = \frac{\sqrt{181}}{5} \frac{9}{\sqrt{181}} + \frac{\sqrt{106}}{5} \frac{9}{\sqrt{106}}; \quad S_6 = 4,1kN,$$

$$S_6 = -\frac{\sqrt{181}}{5} \frac{10}{\sqrt{181}} - \frac{\sqrt{106}}{5} \frac{5}{\sqrt{106}}; \quad S_9 = -3kN.$$

C tugunning muvozanati tekshiriladi. Bu tugunga faqat ichki kuchlar ta'sir qiladi (104- f shakl):

$$\begin{aligned} \sum_{i=1}^5 F_{ix} &= S_2' - S_1 - S_8 \cos \gamma = 0; \\ \sum_{i=1}^5 F_{iy} &= S_9 + S_8 \sin \gamma = 0. \end{aligned} \quad (d)$$

104- a shaklga asosan

$$\operatorname{tg} \gamma = \frac{7,5}{4,5} = \frac{5}{3}; \quad \cos \gamma = \frac{3}{\sqrt{34}}, \quad \sin \gamma = \frac{5}{\sqrt{34}}.$$

Bu munosabatlarni (d) tenglamalarga qo'yib, quyidagilar topiladi:

$$\begin{aligned} \frac{5}{\sqrt{34}} S_8 &= -S_9; & S_8 &= \frac{3 \cdot \sqrt{34}}{5} kN = 3,5kN; \\ S_1 &= S_2 - S_8 \cos \gamma; & S_1 &= -54kN. \end{aligned}$$

7-sterjendagi zo'riqishni topish uchun  $A$  tugunni qirqib, unga ta'sir etuvchi tashqi va ichki kuchlar uchun muvozanat tenglamalari tuziladi (104- m shakl). y o'qiga nisbatan proyeksiya tenglamasini tuzish yetarli:

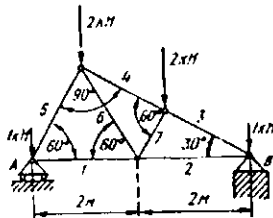
$$\sum_{i=1}^4 F_{iy} = y_A + S_7 = 0 \Rightarrow S_7 = -y_A = -6kN.$$

Shuni ta'kidlab o'tish lozimki, sterjenlarning uchlariga qo'yilgan ichki zo'riqishlar juft-justi bilan ta'sir va aks ta'sir qonuniga asosan modullari teng yo'naliishlari qarama-qarshi. Shuning uchun  $S_1 = S_1'$ ,  $S_2 = S_2'$ , ... deb olingan.

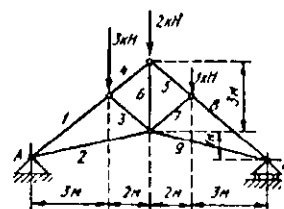
## Muammoli masala va topshiriqlar

1. Rasmida ta'sir qiluvchi kuchlar bilan birga ko'rsatilgan stropila fermanining tayanchlaridagi reaksiyalar va sterjenlardagi zo'riqishlar aniqlansin.

**Javob:**  $R_A = 3,4kN$ ;  $R_B = 2,6kN$ .



1-masala.



2-masala

Sretjennning nomeri	1	2	3	4	5	6	7	8	9
Zo'riqishlar, kN	-7,3	+5,8	-2,44	-4,7	-4,7	+3,9	-0,81	-5,5	+4,4

2. Rasmida ta'sir qiluvchi kuchlar bilan birga ko'rsatilgan suyri fermaning tayanchlaridagi reaksiyalar va sterjenlardagi zo'riqishlar aniqlansin.

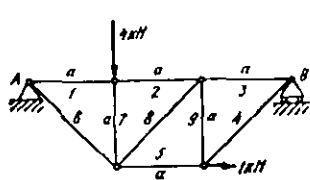
**Javob:**  $R_A = 3,25kN$ ;  $R_B = 2,75kN$ .

Sretjennning nomeri	1	2	3	4	5	6	7
Zo'riqishlar, kN	+1,3	+3,03	-3,5	-2,5	-2,6	+1,73	-1,73

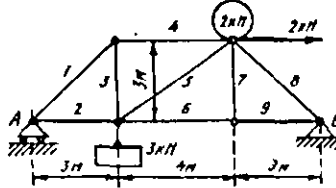
3. Rasmida yuklari bilan birga ko'rsatilgan fermaning tayanchlaridagi reaksiyalar va sterjenlardagi zo'riqishlar aniqlansin.

**Javob:**  $X_A = -1kN$ ,  $Y_A = 3kN$ ,  $Y_B = 1kN$ .

Sretjennning nomeri	1	2	3	4	5	6	7	8	9
Zo'riqishlar, kN	-2	-2	-1	+1,41	+2	+4,24	-4	+1,41	-1



3-masala.



4-masala.

**4.** Rasmda yuklari bilan birga ko'rsatilgan ko'pri fermasining tayanchlaridagi reaksiyalar va sterjenlardagi zo'riqishlar aniqlansin.

Javob:  $Y_A = 2,1kN$ ,  $X_B = -2kN$ ,  $Y_B = 2,9kN$ .

Sretjennning nomeri	1	2	3	4	5	6	7	8	9
Zo'riqishlar, kN	-2,97	+2,1	+2,1	-2,1	+1,5	+0,9	0	-4,1	+0,9

### Mustaqil ishlash uchun savol va topshiriqlar

1. Qanday qurilmaga ferma deyiladi?
2. Qachon ferma statik aniq bo'ladit?
3. Tugunlarning qirqish usulini tahlil qiling.
4. Fermaning alohida qismlariga ta'sir etuvchi kuchlarni aytинг.
5. Ferma uchun qanday kuchlar tashqi kuchlar hisoblanadi?

### V BOB. FAZODA KUCHLAR SISTEMASI

Ushbu bobda fazoda ta'sir chiziqlari bir nuqtada kesishuvchi va ixtiyoriy ravishda joylashgan kuchlar sistemasining muvozanat shartlari, juftlar sistemasini qo'shish, fazoda ixtiyoriy ravishda joylashgan kuchlar sistemasini berilgan markazga va ularni bitta bosh vektorga hamda bosh momentga keltirish, bosh vektor va bosh momentning hisoblash formulalari, kuchlar sistemasini keltirishning xususiy hollari, fazoda parallel kuchlar sistemasining muvozanat shartlari kabi masalalar bayon etiladi.

## 5.1. Fazoda ta'sir chiziqlari bir nuqtada kesishuvchi kuchlar sistemasining muvozanat shartlari

*Kuch, kuchlar sistemasi, kesishuvchi kuchlar sistemasi, teng ta'sir etuvchi, dinamo.*

Tekislikda kesishuvchi kuchlar sistemasining muvozanat shartlari I-bobning 3-§ da keltirilgan.

**Teorema.** Bir nuqtada kesishuvchi kuchlar sistemasi muvozanatda bo'lishi uchun berilgan kuchlar sistemasining teng ta'sir etuvchisi nolga teng, yani

$$\dot{R} = \sum_{i=1}^n \dot{F}_i = 0 \quad (5.1.1)$$

bo'lishi zarur va yetarli.

To'g'ri burchakli *Oxyz* dekart koordinatalar sistemasini tanlab, (5.1.1) tenglamani koordinata o'qlariga proyeksalaymiz, natijada uchta skalar tenglamalar sistemasi hosil bo'ladi, ya'ni

$$R_x = \sum_{i=1}^n F_{ix} = 0; \quad R_y = \sum_{i=1}^n F_{iy} = 0; \quad R_z = \sum_{i=1}^n F_{iz} = 0. \quad (5.1.2)$$

Teng ta'sir etuvchining dekart koordinatalari o'qlaridagi proyeksiyalari berilgan kuchlarning mos o'qlardagi proyeksiyalari yig'indisiga teng, ya'ni

$$R_x = \sum_{i=1}^n F_{ix}, \quad R_y = \sum_{i=1}^n F_{iy}, \quad R_z = \sum_{i=1}^n F_{iz}. \quad (5.1.3)$$

Teng ta'sir etuvchining moduli va yo'naltiruvchi kosinuslari quyidagi formula bilan topiladi:

$$|\dot{R}| = \sqrt{R_x^2 + R_y^2 + R_z^2};$$

$$\cos(x, \hat{\dot{R}}) = \frac{R_x}{|\dot{R}|}, \quad \cos(y, \hat{\dot{R}}) = \frac{R_y}{|\dot{R}|}, \quad \cos(z, \hat{\dot{R}}) = \frac{R_z}{|\dot{R}|}. \quad (5.1.4)$$

Muvozanatdagi qattiq jism erkin bo'lmasa, bog'lanishlar aksiomasidan foydalanib, bog'lanishlarning jismga ko'rsatadigan

ta'sirini ularning reaksiya kuchi bilan almashtiriladi. Natijada bunday jismni berilgan kuchlar va bog'lanish reaksiya kuchlari ta'siridagi erkin jism deb qarash mumkin.

(5.1.2) tenglamalardan foydalanib kuchlar sistemasining muvozanat shartlarini quyidagicha ifodalash ham mumkin: bir nuqtada kesishuvchi kuchlar sistemasi muvozanatda bo'lishi uchun berilgan kuchlarning mos koordinata o'qlaridagi proyeksiyalari yig'indisi alohida-alohida nolga teng bo'lishi zarur va yetarli.

## 5.2. Fazoda kesishuvchi kuchlar sistemasining muvozanatiga doir masalalarni yechish uslubi

Fazoda kesishuvchi kuchlar sistemasining muvozanatiga doir masalalarni quyidagi tartibda yechish uslubi tavsiya etiladi.

1. Koordinatalar sistemasini qulay qilib tanlash lozim. Ko'p hollarda koordinatalar sistemasining boshi sifatida kuchlar ta'sir chiziqlari kesishgan nuqta tanladi, koordinata o'qlaridan birortasini iloji boricha ko'proq noma'lum reaksiya kuchlariga perpendikular qilib olish maqsadga muvofiq.

2. Qattiq jismga ta'sir etuvchi barcha aktiv kuchlarni va bog'lanish reaksialarni shaklda tasvirlab olish kerak.

3. Bog'lanish reaksiyalarni shaklda tasvirlashda bog'lanish turiga e'tibor berish lozim. Agar bog'lanish silindrik bo'lsa, bog'lanish reaksiyasini koordinata o'qlari bo'ylab yo'nalgan ikkta tuzuvchilarga ajratish kerak, agar bog'lanish sharnirlni bog'lanish bo'lsa, reaksiya kuchni koordinata o'qlari bo'ylab yo'nalgan uchta tuzuvchiga ajratish kerak.

4. Tanlangan koordinatalar sistemasiga nisbatan (5.1.2.) tenglamalar sistemasini tuzish kerak.

5. Hosil qilingan tenglamalar sistemasini birgalikda yechib, izlanayotgan noma'lumlar topiladi.

Quyida fazoda kesishuvchi kuchlar sistemasining muvozanatiga doir masalalarni yechib ko'rsatamiz.

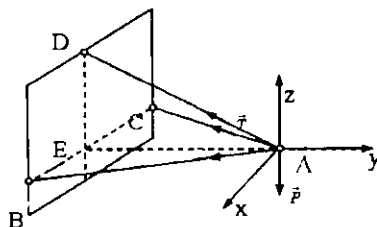
**5.2.1-masala (И.В.Мешерский 6.4).** Agar  $CBA = BCA = 60^\circ$ ,  $EAD = 30^\circ$  ekanligi berilgan bo'lsa,  $AB$  va  $AC$  sterjenlardagi  $S_1$  va  $S_2$  zo'riqishlar hamda  $AD$  sim arqondagi  $T$  zo'riqish topilsin.

*P*yukning og'irligi 300N ga teng. *ADC* tekislik gorizontal, sterjenlar *A*, *B* va *C* nuqtalarda sharnirlar bilan biriktirilgan (105-shakl).

*Berilgan:*  $CBA = BCA = 60^\circ$ ,  $EAD = 30^\circ$ ,  $P = 300N$ .

*Topish kerak:*  $S_1$ ,  $S_2$ ,  $T$ .

**Yechish.** Koordinatalar sistemasi shaklda korsatilganday tanlanadi. Tanlangan koordinatalar sistemasiga nisbatan (5.1.2) muvozanat tenglamalari tuziladi:



105-shakl.

$$\sum_{i=1}^3 F_{ix} = S_1 \cos 60^\circ - S_2 \cos 60^\circ = 0,$$

$$\sum_{i=1}^3 F_{iy} = -S_1 \cos 30^\circ - S_2 \cos 30^\circ - T \cos 30^\circ = 0, \quad (a)$$

$$\sum_{i=1}^3 F_{iz} = T \cos 60^\circ - P = 0.$$

(a) tenglamalardan

$$\begin{cases} S_1 = S_2, \\ 2S_1 = -T, \Rightarrow T = 2 \cdot 300 N = 600 N, \\ T = 2P, \end{cases}$$

$$S_1 = S_2 = -300 N.$$

**5.2.2-masala (И.В.Мемчарский 6.13)** *AB* machtani simmetrik ravishda joylashgan to'rtta tortqich vertikal holatda ushlab turadi. Har qaysi ikkita yondosh tortqichlar orasidagi burchak  $60^\circ$  ga teng. Agar har qaysi tortqichdagi taranglik kuchi  $1kN$  ga va machtaning og'irligi  $2kN$  ga teng bo'lsa, machtadan yerga tushadigan bosimining qancha bo'lishi aniqlansin (106-shakl).

Berilgan:  $\angle CBF = \angle CBD = \angle DBE = \angle EBF = 60^\circ$ ,  $T = 1kN$ ,

$P = 2kN$ .

Topish kerak:  $P_1$

**Yechish.** Koordinatalar sistemi shaklda ko'rsatilganday qilib tanlanadi. Tanlangan sanoq sistemasiga nisbatan (5.1.2) muvozanat tenglamalari tuziladi.  $CDEF$  to'rtburchak kvadrat va yon tomondagи uchburchaklar teng tomonli uchburchaklar bo'lganligi uchun  $\alpha$  burchak  $45^\circ$  ga teng. Taranglik kuchlarining miqdorlari teng bo'lgani uchun bu kuchlarni  $x$  va  $y$  o'qlaridagi proyeksiyalari yig'indisi nolga teng bo'ladı, ya'ni:

$$\sum_{i=1}^6 F_{ix} = 0; \quad \sum_{i=1}^6 F_{iy} = 0; \quad \sum_{i=1}^6 F_{iz} = P_1 - P - 4T \cos \alpha = 0.$$

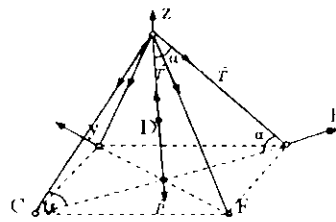
Bundan:

$$P_1 = P + 4T \cos 45^\circ = 2kN + 4 \cdot 1kN \frac{\sqrt{2}}{2} = 4,83kN.$$

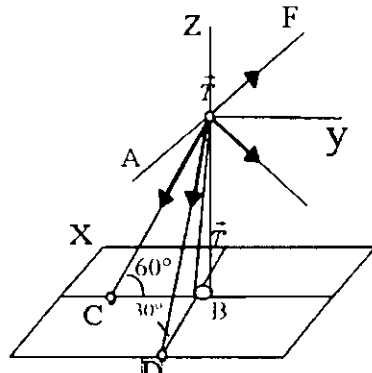
Javob:  $P_1 = 4,83kN$ .

**5.2.3-masala. (И.В. Мещерский. 6.12).** Muyulishda havo kabelini tutib turuvchi  $AB$  simyog'och ikkita  $AC$  va  $AD$  tortqichlar bilan ushlab turiladi, bundagi  $\angle CBD = 90^\circ$ . Simyog'ochdagi va tortqichlardagi zo'riqishlar, kabelning bir simi bilan  $CBA$  tekislik orasida hosil bo'lgan  $\phi$  burchakka bog'liq ravishda aniqlansin. Kabelning simlari gorizontal va bir-biriga tik, ularning tortilish kuchlari bir xil bo'lib,  $T$ ga teng.

Berilgan:  $\angle ACB = \angle ADB = 60^\circ$ ,  $\angle EAF = 90^\circ$ ,  $\phi$ .



106-shakl.



107-shakl.

*Topish kerak:*  $S_{AC}$ ,  $S_{AD}$ , va  $S_{AB}$ .

**Yechish.** Koordinatalar sistemasining boshi sifatida kuchlarning ta'sir chiziqlarini kesishish nuqtasi  $A$  ni olamiz va koordinata o'qlarini shaklda ko'rsatilgandek tanlanadi. Muvozanat tenglamalari tuziladi:

$$\sum_{i=1}^5 F_{ix} = S_{AC} \cos 60^\circ + T \cos \varphi - T \sin \varphi = 0;$$

$$\sum_{i=1}^5 F_{iy} = -S_{AC} \cos 60^\circ + T \sin \varphi + T \cos \varphi = 0;$$

$$\sum_{i=1}^5 F_{iz} = -S_{AD} \cos 30^\circ - S_{AC} \cos 30^\circ - S_{AB} = 0.$$

Bularidan

$$S_{AD} = 2T(\sin \varphi - \cos \varphi), \quad S_{AC} = 2T(\sin \varphi + \cos \varphi),$$

$$S_{AB} = -\frac{\sqrt{3}}{2} (S_{AD} + S_{AC}) = -\frac{\sqrt{3}}{2} 2T(\sin \varphi - \cos \varphi + \sin \varphi + \cos \varphi) = \\ = -2\sqrt{3}T \sin \varphi.$$

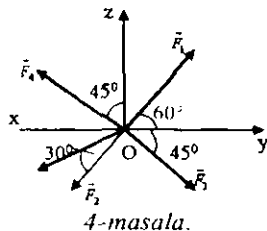
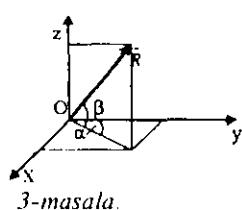
### Muammoli masala va topshiriqlar

1.  $\vec{F}$  kuch vektori bilan  $Ox$  o'qi orasidagi burchak kosinusini topilsin  $\vec{F} = 3\vec{i} + 4\vec{j} + 5\vec{k}$ .

2.  $\vec{F} = 3\vec{i} + 4\vec{j} + \sqrt{11}\vec{k}$  kuch vektoring moduli va yo'naltiruvchi kosinuslari topilsin.

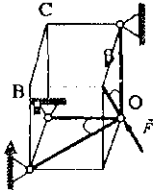
3. Fazoda kesishuvchi kuchlar sistemasi teng ta'sir etuvchisining moduli  $R = 150 N$ .  $\alpha = 30^\circ$ ,  $\beta = 60^\circ$  bo'lsa, teng ta'sir etuvchingin  $Oy$  o'qidagi proyeksiyasini topilsin.

4. Shaklda tasvirlangan kuchlar sistemasining teng ta'sir etuvchisi topilsin.  $\vec{F}_2$  va  $\vec{F}_3$  kuchlar ( $xy$ ) tekislikda,  $\vec{F}$  kuch ( $yz$ ) tekisligida,  $\vec{F}_4$  kuch ( $xz$ ) tekisligida yotadi,  $F_1 = 2 N$ ,  $F_2 = F_3 = 4 N$ ,  $F_4 = 6 N$ .

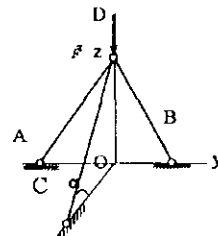


5.  $AO$ ,  $BO$  va  $CO$  sterjenlar  $O$  nuqtada sharnirli mahkamlangan va  $O$  nuqtaga  $F=18N$  kuch qo'yilgan. Agar  $\alpha=300$ ,  $\beta=450$  bo'lsa,  $AO$  sterjendagi zo'riqishni toping.

6.  $AD$ ,  $BD$  va  $CD$  sterjenlar  $D$  nuqtada sharnir vositasida biriktirilgan. Agar  $F=8N$  kuch  $Oyz$  tekisligida yotsa va burchak  $\alpha=20^\circ$  bo'lsa,  $CD$  sterjendagi zo'riqishni aniqlang.

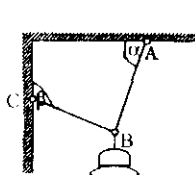


5-masala.

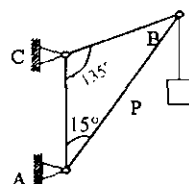


6-masala.

7. Og'irligi  $20N$  bo'lgan elektr lampa  $AB$  shnur yordamida ipga osilgan va keyin  $BC$  arqon bilan devorga tortib qo'yilgan. Burchak  $\alpha=60^\circ$  va burchak  $\beta = 1350$  deb olib,  $AB$  shnurning  $T_A$ ,  $BC$  arqonning  $T_C$  taranglik kuchlari aniqlansin. Shnur va arqonning og'irliklari hisobga olinmasin.



7-masala.



8-masala.

8. Machta krani  $AB$  strela va  $CB$  zanjirdan iborat;  $AB$  strela machtaga  $A$  sharnir vositasida biriktirilgan. Strelaning  $B$  uchiga  $R = 2kN$  yuk osilgan; burchaklar:  $BAC = 15^\circ$ ,  $ACB = 135^\circ$   $CB$  zanjirdagi  $T$ taranglik kuchi va  $AB$  streladagi  $Q$  zo'riqish aniqlansin.

### Mustaqil ishlash uchun savol va topshiriqlar

1. Fazoda bir nuqtada kesishuvchi kuchlar sistemasining moduli va yo'naltiruvchi kosinuslari qanday topiladi?
2. Fazoda bir nuqtada kesishuvchi kuchlar sistemasining muvozanat shartlari qanday tenglamalar bilan ifodalanadi?
3. Fazoda juft kuchlar sistemasiga ekvivalent bo'lgan natijaviy juft haqidagi teoremani ishotlang.
4. Natijaviy juftning momenti qanday topiladi?

### 5.3. Fazoda juftlar sistemasini qo'shish

Juft kuch, juftlar sistemasi, moment, bosh moment, kuch, kuchlar sistemasi, teng ta'sir etuvchi, bosh moment, dinamo.

**Teorema.** Qattiq jismga ta'sir etuvchi juftlar sistemasi bitta juftga ekvivalent bo'lib, uning momenti berilgan juftlar momentlarining vektorli yig'indisiga teng.

1. Avval bir tekislikda ta'sir etuvchi juftlar sistemasi qaraladi. Faraz qilaylik, bir tekislikda yotuvchi

$$\left(\vec{F}_1, \vec{F}'_1\right), \quad \left(\vec{F}_2, \vec{F}'_2\right), \quad \left(\vec{F}_3, \vec{F}'_3\right), \dots, \quad \left(\vec{F}_n, \vec{F}'_n\right)$$

juftlar sistemasi berilgan bo'lsin. Juftlarning yelkalari mos ravishda  $d_1, d_2, \dots, d_n$  bilan belgilanadi (108-shakl). 6-§ dagi teoremalardan foydalanib, berilgan juftlarni bitta  $AB = d$  yelkaga keltiriladi. Berilgan juftlarni o'z tekisligida ko'chirish natijasida hosil bo'ladigan ekvivalent juftlarning kuchlarini mos ravishda  $\vec{Q}_1, \vec{Q}_2, \dots, \vec{Q}_n$ ,  $\vec{Q}'_1, \vec{Q}'_2, \dots, \vec{Q}'_n$  bilan belgilanadi (108-shakl).

$A$  va  $B$  nuqtalarga qo'yilgan  $\vec{Q}_i$  va  $\vec{Q}'_i$  ( $i = \overline{1, n}$ ) kuchlarni qo'shib, yelkasi  $d$  ga teng bo'lgan  $(\vec{R}, \vec{R}')$  juftni hosil qilamiz. 108-shaklga asosan:

$$R' = R - Q_1 - Q_2 - Q_3 + \dots + Q_n.$$

$(\vec{R}, \vec{R}')$  just berilgan juftlar sistemasiga ekvivalent bo'ladi, ya'ni

$$\left[ (\vec{F}_1, \vec{F}'_1), (\vec{F}_2, \vec{F}'_2), \dots, (\vec{F}_n, \vec{F}'_n) \right] \sim (\vec{R}, \vec{R}').$$

$(\vec{R}, \vec{R}')$  natijaviy juftning momenti quyidagiga teng:

$$mom(\vec{R}, \vec{R}') = RD = (Q_1 D) + (-Q_2 D) + (-Q_3 D) + \dots + (Q_n D) \quad (5.3.1)$$

Ikkinchini tomonidan I-bobning 6-§ dagi 4-teoremaga asosan:

$$Q_1 D = F_1 d_1 = mom(\vec{F}_1, \vec{F}'_1),$$

$$-Q_2 D = -F_2 d_2 = mom(\vec{F}_2, \vec{F}'_2),$$

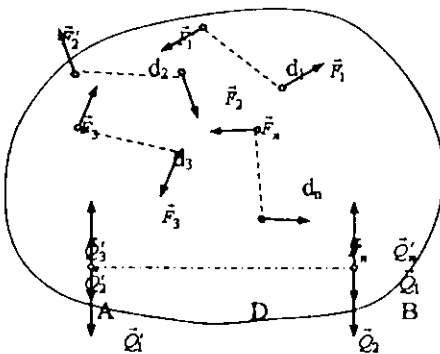
$$Q_n D = F_n d_n = mom(\vec{F}_n, \vec{F}'_n).$$

Bu tengliklarni hadma-had qo'shib, (5.3.1) ga asosan quyidagi topiladi:

$$mom(\vec{R}, \vec{R}') = \sum_{i=1}^n mom(\vec{F}_i, \vec{F}'_i), \quad (5.3.2)$$

ya'ni tekis juftlar sistemasi bitta juftga ekvivalent bo'lib, uning momenti berilgan juftlar momentlarining algebraik yig'indisiga teng.

2. Endi fazoda ta'sir etuvchi juftlar sistemasi qaraymiz. O'zaro kesishuvchi tekisliklarda yotuvchi ikkita juftlar sistemasi berilgan bo'lsin. Faraz qilaylik,  $\alpha$  tekislikda ixtiyoriy ravishda joylashgan  $(\vec{F}_1, \vec{F}'_1)$  just va  $\beta$  tekislikda ixtiyoriy ravishda ta'sir etuvchi  $(\vec{F}_2, \vec{F}'_2)$  just berilgan bo'lsin.  $\alpha$  va  $\beta$  tekisliklarni kesishish chizig'ida biror  $AB$  kesma olinadi (109-shakl). I-bobning 6-§ dagi teore-



108-shakl.

malardan foydalanib, berilgan juftlarni  $AB$  yelkaga keltiriladi. I bobning 6-§ dagi 4-teoremaga asosan hosil bo'lgan yangi juftlarning momentlari teng bo'ladi, lekin tuzuvchi kuchlar o'zgaradi.

Bu holda  $(\vec{F}_1, \vec{F}'_1)$  va  $(\vec{F}_2, \vec{F}'_2)$  juftlar o'miga  $(\vec{P}_1, \vec{P}'_1)$  va  $(\vec{P}_2, \vec{P}'_2)$  juftlar yuzaga keladi, ya'ni

$$(\vec{P}_1, \vec{P}'_1) \sim (\vec{F}_1, \vec{F}'_1), (\vec{P}_2, \vec{P}'_2) \sim (\vec{F}_2, \vec{F}'_2),$$

bundan

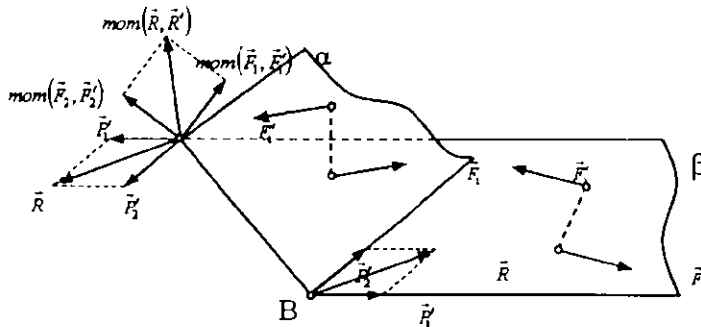
$$\begin{aligned} mom(\vec{P}_1, \vec{P}'_1) &= mom(\vec{F}_1, \vec{F}'_1), \\ mom(\vec{P}_2, \vec{P}'_2) &= mom(\vec{F}_2, \vec{F}'_2), \end{aligned} \quad (5.3.3)$$

va

$$\left| mom(\vec{P}_1, \vec{P}'_1) \right| = P_1 d, \left| mom(\vec{P}_2, \vec{P}'_2) \right| = P_2 d. \quad (5.3.4)$$

$(\vec{P}_1, \vec{P}'_1)$  va  $(\vec{P}_2, \vec{P}'_2)$  kuchlar  $AB$  kesmaga perpendikular yo'nalgan,  $(\vec{P}_1, \vec{P}'_1)$  va  $(\vec{P}_2, \vec{P}'_2)$  juftlarning yelkasi  $AB=d$  kesmadan iborat.  $\vec{P}_1$  bilan  $\vec{P}_2$  va  $\vec{P}'_1$  bilan  $\vec{P}'_2$  kuchlarni qo'shib  $(\vec{R}, \vec{R}')$  yangi juftni hosil qilamiz.  $(\vec{R}, \vec{R}')$  juft berilgan juftlarga ekvivalent, ya'ni

$$(\vec{R}, \vec{R}') \sim [(\vec{P}_1, \vec{P}'_1), (\vec{P}_2, \vec{P}'_2)] \sim [(\vec{F}_1, \vec{F}'_1), (\vec{F}_2, \vec{F}'_2)].$$



109-shakl.

$(\vec{P}_1, \vec{P}'_1)$  va  $(\vec{P}_2, \vec{P}'_2)$  juftlarning moment vektorlari mos ravishda  $\alpha$  va  $\beta$  tekisliklarga perpendikular yo'nalgan.

Moment vektorlariga parallelogramm quramiz, parallelogrammning dioganali  $(\vec{R}, \vec{R}')$  juft tekisligiga perpendikular, uzunligi esa  $Rd$  ga teng bo'ladi. Demak, parallelogrammning dioganali  $(\vec{P}_1, \vec{P}'_1)$  va  $(\vec{P}_2, \vec{P}'_2)$  juftlar teng ta'sir etuvchisi  $(\vec{R}, \vec{R}')$  juftning momentini ifodalaydi, ya'ni

$$\overrightarrow{\text{mom}}(\vec{P}_1, \vec{P}'_1) + \overrightarrow{\text{mom}}(\vec{P}_2, \vec{P}'_2) = \overrightarrow{\text{mom}}(\vec{R}, \vec{R}').$$

(5.1.3) tengliklarga asosan

$$\overrightarrow{\text{mom}}(\vec{F}_1, \vec{F}'_1) + \overrightarrow{\text{mom}}(\vec{F}_2, \vec{F}'_2) = \overrightarrow{\text{mom}}(\vec{R}, \vec{R}'). \quad (5.3.5)$$

Agar bir nechta juftlar sistemasi berilgan bo'lsa, (5.1.5) tenglikni ketma-ket qo'llab, qo'yidagi umumiy formulani hosil qilish mumkin:

$$\overrightarrow{\text{mom}}(\vec{R}, \vec{R}') = \sum_{i=1}^n \overrightarrow{\text{mom}}(\vec{F}_i, \vec{F}'_i). \quad (5.3.6)$$

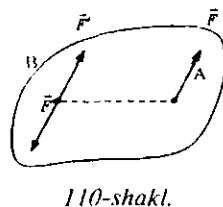
## 5.4. Fazoda ixtiyoriy ravishda yo'nalgan kuchlar sistemasi

Kuch, kuchlar sistemasi, teng ta'sir etuvchi, bosh vektor, bosh moment, dinamo, Puanso teoremasi.

### 5.4.1. Kuchni berilgan markazga keltirish.

**Teorema.** Qattiq jismning biror  $A$  nuqtasiga qo'yilgan ixtiyoriy kuch jismning boshqa bir  $B$  nuqtasiga qo'yilgan xuddi shunday kuchga va bitta juftga ekvivalent bo'lib, juftning momenti berilgan kuchning  $B$  nuqtaga nishbatan momentiga teng.

Qattiq jismning biror  $A$  nuqtasiga qo'yilgan  $\vec{F}$  kuch berilgan bo'lsin (110-shakl). Qattiq jismning boshqa bir  $B$  nuqtasiga modullari berilgan kuchning moduliga teng va berilgan



110-shakl.

kuchga parallel to'g'ri chiziq bo'ylab qarama-qarshi tomonga yo'nalgan ikkita  $\vec{F}'$  va  $\vec{F}''$  kuchlar qo'yiladi.

$$(\vec{F}', \vec{F}'') \sim 0$$

bo'lgani uchun

$$\vec{F} \sim (\vec{F}, \vec{F}', \vec{F}'').$$

$\vec{F}$  va  $\vec{F}''$  kuchlar juftni hosil qilganligi sababli

$$\vec{F} \sim [\vec{F}' \text{ va } (\vec{F}, \vec{F}'')],$$

$(\vec{F}, \vec{F}'')$  juftning momenti berilgan  $\vec{F}$  kuchning  $B$  nuqtaga nisbatan momentiga teng, ya'ni

$$\overline{\text{mom}}(\vec{F}, \vec{F}'') = \overline{\text{mom}}_B(\vec{F}). \quad (5.4.1)$$

#### 5.4.2. Kuchlar sistemasini berilgan markazga keltirish. Statikaning asosiy teoremasi (Puanso teoremasi).

Qattiq jismga ta'sir etuvchi ixtiyoriy kuchlar sistemasini bitta kuchga va bitta juftga keltirish mumkin.

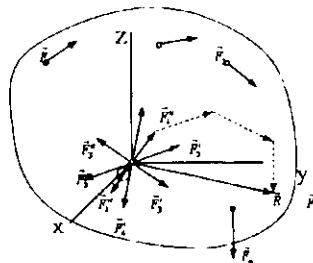
Kuchlar sistemasini bitta kuchga va bitta juftga keltirishni kuchlar sistemasini berilgan markazga keltirish deyiladi.

Qattiq jismga qo'yilgan ixtiyoriy  $(\vec{F}_1, \vec{F}_2, \dots, \vec{F}_n)$  kuchlar sistemasi berilgan bo'lsin. Keltirish markazi sifatida qattiq jismning ixtiyoriy  $O$  nuqtasi tanlanadi va berilgan kuchlar shu  $O$  nuqtaga keltiriladi (111-shakl).

Natijada

$$(\vec{F}_1, \vec{F}_2, \dots, \vec{F}_n) \sim [\vec{F}'_1, \vec{F}'_2, \dots, \vec{F}'_n; (\vec{F}_1, \vec{F}_1'), (\vec{F}_2, \vec{F}_2'), \dots, (\vec{F}_n, \vec{F}_n')],$$

hosil bo'ladi.



111-shakl.

Shunday qilib, berilgan  $n$  ta kuchlar sistemasi boshqa  $n$  ta  $O$  nuqtaga qo'yilgan kuchlar sistemasi va  $n$  ta

$$\left[ \left( \vec{F}_1, \vec{F}'_1 \right), \left( \vec{F}_2, \vec{F}'_2 \right), \dots, \left( \vec{F}_n, \vec{F}'_n \right) \right]$$

juftlar sistemasi bilan almashtirildi.

(5.4.1) formulaga asosan juftlarning momentlari quyidagiga teng:

$$\dot{M}_i = \ddot{M} \left( \vec{F}_i, \vec{F}'_i \right) = \dot{M}_0 \left( \vec{F}_i \right) \quad (i = 1, 2, \dots, n). \quad (5.4.2)$$

$O$  nuqtaga kesishuvchi  $\left( \vec{F}'_1, \vec{F}'_2, \dots, \vec{F}'_n \right)$  kuchlar sistemasining teng ta'sir etuvchisi  $\vec{R}$  berilgan kuchlarning vektorli yig'indisiga teng, ya'ni

$$\left( \vec{F}'_1, \vec{F}'_2, \dots, \vec{F}'_n \right) \sim \vec{R}$$

bunda

$$\vec{R} = \vec{F}'_1 + \vec{F}'_2 + \dots + \vec{F}'_n = \sum_{i=1}^n \vec{F}'_i.$$

$\left( \vec{F}'_1, \vec{F}'_2, \dots, \vec{F}'_n \right)$  kesishuvchi kuchlar sistemasi uchun  $\vec{R}$  kuch teng ta'sir etuvchi,  $\left( \vec{F}_1, \vec{F}_2, \dots, \vec{F}_n \right)$  berilgan kuchlar sistemasi uchun esa bosh vektor hisoblanadi.

Berilgan kuchlar sistemasi uchun bosh vektor deb kuchlarning vektorli yig'indisiga aytildi. Bu vektor berilgan kuchlarga qurilgan kuch ko'pburchagini yopuvchisini ifodalaydi (111-shakl), ya'ni

$$\vec{R} = \sum_{i=1}^n \vec{F}_i. \quad (5.4.3)$$

Juftlarni qo'shish teoremasiga asosan  $\left\{ \left( \vec{F}_1, \vec{F}'_1 \right), \left( \vec{F}_2, \vec{F}'_2 \right), \dots, \left( \vec{F}_n, \vec{F}'_n \right) \right\}$  juftlarni bitta juft bilan almashtiriladi. Natijaviy juftning momenti  $\dot{M} \left( \vec{\Phi}, \vec{\Phi}' \right) = \dot{M}_0$  ga bosh moment deyiladi. Bosh moment  $\dot{M}_0$  justlar momentlarining vektorli yig'indisiga teng. (5.4.2) formulaga asosan

$$\ddot{M}_0 = \dot{M}_0 \left( \vec{F}_1 \right) + \dot{M}_0 \left( \vec{F}_2 \right) + \dots + \dot{M}_0 \left( \vec{F}_n \right) = \sum_{i=1}^n \dot{M}_0 \left( \vec{F}_i \right). \quad (5.4.4)$$

Indeksdagisi  $O$  harf keltirish markazini bildiradi. Berilgan kuchlar sistemasining  $O$  nuqtaga nisbatan bosh momenti deb berilgan kuchlarning o'sha  $O$  nuqtaga nisbatan vektorli momentlari yig'indisiga aytildi.

Shunday qilib, statikaning quyidagi asosiy teoremasi isbotlandi: qattiq jisimga qo'yilgan ixtiyoriy kuchlar sistemasini shu kuchlar sistemasining bosh vektoriga teng bo'lган bitta kuchga va momenti kuchlar sistemasining bosh momentiga teng bo'lган bitta justga keltirish mumkin.

Bu teoremani qisqacha quyidagicha ta'riflash ham mumkin: har qanday kuchlar sistemasini bitta bosh vektorga va ixtiyoriy markazga nisbatan bitta bosh momentga keltirish mumkin, ya'ni

$$(\dot{F}_1, \dot{F}_2, \dots, \dot{F}_n) \sim (\dot{R}, \dot{M}_0).$$

Ta'sir chiziqlari bir tekislikda yotuvchi kuchlar sistemasiga tekis kuchlar sistemasi deyiladi. Tekis kuchlar sistemasi uchun ham statikaning asosiy teoremasi o'rinli. Ixtiyoriy tekis kuchlar sistemasini bitta kuchga va bitta justga keltirish mimkin. Tekis kuchlar sistemasining bosh vektori kuchlar tekisligida yotadi, keltirish markazi sifatida tekislikning biror  $O$  nuqtasi olinsa, kuchlar sistemasining bosh momenti  $\dot{M}_0$  kuchlar tekisligiga perpendikular bo'ladi.

## 5.5. Bosh vektor va bosh momentni hisoblash formulalari

Ixtiyoriy  $(\dot{F}_1, \dot{F}_2, \dots, \dot{F}_n)$  kuchlar sistemasining bosh vektori shu kuchlarning vektorli yig'indisiga teng, ya'ni

$$\dot{R} = \sum_{i=1}^n \dot{F}_i. \quad (5.5.1)$$

Biror  $O$  markazga nisbatan bosh momenti berilgan kuchlarning o'sha markazga nisbatan vektorli momentlari yig'indisiga teng, ya'ni

$$\dot{M}_0 = \sum_{i=1}^n \dot{M}_0(\dot{F}_i). \quad (5.5.2)$$

(5.5.1) tenglikning ikkala tomonini koordinata o'qlariga proyeksiyalab, bosh vektorning proyeksiyalari uchun quyidagi formulalarni hosil qilamiz:

$$R_x = \sum_{i=1}^n F_{ix}, \quad R_y = \sum_{i=1}^n F_{iy}, \quad R_z = \sum_{i=1}^n F_{iz}. \quad (5.5.3)$$

Bosh vektorning moduli va yo'naltiruvchi kosinuslari quyidagi formulalar bilan hisoblanadi:

$$\begin{aligned} |\vec{R}| &= \sqrt{R_x^2 + R_y^2 + R_z^2}; \\ \cos(x, \hat{\vec{R}}) &= \frac{R_x}{|\vec{R}|}, \quad \cos(y, \hat{\vec{R}}) = \frac{R_y}{|\vec{R}|}, \\ \cos(z, \hat{\vec{R}}) &= \frac{R_z}{|\vec{R}|}. \end{aligned} \quad (5.5.4)$$

(5.5.3) tenglikning ikkala tomonini koordinata o'qlariga proyeksiyalab, bosh momentning koordinata o'qlaridagi proyeksiyalari topiladi:

$$\begin{aligned} M_{ox} = M_x &= \sum_{i=1}^n M_x(\vec{F}_i) = \sum_{i=1}^n (y_i F_{iz} - z_i F_{iy}) ; \\ M_{oy} = M_y &= \sum_{i=1}^n M_y(\vec{F}_i) = \sum_{i=1}^n (z_i F_{ix} - x_i F_{iz}) ; \\ M_{oz} = M_z &= \sum_{i=1}^n M_z(\vec{F}_i) = \sum_{i=1}^n (x_i F_{iy} - y_i F_{ix}) \end{aligned} \quad (5.5.5)$$

Bosh momentning moduli va yo'naltiruvchi kosinuslari quyidagi formulalardan topiladi:

$$\begin{aligned} |M_0| &= \sqrt{M_x^2 + M_y^2 + M_z^2}; \\ \cos(x, \hat{M}_0) &= \frac{M_x}{M_0}, \quad \cos(y, \hat{M}_0) = \frac{M_y}{M_0}, \\ \cos(z, \hat{M}_0) &= \frac{M_z}{M_0} \end{aligned} \quad (5.5.6)$$

Tekis kuchlar sistemasi berilgan bo'lsa,  $Oz$  o'qini kuchlar tekisligiga perpendikular qilib olinadi,  $Ox$  va  $Oy$  o'qlari kuchlar tekisligida yotadi. Bosh vektor  $Oxy$  tekisligida yotadi, shu sababli tekis kuchlar sistemasi uchun

$$R_x = \sum_{i=1}^n F_{ix}, \quad R_y = \sum_{i=1}^n F_{iy}, \quad R_z = 0; \\ |\vec{R}| = \sqrt{R_x^2 + R_y^2}, \quad \cos(x, \hat{\vec{R}}) = \frac{R_x}{R}, \quad (5.5.7)$$

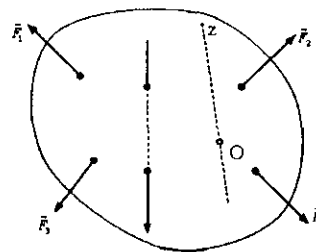
$$\cos(y, \hat{\vec{R}}) = \frac{R_y}{R}. \quad (5.5.7)$$

Tekis kuchlar sistemasining bosh momenti bosh vektorga perpendikular va demak  $Oz$  o'qiga parallel bo'ladi. U holda

$$M_x = 0, \quad M_y = 0,$$

$$M_0 = M_z = \sum_{i=1}^n M_z(\vec{F}_i) = \sum_{i=1}^n M_0(\vec{F}_i). \quad (5.5.8)$$

**Teng ta'sir etuvchi kuchning momenti haqidagi teorema (Varinon teoremasi).** Kuchlar sistemasi teng ta'sir etuvchisining ixtiyoriy nuqtaga nisbatan vektorli momenti berilgan kuchlarning o'sha nuqtaga nisbatan vektorli momentlari yig'indisiga teng.



112-shakti.

Faraz qilaylik, qattiq jismga ta'sir etuvchi  $(\vec{F}_1, \vec{F}_2, \dots, \vec{F}_n)$  kuchlar sistemasining teng ta'sir etuvchisi  $\vec{R}$  bo'lsin, ya'ni

$$(\vec{F}_1, \vec{F}_2, \dots, \vec{F}_n) \sim \vec{R}. \quad (5.5.8)$$

Berilgan kuchlar sistemasiga uni muvozanatlashtiruvchi  $\ddot{R}^*$  kuch qo'shiladi.  $\ddot{R}^*$  kuchning moduli teng ta'sir etuvchi kuchning moduliga teng va unga qarama-qarshi yo'nalgan (112- shakl). U holda

$$(\dot{F}_1, \dot{F}_2, \dots, \ddot{F}_n, \ddot{R}^*) - (\dot{R}^*, R^*) \sim 0. \quad (5.5.9)$$

Hosil bo'lgan yangi kuchlar sistemasi muvozanatlashgan kuchlar sistemasi bo'lganligi uchun ularni ixtiyoriy  $O$  markazga nisbatan vektorli momentlari yig'indisi nolga teng, ya'ni

$$\sum_{i=1}^n \dot{M}_0(\ddot{F}_i) + \dot{M}_0(\ddot{R}^*) = 0. \quad (5.5.10)$$

$\ddot{R}^*$  va  $\dot{R}^*$  kuchlar qarama-qarshi yo'nalganligidan

$$\dot{M}_0(\ddot{R}^*) = -\dot{M}_0(\dot{R}^*).$$

Buni (5.5.10) tenglamaga qo'yiladi:

$$\sum_{i=1}^n \dot{M}_0(\dot{F}_i) - \dot{M}_0(\dot{R}^*) = 0$$

bundan

$$\dot{M}_0(\dot{R}^*) = \sum_{i=1}^n \dot{M}_0(\dot{F}_i). \quad (5.5.11)$$

(5.5.11) tenglamaning ikkala tomonini  $O$  nuqtadan o'tuvchi ixtiyoriy  $Oz$  o'qiga proyeksiyalab,  $Oz$  o'qiga nisbatan Varinon teoremasini hosil qilamiz:

$$\dot{M}_z(\dot{R}^*) = \sum_{i=1}^n \dot{M}_z(\dot{F}_i), \quad (5.5.12)$$

ya'ni, teng ta'sir etuvchi kuchning ixtiyoriy o'qqa nisbatan momenti berilgan kuchlarning o'sha o'qqa nisbatan momentlari yig'indisiga teng.

## 5.6. Kuchlar sistemasini keltirishning xususiy hollari

**5.6.1. Keltirish markazini almashtirish.** Fazoda qattiq jismga ta'sir etuvchi kuchlar sistemasi biror  $O$  markazga keltirilib, bitta  $\dot{R}$  bosh vektor va momenti  $\dot{M}_0$  ga teng bo'lgan bitta juft bilan

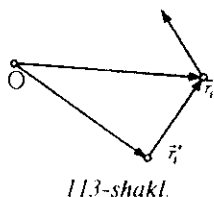
almashtirilgan bo'lsin. Yangi  $O'$  markazni tanlab kuchlar sistemasini shu markazga keltirganimizda  $\vec{R}'$  bosh vektorni va momenti  $\dot{\vec{M}}_0$  bo'lgan bitta juftni hosil qilamiz. Ma'lumki, ixtiyoriy markazga nisbatan bosh vektor

$$\vec{R} = \sum_{(i)} \vec{F}_i = \vec{R}'$$

ga teng, ya'ni keltirish markazini o'zgarishi bilan kuchlar sistemasining bosh vektori o'zgarmaydi.

Keltirish markazini o'zgarishi bilan har bir kuchning yangi markazga nisbatan momenti o'zgaradi va demak, bosh moment ham o'zgaradi.  $O$  markazga nisbatan bosh momentni  $\dot{\vec{M}}$  bilan,  $O'$  nuqtaga nisbatan esa  $\dot{\vec{M}}'$  bilan belgilanadi. U holda

$$\dot{\vec{M}}' = \sum_{i=1}^n \vec{r}'_i \times \vec{F}_i,$$



bunda  $\vec{r}'_i - \vec{r}_i$  kuch qo'yilgan nuqtaning  $O'$  nuqtaga nisbatan radius-vektori (113-shakl).

Shakldan ko'rinish turibdiki

$$\vec{r}'_i = \vec{r}_i - \vec{OO}'$$

$\vec{r}'_i$  yuqoridagi ifodaga qo'yiladi:

$$\dot{\vec{M}}' = \sum_{(i)} \left[ (\vec{r}'_i - \vec{OO}') \times \vec{F}_i \right] = \sum_{(i)} (\vec{r}_i \times \vec{F}_i) - \sum_{(i)} (\vec{OO}' \times \vec{F}_i).$$

$$\sum_{(i)} (\vec{r}_i \times \vec{F}_i) = \dot{\vec{M}}, \quad \sum_{(i)} \vec{F}_i = \vec{R}.$$

bo'lganligi uchun

$$\dot{\vec{M}}' = \dot{\vec{M}} - \vec{OO}' \times \vec{R} = \dot{\vec{M}} + \vec{O}'\vec{O} \times \vec{R}. \quad (5.6.1)$$

Demak, keltirish markazini o'zgarishi bilan kuchlar sistemasining bosh momenti yangi markazga nisbatan bosh vektoring momentiga teng miqdoriga o'zgaradi.

### 5.6.2. Kuchlar sistemasining invariantlari.

**1-invariant.** Biz ko'rdikki, keltirish markazini o'zgarishi bilan kuchlar sistemasining bosh vektori o'zgarmay qoladi, ya'ni

$$\vec{R} = \vec{R}'. \quad (5.6.2)$$

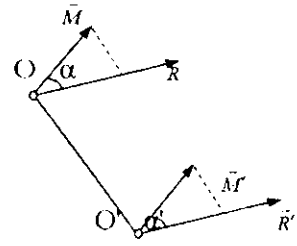
Shunday qilib, kuchlar sistemasining bosh vektori vektorli invariant bo'ladi.

**2-invariant.** Kuchlar sistemasining bosh vektorini uning bosh momentiga skalar ko'paytmasi keltirish markazini tanlashga bog'liq emas, ya'ni

$$\dot{R} \cdot \dot{M} = RM \cos(\dot{R}, \dot{M})$$

kuchlar sistemasining ikkinchi invarianti hisoblanadi. Ikkinci invariantni bosh-qacha ham talqin qilish mumkin. Bosh momentning bosh vektor yo'nalishidagi proyeksiyasi, ya'ni  $M \cos(R, M)$  o'zgarmaydi. Keltirish markazi  $O$  nuqtaga nisbatan (114-shakl)

$$\dot{R} = \sum_{(i)} \dot{F}_i, \quad \dot{M} = \sum_{(i)} (\vec{r}_i \times \dot{F}_i).$$



$O'$  keltirish markaziga nisbatan (5.6.1) va (5.6.2) tengliklarga asosan:

$$\dot{R}' = \dot{R}, \quad \dot{M}' = \dot{M} + \overline{O'}\overline{O} \times \dot{R}.$$

Bundan

$$\dot{R}' \cdot \dot{M}' = \dot{R}(\dot{M} + \overline{O'}\overline{O} \times \dot{R}) = \dot{R}' \cdot \dot{M} + \dot{R} \cdot (\overline{O'}\overline{O} \times \dot{R}).$$

$\dot{R}$  va  $\overline{O'}\overline{O} \times \dot{R}$  vektorlar o'zaro perpendikularligidan

$$\dot{R} \cdot (\overline{O'}\overline{O} \times \dot{R}) = 0$$

va demak

$$\dot{R}' \cdot \dot{M}' = \dot{R} \cdot \dot{M} = \text{const} \quad (5.6.3)$$

$$\dot{R}' \cdot \dot{M}' = RM \cos(\dot{R}, \dot{M}), \quad R = \text{const} \text{ bo'lgani uchun}$$

$$M \cos(\dot{R}, \dot{M}) = M' \cos(\dot{R}', \dot{M}') = \text{const}. \quad (5.6.4)$$

Shunday qilib, kuchlar sistemasining bosh vektori bilan bosh momentining skalar ko'paytmasi o'zgarmas yoki bosh momentning bosh vektor yo'nalishidagi proyeksiyasi o'zgarmas bo'lar ekan. Bu kuchlar sistemasining ikkinchi invarianti hisoblanadi.

Fazoda ixityoriy ravishda joylashgan kuchlar sistemasini bitta  $\vec{R}$  bosh vektorga va bitta  $\vec{M}_0$  bosh momentga keltirish mumkin. Bu vektorlarning modullari va yo'nalishlariga qarab, kuchlar sistemasini quyidagi oddiy hollarga keltirish mumkin:

**1. Bitta juftga keltirish.** Agar  $\vec{R} = 0$ ,  $\vec{M}_0 \neq 0$  bo'lsa, kuchlar sistemasini bitta juftga keltirish mumkin va bu holda bosh moment keltirish markazini tanlanishiga bog'liq emas.

**2. Bitta teng ta'sir etuvchiga keltirish.** Ikkita hol bo'lishi mumkin:

a) agar  $\vec{R} \neq 0$ ;  $\vec{M}_0 \neq 0$  ( $\vec{R} \neq 0$ ;  $\vec{M}_0 \cdot \vec{R} = 0$ ) bo'lsa, kuchlar sistemasini bitta teng ta'sir etuvchiga keltirish mumkin;

b) agar  $\vec{R} \neq 0$ ;  $\vec{M}_0 \neq 0$  bo'lib,  $\vec{R} \perp \vec{M}_0$  bo'lsa, kuchlar sistemasini bitta teng ta'sir etuvchiga keltirish mumkin. Bu holda teng ta'sir etuvchining ta'sir chizig'i keltirish markazidan  $d = \vec{M}_0 / \vec{R}$  masofadan o'tadi.

**3. Dinamoga keltirish.** Agar  $\vec{R} \neq 0$ ;  $\vec{M}_0 \neq 0$  bo'lib,  $\vec{R}$  va  $\vec{M}_0$  vektorlar perpendikular bo'lmasa, ( $\vec{R} \neq 0$ ;  $\vec{M}_0 \cdot \vec{R} = 0$ ) kuchlar sistemasini dinamoga keltirish mumkin. Kuchlar sistemasini dinamoga keltirish mumkin bo'lsa,  $\vec{R}$  bosh vektor va  $\vec{M}_0$  bosh momentlar kollinear vektorlar bo'ladi, ya'ni

$$\vec{M}_0 = k_0 \vec{R}.$$

$O$  keltirish markaziga nisbatan kuchlar sistemasining bosh vektori  $\vec{R}$ , bosh momenti  $\vec{M}_0$ , boshqa  $O_1$  keltirish markaziga nisbatan bosh vektori  $\vec{R}_1$ , bosh momenti  $\vec{M}_0$  bo'lsin, u holda

$$\vec{R} = \vec{R}', \quad \vec{M}_0 = \vec{M}_0 - \vec{O}\vec{O}_1 \cdot \vec{R} = k_0 \vec{R}. \quad (5.6.4)$$

(5.6.4) tenglama markaziy vint o'qining vektor tenglamasini ifodalaydi. (5.6.4) tenglama proyeksiyalarda yoziladi:

$$(M_x \vec{i} + M_y \vec{j} + M_z \vec{k}) - \begin{vmatrix} i & j & k \\ x & y & z \\ R_x & R_y & R_z \end{vmatrix} = k_0 (R_x \vec{i} + R_y \vec{j} + R_z \vec{k}), \quad (5.6.5)$$

(5.6.5) vektor tenglamadan quyidagi tenglamalar sistemasini hosil qilish mumkin:

$$\frac{M_x - (yR_z - zR_y)}{R_x} = \frac{M_y - (zR_x - xR_z)}{R_y} = \frac{M_z - (xR_y - yR_x)}{R_z}. \quad (5.6.6)$$

(5.6.6) markaziy vint o'qining tenglamasini ifodalaydi.

## 5.7. Kuchlar sistemasini keltirishga doir masalalar

**5.7.1-masala (И.В.Менгерский 7.4).** Qirralari  $a$  ga teng bo'lgan  $ABCD$  muntazam tetraedrning  $AB$  qirrasi bo'yiga  $\vec{F}_1$  kuch,  $CD$  qirrasi bo'yiga  $\vec{F}_2$  kuch,  $E$  nuqtaga, ya'ni  $BD$  qirraning o'rjasiga  $\vec{F}_3$  kuch qo'yilgan.  $\vec{F}_1$  va  $\vec{F}_2$  kuchlarning miqdorlari ixtiyoriy,  $\vec{F}_3$  kuchning  $x$ ,  $y$  va  $z$  o'qlardagi proyeksiyalari esa

$\vec{F}_2 \frac{5\sqrt{3}}{2}$ ;  $-\frac{F_2}{2}$ ;  $-F_2 \sqrt{\frac{2}{3}}$ . Bu kuchlar sistemasining teng ta'sir etuvchiga keltirish mumkinmi? Agar mumkin bolsa, teng ta'sir etuvchining moduli, yo'nalishi va qo'yilish nuqtasi topilsin (115-shakl).

Berilgan:  $a$ ,  $F_1$ ,  $F_2$ ,

$$\vec{F}_3 \left( 5\sqrt{3}/2\vec{F}_2; -F_2/2; -\sqrt{2/3}F_2 \right).$$

Topish kerak:  $R$ .

**Yechish.** O nuqtaga nisbatan bosh vektor va bosh momentning proyeksiyalari topiladi:

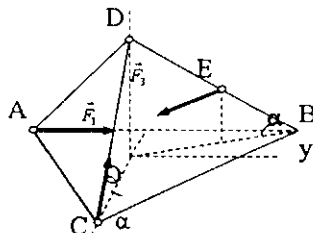
$$R_x = F_{1x} + F_{2x} + F_{3x};$$

$$R_y = F_{1y} + F_{2y} + F_{3y};$$

$$R_z = F_{1z} + F_{2z} + F_{3z}.$$

115-shaklga asosan:

$$F_{1x} = 0, \quad F_{2x} = F_2 \cos \alpha, \quad F_{3x} = \frac{5\sqrt{3}}{6} F_2;$$



115-shakl.

$$F_{1y} = F_1, \quad F_{2y} = 0, \quad F_{3y} = -\frac{1}{2}F_2, \quad (a)$$

$$F_{1z} = 0, \quad F_{2z} = F_2 \sin \alpha, \quad F_{3x} = -\sqrt{\frac{2}{3}}F_2.$$

Uchburchakning balandligi  $h = \frac{\sqrt{3}}{2}a$  ga teng. Shaklga asosan:

$$OC = \frac{2}{3}h = \frac{\sqrt{3}}{3}a, \quad \cos \alpha = \frac{\sqrt{3}}{3}, \quad \sin \alpha = \sqrt{\frac{2}{3}}.$$

Natijada

$$R_x = F_2 \frac{\sqrt{3}}{2}, \quad R_y = F_1 - \frac{1}{2}F_2, \quad R_z = 0. \quad (b)$$

Endi bosh momentning o'qlardagi proyeksiyalari topiladi. Buning uchun kuchlarning qo'yilish nuqtalarining koordinatalari va o'qlardagi proyeksiyalari topiladi. 115-shaklga asosan

$$x_A = -\frac{1}{3}h = -\frac{\sqrt{3}}{6}a, \quad y_A = -\frac{a}{2}; \quad z_A = 0; \quad A\left(-\frac{\sqrt{3}}{2}a; -\frac{a}{2}; 0\right)$$

$$x_C = \frac{2}{3}h = \frac{\sqrt{3}}{3}a, \quad y_C = 0; \quad z_C = 0; \quad C\left(\frac{\sqrt{3}}{3}a, 0, 0\right) \quad (c)$$

$$x_E = -\frac{1}{6}h = -\frac{\sqrt{3}}{12}a, \quad y_E = \frac{a}{4}; \quad z_E = \frac{\sqrt{6}}{6}a; \quad E\left(-\frac{\sqrt{3}}{12}a; \frac{a}{4}; \frac{\sqrt{6}}{6}a\right)$$

(a) va (c) lardan foydalaniib, bosh momentning o'qlardagi proyeksiyalari topiladi:

$$\begin{aligned} M_x &= \sum_{(i)} (y_i F_{iz} - z_i F_{iy}) = -\frac{a}{4}\sqrt{\frac{2}{3}}F_2 + \frac{\sqrt{6}}{6}a \frac{F_2}{2} = 0, \\ M_y &= \sum_{(i)} (z_i F_{ix} - x_i F_{iz}) = -\frac{\sqrt{3}}{3}a\sqrt{\frac{2}{3}}F_2 + \\ &\quad + \frac{\sqrt{6}}{6}a \frac{5\sqrt{3}}{6}a F_2 - \frac{\sqrt{3}}{12}a\sqrt{\frac{2}{3}}F_2 = 0 \end{aligned} \quad (d)$$

$$M_z = \sum_{(i)} (x_i F_{iy} - y_i F_{ix}) = \frac{\sqrt{3}}{12}a \frac{F_2}{2} - \frac{a}{4} \frac{5\sqrt{3}}{6}F_2 - \frac{\sqrt{3}}{6}a F_1 = -\frac{\sqrt{3}a}{6}(F_1 + F_2).$$

Endi (b) va (d) munosabatlardan foydalaniib,  $\dot{M} \cdot \dot{R}$  skalar ko'paytma hisoblanadi:

$$\dot{M} \cdot \dot{R} = M_x R_x + M_y R_y + M_z R_z = 0.$$

Demak,  $\dot{M} \perp \dot{R}$ . Bu holda kuchlar sistemasini bitta teng ta'sir etuvchiga keltirish mumkin. Teng ta'sir etuvchining yo'nalishi bosh vektor yo'nalishi bilan bir xil, moduli bosh vektor moduliga teng, ya'ni

$$R^* = R.$$

Teng ta'sir etuvchining qo'yilish nuqtasi  $O$  keltirish markazidan  $d = M_0 / R$  masofada yotadi:

$$d = \frac{M_0}{R} = \frac{\sqrt{3}a}{6} \frac{F_1 + F_2}{\sqrt{F_1^2 - F_1 F_2 + F_2^2}}.$$

**5.7.2-masala (И.В.Менгерский 7.7).** Uchta  $\vec{P}_1$ ,  $\vec{P}_2$  va  $\vec{P}_3$  kuch koordinata tekisliklarida yotadi hamda koordinata o'qlariga parallel, lekin ular ikki tomonga yo'nalgan bo'lishi ham mumkin. Bu kuchlar qo'yilgan  $A$ ,  $B$  va  $C$  nuqtalar koordinatalar boshidan mos ravishda berilgan  $a$ ,  $b$  va  $c$  masofada joylashgan. Ular bir teng ta'sir etuvchiga keltirilishi uchun bu kuchlarning miqdorlari qanday shartlarni qanoatlantirishi kerak? Koordinatalar boshidan o'tadigan markaziy vint o'qining mavjud bo'lishi uchun bu kuchlarning miqdorlari qanday shartlarni qanoatlantirishi kerak (116-shakl)?

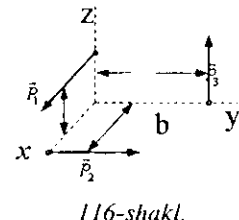
**Yechish.** Bosh vektoring koordinata o'qlaridagi proyeksiyalari 116-shaklga asosan

$$R_x = P_1, \quad R_y = P_2, \quad R_z = P_3. \quad (a)$$

Bosh momentning koordinata o'qlaridagi proyeksiyalari topiladi:

$$M_x = \sum_{(i)} (y_i F_{iz} - z_i F_{iy}) = b P_3,$$

$$M_y = \sum_{(i)} (z_i F_{ix} - x_i F_{iz}) = c P_1, \quad (b)$$



116-shakl.

$$M_z = \sum_{(i)} (x_i F_{iy} - y_i F_{ix}) = aP_2.$$

Endi  $\vec{M} \cdot \vec{R}$  skalar ko‘paytmasi hisoblanadi:

$$\vec{M} \cdot \vec{R} = bP_1P_3 + cP_1P_2 + aP_2P_3 \neq 0.$$

$\vec{R} \neq 0$ ,  $\vec{M} \neq 0$ , va  $\vec{M} \cdot \vec{R} \neq 0$ . Bu kuchlar sistemasi bitta teng ta’sir etuvchiga keltirilishi uchun  $\vec{M} \cdot \vec{R} = 0$  shart bajarilishi kerak, ya’ni

$$bP_1P_3 + cP_1P_2 + aP_2P_3 = 0.$$

Bu tenglikning ikkala tomonini  $P_1 P_2 P_3$  ga bo‘lamiz, natijada

$$\frac{a}{P_1} + \frac{b}{P_2} + \frac{c}{P_3} = 0. \quad (c)$$

Demak, kuchlar sistemasi bitta teng ta’sir etuvchiga keitirilishi uchun (c) shart bajarilishi kerak.

Koordinatalar boshidan o’tuvchi markaziy vint o‘qining mavjudligini topish uchun (5.6.6) tenglamalarga  $x = y = z = 0$  ni qo‘yiladi, natijada

$$\frac{M_x}{R_x} = \frac{M_y}{R_y} = \frac{M_z}{R_z} = P$$

(a) va (b) larga asosan

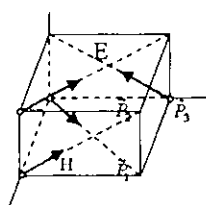
$$\frac{P_1}{bP_3} = \frac{P_2}{cP_1} = \frac{P_3}{aP_2}. \quad (d)$$

Demak, (d) shartlar bajarilganda koordinatalar boshidan o’tuvchi markaziy vint o‘qi mavjud bo‘ladi.

**5.7.3-masala (И.В.Мешереский 7.3).** Kubning to‘rtta  $A, H, B$  va  $D$  uchlariga miqdorlari bir-biriga teng to‘rtta

$P_1 = P_2 = P_3 = P_4 = P$  kuch qo‘yilgan.  $\vec{P}_1$  kuch  $AC$  bo‘yicha,  $\vec{P}_2$  kuch  $HF$  bo‘yicha,  $\vec{P}_3$  kuch  $BE$  bo‘yicha,  $\vec{P}_4$  kuch  $DG$  bo‘yicha yo‘nalgan. Shu sistema sodda holga keltirilsin.

**Yechish.** Kuchlar sistemasining bosh vektori va bosh momenti topiladi. Kub tomonla-



117-shakti

rining diagonallari uning qirralari bilan  $45^\circ$  li burchaklar hosil qiladi. Shuning uchun

$$R_x = P_1 \cos 45^\circ - P_2 \cos 45^\circ = 0;$$

$$R_y = P_1 \cos 45^\circ + P_2 \cos 45^\circ - P_3 \cos 45^\circ + P_4 \cos 45^\circ = \sqrt{2}P;$$

$$R_z = P_3 \cos 45^\circ + P_4 \cos 45^\circ = \sqrt{2}P;$$

$$M_x = \sum_{i=1}^n (y_i F_{iz} - z_i F_{iy}) = -aP_2 \cos 45^\circ = -\frac{\sqrt{2}}{2} aP;$$

$$M_y = \sum_{i=1}^n (z_i P_{ix} - x_i P_{iz}) = -aP_2 \cos 45^\circ - aP_4 \cos 45^\circ = -\sqrt{2}aP;$$

$$M_z = \sum_{i=1}^n (x_i P_{iy} - y_i P_{ix}) = aP_2 \cos 45^\circ + aP_4 \cos 45^\circ = \sqrt{2}aP.$$

Endi bosh vektor va bosh momentning moduli topiladi:

$$R = \sqrt{2P^2 + 2P^2} = 2P, \quad M = \sqrt{2a^2 P^2 + 2a^2 P^2 + \frac{1}{2} aP^2} = \frac{3\sqrt{2}}{2} aP.$$

Demak,

$$\dot{R} \neq 0, \quad \dot{M} \neq 0; \quad \dot{R} \cdot \dot{M} = 0 + \sqrt{2}P \cdot (-\sqrt{2}aP) + \sqrt{2}P \sqrt{2}aP = 0.$$

Shunday qilib,  $\dot{R} \neq 0$ ,  $\dot{M} \neq 0$  va  $\dot{R} \perp \dot{M}$ . Bu holda kuchlar sistemasini bitta teng ta'sir etuvchiga keltirish mumkin. Bu teng ta'sir etuvchining moduli  $2R$  ga teng bo'lib,  $A$  keltirish markazidan  $d=M/R=a$  masofada,  $DG$  diagonal bo'ylab yo'nalgan bo'ladi.

**5.7.4-masala. (И.В. Мешнерский 7.10).** To'g'ri burchakli parallelepipedning mos ravishda 10m, 4m va 5m ga teng bo'lgan qirralari bo'yicha shaklda ko'rsatilgan oltita  $P_1=4N$ ,  $P_2=6N$ ,  $P_3=3N$ ,  $P_4=2N$ ,  $P_5=6N$ ,  $P_6=8N$  kuch ta'sir qiladi. Shu kuchlar sistemasi kanonik holga keltirilsin va markaziy vint o'qining  $Oxy$  tekislik bilan kesishgan nuqtasining  $x$  va  $y$  koordinatalari aniqlansin.

*Berilgan:*  $P_1=4N$ ,  $P_2=6N$ ,  $P_3=3N$ ,  $P_4=2N$ ,  $P_5=6N$ ,  $P_6=8N$ .

*Yechish.* Teng ta'sir etuvchi va bosh vektor topiladi:

$$R_x = -P_5 + P_2 = -6H + 6H = 0;$$

$$R_y = P_1 - P_4 = 4 - 2 = 2;$$

$$R_z = -P_3 + P_6 = -3 + 8 = 5;$$

$$M_x = \sum (yF_z - zF_y) = -5P_1 - 10P_3 = -50HM;$$

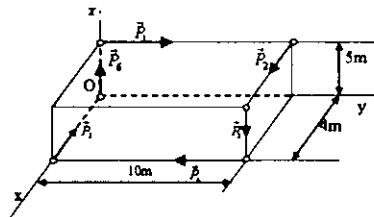
$$M_y = \sum (zF_x - xF_z) = 5P_2 + 4P_3 = 42HM;$$

$$M_z = \sum_{i=1}^6 (x_i F_{iy} - y_i F_{ix}) = -10P_2 - 4P_4 = -68HM;$$

$$M = \sqrt{M_x^2 + M_y^2 + M_z^2} = \sqrt{2500 + 1764 + 4624}H \approx 94,3$$

$$\vec{R} \cdot \vec{M} = 0 + 84 - 340 = -256 \neq 0$$

$$R = \sqrt{4 + 25} \approx 5,4H.$$



118-shakl.

Shunday qilib,  $\vec{R} \cdot \vec{M} \neq 0$  ya'ni  $\vec{R}$  va  $\vec{M}$  vektorlar perpendikular emas. Bu holda kuchlar sistemasini dinamoga keltirish mumkin. Markaziy vint o'qining tenglamasini, ya'ni (5.6.5) tenglama tuziladi:

$$\frac{-50 - 5y + 2z}{0} = \frac{42 + 5x}{2} = \frac{-65 - 2x}{5}. \quad (a)$$

Bu tenglamani  $Oy$  tekisligi bilan kesishish nuqtasining koordinatalari topiladi. Bu holda

$$z=0;$$

buni (a) tenglamaga qo'yib,  $x$  va  $y$  topiladi:

$$x=-11,9 \text{ m}; \quad u=-10 \text{ m}.$$

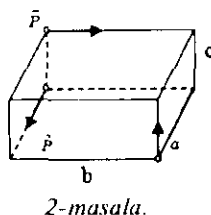
## Muammoli masala va topshiriqlar

1. Kuchlar sistemasining bosh vektori  $\vec{R} = 4\vec{i} + 3\vec{j}$ , bosh momenti  $\vec{M}_0 = 8\vec{j} + 10\vec{k}$  bo'lsa, kuchlar sistemasini bitta teng ta'sir etuvchiga keltirish mumkinmi?

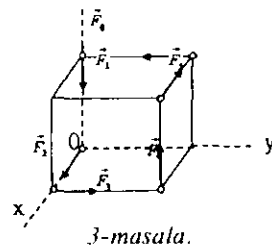
2. To'g'ri burchakli parallelepipedning bir-biri bilan kesishmaydigan va bir-biriga parallel bo'lmagan qirralari bo'ylab miqdor jihatidan o'zaro teng bo'lgan uchta  $P$  kuch qo'yilgan. Bu kuchlar bitta teng ta'sir etuvchiga keltirilishi uchun  $a$ ,  $b$  va  $c$  qirralar orasida qanday munosabat bo'lishi kerak?

3. Qirralarining uzunligi 5 sm bo'lgan kubning uchlariga har qaysisi 2N bo'lgan oltita o'zaro teng kuchlar rasmida ko'rsatilgandek qilib qo'yilgan.

Shu sistema soddalashtirilsin.

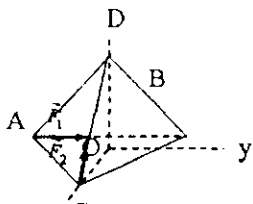


2-masala.

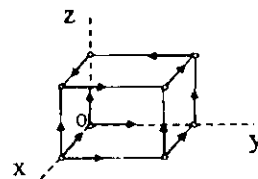


3-masala.

4. Qirralari  $a$  ga teng bo'lgan muntazam  $ABCD$  tetsaedrning  $AB$  qirrasi bo'ylab,  $F_1$  kuch va  $CD$  qirrasi bo'ylab  $F_2$  kuch qo'yilgan. Marakaziy vint o'qining  $Oxy$  tekislik bilan kesishgan nuqtasining  $x$  va  $y$  koordinatalarini toping.



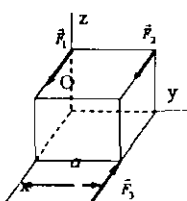
4-masala.



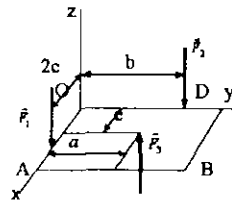
5-masala.

**5.** Kubning  $a$  ga teng qirralari bo'ylab, shaklda ko'rsatilgandek, o'n ikkita miqdorlari o'zaro teng  $P$  kuchlar ta'sir qiladi. Shu kuchlar sistemasi kanonik holga keltirilsin va markaziy vint o'qining  $Oxy$  tekisligi bilan kesishish nuqtasining  $x$  va  $y$  koordinatalari aniqlansin.

**6.** Kubning qirralari bo'ylab yo'nalgan kuchlar shaklda ko'rsatilgandek qo'yilgan.  $F_1$  kuchining qanday qiymatida berilgan kuchlar sistemasini bitta justga keltirish mumkin?  $F_2 = 2F_1 = 10N$ ,  $a = 1m$ .



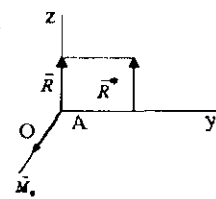
6-shakl.



7-shakl.

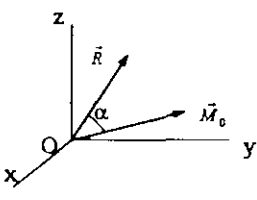
**7.**  $Oxz$  tekisligiga qo'yilgan kuchlarning bosh vektori  $R$  va bosh momenti  $M_0$ . Agar  $R=6N$ ,  $M_0=7,2Nm$  va  $\alpha=60^\circ$  bo'lsa, dinamo o'qigacha bo'lgan  $OA$  masofani toping.

**8.** Kuchlar sistemasining bosh vektori  $R=8N$  va bosh momenti  $M_0=26 Nm$  bo'lib, o'zaro perpendikular bo'lsa, kuchlar sistemasining teng ta'sir etuvchisi qanday  $OA$  masofaga qo'yiliishi kerak?

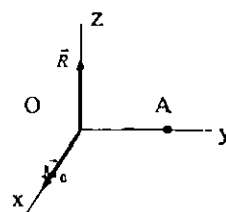


8-masala.

**9.** Kuchlar sistemasining bosh vektori  $\vec{R} = 4\hat{j} + 3\hat{k}$ ; bosh momenti bo'lsa, dinamo momentini toping.



11-shakl.



12-shakl.

**10.**  $O$  keltirish markaziga nisbatan bosh vektor  $\dot{R}$  va bosh moment  $\dot{M}_0$  larning skalar ko'paytmasi  $\dot{R} \cdot \dot{M}_0 = 240 N^2 \cdot M$  ga teng. Agar  $R=40 N$  bo'lsa, dinamo momentini toping.

**11.**  $O$  keltirish markaziga nisbatan kuchlar sistemasining bosh vektor  $R=15 N$  va bosh momenti  $\dot{M}_0 = 60 Nm$  hamda bu vektorlar  $\alpha = 60^\circ$  li burchak hosil qiladi.

Dinamo momentini toping.

**12.**  $O$  keltirish markaziga nisbatan kuchlar sistemasining bosh momenti  $M_0=20 Nm$  va bosh vektori  $R=10 N$ . Agar  $OA=2 m$  bo'lsa,  $A$  nuqtaga nisbatan bosh momentning modulini toping.

#### Mustaqil ishlash uchun savol va topshiriqlar

1. Kuchlarni bitta markazga keltirish haqidagi teoremani isbotlang.
2. Fazoda kuchlar sistemasining bosh vektori va bosh momenti qanday hisoblanadi?
3. Fazoda kuchlar sistemasi qachon bitta teng ta'sir etuvchiga keltiriladi?
4. Kuchlar sistemasi qachon bitta justiga keltiriladi?
5. Kuchlar sistemasi qachon dinamoga keltiriladi?
6. Dinamo o'qining tenglamasi qanday ko'rinishda bo'ladi?
7. Qanday kuchlar sistemasi dinamoni hosil qiladi?

### 5.8. Fazoda ixtiyoriy ravishda joylashgan kuchlar sistemasining muvozanat shartlari

*Kuch, kuchlar sistemasi, kuch momenti, bosh moment, kuchning o'qqa nisbatan momenti, muvozanat shartlari.*

Kuchlar sistemasini bir markazga keltirish teoremasidan foydalanib, qattiq jismga ta'sir etuvchi kuchlar sistemasini bitta kuchga va bitta justga keltirilishi mumkin.

Fazoda kuchlar sistemasi muvozanatda bo'lishi uchun bosh vektor va bosh momentning nolga teng bo'lishi zarur va yetarli, ya'ni

$$\dot{R} = \sum_{i=1}^n \ddot{F}_i = 0; \quad \dot{M}_0 = \sum_{i=1}^n \vec{mom}_0(\ddot{F}_i) = 0. \quad (5.8.1)$$

Bosh vektor va bosh momentning nolga tengligidan ularning koordinata o'qlaridagi proyeksiyalarining ham nolga tengligi kelib chiqadi. Shuning uchun (5.8.1) tenglamalarning koordinata o'qlariga proyeksiylab, oltita skalar tenglamalar sistemasini hosil qilish mumkin, ya'ni

$$R_x = \sum_{i=1}^n F_{ix} = 0, \quad R_y = \sum_{i=1}^n F_{iy} = 0, \quad R_z = \sum_{i=1}^n F_{iz} = 0; \quad (5.8.2)$$

$$M_x = \sum_{i=1}^n mom_x(\vec{F}_i) = \sum_{i=1}^n (y_i F_{iz} - z_i F_{iy}) = 0,$$

$$M_y = \sum_{i=1}^n mom_y(\vec{F}_i) = \sum_{i=1}^n (z_i F_{ix} - x_i F_{iz}) = 0, \quad (5.8.3)$$

$$M_z = \sum_{i=1}^n mom_z(\vec{F}_i) = \sum_{i=1}^n (x_i F_{iy} - y_i F_{ix}) = 0.$$

(5.8.2) va (5.8.3) tenglamalardan foydalanib, fazoda kuchlar sistemasining muvozanat shartlarini boshqacha talqin qilish ham mumkin: fazoda kuchlar sistemasi muvozanatda bo'lishi uchun sistema kuchlarining koordinata o'qlaridagi proyeksiyalarini yig'indisi va koordinata o'qlariga nisbatan momentlari yig'indisi alohida-alohida nolga teng bo'lishi zarur va yetarli.

## **5.9. Fazoda ixtiyoriy ravishda joylashgan kuchlar sistemasining muvozanatiga doir masalalarni yechish bo'yicha tavsiyalar**

Fazoda ixtiyoriy ravishda joylashgan kuchlar sistemasining muvozanatiga doir masalalarni quyidagi tartibda yechish tavsiya etiladi.

1. Koordinatalar sistemasi boshini iloji boricha ko'proq noma'lum reaksiya kuchlarining ta'sir chiziqlari kesishgan nuqtada olish, koordinata o'qlari yo'nalishini kuchlar momentlarini hisoblashga qulay qilib tanlash kerak.

2. Qattiq jismga ta'sir etayotgan aktiv kuchlatni shaklga koordinat o'qlariga parallel tuzuvchilarga ajratib qo'yish kerak.

3. Bog'lanish aksiomasidan foydalanib, bog'lanish reaksiyalarini shaklga qo'yib olinadi.

4. Tanlangan koordinatalar sistemasiiga nisbatan (5.8.2) va (5.8.3) muvozanat tenglamalarini tuzish lozim.

5. Tuzilgan muvozanat tenglamalarini yechib, noma'lumlarni topish kerak. Topilgan noma'lumning ishorasiga qarab, ularning haqiqiy yo'naliishi aniqlanadi.

**2.1-masala. (И.В.Мешcherский 8.7).** Yorug'lik mashinasi lyukining qopqog'ini  $FG$  tirkak gorizontal holatda ushlab turadi, bu tirkak shu qopqoq o'qidan  $EF = 1,5$  m masofadagi  $F$  nuqtada qopqoqqa tiralgan. Qopqoqning og'irligi  $P = 180\text{N}$ ; uning bo'yisi  $CD = 2,3\text{m}$ , eni  $CE = 0,75\text{m}$ ;  $A$  va  $B$  sharnirlar bilan qopqoq chetlari orasidagi masofa  $AE = BS = 0,15\text{m}$ .  $A$  va  $B$  sharnirlar reaksiyasi hamda  $FG$  tirkakdagi  $C$  zo'riqish topilsin.

*Berilgan:*  $P = 180\text{N}$ ;  $CD = 2,3\text{m}$ ,  
 $CE = 0,75\text{m}$ ,  $AE = BS = 0,15\text{m}$ ,  
 $EF = 1,5\text{m}$ .

*Topish kerak:*  $y_A$ ,  $z_A$ ,  $y_B$ ,  $z_B$ ,  $S$ .

**Yechish.** Koordinatalar sistemi shaklda ko'rsatilganday tanlanadi. Qopqoqqa ta'sir etuvchi aktiv kuchlarni va bog'lanish reaksiyalarini shaklda tasvirlanadi. Tanlangan koordinatalar sistemasiiga nisbatan (5.8.2) va (5.8.3) tenglamalar sistemasi tuziladi:

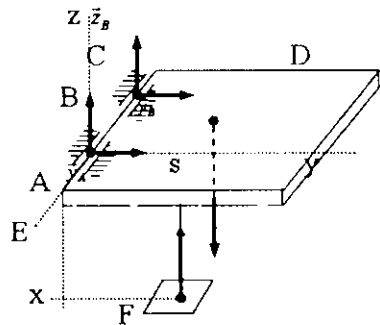
$$\sum_{i=1}^6 F_{ix} \equiv 0; \quad \sum_{i=1}^6 F_{iy} = Y_A + Y_B = 0;$$

$$\sum_{i=1}^6 F_{iz} = Z_A + Z_B + S - P = 0;$$

$$\sum_{i=1}^6 mom_x(\dot{F}_i) = \sum_{i=1}^6 (y_i F_{iz} - z_i F_{iy}) = -\frac{CD}{2}P + EF \cdot S = 0;$$

$$\sum_{i=1}^6 mom_y(\dot{F}_i) = \sum_{i=1}^6 (z_i F_{ix} - x_i F_{iz}) = AB \cdot Z_B - \frac{AB}{2}P - AE \cdot S = 0;$$

$$\sum_{i=1}^6 mom_z(\dot{F}_i) = \sum_{i=1}^6 (x_i F_{iy} - y_i F_{ix}) = -AB \cdot Y_B = 0.$$



119-shakl.

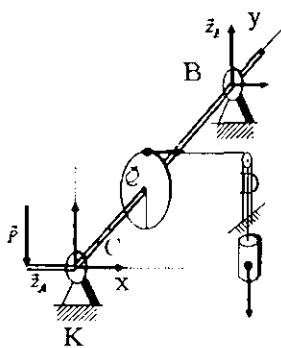
Bu tenglamalarning birinchi va oxirgisidan  $y_B = y_A = 0$ , uchin-chidan

$$S = \frac{CD}{2EF} P = \frac{2.3M}{2 \cdot 1.5} \cdot 180N = 138N,$$

to'rtinchi va ikkinchisidan

$$z_B = \frac{1}{2} P + \frac{AE}{AB} S = 90N + 46N = 136N,$$

$$z_A = P - Z_B - S = (180 - 136 - 138)N = -94N.$$



120-shakl.

$AC = CB = 50\text{ sm}$ .

Topish kerak:  $R, x_A, z_A, x_B, z_B$ .

**Yechish.** Koordinatalar sistemasi shaklda ko'rsatilgandek tanlanadi va bu sistemaga nisbatan (5.8.3) muvozanat tenglamalari tuziladi:

$$\left\{ \begin{array}{l} \sum_{i=1}^6 F_{ix} = X_A + X_B + Q = 0; \\ \sum_{i=1}^6 F_{iy} = 0; \\ \sum_{i=1}^6 F_{iz} = Z_A - P + Z_B = 0; \end{array} \right.$$

$$\left\{ \begin{array}{l} \sum_{i=1}^n (y_i F_{ix} - z_i F_{iy}) = AB \cdot Z_B = 0; \\ \sum_{i=1}^6 (z_i F_{ix} - x_i F_{iz}) = -AK \cdot P + R \cdot Q = 0; \\ \sum_{i=1}^6 (x_i F_{iy} - y_i F_{ix}) = -AC \cdot Q - AB \cdot X_B = 0. \end{array} \right.$$

Bu tenglamalarning to'rtinchisidan  $z_B = 0$ , beshinchi va oltinchisidan  $x_B = -400\text{ N}$ ,  $P = 100\text{ N}$ , birinchi va ikkinchisidan  $z_A = 100\text{ N}$ ,  $x_A = -Q - x_B = -400\text{ N}$ .

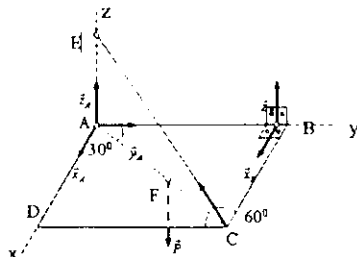
**2.3-masala (И.В.Мешчерский 8.24).** Og'irligi  $200\text{ N}$  bo'lgan bir jinsli to'g'ri burchakli rom  $A$  sharli sharnir va  $B$  halqa yordami bilan devorga biriktirilgan bo'lib, uni  $CE$  arqon gorizontal holda ushlab turadi, arqon devorning  $A$  bilan bir vertikaldagi  $E$  nuqtatasiga qoqilgan mixga va romning  $C$  nuqtasiga bog'langan;

$\angle ECA = \angle BAC = 30^\circ$ . Arqondagi tortilish kuchi va tayanchlardagi reaksiyalar aniqlansin (121-shakl).

Berilgan:  $P = 200$ ,  $\angle ECA = \angle BAC = 30^\circ$ .

*Topish kerak:*  $x_A, y_A, z_A, x_B, z_B, T$ .

**Yechish.** Koordinatalar sistemasi 121-shaklda tasvirlangan. Bog'lanish reaksiyalarini shaklda ko'rsatilganday qilib olamiz.



### 121-shakl.

(5.8.2) va (5.8.3) tenglamalar sistemasi tuziladi:

$$R_x = \sum_{i=1}^7 F_{ix} = x_A + x_B - T \cos 30^\circ \cos 60^\circ = 0,$$

$$R_y = \sum_{i=1}^7 F_{iy} = y_A - T \cos 30^\circ \cos 30^\circ = 0, \quad (a)$$

$$R_z = \sum_{i=1}^7 F_{iz} = z_A + z_B + T \cos 60^\circ - P = 0;$$

$$M_x = \sum_{i=1}^n (y_i F_{iz} - z_i F_{iy}) = \frac{b}{2} (-P) + b T \cos 60^\circ + b \cdot z_B = 0$$

$$M_y = \sum_{i=1}^n (z_i F_{ix} - x_i F_{iz}) = -\frac{a}{2} (-P) - a T \cos 60^\circ = 0 \quad (b)$$

$$M_z = \sum_{i=1}^n (x_i F_{iy} - y_i F_{ix}) = -bx_B = 0,$$

bunda  $a$  va  $b$  lar romning o'lchamlari. Tenglamalar sodda holga keltirib yoziladi:

$$\begin{cases} x_A + x_B - \frac{\sqrt{3}}{2} T = 0; & y_A - \frac{3}{4} T = 0; \\ z_A + z_B + \frac{1}{2} T - P = 0; & z_B + \frac{1}{2} T - \frac{1}{2} P = 0; \\ \frac{1}{2} T - \frac{1}{2} P = 0; & x_B = 0. \end{cases} \quad (c)$$

Bu sistemani yechib, noma'lumlar topiladi:

$$x_B = 0, \quad T = P = 200 \text{ N}, \quad z_B = \frac{1}{2} (P - T) = 0,$$

$$z_A = P - z_B - \frac{1}{2} T = 100 \text{ N}, \quad y_A = \frac{3}{4} T = 150 \text{ N},$$

$$x_A = \frac{\sqrt{3}}{4} T - x_B = 86,6 \text{ N}.$$

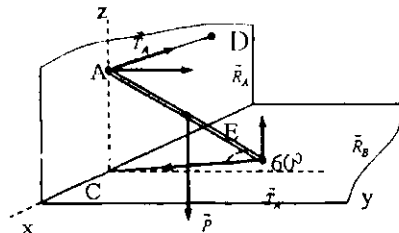
**2.4-masala (И.В.Мешcherеский 8.30).**  $AB$  sterjenni ikkita gorizontallar  $AD$  va  $BC$  arqonlar qiya holda ushlab turadi. Bunda sterjen  $A$  nuqtaga vertikal devorga,  $B$  nuqtaga esa gorizontal polda tiralgan.  $D$  nuqta ham vertikal devorda yotadi.  $A$  va  $C$  nuqtalar bir vertikal chiziqdagi yotadi. Sterjenning og'irligi  $8 \text{ N}$ .  $A$  va  $B$  nuqtalardagi ishqalanish hisobga olinmaydi. Sterjenning muvozanat holatda qolish mumkinligi tekshirilsin va arqonlarning  $T_A$  va  $T_B$  tortilish

Kuchlari hamda tayanch tekisliklarning reaksiyalari aniqlansin:  
 $\angle ABC = \angle BCE = 60^\circ$  (122-shakl).

*Berilgan:*  $P = 8\text{N}$ ,  $\angle ABC = \angle BCE = 60^\circ$ .

*Topish kerak:*  $T_A, T_B, R_A, R_B$ .

*Yechish.* Koordinatalar sistemasi 122-shaklda ko'rsatilganday qilib tanlanadi.  $AB$  sterjenning uzunligi  $\ell$  bilan belgilanadi. Kuchlar qo'yilish nuqtalarining koordinatalari va koordinata o'qlaridagi proyeksiyalari hisoblanadi.



122-shakl.

$\vec{P}$  kuchining qo'yilish nuqtasining koordinatalari:

$$x_E = -\frac{\ell}{2} \cos 60^\circ \cos 60^\circ = -\frac{1}{8} \ell;$$

$$y_E = \frac{\ell}{2} \cos 60^\circ \cos 30^\circ = \frac{\sqrt{3}}{8} \ell;$$

$$z_E = \frac{\ell}{2} \sin 60^\circ = \frac{\sqrt{3}}{4} \ell; \text{ proyeksiyalari } (0; 0; -P) \text{ bo'ladi. } \vec{T}_A \text{ va}$$

$\vec{R}_A$  kuchlari qo'yilish nuqtasining koordinatalari:

$$x_A = 0; \quad y_A = 0; \quad z_A = \ell \sin 60^\circ = \frac{\sqrt{3}}{2} \ell;$$

proyeksiyalari  $\vec{R}_A (0; R_A; 0)$ ,  $\vec{T}_A (-T_A; 0; 0)$  larga teng.  $\vec{T}_B$  va  $\vec{R}_B$  kuchlari qo'yilish nuqtasining koordinatalari:

$$x_B = -\ell \cos 60^\circ \cos 60^\circ = -\frac{1}{4} \ell,$$

$$y_B = \ell \cos 60^\circ \cos 30^\circ = \frac{\sqrt{3}}{4} \ell, \quad z_B = 0,$$

proyeksiyalari:  $\vec{R}_B(0; 0; \vec{R}_B)$ ,  $\vec{T}_B\left(\frac{1}{2}T_B; -\frac{\sqrt{3}}{2}T_B; 0\right)$  bo'ladi.

Endi (5.8.2) va (5.8.3) muvozanat tenglamalari tuziladi:

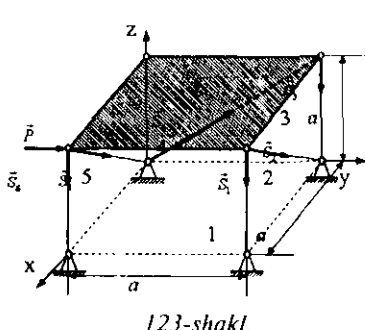
$$\begin{aligned}\sum_{i=1}^5 F_{ix} &= -T_A + \frac{1}{2}T_B = 0, \quad \sum_{i=1}^5 F_{iy} = R_A - \frac{\sqrt{3}}{2}T_B = 0, \\ \sum_{i=1}^5 F_{iz} &= -P + R_B = 0, \\ \sum_{i=1}^5 (y_i F_{iz} - z_i F_{iy}) &= -\frac{\sqrt{3}}{2}\ell R_A - \frac{\sqrt{3}}{8}\ell P + \frac{\sqrt{3}}{4}\ell R_B = 0, \\ \sum_{i=1}^5 (z_i F_{ix} - x_i F_{iz}) &= -\frac{1}{4}\ell P - \frac{\sqrt{3}}{2}\ell T_A + \frac{1}{4}\ell R_B = 0, \\ \sum_{i=1}^5 (x_i F_{iy} - y_i F_{ix}) &\equiv 0,\end{aligned}\tag{a}$$

(a) tenglamalarni yechib, noma'lumlar topiladi:

$$R_B = P = 8H, \quad R_A = \frac{1}{4}(2R_B - P) = 2H,$$

$$T_A = \frac{1}{4\sqrt{3}}(R_B - P) = 1,15N, \quad T_B = 2T_A = 2,3N.$$

**2.5-masala (И.В.Менгичерский 8.28).**  $ABCD$  kvadrat plitaning  $BD$  tomoni bo'ylab gorizontal  $P$  kuch ta'sir qilsa, uni ushlab turadigan oltita tayanch sterjenlardagi zo'riqishlar aniqlansin. O'lchamlar shaklda ko'rsatilgan (123-shakl).



*Yechish.* Uchlari sharnir bilan biriktirilgan og'irligi hisobga olinmaydigan sterjenlarning reaksiya kuchlari shu sterjenlar bo'ylab yo'nalgan bo'ladi. Reaksiya kuchlarini shaklda tasvirlab olinadi. Koordinatlar sistemasi shaklda ko'rsatilganday qilib tanlanadi.

Muvozanat tenglamalari tuziladi:

$$\sum_{i=1}^8 F_{ix} = -S_2 \cos 45^\circ - S_5 \cos 45^\circ = 0,$$

$$\sum_{i=1}^8 F_{iy} = P + S_4 \cos 45^\circ = 0,$$

$$\sum_{i=1}^8 F_{iz} = -S_1 - S_2 \cos 45^\circ - S_3 + S_4 \cos 45^\circ - S_5 \cos 45^\circ - S_6 = 0 ,$$

$$\sum_{i=1}^8 mom_x(\vec{F}_i) = S_1 a + S_2 a \cos 45^\circ - P \cdot a = 0$$

$$\sum_{i=1}^8 mom_y(\vec{F}_i) = S_1 a + S_6 a = 0, \quad \sum_{i=1}^8 mom_z(\vec{F}_i) = S_2 a \cos 45^\circ - P \cdot a = 0.$$

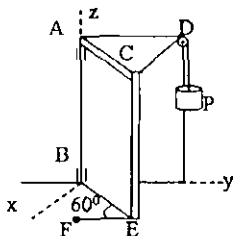
Bu tenglamalar sistemasini yechib, noma'lumlar topiladi:

$$S_2 = -\sqrt{2}P, \quad S_1 = P - \frac{\sqrt{2}}{2}S_2 = 2P, \quad S_4 = -\sqrt{2}P,$$

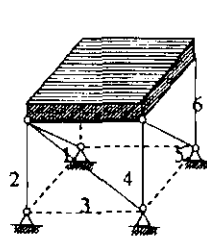
$$S_5 = \sqrt{2}P, \quad S_6 = -2P, \quad S_3 = -P.$$

### Muammoli masala va topshiriqlar

**1.** *AB* aylanish o'qi vertikal bo'lgan to'g'ri burchakli eshik  $CAD=60^\circ$  burchakka ochilgan, uni shu vaziyatda ikki arqon ushlab turadi. *CD* arqon blokdan o'tkazilgan bo'lib, uni  $P=320N$  yuk tortib turadi, ikkinchisi *EF* arqon polning *F* nuqtasiga bog'langan. Eshikning og'irligi  $640N$ ; uning eni  $AD=AC=1,8\text{ m}$ ; balandligi  $AB=2,4\text{ m}$ . Blokdagi ishqalanishni hisobga olmay, *EF* arqonning tortilish kuchi  $T$  hamda *A* nuqtadagi silindrik sharnirning va *B* nuqtadagi podshipnikning reaksiyalari aniqlansin.

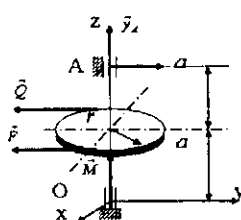


1-masala.

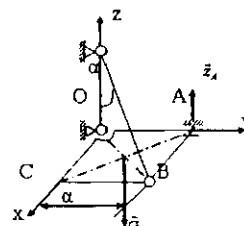


2-masala.

2. To'g'ri burchakli parallelepiped shaklidagi bir jinsli gorizontal plita oltita to'g'ri chiziqli sterjenlar bilan qo'zg'almas qilib yerga biriktirilgan; plitaning og'irligi  $R$  ga teng. Agar sterjennarning uchlari plita va qo'zg'almas asoslarga sharnirlar bilan biriktirilgan bo'lsa, plitaning og'irligi ta'sirida sterjenlarda hosil bo'ladigan zo'riqishlarni aniqlang. 3. Shkivga qo'yilgan  $F=2Q=12N$  kuchlar momenti  $M=18Nm$  ga teng bo'lган just kuch bilan muvozanatlashadi.  $Ox$  o'qiga nisbatan momentlar tenglamasini tuzib,  $A$  podshipnikning reaksiyasini aniqlang.



3-masala.

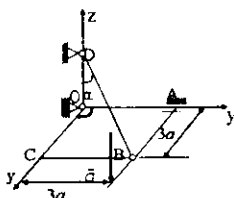


4-masala.

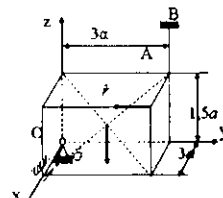
4. Bir jinsli kvadrat rom  $G=140N$  og'irlilik kuchi va bog'lanishlar reaksiyalari ta'sirida gorizontal holatda ushlab turiladi.  $OB$  o'qqa nisbatan momentlar tenglamasini tuzib,  $A$  sharnirning reaksiyasini toping. Romning tomonlari  $a = 0,5m$  va  $\alpha=60^\circ$ .

5. Og'irligi  $G=30N$  bo'lган bir jinsli  $OABC$  plita  $O$  va  $A$  sharnirlar hamda  $BD$  tros bilan gorizontal holatda ushlab turiladi. Agar  $\alpha = 60^\circ$ ;  $a = 2m$  bo'lsa, trosning tortilish kuchini toping.

6. Og'irligi  $G=11kN$  bo'lган jism bog'lanishlar va  $F = 3kN$  kuch ta'sirida muvozanatda turadi.  $Ox$  o'qiga nisbatan momentlar tenglamasini tuzib,  $AB$  sim arqonning tortilish kuchini toping.  $a = 0,2m$ .



5-masala.

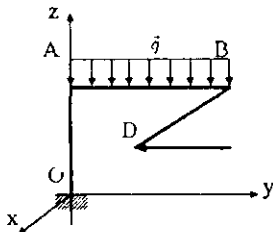


6-masala.

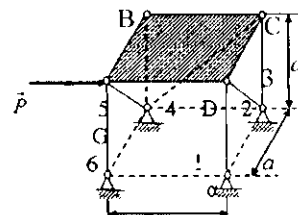
7. Figurali  $OABD$  balka muvozanat holatda turadi. Balkaga  $F=1t$  to'plangan kuch va  $q=2t/m$  taqsimlangan kuch ta'sir qiladi. Agar  $OA=1,7m$ ,  $AB=2m$ ,  $BD=3,4m$  va  $BD \parallel Ox$  bo'lsa,  $O$  nuqtalardagi bog'lanishning  $Oz$  o'qi bo'ylab yo'nalgan tuzuvchisini toping.

8.  $ABCD$  kvadrat plitaning  $BD$  tomoni bo'ylab gorizontal  $P$  kuch ta'sir qilsa, uni ushlab turadigan oltita tayanch sterjenlardagi zo'riqishlar aniqlansin.

O'lchovlar shaklda ko'rsatilgan.



7-masala.



8-masala.

### Mustaqil ishlash uchun savol va topshiriqlar

1. Fazoda ixtiyoriy ravishda joylashgan kuchlar sistemasi nechta muvozanat tenglamalariga ega?
2. Kuchlar sistemasining bosh vektori qanday hisoblanadi?
3. Kuchlar sistemasining bosh momenti qanday hisoblanadi?
4. Fazoda juftlar sistemasining muvozanat tenglamalari qanday ko'rinishda bo'ladi?

### 5.10. Fazoda parallel kuchlar sistemasining muvoznat shartlari

*Kuch, parallel kuchlar sistemasi, teng ta'sir etuvchi, nuqta va koordinata tekisliklariga nisbatan statik moment*

Fazoda ixtiyoriy ravishda ta'sir etuvchi parallel kuchlar sistemasi berilgan bo'lsin. Koordinata o'qlaridan bittasini, masalan  $z$  o'qini berilgan kuchlarga parallel qilib olamiz. U holda berilgan

kuchlarning hammasi Oxy tekisligiga perpendikulardir, shuning uchun kuchlarning  $x$  va  $y$  o'qlaridagi proyeksiyalari yig'indisi aynan nolga teng bo'ladi, ya'ni

$$\sum_{i=1}^n F_{ix} = 0,$$

$$\sum_{i=1}^n F_{iy} = 0$$

Berilgan kuchlar  $z$  o'qiga parallel bo'lgani uchun ularning shu o'qqa nisbatan momentlari nolga teng va demak  $z$  o'qiga nisbatan bosh momenti ham aynan nolga teng,

ya'ni  $M_z = \sum_{i=1}^n mom_z(\vec{F}_i) = 0.$

Natijada (5.8.2) va (5.8.3) tenglamalarning uchtasi ayniyatga aylanib, qolgan uchtasi parallel kuchlar sistemasining muvozanat shartlarini ifodalaydi, ya'ni

$$\begin{aligned} R_z &= \sum_{i=1}^n F_{iz} = 0, \\ M_x &= \sum_{i=1}^n mom_x(\vec{F}_i) = 0, \\ M_y &= \sum_{i=1}^n mom_y(\vec{F}_i) = 0. \end{aligned} \tag{5.10.1}$$

Demak, fazoda parallel kuchlar sistemasi muvozanatda bo'lishi uchun kuchlarning ularga parallel o'qdagi proyeksiyalari yig'indisi va kuchlarga perpendikular bo'lgan ikkita koordinata o'qlardagi proyeksiyalari yig'indisi alohida-alohida nolga teng bo'lishi zarur va yetarlidir.

Fazoda parallel kuchlar sistemasining muvozanatiga doir masalalarni yechishda I bobning 7-§dagi uslubiy tartibga rioya qilishni tavsiya etamiz.

## 5.11. Fazoda parallel kuchlar sistemasining muvozнат shartlariga doir masalalar

### 5.11.1-masala. (O.Ә. Kene)

**5.5.7) ABCD kvadrat shaklidagi bir jinsli plita (1), (2) va (3) sterjenlar yordamida gorizontal holatda ushlab turiladi. (3) sterjenda hech qanday zo'riqish hosil bo'lmasligi uchun A nuqtaga qanday Q kuch qo'yilishi kerak?  $G=100N$ ,  $a = 1m$  (124-shakl).**

*Berilgan.*  $G=100N$ ,  $a = 1m$ .

$R_3=0$  bo'lishi uchun  $Q$  qanday bo'lishi kerak?

**Yechish.** Fazoda parallel kuchlar sistemasining muvozнат shartlarini ifodalovchi (5.10.1) tenglamalardan foydalaniб Q ni topish mumkin, ya'ni

$$\sum_{i=1}^n mom_x(\bar{F}_i) = aQ - aG + 3aR_3 = 0,$$

$R_3=0$  ni bu tenglamaga qo'yib,  $Q$  topiladi, ya'ni

$$Q = G = 100N.$$

### 5.11.2-masala. (O.Ә. Kene)

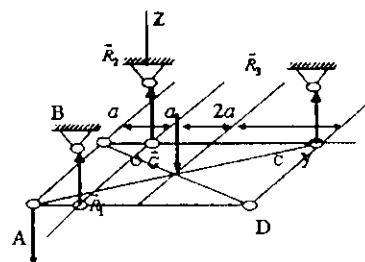
**5.5.11). Bir jinsli uchburchakli rom uchta vertikal sim arqon yordamida gorizontal holatda ushlab turiladi. Rom qismlarining og'irliklari mos ravishda**

$$G_1 = G_3 = 101N, \quad G_2 = 143N$$

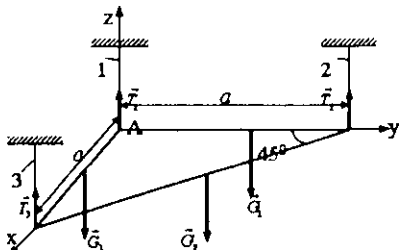
bo'lsa, sim arqonlardagi tortilish kuchlari topilsin (125-shakl).

**Yechish.** Koordinatalar sistemasi shaklda ko'rsatilgandek tanlanadi. (5.10.1) tenglamalar sistemasi tuziladi:

$$\sum_{i=1}^6 F_{ix} = T_1 + T_2 + T_3 - G_1 - G_2 - G_3 = 0,$$



125-shakl.



125-shakl.

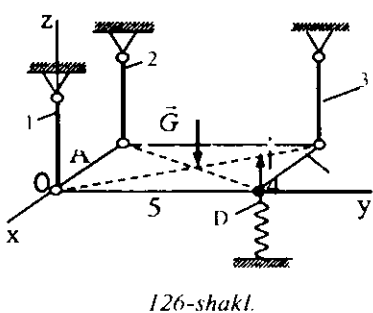
$$\sum_{i=1}^6 \text{mom}_x (\vec{F}_i) = \sum_{i=1}^6 (y_i F_{ix} - z_i F_{iy}) = -\frac{a}{2} G_1 - \frac{a}{2} G_2 + a T_2 = 0,$$

$$\sum_{i=1}^6 \text{mom}_y (\vec{F}_i) = \sum_{i=1}^6 (z_i F_{ix} - x_i F_{iz}) = \frac{a}{2} G_2 + \frac{a}{2} G_3 - a T_3 = 0$$

Bu tenglamalar sistemasini yechib, noma'lumlar topiladi:

$$T_3 = \frac{1}{2} (G_2 + G_3) = 122 N, \quad T_2 = \frac{1}{2} (G_1 + G_2) = 72 N$$

$$T_1 = G_1 + G_2 + G_3 - T_2 - T_3 = 151 N.$$



**5.11.3-masala. (О.Ә.Кеңе 5.5.15).** To'g'ri burchakli gorizontal  $OABD$  platforma uchta vertikal sterjenlarga sharnirlar bilan mahkamlangan.  $D$  nuqtada vertikal prujina kuch bilan ko'taradi. O'lchamlar:  $OA = 1,5AB$ , platformaning og'irligi  $G = 1kN$ . Sterjenlardagi reaksiya kuchlari topilsin (126-shakl).

**Yechish.** Koordinatalar sistemi shaklda ko'rsatilganday qilib tanlanadi. Tanlangan koordinatalar sistemasiga nisbatan (5.10.1) tenglamalar tuziladi:

$$\sum_{i=1}^5 F_{iz} = T_1 + T_2 + T_3 + Q - G = 0,$$

$$\sum_{i=1}^6 (y_i F_{ix} - z_i F_{iy}) = -\frac{AB}{2} G + AB T_3 + AB Q = 0,$$

$$\sum_{i=1}^5 (z_i F_{ix} - x_i F_{iz}) = \frac{OA}{2} G - OAT_1 - OAQ = 0.$$

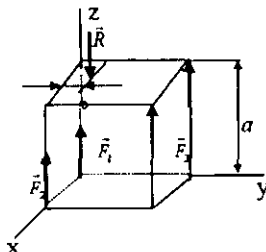
Bu tenglamalar sistemasini yechib, noma'lumlar topiladi:

$$T_1 = \frac{G}{2} - Q = 0, \quad T_3 = \frac{G}{2} - Q = 0,$$

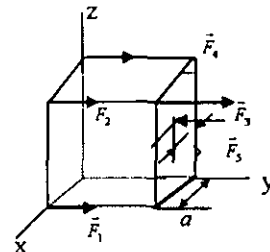
$$T_2 = G - Q - T_1 - T_3 = 0,5kN.$$

## Muammoli masala va topshiriqlar

1. Kubga qo'yilgan  $\vec{F}_1, \vec{F}_2, \vec{F}_3$  va  $\vec{F}_4$  kuchlar  $\vec{R}$  kuch bilan muvozanatlashadi.  $\vec{R}$  kuchning qo'yilish nuqtasi  $Oxz$  tekisligidan qanday  $b$  masofada bo'lishi aniqlansin. Kubning qirralari  $a=1\text{m}$ ,  $F_1=F_2=15\text{N}$ ,  $F_3=F_4=5\text{N}$  va  $R=40\text{N}$ .



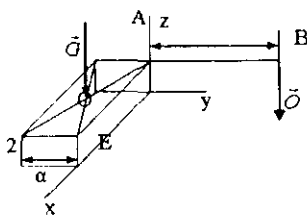
1-masala.



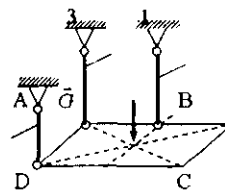
2-masala.

2. Parallelepipedga  $Oy$  o'qiga parallel  $F_1=F_2=F_3=F_4=10\text{N}$  va  $F_5=40\text{N}$  kuchlar qo'yilgan.  $F_5$  Kuch  $Oyz$  tekislikidan qanday masofada joylashgan. Parallelepiped qirralari  $a = 0,4\text{m}$ .

3. Og'irligi  $G=100\text{kN}$  bo'lgan fundamentga  $AB \parallel Oy$  konsol balka mahkamlangan. Fundamentni  $Ox$  o'qi atrofida ag'anatish uchun kerak bo'lgan eng kichik kuchni toping.  $a = 0,5\text{m}$ ,  $b = 5\text{m}$ . Balkaning og'irligi hisobga olinmasin.



3-masala.



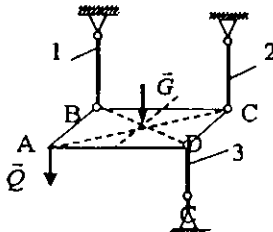
4-masala.

4. Og'irligi  $G=500\text{N}$  bo'lgan bir jinsli plita  $A, D, E$  nuqtalarida (1), (2), (3) sterjenlarga osilgan.  $AD=2AE$  bo'lsa, (1) sterjendagi zo'riqishni toping.

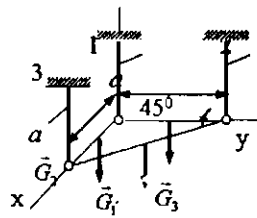
**5.** 4-masalaning shartlari berilganda (2) va (3) sterjenlardagi zo'riqishlar topilsin.

**6.**  $ABCD$  kvadrat shaklidagi plita gorizontal holatda (1), (2), (3) sterjenlarga mahkamlangan. A nuqtaga  $\bar{Q}=185\text{N}$  kuch qo'yilgan. (2) sterjendagi zo'riqishni toping.  $G=115\text{N}$ .

**7.** 6-masalaning shartlari berilganda (2) sterjenda hech qanday zo'riqish bo'lmasligi uchun  $Q$  kuchning miqdori qancha bo'lishini toping.



6-masala.

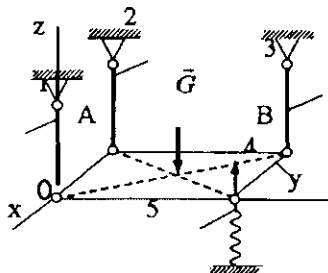


7-masala.

**8.**  $ABC$  bir jinsli uchburchakli plita (1), (2), (3) vertikal sim arqonlar yordamida gorizontal holatda ushlab turiladi. Agar  $G_1=G_3=101\text{N}$ ,  $G_2=143\text{N}$  bo'lsa, (3) sim arqonning tortilish kuchini toping.

**9.** 8-masala shartlari berilganda (1) va (2) sim arqonlardagi tortilish kuchlari topilsin.

**10.** To'g'ri burchakli platforma (1), (2) va (3) vertikal sterjenlar yordamida gorizontal holatda ushlab turiladi. Sterjenlar shar-



20-masala.

nirlar yordamida mahkamlangan. Platformaning o'lchamlari  $OA=1,5\text{ AB}$ , og'irligi  $G=1kN$ .  $D$  nuqtada 5 prujina  $Q=0,5kN$  kuch bilan platformaga ta'sir ko'rsatadi. (2) sterjendagi zo'riqishni toping.

### Mustaqil ishlash uchun savol va topshiriqlar

1. Fazoda parallel kuchlar sistemasining muvozanat shartlari qanday tenglamalar bilan ifodalanadi?
2. Parallel kuchlar sistemasining teng ta'sir etuvchisi qanday topiladi?
3. Agar parallel kuchlar bir tekislikda yotsa, muvozanat tenglamalarini qanday ko'rinishda yozish mumkin?
4. Berilgan kuchni ikkita parallel kuchga ajratish masalasi qachon aniq masala bo'ladi?
5. Parallel kuchlar sistemasi teng ta'sir etuvchsining yo'nalishi berilgan kuchlar sistemasining nimasiga bog'liq?

## VI BOB. NUQTA HARAKATINING TENGLAMASI VA KINEMATIK ELEMENTLARI

Kinematika nazariy mexanikaning bo'limi bo'lib, unda moddiy obyektlarining (nuqta, qattiq jism, tutash muhit va hokazo) harakati shu harakatni yuzaga keltirib chiqaruvchi sabablarga bog'lamay o'rganiladi. Harakatning bunday tarzda o'rganishda qaralayotgan obyektga ta'sir etuvchi kuchlar e'tiborga olinmaydi va obyektning massasi yoki inersiya momentini bilish talab qilinmaydi, ya'ni harakat geometrik nuqtayi nazardan o'rganiladi. Ushbu bobda moddiy nuqtaning har xil harakatlari va harakatning kinematik xarakteristikalarini o'rganiladi.

### 6.1. Asosiy tushunchalar

*Moddiy nuqta, sanoq sistemasi, trayektoriya, ko'chish, tezlik va tezlanish.*

Moddiy obyektlarning yoki moddiy nuqtaning harakati fazoda vaqt o'tishi bilan sodir bo'ladi. Kinematika geometriyadan shu bilan

farq qiladiki, kinematikada obyektlarning fazoda ko'chishida uni ko'chish vaqt ham e'tiborga olinadi. Demak, kinematikada obyektlarning ixtiyoriy paytdagi holati uning geometrik koordinatalaridan tashqari vaqtga ham bog'liq bo'lar ekan. Shuninig uchun ham kinematikani ba'zan to'rt o'lchovli fazodagi geometriya deb ham atash mumkin. To'rtinchchi koordinata sifatida vaqt olinadi. Vaqt bu shunday o'zgaruvchiki, u fazoda ham va shu fazoda harakatlanuvchi obyektga ham bog'liq emas, ya'ni fazoning hamma joyida bir xil o'zgaradi. Moddiy obyektning harakati boshqa bir obyektga, ya'ni sanoq obyektiga nisbatan kuzatiladi. Sanoq obyektiga biror koordinalar sistemasini mahkamlab, moddiy obyektning harakati shu sanoq sistemasiga nisbatan o'r ganiladi.

Vaqtning harakatga bog'liqmasligi shundan iboratki, har xil sanoq sistemalariga nisbatan harakatlanuvchi jismlar uchun vaqt bir xil o'zgaradi. Mexanik masalalarni yechishda vaqtning hisob boshi har safar kelishib olinadi. Texnik masalalarini yechishda, odatda, Yerga qo'zg'almas qilib mahkamlangan sanoq sistemasi olinadi. Yerga nisbatan qo'zg'almas bo'lgan sanoq sistemasiga asosiy yoki *qo'zg'almas sanoq sistemasi* deyiladi. Tanlangan sanoq sistemasiga nisbatan jismning vaziyati vaqt o'tishi bilan o'zgarmasa, jism tanlangan sanoq sistemasiga nisbatan tinch holatda deyiladi. Agar tanlangan sanoq sistemasiga nisbatan vaqt o'tishi bilan jismning vaziyati o'zgarib tursa, jism shu sanoq sistemasiga nisbatan harakatda deyiladi. Tanlangan sanoq sistemasiga nisbatan ixtiyoriy paytda jismning vaziyatini aniqlash mumkin bo'lsa, uning harakati shu sanoq sistemasiga nisbatan berilgan deyiladi.

Qattiq jismning harakati uni tashkil qiluvchi nuqtalar (zarralari)ning harakati bilan aniqlanadi. Shuning uchun ham dastlab nuqta kinematikasi, undan keyin qattiq jism kinematikasi o'r ganiladi.

Ko'chish va harakat kinematikaning asosiy tushunchalari hisoblanadi. Biror sanoq sistemasiga nisbatan nuqtaning vaqt oralig'iда fazoda bir holatdan boshqa bir holatga ixtiyoriy ravishda o'tishiga uning ko'chishi deyiladi. Nuqtaning ko'chishi uning boshlang'ich va oxirgi holatlari hamda o'tgan vaqt oralig'i bilan aniqlanadi.

Qattiq jismning yoki moddiy nuqtaning holati fazoda maxsus parametr (koordinata)lar bilan aniqlanadi. Jismning harakati esa bu parametrlar bilan vaqt orasidagi bog'lanishni ifodalovchi tenglamalar bilan beriladi.

Kinematikaning asosiy masalasi: absolut qattiq jism (moddiy nuqta)ning berilgan harakat tenglamalariga qarab, uning barcha kinematik tavsifnomalarini (barcha nuqtalarning trayektoriyalari, tezliklari, tezlanishlari va hokazo) topishdan iborat.

Nuqta kinematikasida harakatning berilish usullariga qarab, nuqtaning kinematik tavsifnomalarini topish o'rganiladi. Nuqta kinematikasida trayektoriya tushunchasi asosiy hisoblanadi. Trayektoriyaning ko'rinishiga qarab, nuqtaning harakati to'g'ri yoki egri chiziqli harakatlarga bo'linadi.

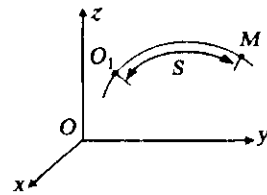
## 6.2. Nuqta harakatining berilish usullari

*Moddiy nuqta, trayektoriya, masofa, radius-vektor, egri chiziq va sirt.*

Nuqtaning harakati bir necha xil usullar bilan berilgan bo'lishi mumkin. Agar nuqtaning harakati biror usulda berilgan bo'lsa, tanlangan sanoq sistemasiga nisbatan ixtiyoriy paytda nuqtaning holatini aniqlash mumkin.

**6.2.1. Tabiiy usul.** Biror sanoq sistemasiga nisbatan nuqtaning trayektoriyasi berilgan bo'lsa, uning harakati tabiiy usulda berilgan deyiladi. Nuqtaning trayektoriyasi  $Oxyz$  koordinatalar sistemasiga nisbatan berilgan bo'lsin (127-shakl). Trayektoriyaning biror  $O_1$  nuqtasini sanoq boshi deb qabul qilib, trayektoriya bo'ylab musbat  $O_1M = S$  yo'nalishini tanlaymiz. Nuqtaning boshlang'ich  $O_1$  holati bilan keyingi  $M$  holati orasidagi  $S$  yoy vaqtning funksiyasi ko'rinishida berilgan bo'lsa, bu qonunga assosan nuqtaning ixtiyoriy paytda trayektoriya ustidagi holatini bir qiymatli aniqlash mumkin.

Agar vaqtning har bir payti uchun nuqtaning holatini tasvirlovchi masofa aniqlangan bo'lsa, ya'ni



127-shakl.

$$S = f(t) \quad (6.2.1)$$

bog'lanish berilgan bo'lsa, nuqtaning harakati tabiiy usulda aniqlangan deyiladi. (6.2.1) tenglamaga nuqtaning harakat tenglamasi deyiladi.

Aniqlanishiga ko'ra  $S=f(t)$  funksiya quyidagi shartlarni qanoatlantiradi: bir qiymatli, chunki nuqta bir vaqtning o'zida fazoning turli joyida bo'la olmaydi; uzlusiz, bu degani harakat uzlusiz, ya'ni  $t$  vaqtning cheksiz kichik o'zgarishiga,  $S$  masofaning cheksiz kichik o'zgarishi mos keladi; differensiallanuvchi. Bu shartlarning zaruriyligi kinematika va dinamikaning asosiy talablari dan kelib chiqadi.

Agar  $S=C=const$  bo'lsa, bu nuqtaning berilgan sanoq sistemasiga nisbatan tinch holatda ekanini bildiradi.

**6.2.2. Koordinatalar usuli.** Nuqtaning holati koordinatalar usulida berilgan bo'lishi uchun: sanoq obyektiga mahkamlangan biror koordinatalar sistemasiga nisbatan harakatlanuvchi nuqtaning koordinatalari vaqtning funksiyasi ko'rinishida berilishi kerak.

Uch o'lchovli fazoda nuqtaning holati  $q_1, q_2, q_3$ , koordinatalar bilan aniqlanadi. Bu koordinatalarga egri chiziqli koordinatalar deyiladi. Demak, nuqtaning koordinatalari

$$q_1 = q_1(t), \quad q_2 = q_2(t), \quad q_3 = q_3(t) \quad (6.2.2)$$

tenglamalar bilan berilgan bo'lsa, nuqtaning harakati koordinatalar usulida berilgan hisoblanadi.

Oldingi holdagidek, bu yerda ham hamma funksiyalar bir qiymatli, uzlusiz va differensiallanuvchi deb qaraladi.

Agar nuqtaning holati to'g'ri burchakli dekart koordinatalar sistemasida berilgan bo'lsa, nuqtaning ixtiyoriy paytidagi holati

$$x = x(t), \quad y = y(t), \quad z = z(t) \quad (6.2.3)$$

tenglamalar bilan aniqlanadi.

(6.2.3) tenglamalar bir tomonidan nuqtaning harakat qonunini ifodalaydi, ya'ni vaqtning ixtiyoriy paytida  $x, y, z$  koordinatalarni va demak  $M$  nuqtaning holatini aniqlash imkonini beradi, ikkinchi tomonidan trayektoriyaning parametrik tenglamalarini ifodalaydi. Bu tenglamalardan  $t$  parametrni yo'qotish mumkin bo'lsa, quyidagi tenglamalar sistemalarini hosil qilamiz:

$$\begin{cases} \varphi(x, y) = 0; & \psi(y, z) = 0; \\ \chi(x, z) = 0, & \zeta(x, z) = 0, \end{cases} \quad \begin{cases} \chi(x, z) = 0; \\ \psi(y, z) = 0. \end{cases} \quad (6.2.4)$$

Bu sistemalarning har biri nuqta trayektoriyasini ikkita sirtning kesishishi ko'rinishida tasvirlaydi.

Nuqta harakatini o'r ganishda boshqa koordinatalar sistemalaridan ham foydalanish mumkin. Masalan, silindrik, sferik va qutb koordinatalar sistemalari.

**6.2.3. Vektor usuli.** Nuqtaning ixtiyoriy paytdagi holatini biror markazga nisbatan uning radius-vektori bilan aniqlash mumkin bo'lsa, ya'ni nuqtaning holatini aniqlovchi radius-vektor  $\vec{r}$  vaqtning funksiyasi ko'rinishda berilgan bo'lsa, nuqtaning harakati vektor usulida berilgan deyiladi. Ta'r'fga asosan biror  $O$  markazga nisbatan nuqtaning holatini aniqlovchi radius-vektor vaqtning funksiyasi bo'ladi, ya'ni

$$\vec{r} = \vec{r}(t). \quad (6.2.5)$$

Agar nuqtaning dekart koordinatalari  $x, y, z$  bo'lsa, uning koordinatalar boshiga nisbatan radius-vektorining proyeksiyalari ham  $x, y, z$  bo'ladi, ya'ni

$$\vec{r} = x\vec{i} + y\vec{j} + z\vec{k}. \quad (6.2.6)$$

Agar nuqta tekislikda harakatlansa, uning harakati vektor usulda

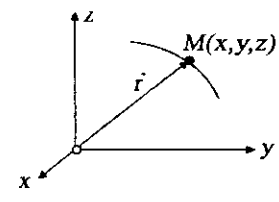
$$\dot{\vec{r}} = \dot{\vec{r}}(t) = x(t)\vec{i} + y(t)\vec{j} \quad (6.2.7)$$

ko'rinishida yoziladi.

Agar nuqtaning harakati koordinatalar usulda berilgan bo'lsa, harakatni vektor usuliga o'tkazish mumkin va aksincha. Agar nuqtaning harakati koordinatalar usulda berilgan ya'ni (6.2.3) tenglamalar berilgan bo'lsa, uning radius-vektori quyidagi ifodadan topiladi:

$$\dot{\vec{r}} = \dot{\vec{r}}(t) = x(t)\vec{i} + y(t)\vec{j} + z(t)\vec{k}.$$

Agar nuqtaning harakati dekart koordinatalarida berilgan bo'lsa, undan nuqta harakatining tabiiy tenglamasiga ham o'tish mumkin.



128-shakl.

Nuqtaning trayektoriya bo'ylab harakat qonunu differensial ko'rinishda quyidagicha yoziladi:

$$dS = \sqrt{dx^2 + dy^2 + dz^2},$$

bundan,

$$S = \int_0^t \sqrt{dx^2 + dy^2 + dz^2} = \int_0^t \sqrt{[x'(t)]^2 + [y'(t)]^2 + [z'(t)]^2} dt. \quad (6.2.8)$$

Mexanikada vaqt bo'yicha hosilalarini quyidagicha yozish kiritilgan. Masalan,  $x(t)$  funksiyadan birinchi tartibli hosilani  $\dot{x}(t)$ , ikkinchi tartibli hosila  $\ddot{x}(t)$  va hokazo ko'rinishda yoziladi.

### **6.3. Nuqtaning trayektoriya bo'ylab harakat qonuniga doir masalalarini yechish bo'yicha uslubiy tavsiyalar. Masalalar**

Nuqtaning harakat tenglamalariga doir masalalarini quyidagi tartibda yechish tavsiya etiladi:

1. Masalani yechish uchun tegishli koordinatalar sistemasini tanlash kerak.
2. Berilgan shartlardan foydalanib, tanlangan koordinatalar sistemasiga nisbatan nuqtaning harakat tenglamalari tuziladi.
3. Nuqtaning tuzilgan harakat tenglamalariga qarab, ya'ni (6.2.4) va (6.2.8) tenglamalaridan foydalanib, (6.2.4) trayektoriya tenglamalari topiladi.

**1-masala (И.В. Менгерский 10.4).** Nuqta harakatining berilgan  $x=3 \sin t$ ,  $y=3 \cos t$  tenglamalariga qarab uning trayektoriya tenglamasi topilsin; shuningdek, masofani nuqtaning boshlang'ich holatidan hisoblab, uning trayektoriya bo'ylab harakatlanish qonuni ko'rsatilsin.

**Yechish.** Nuqtaning berilgan harakat tenglamalaridan  $t$  parametrlarini yo'qotib, uning trayektoriya tenglamasi topiladi, ya'ni

$$x^2 + y^2 = 9.$$

Demak, nuqta trayektoriyasi markazi koordinatalar boshida va radiusi 3 ga teng bo'lgan aylana bo'lar ekan (129-shakl).

Endi nuqtaning trayektoriya bo'ylab harakatlanish qonuni topiladi. Buning uchun (6.2.8) formuladan foydalanamiz. Berilgan harakat tenglamalariga asosan:

$$\dot{x} = 3 \cos t, \quad \dot{y} = -3 \sin t.$$

Buni (6.2.8) formulaga qo'yiladi:

$$S = \int_0^t \sqrt{9(\cos^2 t + \sin^2 t)} dt = 3t + C,$$

bunda  $C$  berilgan boshlang'ich shartlardan topiladi. Masalan:  $t = 0$  bo'lganda  $S_0 = 6$  deb olinsa,  $C = 6$  bo'iadi, natijada nuqtaning trayektoriya bo'ylab harakatlanish tenglamasi quyidagi ko'rinishga keladi:

$$S = 3t.$$

**2-masala (И.В.Менгерский 10.14).** Snaryadning harakati  $x = v_0 t \cdot \cos \alpha, \quad y = v_0 t \cdot \sin \alpha - \frac{gt^2}{2}$  tenglamalar bilan berilgan, bunda  $\vartheta_0$  — snaryadning boshlang'ich tezligi,  $\alpha$  — x o'qi bilan  $v_0$  orasidagi burchak,  $g$  — og'irlik kuchining tezlanishi. Snaryadning harakat trayektoriyasi,  $H$  — balandlik,  $L$  — uchish uzoqligi va  $T$  uchish vaqtini aniqlansin.

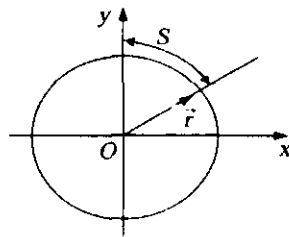
**Yechish.** Nuqtaning berilgan harakat tenglamalaridan  $t$  ni yo'qotib, uning trayektoriya tenglamasi topiladi. Tenglamalarning birinchisidan:

$$t = \frac{x}{v_0 \cos \alpha}.$$

Buni tenglamalarning ikkinchisiga qo'yiladi:

$$y = tg\alpha \cdot x - \frac{g}{2v_0^2 \cos^2 \alpha} x^2.$$

Demak, snaryadning harakat trayektoriyasi paraboladan iborat ekan.



129-shakl.

Endi  $H$  balandlik topiladi. Nuqta parabola bo'ylab eng katta balandlikka ko'tarilganda  $y$  koordinata o'zining eng katta qiymatiga erishadi. Harakat tenglamalarning ikkinchisining birinchi tartibli hosilasini nolga tenglashtiramiz:

$$\dot{y} = v_0 \sin \alpha - gt = 0.$$

Bundan:

$$t = \frac{v_0}{g} \sin \alpha.$$

Shoxlari pastga qaragan parabolada  $y$  faqat eng katta qiymatga ega, shuning uchun

$$H = y_{\max} = \frac{v_0^2}{2g} \sin^2 \alpha.$$

Endi uchish masofasi topiladi. Nuqta Yerga kelib tushganda uning  $y$  koordinatasi nolga teng bo'ladi, ya'ni

$$y = v_0 \sin \alpha \cdot t - \frac{gt^2}{2} = 0.$$

Bundan

$$t_1 = 0; \quad t_2 = \frac{2v_0}{g} \sin \alpha.$$

$t_1$  — nuqtaning boshlang'ich holatiga,  $t_2$  — nuqtaning uchish vaqtini ifodalaydi. Demak,

$$T = \frac{2v_0}{g} \sin \alpha.$$

$T$  ning bu qiymatini harakat tenglamalarining birinchisiga qo'yib, nuqtaning uchish masofasi topiladi, ya'ni

$$L = x_{\max} = \frac{v_0^2}{g} 2 \cos \alpha \sin \alpha = \frac{v_0^2}{g} \sin 2\alpha.$$

**3-masala (И.В. Мемчарский 10.21).** Nuqtaning dekart koordinatalari sistemasida berilgan

$$x = R \cos^2 \frac{kt}{2}, \quad y = \frac{R}{2} \sin kt, \quad z = R \sin \frac{kt}{2}$$

harakat tenglamalariga asosan uning trayektoriyasi va sferik koordinatalar sistemasidagi harakat tenglamalari topilsin.

**Yechish.** Nuqtaning trayektoriya tenglamasi topiladi. Harakat tenglamalarining birinchi va ikkitasidan:

$$\begin{cases} x - \frac{R}{2} = \frac{R}{2} \cos kt \\ y = \frac{R}{2} \sin kt \end{cases} \Rightarrow \left(x - \frac{R}{2}\right)^2 + y^2 = \frac{R^2}{4}$$

Harakat tenglamalarining uchinchisidan:

$$\sin \frac{kt}{2} = \frac{z}{R}.$$

Buni birinchi ikkita tenglamaga qo'shiladi:

$$x = R \left(1 - \sin^2 \frac{kt}{2}\right) = \frac{R^2 - z^2}{R}, \quad y = R \sin \frac{kt}{2} \cos \frac{kt}{2} = z \sqrt{\frac{R^2 - z^2}{R}}.$$

Bu tenglamalarning ikkala tomonini kvadratga ko'tarib qo'shiladi, natijada

$$x^2 + y^2 + z^2 = R^2$$

tenglama hosil bo'ladi. Demak, nuqta trayektoriyasi

$$x^2 + y^2 + z^2 = R^2 \text{ sfera va } \left(x - \frac{R}{2}\right)^2 + y^2 = \frac{R^2}{4}$$

silindrlarning kesishish chizig'idan iborat bo'lar ekan.

Nuqtaning berilgan harakat tenglamalari quyidagi ko'rinishda yoziladi:

$$x = R \cos \frac{kt}{2} \cos \frac{kt}{2}, \quad y = R \cos \frac{kt}{2} \sin \frac{kt}{2}, \quad z = R \sin \frac{kt}{2}$$

Bu tenglamalarni nuqtaning sferik koordinatalari bilan dekart koordinatalari orasidagi bog'lanish tenglamalari bilan solishtirib, quyidagi tenglamalarga kelamiz:

$$r = R, \quad \phi = \frac{kt}{2}, \quad \theta = \frac{kt}{2}.$$

### Mustaqil ishlash uchun savol va topshiriqlar

1. Kinematikaning asosiy tushunchalari nimalar?
2. Nuqta kinematikasining asosiy masalasi nimalardan iborat?
3. Nuqtaning harakati qanday usullar bilan berilishi mumkin?
4. Bir koordinatalar sistemasidan boshqasiga qanday o'tiladi?

## Muammoli masala va topshiriqlar

1. Nuqtaning harakat tenglamasi  $\vec{r} = 3ti + 4tj$  ko'inishida berilgan.  $r = 5m$  bo'lgan paytda nuqtaning y koordinatasi topilsin.
2. Nuqtaning harakat tenglamalari  $x = 3t$ ,  $y = t^2$  ko'inishida berilgan.  $t = 2c$  bo'lgan paytda koordinatalar boshidan nuqtagacha bo'lgan masofa topilsin.
3. Nuqtaning harakat tenglamalari  $x = cost$ ,  $y = 2sint$  ko'inishida berilgan.  $t = 2,5c$  bo'lgan paytda nuqtadan koordinatalar boshigacha bo'lgan masofa topilsin.
4. Nuqtaning harakat tenglamalari  $x = 2t$ ,  $y = t$  ko'inishida berilgan. Koordinatalar boshidan nuqtagacha bo'lgan masofa 10 m ga yetgan vaqt  $t$  topilsin.
5. A nuqtaning harakati tenglamalari  $x = 2cost$ ,  $y = 3sint$  ko'inishida berilgan.  $t = 1,5c$  bo'lgan paytda nuqtaning radius-vektori  $OA$  bilan  $Ox$  o'qi orasidagi burchak topilsin.
6. Nuqtaning harakati  $x = 5\cos 5t^2$ ,  $y = 5\sin 5t^2$  tenglamalar bilan berilgan. Nuqtaning trayektoriya tenglamasi shuningdek, masofani nuqtaning boshlang'ich holatidan hisoblab, uning trayektoriya bo'y lab harakatlanish qonuni topilsin.
7. Nuqtaning turli chastotali o'zaro perpendikular tebranishlari  $x = a\sin 2\omega t$  tenglamalar bilan berilgan. Trayektoriya tenglamasi topilsin.
8. Nuqta  $x = a\cos kt$ ,  $y = a\sin kt$ ,  $z = vt$  vint chizig'i bo'y lab harakatlanadi. Nuqta harakatining tenglamalari silindrik koordinatalarda aniqlansin.

### 6.4. Moddiy nuqtaning tezligi

Harakat, harakat trayektoriyasi, trayektoriya urinmasi, radius-vektor, tezlik, burchak tezlik, radial va transversal tezlik, sektorial tezlik.

#### 6.4.1. Egri chiziqli harakatdagi nuqtaning tezligi

Agar nuqtaning harakat trayektoriyasi egri chiziqdan iborat bo'lsa, uning bunday harakatiga *egri chiziqli harakat* deyiladi.

Nuqta harakatining assosiy tavsifnomalaridan biri uning tezligi hisoblanadi. Harakatlanuvchi nuqtaning qaralayotgan koordinatalar sistemasiga nisbatan  $t$  paytdagi  $M$  holati  $\vec{r}$  radius-vektor bilan,  $t + \Delta t$  paytdagi holati  $\vec{r}_1$  radius-vektor bilan aniqlansin (131-shakl).  $\Delta t$  vaqt oralig'ida harakatlanuvchi nuqtaning radius-vektori

$$\Delta\vec{r} = \vec{r}_1 - \vec{r}$$
 ga o'zgarsin (131-shakl).

$$\vec{v}^* = \frac{\Delta\vec{r}}{\Delta t}$$

nisbatga nuqtaning  $\Delta t$  vaqt oralig'idagi o'rtacha tezlik deyiladi.

Demak, nuqtaning o'rtacha tezligi  $\vec{v}^*$  vektor yo'nalishidagi, ya'ni harakat yo'nalishidagi vektor bo'lar ekan.

O'rtacha tezlikning  $\Delta t$  vaqt oralig'i nolga intilgandagi (ba'zan oniy tezlik deb ham ataladi) limitik holati nuqtaning ixtiyoriy  $t$  paytidagi tezlikni ifodalaydi, ya'ni

$$\vec{v} = \lim_{\Delta t \rightarrow 0} \frac{\Delta\vec{r}}{\Delta t} = \frac{d\vec{r}}{dt}. \quad (6.4.1)$$

Shunday qilib, nuqtaning ixtiyoriy paytidagi tezligi vektor kattalik bo'lib, nuqtaning radius-vektoridan vaqt bo'yicha olingan

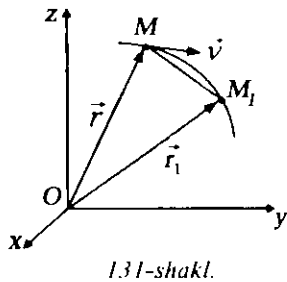
birinchi tartibli hosilaga teng.  $\frac{\Delta\vec{r}}{\Delta t}$  vektorming  $\Delta t \rightarrow 0$  dagi limitik holati trayektoriyaning urinmasi bilan ustma-ust tushadi, demak, tezlik vektori trayektoriyaning urinmasi bo'ylab, harakat yo'nalishi tomonga qarab yo'nalgan vektordir. Tezlik vektorini quyidagicha almashtiriladi:

$$\vec{v} = \frac{d\vec{r}}{dr} = \frac{d\vec{r}}{ds} \cdot \frac{ds}{dt} = \frac{d\vec{r}}{ds} \dot{S}. \quad (6.4.2)$$

(6.4.2) tenglikning o'ng tomonidagi  $\frac{d\vec{r}}{ds}$  ko'paytmani qaraymiz.

$|\Delta S|$  va  $|\Delta\vec{r}|$  miqdorlar bir xil tartibli kichik miqdorlar ekanligidan

$$\lim_{|\Delta S| \rightarrow 0} \frac{|\Delta\vec{r}|}{|\Delta S|} = 1$$



131-shakl.

bo'ladi (132-shakl). Demak,  $\Delta \vec{r} / \Delta s$  miqdorning  $\Delta S \rightarrow 0$  (yoki)  $\Delta t \rightarrow 0$  dagi limitik holati nuqtaning urinmasi bo'ylab yo'nalgan birlik vektorni ifodalaydi, ya'ni

$$\lim_{\substack{\Delta S \rightarrow 0 \\ \Delta t \rightarrow 0}} \frac{\Delta \vec{r}}{\Delta S} = \vec{\tau}^0,$$

bunda  $\vec{\tau}^0$  — urinmaning musbat yo'nalishi bo'ylab yo'nalgan birlik vektor. Shunday qilib, (6.4.2) tenglikni quyidagicha yozish mumkin:

$$\vec{v} = \dot{S} \vec{\tau}^0. \quad (6.4.3)$$

$v = \frac{dS}{dt}$  miqdor tezlikning algebraik qiymati modulini bildiradi yoki tezlik trayektoriyaning  $M$  nuqtasida o'tkazilgan urinmadagi proyeksiyasini bildiradi, ya'ni

$$v = v_\tau = \frac{dS}{dt}. \quad (6.4.4)$$

Nuqtaning radius-vektori uning proyeksiyalari orqali yoziladi:

$$\vec{r} = x\vec{i} + y\vec{j} + z\vec{k}.$$

Tezlikning ta'rifiga asosan:

$$\vec{v} = \frac{d\vec{r}}{dt} = \frac{dx}{dt}\vec{i} + \frac{dy}{dt}\vec{j} + \frac{dz}{dt}\vec{k} = \dot{x}\vec{i} + \dot{y}\vec{j} + \dot{z}\vec{k}. \quad (6.4.5)$$

Tezlik vektorini kordinata o'qlaridagi proyeksiyalari orqali yoziladi:

$$\vec{v} = v_x\vec{i} + v_y\vec{j} + v_z\vec{k}. \quad (6.4.6)$$

(6.4.5) va (6.4.6) ifodalarni solishtirib, tezlikning proyeksiyalari uchun quyidagi formulalarni hosil qilamiz:

$$v_x = \frac{dx}{dt} = \dot{x}, \quad v_y = \frac{dy}{dt} = \dot{y}, \quad v_z = \frac{dz}{dt} = \dot{z}. \quad (6.4.7)$$

Shunday qilib, tezlikning koordinata o'qlaridagi proyeksiyalari nuqtaning mos koordinatalaridan vaqt bo'yicha olingan birinchi tartibli hosilalarga teng bo'lar ekan.

Tezlik vektorining koordinata o'qlaridagi proyeksiyalari ma'lum bo'lsa, uning moduli va yo'nalishini topish mumkin:

$$v = |\vec{v}| = \sqrt{v_x^2 + v_y^2 + v_z^2} = \sqrt{\dot{x}^2 + \dot{y}^2 + \dot{z}^2};$$

$$\cos(\vec{v} \wedge \hat{x}) = \frac{v_x}{v} = \frac{\dot{x}}{v}, \quad \cos(\vec{v} \wedge \hat{y}) = \frac{v_y}{v} = \frac{\dot{y}}{v}, \quad (6.4.8)$$

$$\cos(\vec{v} \wedge \hat{z}) = \frac{v_z}{v} = \frac{\dot{z}}{v}.$$

Agar nuqtaning harakat trayektoriyasi to'g'ri chiziqdan iborat bo'lsa, bunday harakatga to'g'ri chiziqli harakat deyiladi. Nuqta to'g'ri chiziqli harakatda bo'lsa, koordinatalar o'qlaridan bittasini masalan,  $Ox$  o'qini harakat to'g'ri chizig'i bo'ylab yo'naltiramiz. U holda tezlikning qolgan o'qlaridagi proyeksiyalari aynan nolga teng bo'ladi (133-shakl). Natijada nuqtaning tezligi uchun quyidagi formulani hosil qilamiz:

$$v_x = \frac{dx}{dt} = \dot{x}, \quad v = |\dot{x}|.$$

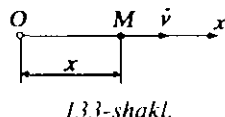
Shunday qilib, to'g'ri chiziqli harakatdagi nuqtaning tezligi masofadan vaqt bo'yicha olingan birinchi tartibli hosilaga teng ekan.

Agar harakatning berilgan qismida  $v = \frac{dx}{dt}$  tezlik va  $x$  koordinata bir xil ishoraga ega bo'lsa, nuqtaning bu holdagi harakatiga to'g'ri harakat deyiladi. Agar  $v$  va  $x$  lar har xil ishorali bo'lsa, nuqtaning bunday harakatiga teskari harakat deyiladi.

Agar nuqtaning tezligi vaqtning biror paytida nolga teng bo'lsa, shu paytda  $x$  masoфа o'zining statsionar qiymatiga ega bo'ladi.  $x$  o'zining maksimum yoki minimum qiymatiga erishgan paytda nuqtaning tezligi nolga teng bo'lib, shu payt tezlik o'zining yo'nalishini o'zgartiradi va harakat agar teskari bo'lsa, to'g'ri harakatga o'tadi.

Agar nuqtaning tezligi qandaydir vaqt oralig'ida nolga teng bo'lsa, shu vaqt oralig'ida  $x=const$  bo'lib, nuqta tinch holatda bo'ladi.

Tezlikning o'lchov birligi:  $[v] = \frac{[uzunlik]}{[vaqt]}$ . Tezlikning o'lchov birligi sifatida: *sm/sek, m/sek, km/soat* olinadi.



133-shakl.

Agar butun harakat davomida nuqtanining tezligi o'zgarmas, ya'ni  $v = v_0 = \text{const}$  bo'lsa, nuqtaning bunday harakatiga to'g'ri chiziqli tekis harakat deyiladi.

$$v = \frac{dx}{dt} = v_0,$$

Bundan

$$x = x_0 + v_0 t, \quad (6.4.9)$$

bunda  $x_0$  — nuqtaning boshlang'ich koordinatasi. (6.4.9) tenglama to'g'ri chiziqli tekis harakat tenglamasini ifodalaydi.

#### 6.4.2. Aylana bo'ylab harakatlanayotgan nuqtaning tezligi.

**Burchak tezlik.** Nuqtaning  $R$  radiusli aylana bo'ylab harakatini qaraymiz. Bu holda  $M$  nuqta tezligining son qiymati quyidagiga teng bo'ladi:

$$v = \frac{dS}{dt} = R \frac{d\phi}{dt}, \quad (6.4.10)$$

bunda  $dS = Rd\phi$ .

$$\omega = \frac{d\phi}{dt} \quad (6.4.11)$$

miqdorga  $R$  radiusning aylanish burchak tezligi deyiladi.

Shunday qilib, aylana bo'ylab harakatlanuvchi nuqta tezligining miqdori quyidagicha topiladi:

$$v = R\omega. \quad (6.4.12)$$

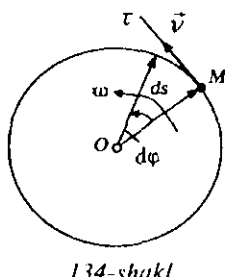
Tezlik vektori aylana urinmasi bo'ylab, harakat yo'nalishi tomonga yo'nalgan bo'ladi.

#### 6.4.3. Nuqta tezligining quth koordinatalaridagi ifodasi

Nuqta radius-vektorini quyidagi ko'rinishda yozib olamiz:

$$\vec{r} = r\vec{r}^0 \quad (6.4.13)$$

bunda  $\vec{r}^0$  — radius-vektor bo'ylab yo'nalgan birlik vektor (135-shakl). Nuqtaning harakati vaqtida  $\vec{r}$  vektoring ham moduli ham yo'nalishi o'zgaradi, ya'ni  $r$  va  $\vec{r}^0$  miqdorlar vaqtning biror funksiyasi bo'ladi. (6.4.13)



134-shakl.

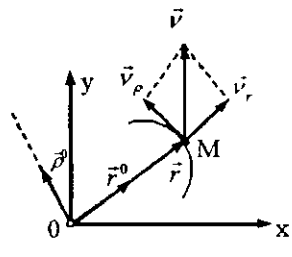
tenglikning ikkala tomonini vaqt bo'yicha differensiallab, nuqta tezligi uchun quyidagi ifodani hosil qilamiz:

$$\vec{v} = \frac{d\vec{r}}{dt} = \frac{dr}{dt} \vec{r}^0 + \frac{d\vec{r}^0}{dt} r. \quad (6.4.14)$$

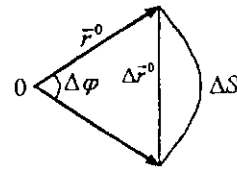
(6.4.14) tenglikning o'ng tomonidagi birinchi qo'shiluvchi nuqtaning radius-vektori bo'ylab yo'nalgan vektor bo'lib, vektorni shu vektor yo'nalishi bo'yicha o'zgarishini xarakterlaydi. Bu qo'shiluvchiga tezlikning radial tuzuvchisi deyiladi va quyidagicha yoziladi:

$$\vec{v}_r = \frac{dr}{dt} \vec{r}^0. \quad (6.4.15)$$

Endi (6.4.14) tenglikning o'ng tomonidagi ikkinchi qo'shiluvchini qaraymiz.  $\vec{r}^0$  vektorni  $\Delta\varphi$  burchakka buramiz (135-shakl).  $\vec{r}^0$  vektorni  $\Delta\varphi$  burchakka burishdan hosil bo'lgan  $\Delta\vec{r}^0$  vektor va  $\Delta S$  yoy bir xil tartibli kichik miqdorlar, shuning uchun quyidagi munosabatni yozish mumkin:



135-shakl.



136-shakl.

$$\lim_{\Delta t \rightarrow 0} \left| \frac{\Delta \vec{r}^0}{\Delta t} \right| = \lim_{\Delta t \rightarrow 0} \frac{|\Delta S|}{\Delta t} = \frac{|dS|}{dt},$$

$$|dS| = |\vec{r}^0| |d\varphi| = d\varphi, \quad |\vec{r}^0| = 1.$$

bularga asosan:

$$\left| \frac{d\vec{r}^0}{dt} \right| = \frac{d\varphi}{dt}.$$

Osonlikcha ko'rsatish mumkinki, birlik vektorning differentiali shu vektorning o'ziga perpendikular bo'ladi, ya'ni  $\vec{r}^0 \perp d\vec{r}^0$ .

$\vec{r}^0$  vektorga perpendikular qilib birlik vektorni yo'naltiramiz (135-shakl). U holda:

$$r \frac{d\vec{r}^0}{dt} = r \frac{d\phi}{dt} \vec{\rho}^0.$$

Shunday qilib, (6.4.14) ni o'ng tomonidagi ikkinchi qo'shiluvchi  $r$  radius-vektoriga perpendikulyar yo'nalgan vektor bo'lib,  $\vec{r}$  vektorning yo'nalishining o'zgarishini xarakterlaydi.  $r^0$  dan  $\vec{\rho}^0$  vektorga o'tish soat mili harakati yo'nalishiga qarama-qarshi yo'nalishda amalga oshirilsa, yo'nalish musbat, aks holda manfiy bo'ladi.

$$\vec{v}_p = r \frac{d\phi}{dt} \vec{\rho}^0 \quad (6.4.16)$$

vektorga nuqta tezligining tranversal tuzuvchisi deyiladi.

Shunday qilib, (6.4.15) va (6.4.16) munosabatlarga asosan nuqtaning tezligini quyidagi ko'rinishda yozish mumkin:

$$\vec{v} = \vec{v}_r + \vec{v}_p = \vec{v}_r + \vec{v}_p = \frac{dr}{dt} \vec{r}^0 + r \frac{d\phi}{dt} \vec{\rho}^0 \quad (6.4.17)$$

Nuqta tekislikda harakatlansin va harakat qonuni qutb koordinatalarida berilgan bo'lsin, ya'ni

$$\vec{r} = \vec{r}(t), \quad \phi = \phi(t) \quad (6.4.18)$$

(6.4.17) ga asosan

$$\vec{v} = \vec{v}_r + \vec{v}_p = \vec{y}_r \vec{r} + v_\phi \vec{\rho}^0,$$

bunda

$$v_r = \dot{r}, \quad v_\phi = r \dot{\phi}. \quad (6.4.19)$$

Tezlikning moduli quyidagi formuladan topiladi:

$$v = \sqrt{v_r^2 + v_\phi^2} = \sqrt{\dot{r}^2 + r^2 \dot{\phi}^2}. \quad (6.4.20)$$

Shunday qilib, nuqtaning harkat tenglamalari qutb koordinatalarda berilganda, tezlikning moduli (6.4.20) formula bilan topiladi.

#### 6.4.4. Sektorial tezlik

$M$  nuqta quyidagi qonun bo'yicha harakatlansin:

$$x = x(t), \quad y = y(t), \quad z = z(t) \quad (6.4.21)$$

yoki  $\dot{r} = \dot{r}(t)$ . (6.4.22)

Nuqta fazoda harakatlanganda uning radius-vektori fazoda konus sirtni chizadi.

Bu konus sirtni  $\dot{r}(t_0)$  va  $\dot{r}(t)$  radius-vektorlar va nuqta trayektoriyasi bilan chegaralangan qismi egri chiziqli sektor yuzasini ifodalaydi (137-shakl). Sektor yuzasini  $\sigma$  bilan belgilanadi.

Vaqtning  $t$  paytida nuqta  $\dot{r}$  radius-vektor bilan aniqlangan  $M$  holatda,  $t + \Delta t$  paytida  $\dot{r}(t + \Delta t)$  radius-vektor bilan aniqlangan  $M_1$  holatda bo'lsin (137-shakl).

Sektor yuzasining  $\Delta\sigma$  cheksiz kichik vaqt oraliq idagi o'zgarishi  $\Delta\sigma$  bilan  $OMM_1$  uchburghakning yuzasi bir xil tartibli cheksiz kichik miqdorlar bo'lgani uchun  $\Delta\sigma$  ni uchburghakning yuzasi bilan almashtirib olamiz, ya'ni

$$\Delta\sigma \approx \frac{1}{2} (\dot{r} \times \Delta\dot{r}). \quad (6.4.23)$$

Agar  $\Delta\sigma$  ni  $O$  nuqtaga qo'yilgan va  $\Delta\sigma$  yuzaga perpendikular vektor deb qarasak, bu yuza quyidagiga teng bo'ladi:

$$\Delta\sigma \approx S_{OMM_1} = \frac{1}{2} |\dot{r} \times \Delta\dot{r}|. \quad (6.4.24)$$

Yuza orttirmasi  $\Delta\sigma$  ni unga mos vaqt orttirmasiga nisbatining  $\Delta t \rightarrow 0$  dagi limitiga  $O$  markazga nisbatan nuqtaning sektorial tezligi deyiladi, ya'ni

$$\dot{\sigma}_\sigma = \lim_{\Delta t \rightarrow 0} \frac{\Delta\sigma}{\Delta t} = \frac{d\sigma}{dt}. \quad (6.4.25)$$

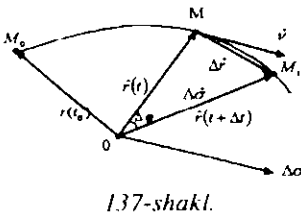
(6.4.23) tenglikning ikkala tomonini  $\Delta t$  ga bo'lib,  $\Delta t \rightarrow 0$  da limitiga o'tkaziladi:

$$\lim_{\Delta t \rightarrow 0} 2 \frac{\Delta\sigma}{\Delta t} = \lim_{\Delta t \rightarrow 0} \left( \dot{r} \times \frac{\Delta\dot{r}}{\Delta t} \right)$$

yoki

$$2\dot{\sigma}_\sigma = \dot{r} \times \dot{v}. \quad (6.4.26)$$

(6.4.26) dan ko'rinish turibdiki, biror markazga nisbatan nuqtaning ikkilangan sektorial tezligi, o'sha markazga nisbatan nuqta tezligining momentiga teng bo'lar ekan.



137-shakl.

(6.4.26) dan yana shuni ko'rish mumkinki, sektorial tezlik markazning tanlanishiga bog'liq, ya'ni har bir markazga o'zining sektorial tezligi mos keladi.

(6.4.26) tenglikning har ikkala tomonini dekart koordinatalar sistemasi o'qlariga proyeksiyalab, sektorial tezlikning koordinata o'qlaridagi proyeksiyalari topiladi. Buning uchun (6.4.26) tenglikni quyidagi ko'rinishda yozish mumkin:

$$2v_\sigma = 2 \frac{d\vec{\sigma}}{dt} = \dot{r}\vec{\alpha}^i = \begin{vmatrix} i & j & k \\ x & y & z \\ \dot{x} & \dot{y} & \dot{z} \end{vmatrix}$$

Bundan

$$\begin{cases} 2v_{\sigma_x} = 2 \frac{d\sigma_{yz}}{dt} (\dot{r}\vec{\alpha})_x = y\dot{z} - z\dot{y}; \\ 2v_{\sigma_y} = 2 \frac{d\sigma_{zx}}{dt} (\dot{r}\vec{\alpha})_y = z\dot{x} - x\dot{z}; \\ 2v_{\sigma_z} = 2 \frac{d\sigma_{xy}}{dt} (\dot{r}\vec{\alpha})_z = x\dot{y} - y\dot{x} \end{cases} \quad (6.4.27)$$

hosil bo'ladi.

(6.4.27) formulalardagi  $d\sigma_{xy}$ ,  $d\sigma_{yz}$ ,  $d\sigma_{zx}$  lar  $d\sigma$  yuzanining mos ravishda ( $xy$ ), ( $yz$ ) va ( $zx$ ) tekisliklardagi proyeksiyalari.

Agar nuqta tekislikda harakatlansa va harakat qonuni qutb koordinatalarida berilgan bo'lsa,  $d\sigma$  elementar yuzani quyidagicha yozish mumkin (137-shakl):

$$d\sigma = S_{OMM1} = \frac{1}{2} r^2 d\phi.$$

Bu tenglikning ikkala tomonini  $dt$  ga bo'lib, sektorial tezlikning son qiymati uchun quyidagi formulani hosil qilamiz:

$$v_\sigma = \frac{d\sigma}{dt} = \frac{1}{2} r^2 \frac{d\phi}{dt}, \quad (6.4.28)$$

bunda  $\phi$  — qutb burchagi.

## 6.5. Nuqta tezligini topishga doir masalalarini yechish bo'yicha uslubiy tavsiyalar. Masalalar

Nuqta tezligini topishga doir masalalarini quyidagi tartibda yechish tavsiya etiladi:

1. Masalaarni yechish uchun tegishli koordinatalar sistemasi tanlanadi.

2. Masalaning berilgan shartlaridan foydalanib, nuqtaning harakat tenglamalari tuziladi.

3. Harakatning berilish usuliga qarab, tegishli formulalardan foydalanib, nuqtaning tezligi topiladi.

**1-masala. (И.В.Мемчареский 11.3).** Nuqta  $x=2\cos t$ ,  $y=4\cos 2t$  ( $x, y$  — santimetrlar,  $t$  — sekundlar hisobida) tenglama-larga muvofiq lissaju figurasini chizadi. Nuqta  $Oy$  o'qida bo'lganida tezligining miqdori bilan yo'nalishi topilsin.

**Yechish.** Nuqta  $Oy$  o'qida bo'lgan paytda  $x = 0$  bo'ladi. Berilgan tenglamalardan:

$$\cos t = 0; \Rightarrow t = \frac{\pi}{2} + \pi n, \quad n \in \mathbb{Z}.$$

Endi tezlikning koordinata o'qlaridagi proyeysiylari topiladi:

$$v_x = \dot{x} = -2 \sin t, \quad v_y = \dot{y} = -8 \sin 2t; \quad v = \sqrt{4 \sin^2 t + 64 \sin^2 2t}.$$

$$1) \quad t = \frac{\pi}{2} + 2\pi n, \quad n \in \mathbb{Z}, \quad \text{bo'lgan paytlar uchun}$$

$$v_x = -2 \frac{sm}{s}, \quad v_y = 0, \quad v = \sqrt{v_x^2 + v_y^2} = 2sm/s;$$

$$\cos(x, \hat{v}) = \frac{v_x}{v} = \frac{-2}{2} = -1, \quad \cos(y, \hat{v}) = \frac{v_y}{v} = 0.$$

$$2) \quad t = \frac{3\pi}{2} + 2\pi n, \quad n \in \mathbb{Z}, \quad \text{bo'lgan paytlar uchun}$$

$$v_x = 2 \frac{sm}{s}, \quad v_y = 0, \quad v = 2 \frac{sm}{s}.$$

$$\cos(x, \hat{v}) = \frac{v_x}{v} = \frac{2}{2} = 1, \quad \cos(y, \hat{v}) = \frac{v_y}{v} = 0.$$

**2-masala.** Vertikal yuqoriga otilgan  $M$  nuqta qarshiliksiz muhitda quyidagi tenglamaga muvofiq harakatlanadi:

$$x = v_0 t - \frac{gt^2}{2}, \quad (a)$$

bunda  $v_0$  va  $g$  — o'zgarmas koefitsientlar.

Nuqtaning tezligi, eng katta ko'tarilish balandligi va eng katta balandlikka ko'tarilishga ketgan vaqt topilsin.

**Yechish.** Tezlikning vertikal o'qdagi proyeksiyasini topiladi:

$$v_x = \frac{dx}{dt} = v_0 - gt. \quad (b)$$

(b) tenglamadan ko'rish mumkinki,  $t = 0$ ,  $v_x = v_0$ . Demak, tezlikning boshlang'ich paytdagi proyeksiyasining qiymatini ifodalar ekan.

Nuqta eng katta balandlikka chiqqan paytda uning tezligi nolga teng bo'ladi, ya'ni

$$v_x = v_0 - gt = 0.$$

Bundan

$$T = \frac{v_0}{g}.$$

Eng katta balandlikni topish uchun  $T$  ning topilgan qiymati nuqtaning berilgan harakat tenglamasiga qo'yiladi:

$$H = v_0 \frac{v_0}{g} - \frac{g}{2} \frac{v_0^2}{g^2} = \frac{v_0^2}{2g}.$$

**3-masala.**  $M$  moddiy nuqta  $v_0$  boshlang'ich tezlik bilan vertikal yuqoriga otildi.  $M$  nuqta eng katta balandlikka ko'tarilib, qaytishda yo'lning o'rtasida uchrashishi uchun birinchi nuqta otilgan joydan ikkinchi  $M$ , nuqtani qanday  $v_1 < v_0$  boshlang'ich tezlik bilan otilish kerak.

**Yechish.** Vertikal yuqoriga otilgan nuqta qarshiliksiz muhitda quyidagi tenglamaga muvofiq harakat qiladi:

$$x = v_0 t - \frac{gt^2}{2},$$

bunda  $v_0$  nuqtaning boshlang'ich tezligi,  $g$  — erkin tushish tezlanishi.

Oldingi masalada birinchi nuqtaning eng katta balandligi topilgan edi, ya'ni

$$H = \frac{v_0^2}{2g}. \quad (\text{a})$$

Yuqorida pastga vertikal harakatlanadigan birinchi nuqta uchun boshlang'ich tezlik nolga teng, ya'ni  $v_1 = 0$ . Uning harakat tenglamasi quyidagicha bo'ladi:

$$x_1 = \frac{gt_1^2}{2}. \quad (\text{b})$$

$v_1$  boshlang'ich tezlik bilan yuqoriga vertikal otilgan nuqtaning qarshiliksiz muhitdag'i harakat tenglamasi quyidagicha bo'ladi:

$$x_2 = v_1 t_2 - \frac{dt_2^2}{2}. \quad (\text{c})$$

Masalaning shartiga ko'ra

(b) va (c) tenglamalarga asosan:

$$\frac{gt_1^2}{2} = v_1 t_2 - \frac{gt_2^2}{2}. \quad (\text{d})$$

(b) tenglamadan:

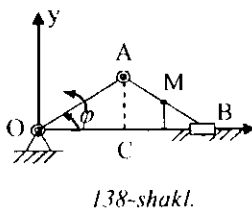
$$\frac{v_0^2}{4g} = \frac{gt_1^2}{2} \Rightarrow t_1 = \frac{v_0}{g\sqrt{2}}. \quad (\text{e})$$

Masalaning shartiga ko'ra  $t_1 = t_2$ . Bunga asosan (e) ni (d) ga qo'yamiz:

$$\frac{v_0^2}{4g} = v_1 \frac{v_0}{g\sqrt{2}} - \frac{v_0^2}{4g}.$$

Bundan:

$$v_1 = \frac{v_0}{\sqrt{2}}.$$



**4-masala (И.В.Мешчерский 11.4).**  $OA$  krivoship  $\omega$  o'zgarmas burchak tezlik bilan aylanadi. Krivoship-polzunli mexanizm shatuni o'rtasidagi  $M$  nuqtaning tezligi va polzunning tezligi vaqt funksiyasi sifatida topilsin;  $OA=AB=a$ .

**Yechish.**  $M$  nuqta va  $B$  polzunning koordinatalari topiladi.  $\Delta OAB$  teng yonli bo'lgani uchun  $\angle B = \varphi$ ,  $CD=DB$ .

Shaklga asosan:

$$x_M = AO \cos \varphi + \frac{OA}{2} \cos \varphi,$$

$$y_M = \frac{OA}{2} \sin \varphi$$

yoki

$$\begin{aligned} x_M &= \frac{3}{2} a \cos \omega t, \\ y_M &= \frac{1}{2} a \sin \omega t. \end{aligned} \tag{a}$$

(a) tenglamalardan:

$$v_{Mx} = \dot{x}_M = -\frac{3}{2} a \omega \sin \omega t, \quad v_{My} = \dot{y}_M = \frac{1}{2} a \omega \cos \omega t.$$

Endi tezlikning moduli topiladi:

$$v_M = \sqrt{v_{Mx}^2 + v_{My}^2} = \frac{a}{2} \omega \sqrt{8 \sin^2 \omega t + 1}.$$

Xuddi shunday

$$x_B = 2a \cos \omega t \Rightarrow v_{Bx} = \dot{x}_B = -2a \omega \sin \omega t$$

$$y_B = 0 \quad v_{By} = 0$$

$B$  nuqta tezligining moduli

$$v_B = \sqrt{v_{Bx}^2 + v_{By}^2} = 2a \omega \sin \omega t.$$

**5-masala (И.В.Мешчерский 11.9).** Radiusi  $R=1\text{m}$  bo'lgan elektrovoz g'ildiragining o'qidan  $a=0,5\text{m}$  narida yotuvchi nuqta-

sining harakat tenglamalari va trayektoriyasi aniqlansin. G'ildirak gorizontal va to'g'ri chiziqli yo'lda sirg'anmasdan g'ildirab boradi; g'ildirak o'qining tezligi  $v = 10 \text{ m/s}$ .  $Ox$  o'q rels bilan ustma-ust tushadi,  $Oy$  o'q nuqtaning boshlang'ich pastki holatidagi radiusga mos keladi. Shuningdek, g'ildirakning shu nuqta yotgan diametri gorizotal va vertikal holatni egallagan paytlarda nuqta tezligining qancha bo'lishi aniqlansin.

**Yechish.** Boshlang'ich paytda g'ildirak bilan relsning urinish nuqtasining koordinatalar boshi deb olib,  $x$  o'qni rels bo'ylab,  $y$  o'qini vertikal bo'ylab yo'naltiramiz. G'ildirak  $Q$  nuqtasining ixtiyoriy  $t$  paytdagi holati aniqlanadi. G'ildirak markazi gorizontal to'g'ri chiziq bo'ylab tekis harakat qilgani uchun

$$C_0 C = v_0 t = 10t$$

$C_0||C_0O$  bo'lganligidan  $t$  vaqt ichida g'ildirakning o'z o'qi atrofida aylanishdan hosil bo'lgan burchakni  $\angle QCA = \varphi$  bilan belgilanadi.

$Q$  nuqtaning koordinatalari topiladi:

$$x_Q = OB, \quad y_Q = QB$$

bo'ladi.

$$OB = OA - BA = S_0 S - SE, \quad QB = QE + EB,$$

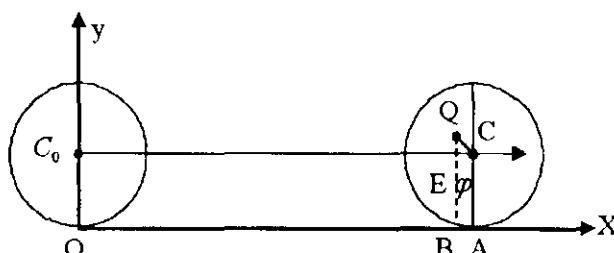
yoki

$$x_Q = 10t - CE, \quad y_Q = R + QE.$$

$\Delta QEC$  dan:

$$QE = a \sin(\varphi - 90^\circ) = -a \cos \varphi,$$

$$EC = a \cos(\varphi - 90^\circ) = a \sin \varphi$$



139-shakl.

Bularga asosan

$$\begin{aligned}x_Q &= 10t - a \sin \varphi, \\y_Q &= R - a \cos \varphi.\end{aligned}\quad (a)$$

Endi  $\varphi$  burchakni  $t$  ning funksiyasi ko'rinishida topiladi. G'ildirak yo'lida sirg'anmasdan yumalagani sababli.  $OA = R\varphi$   $OA = C_o C = 10t$ . Natijada

$$R\varphi = 10t \Rightarrow \varphi = \frac{10t}{R} = 10t.$$

Buni (a) tenglamalariga qo'yib, nuqtaning harakat tenglamalari topiladi:

$$\begin{aligned}x_Q &= 10t - 0,5 \sin 10t, \\y_Q &= 1 - 0,5 \cos 10t.\end{aligned}$$

Endi nuqta gorizontal va vertikal diametrda yotgan holatlar uchun tezliklar topiladi:

1. Nuqta gorizontal diametrlarda yotgan holda:

$$\varphi = \frac{\pi}{2}; \quad \varphi = \frac{3\pi}{2}$$

bo'ladi. (b) tenglamalardan vaqt bo'yicha hosilalarni olib, tezlikning koordinata o'qlaridagi proyeksiyalari topiladi, ya'ni

$$v_x = \dot{x}_Q = 10 - 5 \cos 10t, \quad v_y = \dot{y}_Q = 5 \sin 10t.$$

$$\varphi = 10t = \frac{\pi}{2} \text{ bo'lgan paytda } v_x = 10m/s, \quad v_y = 5m/s.$$

Tezlikning moduli  $v = \sqrt{v_x^2 + v_y^2} = 11,18m/s$  ga teng ekan kelib chiqadi.  $\varphi = \frac{3\pi}{2}$  bo'lgan paytda

$$v_x = 10m/s, \quad v_y = -5m/s$$

va

$$v = \sqrt{v_x^2 + v_y^2} = 11,18m/s.$$

2) Nuqta vertikal diametrda yotgan holda:

$\varphi = 0; \quad \varphi = \pi$  bo'ladi.

$\varphi = 0$  bo'lgan paytda:

$$v_x = 5 \text{ m/s}, \quad v_y = 0, \quad v = \sqrt{v_x^2 + v_y^2} = 5 \text{ m/s}$$

$\varphi = \pi$  bo'lgan paytda:

$$v_x = 15 \text{ m/s}, \quad v_y = 0 \quad \text{va} \quad v = 15 \text{ m/s}.$$

**6-masala (И.В.Мешчерский 11.12).** Nuqta bir vaqtning o'zida  $x = Aye^{-ht} \cos(kt + \varepsilon)$ ,  $y = Ae^{-ht} \sin(kt + \varepsilon)$  tenglamalarga asosan o'zaro perpendikular so'nvchi tebranishlarda ishtirok etadi. Nuqta tezligining dekart va qutb koordinatalaridagi proyeksiyalari va shuningdek, nuqta tezligining moduli aniqlansin.

**Yechish.** Nuqta tezligining dekart koordinatalari o'qlaridagi proyeksiyalari topiladi:

$$\begin{aligned} v_x &= \dot{x} = -Ahe^{-ht} \cos(kt + \varepsilon) - Ake^{-ht} \sin(kt + \varepsilon) = \\ &= -Ae^{-ht}(h \cos(kt + \varepsilon) + k \sin(kt + \varepsilon)), \\ v_y &= \dot{y} = -Ahe^{-ht} \sin(kt + \varepsilon) + Ake^{-ht} \cos(kt + \varepsilon) = \\ &= Ae^{-ht}(k \cos(kt + \varepsilon) - h \sin(kt + \varepsilon)). \end{aligned}$$

Berilgan tenglamalardan:

$$r = \sqrt{x^2 + y^2} = Ae^{-ht}, \quad \varphi = kt + \varepsilon.$$

Endi tezlikning qutb koordinatalaridagi proyeksiyalari topiladi:

$$v_r = \dot{r} = -Ahe^{-ht}, \quad v_\varphi = r\dot{\varphi} = Ake^{-ht}.$$

Tezlikning moduli:

$$v = \sqrt{\dot{r}^2 + r^2 \dot{\varphi}^2} = \sqrt{h^2 + k^2} Ae^{-ht} + r\sqrt{h^2 + k^2}.$$

### Mustaqil ishlash uchun savol va topshiriqlar

1. Nuqta tezligi qanday aniqlanadi?
2. Nuqta tezligining dekart koordinatalari sistemasi o'qlaridagi proyeksiyalari, yo'nalishi va moduli qanday topiladi?
3. Tabiiy koordinatalar sistemasida nuqta tezligi qanday topiladi?
4. Qutb koordinatalar sistemasida nuqta tezligining proyeksiyalari va moduli qanday topiladi?
5. Nuqtaning sektorial tezligi deganda nimani tushunasiz?

## Muammoli masala va topshiriqlar

1. Nuqta  $x = 2 \cos t$ ,  $y = 4 \cos 2t$  ( $x, y$ -santimetrlar,  $t$ -sekundlar hisobida) tenglamalarga muvofiq lissaju figurasini chizadi. Nuqta  $Oy$  o‘qda bo‘lganida tezlikning miqdori bilan yo‘nalishi topilsin.

2.  $OA$  krivoship  $\omega$  o‘zgarmas burchak tezlik bilan aylanadi. Krivoship-polzunli mexanizm shatuning o‘rtasidagi  $M$  nuqta va polzunning tezligi vaqt funksiyasi sifatida topilsin;  $OA = AB = a$ .

3. O‘qi gorizont bilan  $30^\circ$  burchak tashkil qilgan to‘pdan  $500 \text{ m/s}$  tezlik bilan snaryad otiladi. Snaryad faqat  $g=9,81 \text{ m/s}^2$  og‘irlilik kuchi tezlanishiga ega deb faraz qilib, uning tezlik godografini chizuvchi nuqtaning tezligi topilsin.

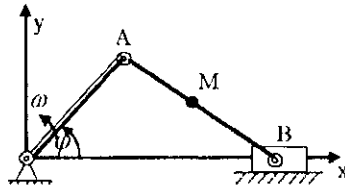
4.  $M$  nuqtaning harakat tenglamalari silindrik koordinatalar sistemasida  $r = a$ ,  $\varphi = kt$ ,  $z = vt$  ko‘rinishga ega.  $M$  nuqta tezligining silindrik koordinatalar sistemasidagi proyeksiyalari, tezlik godografini chizuvchi  $M_1$  nuqtaning harakat tenglamalari va  $M_1$  nuqta tezligining proyeksiyalari topilsin.

5.  $M$  nuqta aylana bo‘ylab  $r = 2a \cos \frac{kt}{2}$ ,  $\varphi = \frac{kt}{2}$  tenglamalarga asosan harakatlanadi ( $r, \varphi$  — qutb koordinatalri).  $M$  nuqta tezligining qutb koordinatalar sistemasi o‘qlaridagi proyeksiyalari, tezlik godografini chizuvchi  $M_1$  nuqta harakat tenglamalari va  $M_1$  nuqta tezligining proyeksiyalari topilsin.

6. Nuqtaning to‘la tezligi  $20 \text{ m/s}$ , radial tezligi  $10 \text{ m/s}$  bo‘lsa, uning transversal tezligini toping.

7. Nuqtaning harakat tenglamalari  $\varphi = t$ ,  $r = t^2$  ko‘rinishda berilgan.  $\varphi = 180^\circ$  bo‘lgan paytda nuqtaning qutb radiusini toping.

8. Nuqtaning harakati qutb koordinatalarida berilgan:  $\varphi = t^2$ ,  $r = 0,5t^2$ . Qutb burchagi  $\varphi = 2,25$  rad. bo‘lgan paytda nuqtaning radial tezligini toping.



2-masala.

**9.** Nuqtaning harakati tenglamalar bilan berilgan.  $t = 2c$  bo'lgan paytda nuqta tezligining modulini toping.

**10.** Nuqta tekislikda harakatlanadi. Nuqtaning qutb burchagi  $\varphi = 0,3t$ .  $\frac{dr}{dt} = 0,4m/s$  va  $t_0 = 0$ ,  $r_0 = 0$  bo'lsa, qutb burchagi 3 rad. ga yetgan paytda qutb radiusini toping.

**11.** Nuqtaning harakat tenglamalari  $x = t^2$ ,  $y = \sin \pi t$ ,  $z = \cos \pi t$  ko'rinishida berilgan.  $t = 1c$  bo'lgan paytda nuqta tezligining moduli topilsin.

**12.** Nuqtaning tezligi  $v = 0,2t$  tenglama bilan berilgan.  $t_0 = 0$  da  $S_0 = 0$  bo'lsa, nuqtaning  $t = 10c$  bo'lgan paytdagi Segri chiziqli koordinatasini toping.

**13.** Nuqtaning harakati  $x = 3t^2$ ,  $y = 4t^2$  tenglamalar bilan berilgan.  $t_0 = 0$  da  $S_0 = 0$  bo'lib, nuqta koordinataning musbat yo'nalishi bo'ylab harakatlanadi deb olib, egri chiziqli koordinata  $S = 110m$  bo'ladigan  $t$  vaqtini toping.

**14.** Nuqtaning harakati  $x = 3\cos t$ ,  $y = 3\sin t$  tenglamalar bilan berilgan.  $t_0 = 0$  da  $S_0 = 0$  deb olib, nuqtaning egri chiziqli koordinatasi  $m$  bo'ladigan  $t$  vaqtini toping.

**15.** Nuqtaning harakat tenglamalari  $x = 2t$ ,  $y = 3t$ ,  $z = 5t$  ko'rinishda berilgan.  $t_0 = 0$  da  $S_0 = 14$  m deb olib,  $t = 10c$  bo'lgan paytda nuqtaning Segri chiziqli koordinatasini va tezligini toping.

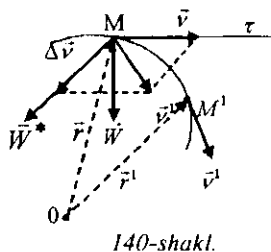
## 6.6. Moddiy nuqtaning tezlanishi

*Trayektoriya, urinma, normal, binormal, urinma tekislik, normal tekislik, yopishma tekislik, egrilik, egrilik radiusi, tezlanish, urinma va normal tezlanish.*

Moddiy nuqtaning harakat qonuni vektor yoki koordinata usulida berilgan bo'lsin, ya'ni

$$\vec{r} = \vec{r}(t) \text{ yoki } x = x(t), \quad y = y(t), \quad z = z(t). \quad (6.6.1)$$

Moddiy nuqta (6.6.1) qonun bo'yicha harakatlanib, vaqtning biror  $t$  paytida  $M$  holatda va tezligi  $\vec{v} = \vec{v}(t)$ ,  $t + \Delta t$  paytda  $M'$  holatda va tezligi  $\vec{v}' = \vec{v}'(t + \Delta t)$  bo'lsin (140-shakl).  $\vec{v}'$  vektorni



o‘z-o‘ziga parallel ravishda  $M$  nuqtaga ko‘chirramiz (140-shakl). U holda  $\vec{v} - \vec{v}' = \Delta \vec{v}$ , bunda  $\Delta \vec{v}$  — tezlikning  $\Delta t$  vaqt oralig‘ida erishgan orttirmasi.  $\Delta \vec{v}$  ning  $\Delta t$  ga nisbati nuqtaning  $\Delta t$  vaqt oralig‘idagi o‘rtacha tezlanishi deyiladi va quyidagicha yoziladi:

$$\dot{W}^* = \frac{\Delta \vec{v}}{\Delta t}. \quad (6.6.2)$$

$\dot{W}^*$  o‘rtacha tezlanishining  $\Delta t \rightarrow 0$  dagi limitiga nuqtaning berilgan  $t$  paytdagi tezlanishi deyiladi, ya‘ni

$$\dot{W} = \lim_{\Delta t \rightarrow 0} \frac{\Delta \vec{v}}{\Delta t} = \frac{d \vec{v}}{dt}, \quad (6.6.3)$$

yoki tezlikning ta’rifiga asosan:

$$\dot{W} = \frac{d \vec{v}}{dt} = \frac{d^2 \vec{r}}{dt^2}. \quad (6.6.4)$$

Shunday qilib, nuqtaning tezlanishi vektor kattalik bo‘lib, tezlik vektoridan vaqt bo‘yicha olingan birinchi tartibli hosilaga yoki radius-vektordan olingan ikkinchi tartibli hosilaga teng bo‘lar ekan.  $\dot{W}^*$  yoki  $\Delta \vec{v}$  vektor  $M\tau$  urinmani qaysi tomonida yotsa,  $\dot{W}$  tezlanish vektori ham o‘scha tomonda yotadi, shuning uchun u hamma vaqt trayektoriyaning botiq tomoniga qarab yo‘nalgan bo‘ladi.

Nuqta trayektoriyasining  $M\tau$  urinmasi va  $M'$  nuqta orqali o‘tuvchi tekislikning  $M'$  nuqta  $M$  nuqtaga intilgandagi limitik holatiga trayektoriyaning  $M$  nuqtasidagi yopishma tekisligi deyiladi. Egri chiziq tekis egri chiziqdandan iborat bo‘lsa, uning yopishma tekisligi egri chiziq tekisligining o‘zi bo‘ladi.

(6.6.3) tenglikka asosan  $\dot{W}$  vektor  $\frac{\Delta \vec{v}}{\Delta t}$  vektor yotgan tekisligining  $\Delta t \rightarrow 0$  dagi limitik tekisligida yotadi. Demak, tezlanish vektori  $\dot{W}$  yopishma tekislikda yotib, trayektoriyaning botiq tomoniga qarab yo‘nalgan bo‘ladi.

Nuqta radius-vektori quyidagi ko‘rinishda yoziladi:

$$\vec{r} = x\vec{i} + y\vec{j} + z\vec{k}.$$

Bu tenglikning ikkala tomonini ikki marta vaqt bo'yicha differentiallanadi:

$$\frac{d^2\vec{r}}{dt^2} = \vec{W} = \frac{d^2x}{dt^2}\vec{i} + \frac{d^2y}{dt^2}\vec{j} + \frac{d^2z}{dt^2}\vec{k}.$$

Bundan

$$W_x = \frac{d^2x}{dt^2} = \ddot{x}; \quad W_y = \frac{d^2y}{dt^2} = \ddot{y}; \quad W_z = \frac{d^2z}{dt^2} = \ddot{z} \quad (6.6.5)$$

tezlanish vektorining moduli

$$W = \sqrt{W_x^2 + W_y^2 + W_z^2} = \sqrt{\ddot{x}^2 + \ddot{y}^2 + \ddot{z}^2}, \quad (6.6.6)$$

yo'naltiruvchi kosinuslari

$$\cos(\vec{W}, \vec{x}) = \frac{W_x}{W}, \quad \cos(\vec{W}, \vec{y}) = \frac{W_y}{W}, \quad \cos(\vec{W}, \vec{z}) = \frac{W_z}{W} \quad (6.6.7)$$

(6.6.5) tenglikka asosan, tezlanishning koordinata o'qlaridagi proyeksiyalari mos ravishda nuqta koordinatalaridan vaqt bo'yicha olingan ikkinchi tartibli hosiylarga teng bo'lar ekan.

Agar nuqta to'g'ri chiziqli harakatda bo'lsa, koordinata o'qlaridan bittasini, masalan  $x$  o'qini harakat to'g'ri chizig'i bo'ylab yo'naltiriladi u holda nuqta tezlanishining proyeksiyalari

$$W_x = \ddot{x}, \quad W_y = 0, \quad W_z = 0.$$

bo'ladi. Tezlanish vektori  $x$  o'qi bo'ylab yo harakat yo'nalishi bilan bir xil yoki harakat yo'nalishiga qarama-qarshi yo'nalgan bo'ladi.

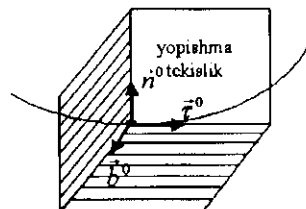
Agar  $\vec{W}$  vektorning yo'nalishi  $v$  vektor bilan bir xil bo'lsa, harakat tezlashuvchan, qarama-qarshi yo'nalgan bo'lsa, harakat sekinlashuvchan bo'ladi.

## 6.7. Differensial geometriyadan ba'zi ma'lumotlar

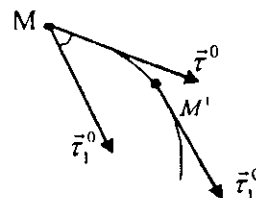
**1. Tabiiy uchyoq.** Nuqta trayektoriyasining  $M$  va  $M'$  nuqtalaridan o'tuvchi to'g'ri chiziqning  $M'$  nuqta  $M$  nuqtaga intilgandagi limitik holatiga trayektoriyaning  $M$  nuqtasidagi urinmasi deyiladi.  $M$  nuqtada egri chiziq urinmasiga perpendikular to'g'ri chiziqqa

egri chiziqning  $M$  nuqtadagi normali deyiladi. Bu ta'rifga asosan  $M$  nuqtada egri chiziqqa cheksiz ko'p normallar o'tkazish mumkin. Bu normallarning hammasi  $M$  nuqtadan o'tuvchi urinmaga perpendikular tekislikda yotadi. Bu tekislikka egri chiziqning  $M$  nuqtasidagi normal tekisligi deyiladi. Egri chiziqning  $M$  nuqtasidagi uzinma tekisligida yotuvchi normaliga uning bosh normali deyiladi. Shunday qilib,  $M$  nuqtadagi urinma tekislik bilan normal tekislik egri chiziqning bosh normali bo'ylab kesishar ekan. Egri chiziqning  $M$  nuqtasidan o'tuvchi uzinma tekislikka perpendikular bo'lgan normalga  $M$  nuqtadagi binormal deyiladi.

Egri chiziqning  $M$  nuqtasidagi urinma bo'ylab yo'nalgan birlik vektorni  $\tau^0$  bilan, bosh normali bo'ylab yo'nalgan birlik vektorni  $n^0$  bilan va binormal bo'ylab yo'nalgan birlik vektorni  $b^0$  bilan belgilaymiz (141-shakl). Bu vektorlar orqali quyidagi tekisliklar o'tadi:  $(\bar{\tau}^0, n^0)$  uzunma tekislik,  $(n^0, b^0)$  normal tekislik va  $(b^0, \tau^0)$  urinma tekislik.  $\tau^0, n^0$  va  $b^0$  vektorlar uchta o'zaro perpendikular to'g'ri burchakli uchyoqni hosil qiladi. Bu uchyoqqa tabiiy uchyoq deyiladi. Bu tabiiy uchyoq  $M$  nuqta bilan birligida harakathylanadi. Tabiiy uchyoqdan tashkil topgan koordinatalar sistemasiga tabiiy koordinatalar sistemasi deyiladi.



141-shakl.



142-shakl.

**2. Egri chiziqning egriligi va egrilik radiusi.**  $M$  nuqta trayektoriyasining bir-biriga juda yaqin  $M$  va  $M'$  nuqtalaridan  $M\tau$  va  $M'\tau$  urinmalari o'tkaziladi. Urinmalar orasidagi burchakni  $\Delta\theta$  bilan,  $MM'$  yoy uzunligi  $\Delta S$  bilan belgilanadi (142-shakl).

Quyidagi  $\frac{\Delta\theta}{\Delta S} = k^\star$  nisbatga egri chiziqning  $MM'$  qismidagi o'rtacha egriligi deyiladi. O'rtacha egrilikning  $\Delta S \rightarrow 0$  dagi limitiga

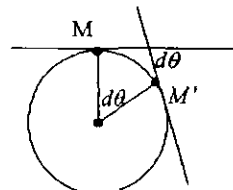
(agar mavjud bo'lsa) egri chiziqning  $M$  nuqtadagi egriligi deyiladi, ya'ni

$$\lim_{\Delta S \rightarrow 0} \frac{\Delta \theta}{\Delta S} = \lim_{\Delta S \rightarrow 0} \frac{|\Delta \theta|}{\Delta S} = \frac{d\theta}{dS} = k. \quad (6.7.1)$$

$\theta$  burchakka egri chiziqning siljish burchagi deyiladi. Siljish burchagi egri chiziqning har xil nuqtalarida har xil bo'ladi. Egri chiziqning berilgan nuqtasidagi egriligi, elementar siljish burchagini elementar yoy uzunligiga nisbatiga teng, ya'ni

$$k = \frac{d\theta}{dS}. \quad (6.7.2)$$

$R$  radiusli aylananing egriligi topiladi (143-shakl).  $M$  va  $M'$  nuqtalardagi urinmalar orasidagi siljish burchagi  $d\theta$ , aylananing unga mos markaziy burchagiga teng, shuning uchun



143-shakl.

bo'ladi. U holda

$$k = \frac{d\theta}{dS} = \frac{d\theta}{Rd\theta} = \frac{1}{R}.$$

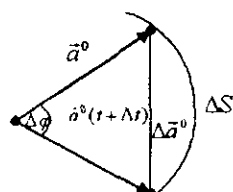
Demak, aylananing egriligi o'zgarmas bo'lib, aylana radiusiga teskari miqdor ekan. Ixtiyoriy egri chiziqning egriligi umuman olganda o'zgaruvchi miqdordir. Egri chiziqning berilgan nuqtasidagi egriligiga teskari miqdorga egri chiziqning shu nuqtasidagi egrilik radiusi deyiladi va quyidagicha yoziladi:

$$\rho = \frac{1}{k} = \frac{dS}{d\theta}. \quad (6.7.3)$$

**3. Birlik vektorming differensiali.**  $\vec{a}^0$  birlik vektorming differensialini qaraymiz. Bu vektorni o'z-o'ziga skalar ko'paytiriladi, ya'ni

$$\vec{a}^0 \cdot \vec{a}^0 = 1.$$

Tenglikning ikkala tomoni vaqt bo'yicha differensiallanadi:



144-shakl.

$$\frac{d\vec{a}^0}{dt} \cdot \vec{a}^0 + \vec{a}^0 \frac{d\vec{a}^0}{dt} = 0 \quad \text{yoki} \quad 2 \frac{d\vec{a}^0}{dt} \cdot \vec{a}^0 = 0.$$

Demak, birlik vektoring differensiali vektoring o'ziga perpendikular bo'lar ekan.

144-shakldagi  $\Delta S$  va  $|\Delta \vec{a}^0|$  miqdorlar bir xil tartibli cheksiz kichik miqdorlar bo'lgani uchun  $\Delta S \approx |\Delta \vec{a}^0|$ . Bunga asosan:

$$\Delta S \approx |\Delta \vec{a}^0| = |\vec{a}^0| \Delta \varphi = \Delta \varphi \quad (6.7.3)$$

144-shakldagi uchburchakdan:

$$|\Delta \vec{a}^0| = 2 \sin \frac{\Delta \varphi}{2} = \frac{\sin \frac{\Delta \varphi}{2}}{\frac{\Delta \varphi}{2}} \Delta \varphi. \quad \text{Bu tenglikning ikkala tomonini}$$

$\Delta t$  ga bo'lib,  $\Delta t \rightarrow 0$  nda ( $\Delta \varphi \rightarrow 0$ ) limitiga o'tamiz:

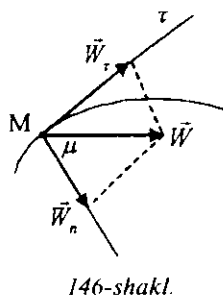
$$\lim_{\Delta t \rightarrow 0} \frac{|\Delta \vec{a}^0|}{\Delta t} = \lim_{\Delta t \rightarrow 0} \frac{\sin \frac{\Delta \varphi}{2}}{\frac{\Delta \varphi}{2}} \cdot \frac{\Delta \varphi}{\Delta t},$$

bundan

$$\frac{|\vec{a}^0|}{dt} = \frac{d\varphi}{dt} \quad \text{yoki} \quad |\vec{a}^0| = d\varphi. \quad (6.7.4)$$

## 6.8. Harakati tabiiy usulda berilgan nuqtaning tezlanishi

Agar nuqtaning harakati tabiiy usulda berilgan bo'lsa, (6.4.3) va (6.4.4) formulalarga asosan uning tezligi



146-shakl.

ko'rinishda tasvirlanadi, bunda  $v = v_\tau = \dot{S}$  tezlik vektorining  $M\tau$  o'qdagi proyeksiyasi. (6.8.1) tenglikning ikkala tomoni vaqt bo'yicha differen-siallanadi:

$$\ddot{v} = v_\tau \ddot{\tau}^0 = v \ddot{\tau}^0, \quad (6.8.1)$$

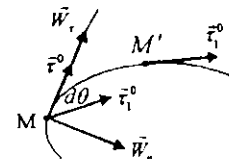
$$\dot{W} = \frac{d\vec{v}}{dt} = \frac{d\vec{v}}{dt} \vec{\tau}^0 + \frac{d\vec{\tau}^0}{dt} \vec{v}. \quad (6.8.2)$$

(6.8.2) formulaning o'ng tomonidagi birinchi qo'shiluvchi  $\frac{d\vec{v}}{dt} \vec{\tau}^0$  trayektoriyaning urinmasi bo'ylab yo'nalgan vektorni ifodaydi, shuning uchun unga tezlanishning urinma (tangensial) tuzuvchisi deyiladi va quyidagicha yoziladi:

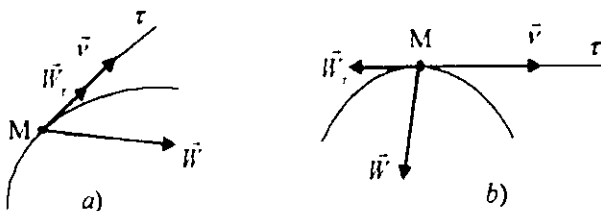
$$\dot{W}_r = \frac{d\vec{v}}{dt} \vec{\tau}^0. \quad (6.8.3)$$

Ikkinci qo'shiluvchini qaraymiz. Biz bilmizki, birlik vektorining differensiali uning o'ziga

perpendikular. Demak,  $\vec{v} \frac{d\vec{\tau}^0}{dt}$  vektor  $\vec{\tau}^0$  vektoriga perpendikular bo'lib, bu vektor  $\vec{n}^0$  bosh normal bo'ylab yo'nalgan va uzinma tekislikda yotadi.



145-shakl.



147-shakl.

(6.7.4) formulaga asosan  $|d\vec{\tau}^0| = d\theta$  va  $d\vec{\tau}^0 = d\theta \vec{n}^0$ , natijada

$$\frac{d\vec{\tau}^0}{dt} = \frac{d\theta}{dt} \vec{n}^0, \quad \frac{d\theta}{dt} = \frac{d\theta}{dS} \frac{dS}{dt} = \frac{v}{\rho}$$

bunda  $\frac{dS}{dt} = v$ ,  $\frac{d\theta}{dS} = \frac{1}{\rho}$ ,  $\rho$  egri chiziqning M nuqtadagi egrilik radiusi. Shunday qilib,  $\frac{d\vec{\tau}^0}{dt} v$  trayektoriyaning bosh normali bo'y-

lab yo'nalgan vektorni ifodalaydi. Unga tezlanishning normal tuzuvchisi deyiladi va quyidagicha yoziladi:

$$\dot{W}_n = \frac{v^2}{\rho} n^0 \quad (6.8.4)$$

(6.8.3) va (6.8.4) ifodalarga asosan (6.8.2) formula quyidagi ko'rinishga keladi:

$$\dot{W} = \dot{W}_t + \dot{W}_n = \frac{d\nu}{dt} \tau^0 + \frac{v^2}{\rho} n^0. \quad (6.8.5)$$

(6.8.3) va (6.8.4) formulalarga asosan tezlanish vektorning tabiiy koordinatalar sistemasi o'qlaridagi proyeksiyalari

$$W_t = \frac{d\nu}{dt} = \frac{d^2 S}{dt^2}, \quad W_n = \frac{v^2}{\rho}, \quad W_a = 0 \quad (6.8.6)$$

bo'ladi. Tezlanish vektorining moduli quyidagicha topiladi:

$$W = \sqrt{W_t^2 + W_n^2} = \sqrt{\left(\frac{d\nu}{dt}\right)^2 + \left(\frac{v^2}{\rho}\right)^2}. \quad (6.8.7)$$

$\dot{W}$  tezlanish vektori bilan bosh normal orasidagi burchak quyidagi teng:

$$\operatorname{tg} \mu = \frac{W_t}{W_n}. \quad (6.8.8)$$

Shunday qilib, agar nuqtaning harakati tabiiy usulda berilgan bo'lsa, (6.8.6), (6.8.7) va (6.8.8) formulalar yordamida nuqta tezlanishining proyeksiyalari, moduli va yo'nalishi topiladi.

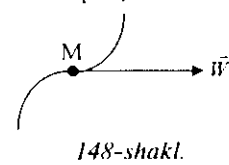
Tezlik vektori  $v$  va tezlanish vektori  $\dot{W}$  larning proyeksiyalari qarab, quyidagi hollar bo'lishi mumkin:

Agar  $v = \frac{dS}{dt}$  va  $W_t = \frac{d\nu}{dt}$  miqdorlar bir xil ishoraga ega bo'lsa, nuqtaning harakati tezlanuvchan (147- a shakl), har xil ishoraga ega bo'lsa, harakat sekinlanuvchan (147- b shakl) bo'ladi.

Agar berilgan paytda  $\frac{d\nu}{dt} = W_t = 0$  (bu hol nuqta tezligi maksimum yoki minimumiga erishganda sodir bo'ladi) bo'lsa, nuqtaning

tezlanishi shu paytda bosh normal bo'ylab yo'nalgan bo'ladi ( $\vec{W} = \vec{W}_n$ ,  $\mu = 0$ ). Agar  $\frac{dv}{dt} = W_r = 0$  shart biror vaqt oralig'ida bajarilsa, u holda tezlikning son qiymati bu vaqt oralig'ida o'zgarmaydi va harakat egri chiziqli tekis harakat bo'ladi. Bu holda tezlanish vektori butun vaqt oralig'ida bosh normal bo'ylab yo'nalgan bo'ladi.

Agar vaqtning berilgan paytida  $W_n = \frac{v^2}{\rho} = 0$  bo'lsa, shu paytda nuqtaning tezlanishi urima bo'ylab yo'naladi ( $\vec{W} = \vec{W}_r$ ,  $\mu = 90^\circ$ ). Bunday hol yo nuqtaning tezligi shu paytda nolga teng bo'lganda (nuqta shu paytda harakat yo'nalishini o'zgartiradi), yoki harakatlanuvchi nuqta trayektoriyaning egilish nuqtasida bo'lganda ( $\rho = \infty$ ) sodir bo'ladi (148-shakl).



148-shakl.

Agar nuqta harakatda bo'lib,  $W_n = \frac{v^2}{\rho} = 0$  shart biror vaqt oralig'ida bajarilsa, nuqta shu vaqt oralig'ida to'g'ri chiziqli harakat qiladi.

Agar biror vaqt oralig'ida nuqtaning to'la tezlanishi nolga teng bo'lsa, ( $\dot{W} = 0$ ) bu vaqt oralig'ida  $W_r = 0$ ,  $W_n = 0$  bo'lib, nuqta tanlangan sanoq sistemasiga nisbatan to'g'ri chiziqli tekis harakatda bo'ladi.

## 6.9. Nuqtaning tekis va tekis o'zgaruvchan harakati

Agar butun harakat davomida nuqtaning tezligi o'zgarmasa, ya'ni  $v = v_0 = \text{const}$  bo'lsa, nuqtaning bu holdagi harakatiga egri chiziqli tekis harakat deyiladi.  $\frac{dS}{dt} = v_0$  yoki  $dS = v_0 dt$  tenglikni integrallab, egri chiziqli tekis harakat qonunini topish mumkin, ya'ni

$$S = S_0 + v_0 t, \quad (6.9.1)$$

bunda  $S_0$  — nuqtaning boshlang'ich masofasi.

Agar butun harakat davomida nuqtaning urinma tezlanishi o'zgarmasa, ya'ni  $W_r = a = \text{const}$  bo'lsa, nuqtaning bu holdagi harakatiga egri chiziqli tekis o'zgaruvchi harakat deyiladi.  $\frac{dv}{dt} = a$  yoki  $dv = adt$  tenglamani integrallab, nuqta tezligining o'zgarish qonuni topiladi:

$$v = v_0 + at, \quad (6.9.2)$$

bunda  $v_0$  — nuqtaning boshlang'ich tezligi.  $v = \frac{dS}{dt}$  tenglikni e'tiborga olib, (6.6.22) quyidagicha yoziladi:

$$\frac{dS}{dt} = v_0 + at \text{ yoki } dS = (v_0 + at)dt.$$

Bu tenglikni integrallab, egri chiziqli tekis o'zgaruvchan harakat qonunini topish mumkin, ya'ni

$$S = S_0 + v_0 t + \frac{at^2}{2}. \quad (6.9.3)$$

Agar harakat to'g'ri chiziqli va  $W=a=\text{const}$  bo'lsa, nuqtaning bunday harakatiga to'g'ri chiziqli tekis o'zgaruvchan harakat deyiladi:

$$\frac{dv}{dt} = W = a = \text{const}$$

demak,

$$v = v_0 + at, \quad v = \frac{dx}{dt} = v_0 + at.$$

Bundan to'g'ri chiziqli tekis o'zgaruvchan harakat qonuni topiladi:

$$x = x_0 + v_0 t + \frac{at^2}{2}. \quad (6.9.4)$$

## 6.10. Aylana bo'y lab harakatlanuvchi nuqtaning tezlanishi

Agar nuqta  $R$  radiusli aylana bo'y lab harakatlansa, nuqta tezligining miqdori quyidagicha topiladi:

$$v = R\omega.$$

Bu tenglikning ikkala tomonini vaqt bo'yicha differensiallab, nuqta urinma tezlanishi topiladi:

$$W_r = \frac{dv}{dt} = R \frac{d\omega}{dt} = R\varepsilon, \quad (6.10.1)$$

bunda

$$\varepsilon = \frac{d\omega}{dt} = \frac{d}{dt} \left( \frac{d\varphi}{dt} \right) = \frac{d^2\varphi}{dt^2}$$

miqdorga  $R$  radiusli aylana bo'ylab harakat qilayotgan nuqtaning burchak tezlanishi deyiladi.

Endi nuqtaning normal tezlanishi topiladi. Biz ko'rgan edikki, aylananing egrilik radiusi shuning uchun (149-shakl)

$$W_n = \frac{v^2}{R} = \frac{\omega^2 R^2}{R} = R\omega^2. \quad (6.10.2)$$

Tezlanish moduli

$$W = R\sqrt{\varepsilon^2 + \omega^4}. \quad (6.10.3)$$

$W$  tezlanish aylananing radiusi bilan hosil qilgan  $\mu$  burchak quyidagicha topiladi:

$$\operatorname{tg}\mu = \frac{W_r}{W_n} = \frac{\varepsilon}{\omega^2}. \quad (6.10.4)$$

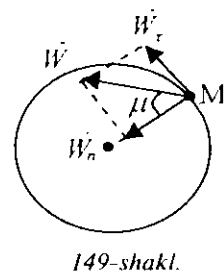
Agar  $v = \text{const}$  bo'lsa, nuqtaning aylana bo'ylab harakat tezlanishi aylana radiusi bo'ylab yo'nalgan bo'ladi va

$$W_r = \frac{dv}{dt} = 0.$$

## 6.11. Nuqta tezlanishining qutb koordinatalaridagi ifodasi

Nuqta tekis egri chiziq bo'ylab harakatlansin va harakat qonuni  $\vec{r} = \vec{r}(t)$  ko'rinishida berilgan bo'lsin. (6.4.17) formulaga asosan:

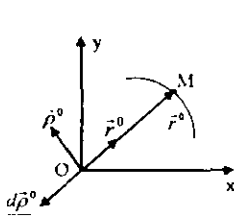
$$\vec{v} = \frac{d\vec{r}}{dt} = \dot{r}^0 \hat{r}^0 + r \frac{d\varphi}{dt} \hat{p}^0.$$



149-shakl.

Bu tenglikning ikkala tomoni  $t$  bo'yicha differensiallanadi:

$$\frac{d\vec{v}}{dt} = \dot{W} = \frac{d^2 r}{dt^2} \vec{r}^0 + \frac{dr}{dt} \frac{d\vec{r}^0}{dt} + \frac{dr}{dt} \frac{d\varphi}{dt} \vec{p}^0 + r \frac{d^2 \varphi}{dt^2} \vec{p}^0 + r \frac{d\varphi}{dt} \frac{d\vec{p}^0}{dt}. \quad (6.11.1)$$



150-shakt.

$\frac{d\vec{p}^0}{dt}$  vektorming moduli va yo'nalishi topiladi.

$\vec{p}^0$  birlik vektor bo'lgani uchun  $d\vec{p}^0 \perp \vec{p}^0$  bo'lib,  $\vec{p}^0$  vektordan  $d\vec{p}^0$  vektorga o'tish uchun vektorni soat miliga teskari yo'nalishda  $90^\circ$  ga burish kerak (150-shakl), undan tashqari  $|d\vec{p}^0| = d\varphi$ . Natijada

$$\frac{d\vec{p}^0}{dt} = -\frac{d\varphi}{dt} \vec{r}^0. \quad (6.11.2)$$

Shuningdek,

$$\frac{d\vec{r}^0}{dt} = \frac{d\varphi}{dt} \vec{p}^0 \quad (6.11.3)$$

(6.11.2) va (6.11.3) ni (6.11.1) formulaga qo'yiladi:

$$\dot{W} = \left\{ \frac{d^2 \vec{r}}{dt^2} - r \left( \frac{d\varphi}{dt} \right)^2 \right\} \vec{r}^0 + \left\{ r \frac{d^2 \varphi}{dt^2} + 2 \frac{dr}{dt} \frac{d\varphi}{dt} \right\} \vec{p}^0. \quad (6.11.4)$$

(6.11.4) formulaning o'ng tomonidagi birinchi qo'shiluvchi nuqta-ning radius-vektori bo'ylab yo'nalgan vektorni ifodalaydi. Bu vektorga nuqta tezlanishining radial tuzuvchisi deyiladi va quyidagicha yoziladi:

$$\dot{W}_r = \left\{ \frac{d^2 r}{dt^2} - r \left( \frac{d\varphi}{dt} \right)^2 \right\} \vec{r}^0. \quad (6.11.5)$$

Ikkinci qo'shiluvchi nuqta radiusiga perpendikular yo'nalgan vektorni ifodalaydi. Bu vektorni nuqta tezlanishining transversal tuzuvchisi deyiladi va quyidagicha yoziladi:

$$\dot{W}_p = \left( r \frac{d^2\phi}{dt^2} + 2 \frac{dr}{dt} \frac{d\phi}{dt} \right) \dot{p}^0. \quad (6.11.6)$$

$\dot{W}_p$  vektoring modulini quyidagi ko'tinishda ham yozish mumkin:

$$W_p = \frac{1}{r} \frac{d}{dt} \left( r^2 \frac{d\phi}{dt} \right). \quad (6.11.7)$$

$\frac{1}{2} \frac{d}{dt} \left( r^2 \frac{d\phi}{dt} \right)$  miqdomi (6.10.12) formulaga asosan quyidagicha yozish mumkin:

$$\frac{1}{2} \frac{d}{dt} \left( r^2 \frac{d\phi}{dt} \right) = \frac{dV_\sigma}{dt} = \frac{d^2\sigma}{dt^2}. \quad (6.11.8)$$

$\frac{d^2\sigma}{dt^2}$  miqdorga vektorial tezlanish deyiladi. (6.4.26) formulaga asosan biror markazga nisbatan

$$mom_0 \vec{v} = \vec{r} \times \vec{v} = 2 \frac{d\vec{\sigma}}{dt}.$$

Bu tenlikning ikkala tomoni vaqt bo'yicha differensiallanadi:

$$\frac{d\vec{r}}{dt} \times \vec{v} + \vec{r} \times \frac{d\vec{v}}{dt} = 2 \frac{d^2\vec{\sigma}}{dt^2}.$$

$\frac{d\vec{r}}{dt} \times \vec{v} = 0$  va  $\frac{d\vec{v}}{dt} = \vec{W}$  bo'lgani uchun

$$\vec{r} \times \vec{W} = 2 \frac{d^2\vec{\sigma}}{dt^2}$$

yoki

$$mom_0 \vec{W} = 2 \frac{d^2\vec{\sigma}}{dt^2}.$$

Demak, biror markazga nisbatan nuqta tezlanishining momenti, o'sha markazga nisbatan ikkilangan sektorial tezlanishga teng bo'lar ekan.

Nuqtaning harakati qutb koordinatalarida berilgan bo'lsin, ya'ni

$$\ddot{r} = \ddot{r}(t), \quad \varphi = \varphi(t). \quad (6.11.9)$$

Nuqta tezlanishining proyeksiyalarini va (6.6.33) formulalardan foydalanib topish mumkin:

$$W_r = \ddot{r} - r\dot{\varphi}^2, \quad W_\varphi = r\ddot{\varphi} + 2\dot{r}\dot{\varphi}. \quad (6.11.10)$$

Tezlanishning moduli quyidagi formuladan topiladi:

$$W = \sqrt{W_r^2 + W_\varphi^2} = \sqrt{(\ddot{r} - r\dot{\varphi}^2)^2 + (r\ddot{\varphi} + 2\dot{r}\dot{\varphi})^2}. \quad (6.11.11)$$

## 6.12. Nuqta tezlanishini topishga doir masalalarni yechish bo'yicha uslubiy tavsiyalar. Masalalar

Nuqta tezlanishini topishga doir masalalarini quyidagi tartibda yechish tavsiya etiladi:

1. Nuqtaning harakat qonunini berilishiga qarab tegishli koordinatalar sistemasini tanlash kerak.

2. Nuqtaning harakati koordinatalar (dekart koordinatalari) usulida berilgan bo'lsa, tegishli formulalardan foydalanib, tezlanishning proyeksiyalarini, moduli va yo'nalishi topadi.

3. Nuqtaning harakati tabiiy usulda berilgan bo'lsa, tegishli formuladan foydalanib tezlanishning proyeksiyalarini, moduli va yo'nalishi topiladi.

4. Agar nuqtaning harakati qutb koordinatalarida berilgan bo'lsa, tezlanishning proyeksiyalarini va moduli (6.11.10) va (6.11.11) formulalardan foydalanib topiladi.

**1-masala.** Nuqta  $x = \cos 4t$ ,  $y = \sin 4t$ ,  $z = 2t$  tenglamalarga asosan harakat qiladi, bunda uzunlik birligi uchun metr, vaqt sekundda

olingan.  $t = \frac{\pi}{2} c$  bo'lgan paytda nuqta tezlanishining proyeksiyalarini, moduli va yo'nalishlari topilsin.

**Yechish.** Nuqtaning harakati dekart koordinatalarida berilgan. Tezlanishning proyeksiyalarini vaqtning funksiyasi ko'rinishida topiladi:

$$W_x = -16 \cos 4t; \quad W_y = -16 \sin 4t; \quad W_z = 0 \quad (a)$$

$$W = \sqrt{W_x^2 + W_y^2 + W_z^2} = \sqrt{(-16 \cos)^2 + (-16 \sin 4t)^2} = 16m/s^2 \quad (b)$$

$$\cos(\vec{W}, \hat{x}) = \frac{W_x}{W} = \frac{-16 \cos 4t}{16} = -\cos 4t$$

$$\cos(\vec{W}, \hat{y}) = \frac{W_y}{W} = \frac{-16 \sin 4t}{16} = -\sin 4t; \quad (c)$$

$$\cos(\vec{W}, \hat{z}) = \frac{W_z}{W} = \frac{0}{16} = 0.$$

(a), (b) va (c) formulalarga  $t = \frac{\pi}{2} c$  ni qo'yib, nuqta tezlanishining proyeksiyalarini, moduli va yo'naltiruvchi kosinuslari topiladi:

$$W_x = -16 \cos 2\pi = -16m/s^2, \quad W_z = -16 \sin 2\pi = 0, \quad W_z = 0;$$

$$W = 16 \text{ m/s}^2; \quad \cos(\vec{W}, \hat{x}) = -1; \quad \cos(\vec{W}, \hat{y}) = 0; \quad \cos(\vec{W}, \hat{z}) = 0.$$

**2-masala.**  $M$  nuqta  $r$  radiusli aylana bo'ylab  $W_\sigma = a = \text{const}$  urinma tezlanish bilan harakatlanadi. Nuqta boshlang'ich paytda  $M$  holatda bo'lib, tezligi nolga teng. Vaqtning qaysi paytida normal tezlanishning miqdori urinma tezlanish miqdoriga teng bo'ladi, bu vaqt oraliq'ida nuqta bosib o'tgan yoy uzunligi topilsin.

**Yechish.** Nuqtaning urinma tezlanishini topish formulasiga asosan:

$$W_r = \frac{d\nu_r}{dt}. \quad (a)$$

Agar  $W_r = a = \text{const}$  bo'lsa, (a) tenglamadan:

$$\nu_r = W_r t + C, \quad (b)$$

bunda  $C$  integrallash o'zgarmasi bo'lib, u  $t = 0, \nu_r = 0$  boshlang'ich shartdan topiladi, ya'ni  $C = 0$ . Natijada

$$\nu_r = at. \quad (c)$$

Nuqtaning normal tezlanishi quyidagi formula bilan topiladi:

$$W_n = \frac{v^2}{\rho} = \frac{a^2 t^2}{r}.$$

Normal va urima tezlanishlarining miqdorlari teng bo'lgan vaqtini topish uchun ularning miqdorlari tenglashtiriladi, ya'ni

$$\frac{a^2 t^2}{r} = a.$$

Bundan  $t_1 = \sqrt{\frac{r}{a}}.$

Nuqta tezligi quyidagi ko'rinishda yoziladi:

$$v_r = \frac{dS}{dt} = at.$$

Buni integrallab

$$S = \frac{at^2}{2} + C_1$$

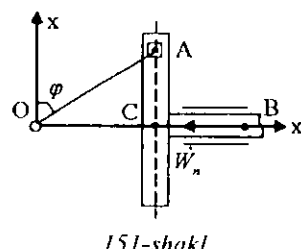
ni topiladi.  $C_1$  o'zgarmasni  $t=0$ ;  $S=0$  boshlang'ich shartdan topiladi, ya'ni  $C_1=0$ . Natijada

$$S = \frac{at^2}{2}.$$

Bu tenglamaga  $t=t_1$  ni qo'yib, o'tilgan yoy uzunligi topiladi, ya'ni

$$S = \frac{a}{2} t_1^2 = \frac{a}{2} \frac{r}{a} = \frac{r}{2}.$$

**3-masala (O.E.Kepe 7.4.5).**  $OA=15\text{sm}$  bo'lsa,  $t=5\text{c}$  bo'lgan paytda  $B$  nuqtaning tezlanishi topilsin, burchakning o'zgarish qonuni  $\varphi = 4t$  (151-shakl).



**Yechish.**  $B$  nuqta hamma vaqt  $Ox$  o'qi bo'ylab harakatlanadi.

Kulisaning hamma nuqtalari bir xil tezlanish bilan harakatlanadi, shuning uchun  $C$  nuqtaning tezlanishini topish yetarli. Koordinatalar sistemasi 151-shaklda

ko'rsatilgan. C nuqtaning  $x$  koordinatasi topiladi. 151-shakldan:

$$x_C = OC = OA \sin \varphi \quad \text{yoki} \quad x_C = 15 \sin 4tsm$$

Bundan ikki marta hosila olib, C nuqtaning yoki B nuqtaning tezlanishi topiladi:

$$W_C = W_B = -240 \sin 4t.$$

Bunga  $t = 5s$  ni qo'yildi:

$$W_B = -240 \sin 1146^\circ \approx -240 \sin 66^\circ \approx -219 \frac{sm}{s^2} = -2,19 \frac{m}{s^2}.$$

B nuqtaning tezlanishi 0 nuqtaga qarab yo'nalgan bo'ladi.

**4-masala (O.E.Kepe 7.4.7).** OA krivoshipining holati  $\varphi = 2t$  burchak bilan aniqlanadi.  $OA=1m$  bolsa,  $t=1s$  bo'lgan paytda A nuqta tezlanishining  $x$  o'qidagi proyeksiyasi topilsin (152-shakl).

**Yechish.** Koordinatalar sistemasi 152-shaklda ko'rsatilgan. A nuqtaning  $x$  koordinatasi topiladi. 152-shakldan:

$$x = OB = OA \cos(180^\circ - \varphi) = -OA \cos \varphi.$$

yoki

$$x = -\cos 2t.$$

Bundan  $t$  bo'yicha ikki marta hosila olib, tezlanishning  $x$  o'qidagi proyeksiyasi topiladi, ya'ni

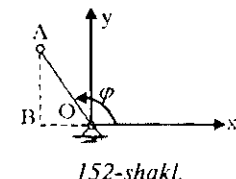
$$W_x = \ddot{x} = 4 \cos 2t \quad (\text{a})$$

$t=1s$  ni (a) formulaga qo'yildi:

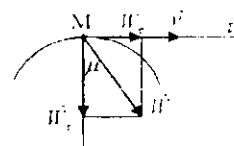
$$W_x = 4 \cos 2 \cdot 1 \approx 4 \cos 115^\circ = -4 \sin 25^\circ \approx -1,66 m/s.$$

**5-masala.** M nuqta  $S = ae^{\mu t}$  tenglamaga muvofiq harakatlanadi. Nuqtaning to'la tezlanishi bilan bosh normal orasidagi burchak o'zgarmas va  $\mu = 30^\circ$  ga teng. Nuqtaning tezligi, urinma, normal va to'la tezlanishi hamda trayektoriyaning egrilik radiusi topilsin (153-shakl).

**Yechish.** Berilgan harakat tenglamasidan foydalaniib, tezlikning urinmadagi proyeksiyasi topiladi, ya'ni



152-shakl.



153-shakl.

Nuqtaning urinma tezlanishi quyidagi teng:

$$W_r = \frac{dv_r}{dt} = ak^2 e^{kt} = k^2 S.$$

Trayektoriyaning bosh normali bilan to'la tezlanishi orasida burchak  $\mu = 30^\circ$  bo'lganligi uchun tezlanishining moduli quyidagi tenglikdan topiladi:

$$W \cos(90^\circ - \mu) = W_r,$$

bundan

$$W = \frac{W_r}{\sin 30^\circ} = 2k^2 S.$$

Nuqtaning normal tezlanishi topiladi:

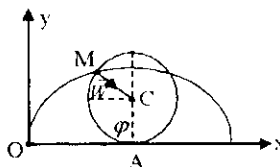
$$W_n = \sqrt{W^2 - W_r^2} = \sqrt{3}k^2 S.$$

Trayektoriyaning egrilik radiusi quyidagi formuladan topiladi:

$$\rho = \frac{v^2}{W_n} = \frac{k^2 S^2}{\sqrt{3}k^2 S} = \frac{\sqrt{3}}{3} S = \frac{\sqrt{3}}{3} a e^{kt}.$$

Demak, nuqta proyeksiyasining egrilik radiusi vaqt o'tishi bilan cheksiz o'sadi.

**6-masala (И.В.Мешчерский 12.17).** Ox gorizontal o'q bo'ylab sirpanmasdan yumalovchi g'ildirak nuqtasi tezlanishining miqdori va yo'nalishi hamda trayektoriyaning egrilik radiusi topilsin; nuqta quyidagi tenglamalarga asosan sikloida chizadi:



$$x = 20 - t - \sin 20t, \quad y = 1 - \cos 20t$$

( $t$ -sekundlar,  $x, y$ -metrlar hisobida). Shuningdek,  $t = 0$  bo'lganda egrilik radiusi  $\rho$  aniqlansin (154-shakl).

**Yechish.** Nuqtaning berilgan harakat tenglamalaridan vaqt bo'yicha ikki marta hosila olib, nuqta tezlanishning proyeksiyalari topiladi, ya'ni

$$W_x = \dot{x} = 400 \sin 20t, \quad W_y = \dot{y} = 400 \cos 20t.$$

Tezlanishning moduli  $W = \sqrt{W_x^2 + W_y^2} = 400 m/s^2$ .

Endi tezlanishning yo'nalishi topiladi:

$$\cos(\vec{W}, \hat{x}) = \frac{W_x}{W} = \frac{400 \sin 20t}{400} = \sin 20t,$$

$$\cos(\vec{W}, \hat{y}) = \frac{W_y}{W} = \frac{400 \cos 20t}{400} = \cos 20t.$$

Demak, tezlanish vektori  $MC$  bo'ylab  $C$  markazga yo'nalagan. Endi egrilik radiusi topiladi. Buning uchun  $W_t$  topiladi:

$$W_t = \frac{dv_t}{dt}, \quad v_x = \dot{x} = 20 - 20 \cos 20t, \quad v_y = 20 \sin 20t.$$

$$v = \sqrt{v_x^2 + v_y^2} = \sqrt{800(1 - \cos 20t)} = 40 \sin 10t.$$

$$W_t = \frac{dv_t}{dt} = 400 \cos 10t, \quad W_n = \sqrt{W^2 - W_t^2} = 400 \sin 10t.$$

Normal tezlanishni topish formulasidan:

$$\rho = \frac{v^2}{W_n} = \frac{1600 \sin^2 10t}{400 \sin 10t} = 4 \sin 10t.$$

$t=0$  bo'lganda  $\rho = 0$ .

**7-masala (И.В.Мешчерский 12.25).** Nuqta  $x=2\cos 4t$ ,  $y=2\sin 4t$ ,  $z=2t$  tenglamalar bilan ifodalangan vint harakatini qiladi, bunda uzunlik birligi uchun metr olingan. Trayektoriyaning egrilik radiusi  $\rho$  aniqlansin.

**Yechish.** Berilgan tenglamalardan foydalanib, nuqta tezligi va tezlanishning modullari topiladi:

$$v_x = \dot{x} = -8 \sin 4t; \quad v_y = \dot{y} = 8 \cos 4t, \quad v_z = 2.$$

$$v = \sqrt{v_x^2 + v_y^2 + v_z^2} = \sqrt{64 \sin^2 4t + 64 \cos^2 4t + 4} = \sqrt{68} m/s.$$

$$W_x = \ddot{x} = -32 \cos 4t, \quad W_y = -32 \sin 4t, \quad W_z = 0,$$

$$W = \sqrt{W_x^2 + W_y^2 + W_z^2} = 32 \text{ m/s}.$$

$$v = \sqrt{68} \frac{m}{s} = const \quad bo'lgani uchun \quad W_t = \frac{dv}{dt} = 0.$$

Demak, nuqtaning to'la tezlanishi normal tezlanishga teng bo'lar ekan, ya'ni

$$W_n = W = 32 \frac{m}{s}^2.$$

Normal tezlanishni topish formulasidan foydalanib, trayektoriyaning egrilik radiusi topiladi, ya'ni

$$\rho = \frac{v^2}{W_n} = \frac{68 \frac{m^2}{s^2}}{32 \frac{m}{s}^2} = \frac{17}{8} m = 2 \frac{1}{8} m.$$

**8-masala (И.В.Меншерский 12.26).** Nuqta harakati qutb koordinatalarida  $r = ae^{kt}$  va  $\varphi = kt$  tenglamalar bilan berilgan, bunda  $a$  va  $k$  berilgan o'zgarmas miqdorlar. Nuqtaning trayektoriya tenglamasi, tezligi, tezlanishi va trayektoriyasining egrilik radiusi uning radius-vektori  $r$  ning funksiyasi sifatida aniqlansin.

**Yechish.** Nuqtaning berilgan harakat tenglamaliga asosan, nuqta trayektoriyasi  $r = ae^\varphi$  logarifmik spiraldan iborat.

Nuqtaning tezligini topamiz. Buning uchun tezlikning qutb koordinatalaridagi proyekslari topiladi:

$$v_r = \frac{dr}{dt} = ake^{kt}; \quad v_\varphi = r\dot{\varphi} = r\dot{\varphi} = ake^{kt},$$

$$v = \sqrt{v_r^2 + v_\varphi^2} = \sqrt{2}ake^{kt} = \sqrt{2}kr.$$

Endi nuqta tezlanishi topiladi. Buning uchun  $W_r$  va  $W_\varphi$  lar topiladi:

$$W_r = \ddot{r} - r\dot{\varphi}^2; \quad W_r = ak^2e^{kt} - ak^2e^{kt} = 0,$$

$$W_\varphi = r\ddot{\varphi} + 2\dot{r}\dot{\varphi} = 2ak^2e^{kt} = 2k^2r, \quad W = \sqrt{W_r^2 + W_\varphi^2} = 2k^2r.$$

Nuqta trayektoriyasining egrilik radiusi topiladi:

$$W_t = \frac{dv}{dt} = \sqrt{2}kr\dot{r} = \sqrt{2}k^2ae^{kt} = \sqrt{2}k^2r_3,$$

$$W_n = \sqrt{W^2 - W_t^2} = \sqrt{4k^4r^2 - 2k^4r^2} = \sqrt{2}k^2r.$$

Normal tezlanishni topish formulasiga asosan:

$$\rho = \frac{v^2}{W_n} = \frac{2k^2 r^2}{\sqrt{2} k^2 r} = \sqrt{2} r.$$

### Mustaqil ishlash uchun savol va topshiriqlar

1. Nuqtaning tezlanishi dekart koordinatalar sistemasida qanday topiladi?
2. Qanday tekislikka yopishma tekislik deyiladi?
3. Qanday tekislikka normal tekislik deyiladi?
4. Trayektoriyaning bosh normali qaysi tekisliklarning kesishish chizig'idan iborat?
5. Nuqta trayektoriyasi qaysi tekislikda yotadi?
6. Egri chiziqning egriligi yoki egrilik radiusi qanday topiladi?
7. Tabiiy koordinatalar sistemasida nuqtaning tezlanishi qanday topildai?
8. Nuqta tezlanishining radial va transversal tuzuvchilar qanday topiladi?
9. Nuqtaning tezlanishi qutb koordinatalar sistemasida qanday topiladi?

### Muammoli masala va topshiriqlar

1. Poyezd 72 km/soat tezlik bilan harakat qiladi, tormoz qilin-ganda u 0,4 m/s<sup>2</sup> ga teng sekinlasha oladi. Poyezdnинг stansiyaga kelmasdan qancha vaqt oldin va stansiyadan qancha narida tormozlay boshlash kerakligi topilsin.

2. Nuqta tezligining proyeksiyalari quyidagi tenglamalar bilan berilgan:  $v_x = 0,2t^2$ ,  $v_y = 3m/s$ .  $t = 2,5s$  bo'lgan paytda nuqtaning urinma tezlanishini toping.

3. Nuqtaning tezligi dekart koordinatalar sistemasida quyidagi ko'rinishda berilgan:  $v = 1,5\vec{i} + 1,5\vec{j} + 0,5t^2\vec{k}$ .  $t = 2s$  bo'lgan paytda nuqtaning urinma tezlanishi topilsin.

4. Nuqta tezlanishining proyeksiyalari quyidagi ifodalar bilan berilgan:  $W_x = 0,8tm/s^2$ ,  $W_y = 0,8m/s^2$ . Agar  $t_0 = 0$  paytda  $v_0 = 0$  bo'lsa,  $t = 2s$  bo'lganda nuqtaning urinma tezlanishini toping.

5. Nuqta radiusi  $r = 7m$  bo'lgan aylana bo'ylab  $s = 0,3t^2$  qonunga asosan harakatlanadi.  $W_n = 1,5 \text{ m/s}^2$  bo'ladigan vaqtini toping.

**6.** Nuqta  $r = 20m$  radiusli aylana bo'ylab  $v = e^t$  tezlik bilan harakat qiladi.  $W_n = 3m / s^2$  bo'ladigan vaqtini toping.

**7.** Polzun to'g'ri chiziqli yo'naltiruvchi bo'ylab  $W_x = -\pi^2 \sin \frac{\pi}{2} tm / s^2$  tezlanish bilan harakat qiladi. Agar polzunning boshlang'ich tezligi  $v_{0x} = 2\pi m / s$ , boshlang'ich holati esa polzunning koordinata boshi deb qabul qilingan o'rta holatiga to'g'ri kelsa, polzun harakatining tenglamasi topilsin.

**8.** Poyezdning boshlang'ich tezligi  $54 km / soat$  bo'lib, birinchi  $30s$  da u  $600m$  yo'l bosadi. Poyezd radiusi  $R = 1km$  bo'lgan aylanma yo'lda tekis o'zgaruvchan harakat qiladi deb hisoblab, uning  $30s$  oxiridagi tezligi va tezlanishi aniqlansin.

**9.** Radiusi  $R = 800m$  bo'lgan aylana yoyi bo'ylab poyezd tekis sekinlashuvchan harakat qiladi va  $s = 800m$  yo'l bosadi. Uning boshlang'ich tezligi  $v_0 = 54 km / soat$  va oxirgi tezligi  $v = 18 km / soat$ . Poyezdning yoy boshidagi va oxiridagi to'la tezlanishi, shuningdek shu yoy bo'ylab qancha vaqt harakatlanishi aniqlansin.

**10.** Nuqta  $s = \frac{g}{a^2} (at + e^{-at})$  qonunga muvofiq to'g'ri chiziqli harakat qiladi, bunda  $a$  va  $g$  o'zgarmas miqdorlar. Nuqtaning boshlang'ich tezligi, shuningdek, uning tezlanishi tezlikning funksiyasi sifatida aniqlansin.

**11.** Ishga tushirish davrida dizel krivoshipi palesning harakati  $x = 75 \cos 4t^2$ ,  $y = 75 \sin 4t^2$  ( $x, y$ —santimetrlar,  $t$ —sekundlar hisobida) ko'rinishdagি tenglamalar bilan berilgan. Palesning tezligi, urinma va normal tezlanishi topilsin.

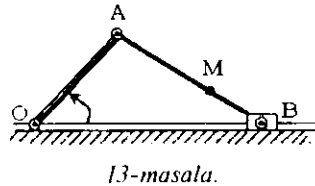
**12.**  $x = -a \sin 2\omega t$ ,  $y = -\sin \omega t$  tenglamalarga muvofiq lissaju shaklini chizuvchi nuqta trayektoriyasining  $x=y=0$  holatidagi egrilik radiusi topilsin.

13. Agar  $r = \ell = 60sm$ ,  $MB = \frac{1}{3}\ell$ ,

$\varphi = 4\pi t$  ( $t$ —sekundlar hisobida) bo'lsa, krivoship-polzun mexanizmi shatunidagi  $M$  nuqtaning trayektoriyasi topilsin, tezla-

nishi va trayektoriyasining egrilik radiusi aniqlansin  $AB = \ell$ ,  $OA = r$ .

14.  $M$  nuqta vint chizig'i bo'ylab harakatlanadi. Silindrik koordinatalar sistemasida uning harakat tenglamalari  $r = a$ ,  $\varphi = kt$ ,  $z = yt$  ko'rinishga ega. Nuqta tezlanishining silindrik koordinatalar sistemasi o'qlardagi proyeksiyalari hamda tezlanishning urinma, normal tashkil etuvchilari va vint chizig'inining egrilik radiusi topilsil.



13-masala.

### 6.13. Egri chiziqli koordinatalar

Koordinatalar, harakat tenglamalari, egri chiziq, tekislik, sirt, sferik va silindrik koordinatalar.

$M$  nuqtaning dekart koordinatalari  $x, y, z$  bo'lsin.  $x, y, z$  o'zgaruvchilarning bir qiymatli differensiallanuvchi

$q_1 = f_1(x, y, z)$ ,  $q_2 = f_2(x, y, z)$ ,  $q_3 = f_3(x, y, z)$  (6.13.1)  
funksiyalarni qaraymiz.  $x, y, z$  o'zgaruvchilarni (6.8.1) tenglamalardan bir qiymatli aniqlash mumkin bo'lsa, ya'ni

$$x = \varphi_1(q_1, q_2, q_3), \quad y = \varphi_2(q_1, q_2, q_3), \quad z = \varphi_3(q_1, q_2, q_3) \quad (6.13.2)$$

ko'rinishdagi bir qiymatli almashtirish mavjud bo'lsa,  $q_1, q_2, q_3$  o'zgaruvchilarni  $M$  nuqtaning koordinatalari sifatida qabul qilish mumkin. Haqiqatan ham  $(x, y, z)$  koordinatalarning har qanday qiyatlari sistemasiga (6.13.1) tenglamalar bilan aniqlangan  $(q_1, q_2, q_3)$  qiyatlari mos keladi.  $(q_1, q_2, q_3)$  parametrlarga  $M$  nuqtaning egri chiziqli koordinatalari deyiladi.  $(q_1, q_2, q_3)$  o'zgaruvchilarni har bir xususiy qiyatlariiga (6.13.2) tenglamalar bilan aniqlangan

$$x = c_1, \quad y = c_2, \quad z = c_3 \quad (6.13.3)$$

ko‘rinishdagi koordinat tekisligi mos keladi. Bu tekisliklar asosiy koordinat tekisliklariga parallel bo‘lib, ular  $(c_1, c_2, c_3)$  nuqtada kesishadi. Xuddi shunday  $(x, y, z)$  o‘zgaruvchilarning har bir xususiy qiymatlariga  $q_1, q_2, q_3$  larni

$$q_1 = \alpha, \quad q_2 = \beta, \quad q_3 = \gamma \quad (6.13.4)$$

ko‘rinishdagi qiymatlari mos keladi. (6.13.4) tenglamalar fazoda biror sirtni ifodalaydi. Haqiqatan ham  $q_1, q_2, q_3$  larning o‘rniga (6.8.1) ifodalarni qo‘yamiz, u holda

$$f_1(x, y, z) = \alpha, \quad f_2(x, y, z) = \beta, \quad f_3(x, y, z) = \gamma \quad (6.13.5)$$

tenglamalarni hosil qilamiz. (6.13.5) tenglamalar dekart koordinatalar sistemasida qandaydir sirtlarni ifodalaydi. Shunday qilib, nuqtaning  $(x, y, z)$  dekart koordinatalari (6.13.1) ko‘rinishidagi tenglamalar yordamida  $q_1, q_2, q_3$  parametrlar bilan bog‘langan bo‘lsa,  $q_1, q_2, q_3$  parametrlar boshqa bir koordinatalar sistemasiga nisbatan o‘sha nuqtaning koordinatalari bo‘ladi.  $(q_1, q_2, q_3)$  koordinatalar sistemasida koordinata tekisliklari rolini (6.13.4) tenglamalar bilan aniqlangan sirtlar o‘ynaydi. Koordinata chiziqlari esa (6.13.3) tenglamalar bilan aniqlangan sirtlarni ikkitalab kesishishidan hosil bo‘ladigan egri chiziqlar bo‘ladi. Shuning uchun  $(q_1, q_2, q_3)$  sistemaga egri chiziqli koordinatalar sistemasi deyiladi. Shunday qilib,  $(q_1, q_2, q_3)$  koordinatalar sistemasida nuqtaning o‘rni (6.13.4) ko‘rinishdagi sirtlarning kesishish nuqtasi yoki koordinata egri chiziqlarini kesishish nuqtasi sifatida topiladi.

Egri chiziqli koordinatalar sistemalaridan eng ko‘p qo‘llaniladiganlari sferik va silindrik koordinatalar sistemalaridir.

### 6.13.1. Sferik koordinatalar sistemasi

Sferik koordinatalar sistemasida  $M$  nuqtaning holati  $r, \phi, \theta$  parametrlar bilan aniqlanadi:  $r$ - $M$  nuqtaning  $O$  koordinatalar boshiga nisbatan radius-vektori, bunga qutb radiusi deyiladi,  $\phi$ -qutb radiusi bilan  $Oxy$  tekisligi orasidagi burchak,  $0$ -qutb radiusi va  $z$  o‘qi orqali o‘tuvchi tekislik bilan  $Oxz$  tekisligi orasidagi

ikki yoqli burchak (155-shakl).  $z$  o'qiga qutb o'qi deyiladi. 155-shakldan foydalanib,  $M$  nuqtaning dekart koordinatalari bilan sferik koordinatalar orasidagi bog'lanishlarni topish mumkin:

$$x = r \cos \theta \cos \varphi, \quad y = r \cos \theta \sin \varphi, \quad z = r \sin \theta. \quad (6.13.6)$$

Sferik koordinatalar sistemasida koordinat sirtlari quyidagi tenglamalar bilan aniqlanadi:

$$r = a, \quad \varphi = \beta, \quad \theta = \gamma. \quad (6.13.7)$$

bunda  $\alpha, \beta, \gamma$  lar o'zgaruvchi parametrlar. Bu parametrlar quyidagi sirtlarni tasvirlaydi:

$r = \alpha$  — markazi  $O$  nuqtada bo'lgan  $\alpha$  radiusli sfera;

$\alpha = \beta$  — qutb o'qi va  $M$  nuqta orqali o'tuvchi yarim tekislik;

$\theta = \gamma$  uchi  $O$  nuqtada bo'lgan va uchidagi burchagi  $\left(\frac{\pi}{2} - \theta\right)$  ga teng hamda o'qi  $z$  oq'i bo'lgan doiraviy konus (155-shakl).

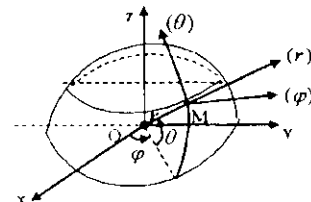
Koordinat chiziqlari, koordinat sirtlarini kesishish chiziqlari bo'ladi, ya'ni

$$(a) \begin{cases} r = \alpha; \\ \varphi = \beta, \end{cases} \quad (b) \begin{cases} \varphi = \beta; \\ \theta = \gamma, \end{cases} \quad (c) \begin{cases} \theta = \gamma; \\ r = \alpha. \end{cases} \quad (6.13.8)$$

(a) —  $\alpha$  radiusli meridian aylanasi;

(b) —  $r$  radius bilan ustma-ust tushuvchi  $OM$  to'g'ri chiziq;

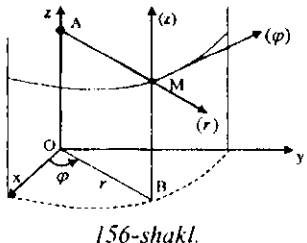
(c) —  $\alpha \cos \varphi$  parallel aylanasi.



155-shakl.

### 6.13.2. Silindrik koordinatalar sistemasi

Silindrik koordinatalar sistemasida nuqtaning holati  $r, \varphi, z$  parametrlar bilan aniqlanadi:  $r$  —  $Oz$  o'qidan  $M$  nuqtagacha bo'lgan masofa,  $\varphi$  —  $Oxz$  tekisligi bilan  $M$  nuqta va  $z$  o'qi orqali o'tuvchi tekislik orasidagi burchak (156-shakl). Nuqtaning silindrik koordinatalari bilan dekart koordinatalari orasidagi bog'lanishni 156-shakldan foydalanib topish mumkin:



156-shakl.

$$x = r \cos \varphi, y = r \sin \varphi, z = \gamma. \quad (6.13.9)$$

Silindirik koordinatalar sistemasida koordinat sirtlari quyidagi tenglamalar bilan beriladi:

$$r = \alpha, \quad \varphi = \beta, \quad z = \gamma. \quad (6.13.10)$$

Bu tenglamalar quyidagi sirtlarni tasvirlaydi:

$r = \alpha$  — o'qi z o'qi bo'lgan,  $\alpha$  radiusli silindr;

$\varphi = \beta$  — z o'qi va  $M$  nuqta orqali o'tuvchi tekislik;

$z = \gamma$  —  $M$  nuqtadan z o'qiga perpendikular bo'lib o'tuvchi tekislik.

Koordinat chiziqlari

$$(a) \begin{cases} r = \alpha; \\ \varphi = \beta, \end{cases} \quad (b) \begin{cases} \varphi = \beta; \\ z = \gamma, \end{cases} \quad (c) \begin{cases} z = \gamma; \\ r = \alpha. \end{cases} \quad (6.13.11)$$

Sirtlarni kesishish chiziqlari bo'ladi, ya'ni

(a) —  $BM$  to'g'ri chiziq,

(b) —  $AM$  to'g'ri chiziq,

(c) —  $M$  nuqtadan o'tuvchi va radiusi  $r$  ga teng aylana.

Sferik va silindirik koordinatalar sistemalarida koordinat chiziqlari to'g'ri burchak ostida kesishadi, shuning uchun bu sistemalar ortogonal sistemalar bo'ladi.

## 6.14. Tezlikning egri chiziqli koordinatalardagi ifodasi

$(q_1, q_2, q_3)$  egri chiziqli koordinatalar sistemasining ba'zi

vektorlari  $\vec{e}_1, \vec{e}_2, \vec{e}_3$  bilan belgilanadi  $\frac{\partial \vec{r}}{\partial q_i}$  vektori bilan  $\vec{e}_i$  ba'zi vektorlari har bir nuqtada koordinat chiziqlarining urunmalari bo'ylab yo'nalgan bo'ladi.

Umumiy holda ba'zi vektorlari ortogonal bo'lmasligi mumkin. Ba'zi vektorlardan foydalanib, quyidagi munosabatlarni yozamiz:

$$\frac{\partial \vec{r}}{\partial q_i} = \left| \frac{\partial \vec{r}}{\partial q_i} \right| \vec{e}_i, \quad (6.14.1)$$

yoki

$$\frac{\partial \vec{r}}{\partial q_i} = h_i \vec{e}_i \quad (i = 1, 2, 3), \quad (6.14.2)$$

bunda  $h_i = \left| \frac{\partial \vec{r}}{\partial q_i} \right|$  skalar miqdorga Laml koeffitsiyenti deyiladi.

Dekart koordinatalar sistamasida nuqtaning radius-vektori quyidagi ko'rinishda yoziladi:

$$\vec{r} = x\vec{i} + y\vec{j} + z\vec{k}, \quad (6.14.3)$$

bunda  $\vec{i}, \vec{j}, \vec{k}$ -lar dekart koordinatalar sistemasining birlik vektorlari (6.14.3) dan

$$\frac{\partial \vec{r}}{\partial q_i} = \frac{\partial x}{\partial q_i} \vec{i} + \frac{\partial y}{\partial q_i} \vec{j} + \frac{\partial z}{\partial q_i} \vec{k}. \quad (6.14.4)$$

Natijada

$$h_i = \left| \frac{\partial \vec{r}}{\partial q_i} \right| = \sqrt{\left( \frac{\partial x}{\partial q_i} \right)^2 + \left( \frac{\partial y}{\partial q_i} \right)^2 + \left( \frac{\partial z}{\partial q_i} \right)^2}. \quad (6.14.5)$$

Nuqtaning  $q_1, q_2, q_3$  egri chiziqli koordinatalari vaqtidan bog'liq bo'lgani uchun uning radius-vektori ham vaqtga bog'liq bo'ladi, ya'ni

$$\vec{r} = \vec{r}[q_1(t), q_2(t), q_3(t)].$$

Tezlikning aniqlanishi va differensiallash qoidasiga asosan

$$\vec{v} = \frac{d\vec{r}}{dt} = \frac{\partial \vec{r}}{\partial q_1} \dot{q}_1 + \frac{\partial \vec{r}}{\partial q_2} \dot{q}_2 + \frac{\partial \vec{r}}{\partial q_3} \dot{q}_3, \quad (6.14.6)$$

bunda  $\dot{q}_i = \frac{dq_i}{dt}$  ( $i = 1, 2, 3$ ) larga umumlashgan tezliklar deyiladi.

(6.14.2) va (6.14.4) formulalardan foydalaniib, tezlik vektori uchun quyidagi formula yoziladi:

$$\dot{v} = h_1 \dot{q}_1 \dot{e}_1 + h_2 \dot{q}_2 \dot{e}_2 + h_3 \dot{q}_3 \dot{e}_3 = \sum_{i=1}^3 h_i \dot{q}_i \dot{e}_i. \quad (6.14.7)$$

Natijada tezlik vektorining egri chiziqli koordinatalardagi proyeksiyalari uchun quyidagi formulani hosil qilamiz:

$$v_i = h_i \dot{q}_i \quad (i = 1, 2, 3). \quad (6.14.8)$$

Tezlik vektorining moduli uchun qo'yidagi formulani hosil qilamiz:

$$v = \sqrt{(h_1 \dot{q}_1)^2 + (h_2 \dot{q}_2)^2 + (h_3 \dot{q}_3)^2} = \sqrt{\sum_{i=1}^3 (h_i \dot{q}_i)^2} \quad (6.14.9)$$

Hususiy holda sferik va silindrik koordinatalar sistemasi ortogonal. Ular uchun tezlik (6.14.9) dan foydalanib topiladi.

Sferik koordinatalar sistemasida:

$$q_1 = r, \quad q_2 = \varphi, \quad q_3 = \theta.$$

(6.14.5) dan foydalanib  $h_i$  lar topiladi:

$$h_1 = \left( \frac{\partial x}{\partial r} \right)^2 + \left( \frac{\partial y}{\partial r} \right)^2 + \left( \frac{\partial z}{\partial r} \right)^2 = \cos^2 \theta (\cos^2 \theta + \sin^2 \varphi) + \cos^2 \theta = 1,$$

$$h_2 = r^2 \cos^2 \theta \sin^2 \varphi + r^2 \cos^2 \theta \cos^2 \varphi = r^2 \cos^2 \theta,$$

$$h_3 = r^2 \sin^2 \theta \cos^2 \varphi + r^2 \sin^2 \theta \sin^2 \varphi + r^2 \cos^2 \theta = r^2.$$

Natijada tezlikning moduli uchun quyidagi ifoda olinadi:

$$v = \sqrt{\dot{r}^2 + r^2 \cos^2 \theta \cdot \dot{\varphi}^2 + r^2 \dot{\theta}^2}. \quad (6.14.10)$$

Silindrik koordinatalar sistemasida:  $q_1 = r$ ,  $q_2 = \varphi$ ,  $q_3 = z$ .  
 $a_i$  ( $i = 1, 2, 3$ ).  $h_i$  koeffitsientlar topiladi, ya'ni

$$h_1 = 1, \quad h_2 = r^2, \quad h_3 = 1.$$

Natijada silindrik koordinatalarda tezlikning moduli quyidagiga teng bo'ladi:

$$v = \sqrt{\dot{r}^2 + r^2 \dot{\varphi}^2 + \dot{z}^2}. \quad (6.14.12)$$

## 6.15. Tezlanishning egri chiziqli koordinatalardagi ifodasi

Harakatlanuvchi nuqtaning radius-vektori dekart koordinatalarini ham egri chiziqli koordinatalarning ham funksiyasi bo'ladi, ya'ni

$$\vec{r} = \vec{r}(x, y, z) \text{ yoki } \vec{r} = \vec{r}(q_1, q_2, q_3).$$

$O$  nuqtani shunday tanlanadi uning uchun egri chiziqli koordinatalar nolga teng bo'lsin.  $\vec{r} = \vec{r}(q_1, 0, 0)$  deb  $q_1$  uchun koordinat chizig'ining tenglamasini hosil qilamiz. Xuddi shunday  $\vec{r} = \vec{r}(0, q_2, 0)$  va  $\vec{r} = \vec{r}(0, 0, q_3)$  deb  $q_2$  va  $q_3$  koordinatalar uchun ham koordinat chiziqlari tenglamalarini hosil qilamiz.

Fazoning har bir nuqtasidan shu nuqtada kesishuvchi uchta koordinat chizig'ini o'tkazish mumkin. Har bir koordinat chizig'i bo'ylab faqat bitta koordinata o'zgaradi, qolgan ikkitasi o'zgarmas bo'lib qoladi.

Radius-vektordan olingan  $\frac{\partial \vec{r}}{\partial q_i}$  xusisiy hosilalar qaraladi.

Koordinat egri chiziqlari radius-vektorni godograflari bo'lib,  $\frac{\partial \vec{r}}{\partial q_i}$  vektorlar qaralayotgan nuqtada koordinat chiziqlarining urinmalari bo'ylab yo'nalgan vektorni ifodalaydi. Qaralayotgan nuqtada  $\frac{\partial \vec{r}}{\partial q_i}$  vektorni o'sish tomoniga qarab yo'nalgan  $\vec{e}_1, \vec{e}_2, \vec{e}_3$  vektorlarga bazis vektorlari deyiladi.

Umumiyl holda bazis vektorlari ortogonal bo'lmasligi ham mumkin. Bazis vektorlaridan foydalanib, quyidagini yozish mumkin:

$$\frac{\partial \vec{r}}{\partial q_i} = \left| \frac{\partial \vec{r}}{\partial q_i} \right| \vec{e}_i. \quad (6.15.1)$$

Quyidagicha belgilash kiritiladi:

$$h_i = \left| \frac{\partial \vec{r}}{\partial q_i} \right| - \text{skalar miqdorga Lame koeffitsienti deyiladi.}$$

Nuqtaning radius-vektorini dekart koordinatalari orqali

$$\vec{r} = xi + yj + zk \quad (6.15.2)$$

ko'rinishda yoziladi.  $\vec{i}, \vec{j}, \vec{k}$  lar dekart koordinatalar sistemasi o'qlari bo'ylab yo'nalgan birlik vektorlar. (6.15.2) munosabatdan:

$$\frac{\partial \vec{r}}{\partial q_i} = \frac{\partial x}{\partial q_i} \vec{i} + \frac{\partial y}{\partial q_i} \vec{j} + \frac{\partial z}{\partial q_i} \vec{k}$$

va demak

$$h_i = \left| \frac{\partial \vec{r}}{\partial q_i} \right| = \sqrt{\left( \frac{\partial x}{\partial q_i} \right)^2 + \left( \frac{\partial y}{\partial q_i} \right)^2 + \left( \frac{\partial z}{\partial q_i} \right)^2}. \quad (6.15.3)$$

Bazis vektorlari ortogonal bo'lган koordinatalar sistemasiga ortogonal koordinatalar sistemi deyiladi. Ortogonal koordinatalar sistemasida tezlanishning koordinatalar sistemasi o'qlaridagi proyeksiyalarini quyidagicha ifodalash mumkin:

$$W_i = \vec{W} \cdot \vec{e}_i = \frac{d\vec{v}}{dt} \cdot \vec{e}_i \quad (i = 1, 2, 3). \quad (6.15.4)$$

Bazis vektorlari

$$\vec{e}_i = \frac{1}{h_i} \frac{\partial \vec{r}}{\partial q_i}, \quad (i = 1, 2, 3)$$

ko'rinishda yoziladi. Natijada (6.15.4) tenglikni quyidagi ko'rinishda yozish mumkin:

$$W_i = \frac{d\vec{v}}{dt} \frac{1}{h_i} \frac{\partial \vec{r}}{\partial q_i} = \frac{1}{h_i} \left( \frac{\partial \vec{v}}{\partial t} \frac{\partial \vec{r}}{\partial q_i} \right). \quad (6.15.5)$$

$$\frac{\partial \vec{r}}{\partial q_i} = \frac{\partial \vec{r}}{\partial q_i} \quad \text{yoki} \quad \frac{\partial \vec{r}}{\partial q_i} = \frac{\partial \vec{v}}{\partial q_i} \quad (6.15.6)$$

$$\frac{d}{dt} \left( \frac{\partial \vec{r}}{\partial q_i} \right) = \frac{\partial \vec{r}}{\partial q_i} \quad \text{yoki} \quad \frac{d}{dt} \left( \frac{\partial \vec{r}}{\partial q_i} \right) = \frac{\partial \vec{v}}{\partial q_i} \quad (6.15.7)$$

(6.15.6) va (6.15.7) Lagranj ayniyatlarining o'rini ekanligi isbotlanadi:

$$\vec{v} = \frac{d\vec{r}}{dt} = \frac{\partial \vec{r}}{\partial q_1} \dot{q}_1 + \frac{\partial \vec{r}}{\partial q_2} \dot{q}_2 + \frac{\partial \vec{r}}{\partial q_3} \dot{q}_3, \quad (6.15.8)$$

bunda  $\dot{q}_i = \frac{dq_i}{dt}$  ga umumlashgan tezlik deyiladi.  $\frac{\partial \vec{r}}{\partial q_i}$  hosila  $\dot{q}_i$  ga bog'liq emas, shuning uchun (6.15.8) dan

$$\frac{\partial \vec{v}}{\partial \dot{q}_i} = \frac{\partial \vec{r}}{\partial q_i}.$$

(6.15.8) ni  $q_i$  umumlashgan koordinata bo'yicha differensiallanadi:

$$\frac{\partial \vec{v}}{\partial q_i} = \frac{\partial^2 \vec{r}}{\partial q_1 \partial q_i} \dot{q}_1 + \frac{\partial^2 \vec{r}}{\partial q_2 \partial q_i} \dot{q}_2 + \frac{\partial^2 \vec{r}}{\partial q_3 \partial q_i} \dot{q}_3 \quad (6.15.9)$$

$\frac{\partial \vec{r}}{\partial q_i}$  ni  $\dot{q}_i$  umumlashgan tezliklarga bog'liqmasligini e'tiborga olib, uni vaqt bo'yicha differensiallanadi:

$$\frac{d}{dt} \left( \frac{\partial \vec{r}}{\partial q_i} \right) = \frac{\partial^2 \vec{r}}{\partial q_i \partial q_1} \dot{q}_1 + \frac{\partial^2 \vec{r}}{\partial q_i \partial q_2} \dot{q}_2 + \frac{\partial^2 \vec{r}}{\partial q_i \partial q_3} \dot{q}_3 \quad (6.15.10)$$

Aralash hosilalarning tengligini e'tiborga olsak, (6.15.9) va (6.15.10) tengliklarning o'ng tomonlari bir xil, demak chap tomonlari ham teng, ya'ni

$$\frac{d}{dt} \left( \frac{\partial \vec{r}}{\partial q_i} \right) = \frac{\partial \vec{v}}{\partial q_i}.$$

(6.14.3) va (6.14.4) ayniyatlarni qo'llab quyidagi almashtirish bajariladi:

$$\begin{aligned} \frac{d\vec{v}}{dt} \cdot \frac{\partial \vec{r}}{\partial q_i} &= \frac{d\vec{v}}{dt} \cdot \frac{\partial \vec{r}}{\partial q_i} = \frac{d}{dt} \left( \vec{v} \frac{d\vec{r}}{\partial q_i} \right) - \vec{v} \frac{d}{dt} \left( \frac{\partial \vec{r}}{\partial q_i} \right) = \\ &= \frac{d}{dt} \left( \vec{v} \frac{\partial \vec{v}}{\partial q_i} \right) = \frac{d}{dt} \left[ \frac{\partial}{\partial \dot{q}_i} \left( \frac{\vec{v}^2}{2} \right) \right] - \frac{\partial}{\partial q_i} \left( \frac{\vec{v}^2}{2} \right). \end{aligned} \quad (6.15.11)$$

$\vec{v}^2 = v^2$  ni e'tiborga olib,  $T = \frac{v^2}{2}$  funksiyani kiritib, (6.15.11)

dan tezlanishning proyeksiyasi uchun quyidagi formulani hosil qilamiz:

$$W_i = \frac{1}{hi} \left[ \frac{d}{dt} \left( \frac{\partial T}{\partial \dot{q}_i} \right) - \frac{\partial T}{\partial q_i} \right] \quad (i=1,2,3). \quad (6.15.12)$$

### 6.15.1. Tezlanishning sferik koordinatalardagi ifodasi

Sferik koordinatalar sistemasi ortogonal koordinatalar sistemasiadir. Nuqtaning sferik koordinatalari bilan dekart koordinatalari quyidagicha bog'lanadi:

$$x = r \cos \theta \cos \varphi; \quad y = r \cos \theta \sin \varphi; \quad z = r \sin \theta \quad (6.15.13)$$

(6.14.1) formuladan foydalanib Lyame koeffitsentlari hisoblanadi:

$$\begin{aligned} h_r &= \sqrt{\left(\frac{\partial x}{\partial r}\right)^2 + \left(\frac{\partial y}{\partial r}\right)^2 + \left(\frac{\partial z}{\partial r}\right)^2} = \sqrt{(\cos \theta \cos \varphi)^2 + (\cos \theta \sin \varphi)^2 + \sin^2 \theta} = 1; \\ h_\varphi &= \sqrt{\left(\frac{\partial x}{\partial \varphi}\right)^2 + \left(\frac{\partial y}{\partial \varphi}\right)^2 + \left(\frac{\partial z}{\partial \varphi}\right)^2} = \sqrt{(-r \cos \theta \sin \varphi)^2 + (r \cos \theta \cos \varphi)^2} = r \cos \theta. \\ h_\theta &= \sqrt{\left(\frac{\partial x}{\partial \theta}\right)^2 + \left(\frac{\partial y}{\partial \theta}\right)^2 + \left(\frac{\partial z}{\partial \theta}\right)^2} = \sqrt{(-r \sin \theta \cos \varphi)^2 + (-r \sin \theta \sin \varphi)^2 + (r \sin \theta)^2} = r. \end{aligned}$$

Tezlikning sferik koordinatalar sistemasi o'qlaridagi proyeksiyalari

$$v_i = h_i \cdot \dot{q}_i \quad (i = 1, 2, 3)$$

formuladan foydalanib topiladi, ya'ni

$$v_r = h_r \dot{r}_0 = \dot{r}, \quad v_\varphi = h_\varphi \dot{\varphi} = r \dot{\varphi} \cos \theta, \quad v_\theta = h_\theta \dot{\theta} = r \dot{\theta}. \quad (6.15.14)$$

Tezlikning kvadrati va  $T$  funksiya uchun quyidagi ifodalari topiladi:

$$v^2 = v_r^2 + v_\varphi^2 + v_\theta^2 = \dot{r}^2 + r^2 \dot{\varphi}^2 \cos^2 \theta + r^2 \dot{\theta}^2;$$

$$T = \frac{1}{2} v^2 = \frac{1}{2} (\dot{r}^2 + r^2 \dot{\varphi}^2 \cos^2 \theta + r^2 \dot{\theta}^2).$$

Tezlanishning sferik koordinatalar sistemasi o'qlaridagi proyeksiyalari (6.14.9) formulalardan foydalanib topiladi:

$$\left. \begin{aligned} W_r &= \frac{1}{h_r} \left[ \frac{d}{dt} \left( \frac{\partial T}{\partial \dot{r}} \right) - \frac{\partial T}{\partial r} \right] = \ddot{r} - r\dot{\varphi}^2 \cos^2 \theta - r\dot{\theta}^2; \\ W_\varphi &= \frac{1}{h_\varphi} \left[ \frac{d}{dt} \left( \frac{\partial T}{\partial \dot{\varphi}} \right) - \frac{\partial T}{\partial \varphi} \right] = \frac{1}{r \cos \theta} \frac{d}{dt} (r^2 \dot{\varphi} \cos^2 \theta); \\ W_\theta &= \frac{1}{h_\theta} \left[ \frac{d}{dt} \left( \frac{\partial T}{\partial \dot{\theta}} \right) - \frac{\partial T}{\partial \theta} \right] = \frac{1}{r} \frac{d}{dt} (r^2 \dot{\theta}) + r\dot{\varphi}^2 \cos \theta \sin \theta. \end{aligned} \right\} \quad (6.15.15)$$

Tezlanish vektori uchun quyidagi ifodani hosil qilamiz:

$$\vec{W} = W_r \vec{e}_r + W_\varphi \vec{e}_\varphi + W_\theta \vec{e}_\theta.$$

Tezlanish vektorining moduli  $W = \sqrt{W_r^2 + W_\varphi^2 + W_\theta^2}$  formuladan topiladi.

## 6.15.2. Tezlanishning silindrik koordinatalaridagi ifodasi

Silindrik koordinatalar sistemasi ham ortogonal koordinatalar sistemasiidir. Nuqtaning dekart koordinatalari quyidagi formulalar bilan bog'langan:

$$x = r \cos \varphi, \quad y = r \sin \varphi, \quad z = z. \quad (6.15.16)$$

(6.14.2) formulalardan foydalanib, Lame koeffitsiyentlari hisoblanadi:

$$\begin{aligned} h_r &= \sqrt{\left( \frac{\partial x}{\partial r} \right)^2 + \left( \frac{\partial y}{\partial r} \right)^2 + \left( \frac{\partial z}{\partial r} \right)^2} = \sqrt{\cos^2 \varphi + \sin^2 \varphi} = 1, \\ h_\varphi &= \sqrt{\left( \frac{\partial x}{\partial \varphi} \right)^2 + \left( \frac{\partial y}{\partial \varphi} \right)^2 + \left( \frac{\partial z}{\partial \varphi} \right)^2} = \sqrt{(-r \sin \varphi)^2 + (r \cos \varphi)^2} = r, \\ h_z &= \sqrt{\left( \frac{\partial x}{\partial z} \right)^2 + \left( \frac{\partial y}{\partial z} \right)^2 + \left( \frac{\partial z}{\partial z} \right)^2} = 1. \end{aligned} \quad (6.15.17)$$

Tezlikning silindrik koordinatalar sistemasi o'qlaridagi proyeksiyalari

$$v_r = \dot{r}, \quad v_\varphi = r\dot{\varphi}, \quad v_z = \dot{z}. \quad (6.15.18)$$

Bularga asosan

$$v^2 = \dot{r}^2 + r^2\dot{\varphi}^2 + \dot{z}^2,$$

$$T = \frac{1}{2} v^2 = \frac{1}{2} (\dot{r}^2 + r^2\dot{\varphi}^2 + \dot{z}^2).$$

Endi tezlanishning silindirik koordinatalar sistemasi o'qlaridagi proyeksiyalari topiladi:

$$\begin{aligned} W_r &= \frac{1}{h_r} \left[ \frac{d}{dt} \left( \frac{\partial T}{\partial \dot{r}} \right) - \frac{\partial T}{\partial r} \right] = \ddot{r} - r\ddot{\varphi}^2; \\ W_\varphi &= \frac{1}{h_\varphi} \left[ \frac{d}{dt} \left( \frac{\partial T}{\partial \dot{\varphi}} \right) - \frac{\partial T}{\partial \varphi} \right] = r\ddot{\varphi}; \\ W_z &= \frac{1}{h_z} \left[ \frac{d}{dt} \left( \frac{\partial T}{\partial \dot{z}} \right) - \frac{\partial T}{\partial z} \right] = \ddot{z}. \end{aligned} \quad (6.15.19)$$

Tezlanish vektori va moduli uchun quyidagi formulalarni hosil qilamiz:

$$\vec{W} = W_r \vec{e}_r + W_\varphi \vec{e}_\varphi + W_z \vec{e}_z = (\ddot{r} - r\ddot{\varphi}^2) \vec{e}_r + r\ddot{\varphi} \vec{e}_\varphi + \ddot{z} \vec{e}_z ,$$

$$W = \sqrt{W_r^2 + W_\varphi^2 + W_z^2} = \sqrt{(\ddot{r} - r\ddot{\varphi}^2)^2 + r^2\ddot{\varphi}^2 + \ddot{z}^2}.$$

## 6.16. Egri chiziqli koordinatalar sistemasida nuqta tezligi va tezlanishini topishga doir uslubiy tavsiyalar.

### Masalalar

**1-masala (И.В.Мешчерский 12.16).** Nuqta sfera va silindrning kesishish chizig'i bo'ylab  $r=R$ ,  $\varphi = \frac{kt}{2}$ ,  $\theta = \frac{kt}{2}$  tenglamalarga ko'ra harakatlanadi ( $r, \varphi, \theta$  — sferik koordinatalar). Nuqta tezligining sferik koordinatalar sistemasi o'qlaridagi proyeksiyalari va moduli topilsin.

**Yechish.** Nuqtaning dekart koordinatalari bilan sferik koordinatalarini bog'lovchi tenglamalarni olamiz, ya'ni

$x = r \cos \theta \cos \varphi$ ,  $y = r \cos \theta \sin \varphi$ ,  $z = r \sin \theta$ .  
(6.14.5) formulalardan foydalaniib,  $h_i$  lar hisoblanadi:

$$h_1 = \left(\frac{\partial x}{\partial r}\right)^2 + \left(\frac{\partial y}{\partial r}\right)^2 + \left(\frac{\partial z}{\partial r}\right)^2 = 1,$$

$$h_2 = \left(\frac{\partial x}{\partial \varphi}\right)^2 + \left(\frac{\partial y}{\partial \varphi}\right)^2 + \left(\frac{\partial z}{\partial \varphi}\right)^2 = (-r \cos \theta \sin \varphi)^2 + (r \cos \theta \cos \varphi)^2 = r^2 \cos^2 \varphi,$$

$$h_3 = \left(\frac{\partial x}{\partial \theta}\right)^2 + \left(\frac{\partial y}{\partial \theta}\right)^2 + \left(\frac{\partial z}{\partial \theta}\right)^2 = (-r \sin \theta \cos \varphi)^2 + (-r \sin \theta \sin \varphi)^2 + (r \cos \theta)^2 = r^2.$$

Endi tezlikning proyeksiyalari topiladi:  $v_r = h_1 \dot{r} = 0$ ,

$$v_\varphi = h_2 \dot{\varphi} = \frac{Rk}{2} \cos \varphi,$$

$$v_\theta = h_3 \dot{\theta} = \frac{Rk}{2}.$$

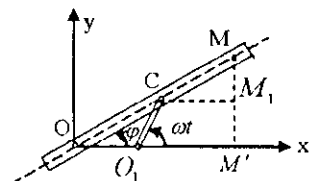
Tezlikning moduli

$$v = \sqrt{v_r^2 + v_\varphi^2 + v_\theta^2} = \sqrt{\frac{R^2 k^2}{4} \cos^2 \theta \frac{R^2 k^2}{4}} = \frac{Rk}{2} \sqrt{1 + \cos^2\left(\frac{kt}{2}\right)}.$$

### 2-masala (И.В.Менгерский 12.29).

Uzunligi  $\frac{a}{2}$  bo'lgan  $O_1S$  krivoshipi  $O_1$  o'q atrofida o'zgarmas  $\omega$  burchak tezlik bilan aylanadi (157-shakl).  $C$  nuqtada krivoshipi  $O_1$

bilan  $O_1$  aylanish o'qidan  $\frac{a}{2}$  masofada



157-shakl.

turgan, har doim  $O$  nuqta atrofida aylanib-tebranuvchi musta orqali o'tadigan  $AB$  lineyka sharnir bilan bog'langan.  $O$  nuqtani qutb sifatida qabul qilib, qutb koordinatalarida lineykaning  $C$  sharnirdan  $a$  masofadagi  $M$  nuqtasining harakat tenglamalari, trayektoriyasi, tezlik va tezlanishi topilsin, boshlang'ich paytda burchak  $\varphi = \angle COO_1 = 0$ .

**Yechish.**  $M$  nuqtaning  $O$  qutb nuqtasiga nisbatan radiusvektorini vaqtning funksiyasi sifatida topiladi:

$$r = OC + CM.$$

$OO_1S$  uchburchak teng yonli bo‘lgani uchun  $OC = 200$ ,  $\cos \varphi = a \cos \varphi$ ,  $CM = a$ .

$$\text{Natijada} \quad r = a + a \cos \varphi = a(1 + \cos \varphi). \quad (\text{a})$$

$\omega t$  uchburchakning tashqi burchagi, shuning uchun  $2\varphi = \omega t$ ,  $\varphi = \frac{\omega t}{2}$ .

Bu  $a$  tenglamaga qo‘yiladi:

$$r = a(1 + \cos \frac{\omega t}{2}), \quad \varphi = \frac{\omega t}{2}. \quad (\text{b})$$

(a) tenglama nuqta harakatining qutb koordinatalaridagi tenglamalarini ifodalaydi, (a) tenglama trayektoriya tenglamasini ifodalaydi.

Endi nuqtaning tezligi topiladi. Buning uchun tezlikning qutb koordinatalaridagi proyeksiyalari topiladi:

$$\begin{aligned} v_r &= \dot{r} = -\frac{a\omega}{2} \sin \frac{\omega t}{2}; \quad v_\varphi = r\dot{\varphi} = \frac{a\omega}{2} \left(1 + \cos \frac{\omega t}{2}\right), \quad \dot{\varphi} = \frac{\omega}{2}; \\ v &= \sqrt{v_r^2 + v_\varphi^2} = \frac{a\omega}{2} \sqrt{\sin^2 \frac{\omega t}{2} + \left(1 + \cos \frac{\omega t}{2}\right)^2} = \\ &= \frac{a\omega}{2} \sqrt{2 \left(1 + \cos \frac{\omega t}{2}\right)} = a\omega \cos \frac{\omega t}{4} \end{aligned}$$

Tezlanishning proyeksiyalari

$$W_2 = \ddot{r} - r\dot{\varphi}^2 = -\frac{a\omega^2}{4} \cos \frac{\omega t}{2} - \frac{a\omega^2}{4} \left(1 + \cos \frac{\omega t}{2}\right) = -\frac{a\omega^2}{4} \left(1 + 2 \cos \frac{\omega t}{2}\right);$$

$$W_\varphi = r\ddot{\varphi} + 2\dot{r}\dot{\varphi} = -\frac{a\omega^2}{2} \sin \frac{\omega t}{2}, \quad (\ddot{\varphi} = 0);$$

$$\begin{aligned} W &= \sqrt{W_r^2 + W_\varphi^2} = \sqrt{\frac{a^2 \omega^2}{16} \left(1 + 4 \cos \frac{\omega t}{2} + 4 \cos^2 \frac{\omega t}{2} + 4 \sin^2 \frac{\omega t}{2}\right)} = \\ &= \frac{a\omega^2}{4} \sqrt{5 + 4 \cos \frac{\omega t}{2}}. \end{aligned}$$

**3-masala (И.В.Мепичерский 12.39).** M nuqta vint chizig‘i bo‘ylab harakatlanadi. Silindrik koordinatalar sistemasida uning

harakat tenglamalari  $r = a$ ,  $\varphi = Kt$ ,  $z = v t$  ko'rinishiga ega. Nuqta tezlanishining silindrik koordinatalar sistemasi o'qlaridagi proyeksiyalari hamda tezlanishning urinma va normal tashkil etuvchilari hamda vint chizig'ining egrilik radiusi topilsin.

**Yechish.** (6.15.2) formulalarga asosan silindrik koordinatalar sistemasi uchun Lame koefitsiyentlari quyidagilarga teng bo'ladi:

$$h_r = 1, \quad h_\varphi = r, \quad h_z = 1.$$

$v_i = h_i \dot{q}_i$  formulalardan foydalanib, tezlikning silindrik koordinatalar sistemasidagi proyeksiyalari topiladi, ya'ni

$$\begin{aligned} v_r &= \dot{r}, & v_\varphi &= r\dot{\varphi}, & v_z &= \dot{z}, \\ \dot{r} &= 0, & \dot{\varphi} &= K, & \dot{z} &= v. \end{aligned}$$

Natijada tezlikning proyeksiyalari quyidagilarga teng bo'ladi:

$$v_r = 0, \quad v_\varphi = rK, \quad v_z = v.$$

Bularga asosan

$$v^2 = v_r^2 + v_\varphi^2 + v_z^2 = z^2 k^2 + v^2. \quad (\text{a})$$

$T$  funksiyaning ko'rinishi quyidagicha bo'ladi:

$$T = \frac{1}{2} v^2 = \frac{1}{2} (\dot{r}^2 + r^2 \dot{\varphi}^2 + \dot{z}^2).$$

Endi tezlanishning silindrik koordinatalar sistemasi o'qlaridagi proyeksiyalari topiladi:

$$W_r = \frac{1}{h_r} \left[ \frac{d}{dt} \left( \frac{\partial T}{\partial \dot{r}} \right) - \frac{\partial T}{\partial r} \right] = \ddot{r} - r\dot{\varphi}^2 = -aK^2, \quad \ddot{r} = 0.$$

$$W_\varphi = \frac{1}{h_\varphi} \left[ \frac{d}{dt} \left( \frac{\partial T}{\partial \dot{\varphi}} \right) - \frac{\partial T}{\partial \varphi} \right] = r\ddot{\varphi} = 0, \quad \ddot{\varphi} = 0.$$

$$W_\theta = \frac{1}{h_\theta} \left[ \frac{d}{dt} \left( \frac{\partial T}{\partial \dot{\theta}} \right) - \frac{\partial T}{\partial \theta} \right] = \ddot{Z} = 0.$$

## Tezlanishning moduli

$$W = \sqrt{W_r^2 + W_\varphi^2 + W_\theta^2} = ak^2.$$

(a) tengliklardan ko'rinib turibdiki,  $\theta = \text{const}$   $t$  va demak  $W_r = \frac{dv}{dt} = 0$ .

Shunday qilib, nuqtaning to'la tezlanishi uning normal tezlanishiga teng bo'lar ekan, ya'ni

$$W = W_n = ak^2.$$

Normal tezlanishni topish formulasidan foydalanim, vint chiziq'ining egrilik radiusi topiladi:

$$\rho = \frac{v^2}{W_n} = \frac{a^2 k^2 + v^2}{ak^2}.$$

## Muammoli masala va topshiriqlar

1. Nuqtaning harakat tenglamalari  $\varphi = 0,5t$ ,  $z = 0,5t$  qutb koordinatalarida berilgan. Qutb radiusi  $r = 2m$  ga teng bo'lgan paytda nuqta tezligining transversal tuzuvchisi  $sm/s$  larda topilsin.

2. Nuqtaning harakat tenglamalari  $\varphi = t^2$ ,  $r = 0,5t^2$  qutb koordinatalarida berilgan. Qutb burchagi  $\varphi = 2,25$  rad bo'lgan paytda nuqtaning radial tezligi topilsin.

3. Nuqtaning harakat tenglamalari  $\varphi = 2t$ ,  $r = t^2$  qutb koordinatalarida berilgan.  $t_1 = 2s$  bo'lgan paytda nuqta tezligining moduli topilsin.

4.  $M$  nuqtaning harakat tenglamalari silindrik koordinatalar sistemasida  $r = a$ ,  $\varphi = kt$ ,  $z = vt$  ko'rinishiga ega.  $M$  nuqta tezligining silindrik koordinatalar sistemasidagi proyeksiyalari topilsin.

5.  $M$  nuqta aylana bo'ylab  $r = 2a \cos \frac{kt}{2}$ ,  $\varphi = \frac{kt}{2}$  tenglamalarga asosan harakatlanadi ( $r, \varphi$  – qutb koordinatalari).  $M$  nuqta tezligining

qutb koordinatalar sistemasi o'qlaridagi proyeksiyalari, tezlik godogrofini chizuvchi  $M$ , nuqta tezligining proyeksiyalari topilsin.

**6.** Nuqta harakati qutb koordinatalarida  $r = ae^{kt}$  va  $\phi = kt$  tenglamalar bilan berilgan, bunda  $a$  va  $k$  berilgan o'zgarmas miqdorlar. Nuqtaning trayektoriya tenglamasi, tezligi, tezlanishi va trayektoriyasining egrilik radiusi uning radius-vektori  $r$  ning funksiyasi sifatida aniqlansin.

**7.**  $M$  nuqta  $x^2 + y^2 + z^2 = R^2$  sféra bilan  $\left(x - \frac{R}{2}\right)^2 + y^2 = \frac{R^2}{4}$

silindrning kesishish chizig'i bo'ylab harakatlanadi. Nuqta-ning sferik koordinatalar sistemasidagi harakat tenglamalari

$$r = R, \quad \phi = \frac{kt}{2}, \quad \theta = \frac{kt}{2}$$

ko'rinishga ega. Nuqta tezlanishining sferik koordinatalaridagi proyeksiyalari va moduli topilsin.

### Mustaqil ishlash uchun savol va topshiriqlar

1. Qanday koordinatalarga egri chiziqli koordinatalar deyiladi?
2. Koordinata tekisliklari deganda nimani tushunasiz?
3. Koordinata chiziqlari deganda nimalarni tushunasiz?
4. Qanday sistemalarga ortogonal sistemalar deyiladi?
5. Egri chiziqli koordinatalarda nuqtaning tezligi qanday topiladi?
6. Egri chiziqli koordinatalarda nuqta tezlanishining proyeksiyalari qanday topiladi?
7. Ortogonal koordinatalar sistemasida nuqtaning tezlanishi qanday topiladi?

## VII BOB. QATTIQ JISMNING ILGARILANMA VA QO'ZG'ALMAS O'Q ATROFIDAGI AYLANMA HARAKATI

*Mazkur bobda mekanik sistema va qattiq jismlar kinemati-kasining asosiy tushunchalari va ta'riflari bilan tanishamiz. Shuningdek, qattiq jismning oddiy harakatlari: ilgarilanma, qo'zg'almas o'q atrofida aylanma harakatlariga doir nazariyalar qichqacha keltirilgan.*

### 7.1. Asosiy tushunchalar va ta'riflar. Mekanik sistema va qattiq jismning erkinlik darajasi

**Tayanch iboralar:** moddiy nuqta, mekanik sistema, bog'lanishlar, o'zaro bog'langan va bog'lanmagan koordinatalar.

Har bir nuqtasining harakati qolgan nuqtalarning holati va harakatiga bog'liq bo'lган moddiy nuqtalar to'plamiga mekanik sistema deyiladi. Mekanik sistema  $n$  ta moddiy nuqtadan tashkil topgan bo'lsin. Tanlangan sanoq sistemasiga nisbatan har bir nuqtasining fazodagi holati uchta koordinata bilan aniqlanadi, shuning uchun mekanik sistemaning o'sha sanoq sistemasiga nisbatan holati  $3n$  ta.

$$x_1, \quad y_1, \quad z_1, \quad x_2, \quad y_2, \quad z_2, \dots, \quad x_n, \quad y_n, \quad z_n$$

koordinata bilan aniqlanadi.

Sistema nuqtalarining holati va harakatiga chek qo'yuvchi sabablarga **bog'lanishlar** deyiladi. Sistema nuqtalarining faqat holatiga chek qo'yuvchi bog'lanishga geometrik yoki chekli bog'lanish deyiladi. Sistema nuqtalarining nafaqat holatiga, balki tezligiga ham chek qo'yuvchi bog'lanishga kinematik yoki differensial bog'lanish deyiladi. Bog'lanishlar analitik usulda sistema nuqtalarining koordinatalari, tezliklari va vaqt orasidagi bog'lanishini ifodalovchi tenglamalar bilan beriladi.

Geometrik bog'lanish tenglamalarida sistema nuqtalarining koordinatalari va vaqt qatnashadi, ya'ni

$$f(x_1, \quad y_1, z_1, \dots, x_n, y_n, z_n; t) = 0. \quad (7.1.1)$$

Kinematik bog'lanish tenglamalarida sistema nuqtalarining koordinatalari va tezliklarining proyeksiyalari hamda vaqt qantashadi, ya'ni

$$\varphi(x_1, y_1, z_1, \dots, x_n, y_n, z_n, \dot{x}_1, \dot{y}_1, \dot{z}_1, \dots, \dot{x}_n, \dot{y}_n, \dot{z}_n; t) = 0. \quad (7.1.2)$$

Sistemaga  $x$  ta geometrik bog'lanish qo'yilgan bo'lsin, ya'ni

$$f_i(x_1, y_1, z_1, \dots, x_n, y_n, z_n; t) = 0 \quad (v = 1, 2, \dots, k) \quad (7.1.3)$$

$3n$  ta koordinata  $k$  ta tenglama bilan o'zaro bog'langan, demak o'zaro bog'lanmagan koordinatalar soni  $3n-k$  ga teng. Bu o'zaro bog'lanmagan koordinatalarga sistemasining umumlashgan koordinatalari deyiladi. O'zaro bog'lanmagan koordinatalar soniga **sistemning erkinlik darajasi** deyiladi.

Ixtiyoriy ikkita nuqtasi orasidagi masofa o'zgarmas bo'lgan mexanik sisemaga absolyut qattiq jism yoki qattiq jism deyiladi. Qattiq jismning erkinlik darajasi oltiga teng. Masalan, qattiq jismning bir to'g'ri chiziqda yotmaydigan uchta nuqtasi olinadi (158-shakl).

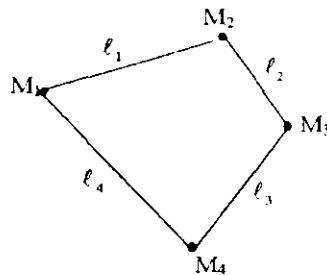
To'qqizta koordinata bu nuqtalar orasidagi masofaning o'zgarmasligini ifodalovchi uchta tenglama bilan bog'langan, ya'ni

$$(x_2 - x_1)^2 + (y_2 - y_1)^2 + (z_2 - z_1)^2 = \ell_1 = \text{cos } t,$$

$$(x_3 - x_1)^2 + (y_3 - y_1)^2 + (z_3 - z_1)^2 = \ell_2 = \text{cons } t,$$

$$(x_3 - x_2)^2 + (y_3 - y_2)^2 + (z_3 - z_2)^2 = \ell_3 = \text{cons } t.$$

O'zaro bog'liq bo'lmasligi koordinatalar soni  $3 \cdot 3 - 3 = 6$ . Demak, uchta nuqtaning holati 6 ta koordinata bilan aniqlanadi. Agar bu nuqtalarga to'rtinchi  $M_4$  nuqtani qo'shib olsak, 12 ta koordinata hosil bo'ladi. Har ikkitasining orasidagi masofani o'zgarmasligini ifodalovchi tenglamalar soni 6 ta, ya'ni  $M_1 M_2$ ,



158-shakl.

$M_1M_3$ ,  $M_1M_4$ ,  $M_2M_3$ ,  $M_2M_4$ ,  $M_3M_4 = \text{const}$ . Demak, 12 ta koordinata 6 ta tenglama bilan o'zaro bog'langan, o'zaro bog'lanmagan koordinatalar soni 3·4—6-6 ga teng. Bundan shunday xulosa qilish mumkinki, fazoda qattiq jismning holati bir to'g'ri chiziqda yotmaydigan uchta nuqtasining holati bilan aniqlanadi.

Qattiq jismning har qanday harakatini ikkita asosiy harakatga keltirish mumkin: ilgarilanma va aylanma harakatlar.

### Mustaqil ishlash uchun savol va topshiriqlar

1. *Mexanik sistemaga ta'rif bering.*
2. *Bog'lanish ta'rifini keltiring va tahlil qiling.*
3. *Qanday bog'lanishga geometrik bog'lanish deyiladi?*
4. *Qanday bog'lanishga kinematik bog'lanish deyiladi?*
5. *Mexanik sistemaning erkirlik darajasi degonda nimari tushunasiz?*

## 7.2. Qattiq jismning ilgarilanma harakati

**Tayanch iboralar:** *harakat, harakat tenglamasi, harakat trayektoriyasi, tezlik va tezlanish.*

Qattiq jismning harakati davomida unga mahkamlangan to'g'ri chiziq kesmasi ixtiyoriy paytida o'zining boshlang'ich holatiga parallelelligicha qolsa, uning bunday harakatiga ilgarilanma harakat deyiladi.

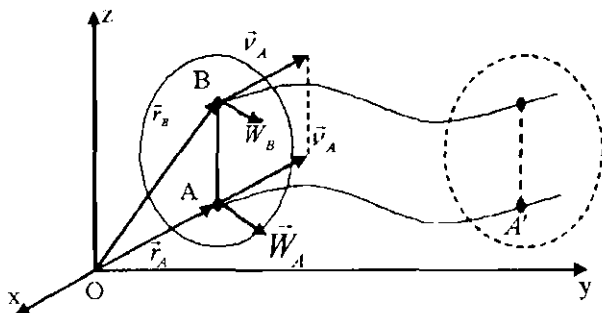
Ilgarilanma harakatdagi qattiq jism nuqtalarining trayektoriyalari umumiy holda parallel egri chiziqlar bo'lishi mumkin. Ilgarilanma harakat xossalarni quyidagi teorema bilan xarakterlash mumkin.

**Teorema.** Ilgarilanma harakatdagi qattiq jism hamma nuqtalarining trayektoriyalari, tezlik va tezlanishlari bir xil bo'ladi.

Qattiq jismning ixtiyoriy ikkita  $A$  va  $B$  nuqtasining harakatini qaraymiz (159-shakl).

159-shaklga asosan quyidagi munosabatga ega bo'lamiz:

$$\vec{r}_B = \vec{r}_A + \overrightarrow{AB} \quad (7.2.1)$$



159-shakl.

Qattiq jismning ta'rifiga asosan  $\vec{AB}$  vektorining moduli o'zgarmas, ilgarilanma harakatning ta'rifiga asosan bu vektorning yo'naliishi ham o'zgarmas bo'ladi. Ilgarilanma harakatning ta'rifidan yana shunday xulosa qilish mumkinki,  $A$  nuqtaning trayektoriyasini o'ziga parallel ravishda  $|\vec{AB}|$  masofaga ko'chirsa,  $B$  nuqta trayektoriyasi bilan ustma-ust tushadi.

(7.18.1) tenglikning ikkala tomoni vaqt bo'yicha differensiallanadi, ya'ni

$$\frac{d\vec{r}_B}{dt} = \frac{d\vec{r}_A}{dt} + \frac{d(\vec{AB})}{dt} \quad (7.2.2)$$

$\frac{d\vec{r}_B}{dt} = \vec{v}_B, \quad \frac{d\vec{r}_A}{dt} = \vec{v}_A$ .  $\vec{AB}$  vektorining ham moduli, ham yo'naliishi o'zgarmas bo'lgani uchun  $\frac{d(\vec{AB})}{dt} = 0$ . Natijada (7.18.2)

tenglik quyidagi ko'rinishga keladi:

$$\vec{v}_B = \vec{v}_A \quad (7.2.3)$$

(7.18.3) (7.2.3.) tenglikning ikkala tomonini vaqt bo'yicha differensiallab,  $\frac{d\vec{v}_B}{dt} = \vec{W}_B, \quad \frac{d\vec{v}_A}{dt} = \vec{W}_A$  larni e'tiborga olib, quyidagi tenglikni hosil qilamiz:

$$\dot{W}_B = \dot{W}_A. \quad (7.2.4)$$

*A* va *B* nuqtalar qattiq jismning ixtiyoriy nuqtalari bo'lgani uchun (7.2.3)va (7.2.4)tengliklardan quyidagi xulosa kelib chiqadi: qattiq jismning ilgarilanma harakati vaqtida uning hamma nuqtalarining trayektoriyalari, tezlik va tezlanishlari bir bo'ladi.

Agar qattiq jism nuqtalarining tezliklari vaqtning faqat bitta paytida teng bo'lib, qolgan paytlarda teng bo'lmasa, jismning shu paytdagi harakatiga oniy ilgarilanma harakat deyiladi. Oniy ilgarilanma harakatdagi jism nuqtalarining tezlanishlari umumiy holda teng bo'lmasligi mumkin.

Qattiq jismning ilgarilanma harakatini uning ixtiyoriy bitta nuqtasining harakati bilan to'laligicha xarakterlash mumkin. Jismning ilgarijanma harakati uning bitta nuqtasining harakat qonuni bilan beriladi, ya'ni

$$x = f_1(t), \quad y = f_2(t), \quad z = f_3(t). \quad (7.2.5)$$

(7.2.5) tenglamalar qattiq jismning ilgarilanma harakat tenglamalarini ifodalaydi.

### 7.3. Qattiq jismning qo'zg'almas o'q atrofidagi aylanma harakati

**Tayanch iboralar:** *harakat, harakat tenglamasi, trayektoriya, burchak tezlik, burchak tezlanish, tekis va tekis o'zgaruvchan harakat.*

#### 7.3.1. Burchak tezlik va burchak tezlanish

Qattiq jismning butun harakati davomida uning ikkita nuqtasi qo'zg'almasdan qolsa, uning bunday harakatiga qo'zg'almas o'q atrofida aylanma harakat deyiladi. Qo'zg'almas nuqtalardan o'tuvchi to'g'ri chiziqqqa aylanish o'qi deyiladi (160-shakl).

*A* va *B* nuqtalar qattiq jismning qo'zg'almas nuqtalari bo'lsa, *Oz* o'q jismning aylanish o'qi bo'ladi. Qattiq jismning

aylanish o'qi fazoda ixtiyoriy yo'nalishga ega bo'lishi mumkin. Aylanish o'qining ustida yotgan hamma nuqtalar qo'zg'almas bo'ladi. Qo'zg'almas o'q atrofida aylanuvchi qattiq jism nuqtalarining trayektoriyalari aylanish o'qiga perpendikular tekisliklarda yotuvchi ayanalardan iborat bo'ladi. Bu ayanalarning markazlari aylanish o'qi ustida yotadi.

Qattiq jismning aylanish o'qi orqali qo'zg'almas  $\Pi_0$  tekisligi va jismga mahkamlangan  $\Pi$  tekisliklari o'tkaziladi. Boshlang'ich paytda bu tekisliklar ustma-ust tushsin. Aylanuvchi jismning ixtiyoriy  $t$  paytdagi holatini bu tekisliklar orasidagi ikki yoqli burchak bilan aniqlash mumkin.  $\varphi$  burchakka jismning aylanish burchagi deyiladi.

Agar  $\varphi$  burchak  $t$  vaqtning ikki marta differensiallanuvchi

$$\varphi = f(t) \quad (7.3.1)$$

funksiyasi ko'rinishida berilgan bo'lsa, qattiq jismning ixtiyoriy paytdagi holatini aniqlash mumkin. (7.19.1) tenglama qattiq jismning qo'zg'almas o'q atrofidagi aylanma harakat tenglamasini ifodalaydi.

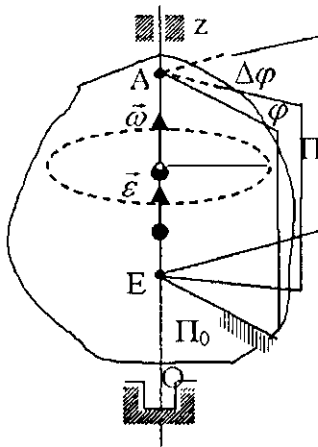
Qo'zg'almas o'q atrofida aylanuvchi qattiq jismning erkinlik darajasi birga teng, chunki uning ixtiyoriy paytdagi holatini bitta aylanish burchagi bilan aniqlash mumkin.

Qattiq jismning qo'zg'almas o'q atrofidagi aylanma harakatini xarakterlash uchun burchak tezlik va burchak tezlanish tushunchalari kiritiladi.

Qattiq jism  $\Delta t$  vaqt oralig'ida  $\Delta\varphi$  burchakka burilsin (160-shakl).

$$\omega^* = \frac{\Delta\varphi}{\Delta t} \quad (7.3.2)$$

miqdorga jismning  $\Delta\varphi$  vaqt oralig'idagi o'rtacha burchak tezligi deyiladi.



160shakl.

O'rtacha burchak tezlik  $\omega^*$  ning  $\Delta t \rightarrow 0$  dagi limitiga qattiq jismning  $t$  paytidagi algebraik burchak tezligi deyiladi, ya'ni

$$\omega = \lim_{\Delta t \rightarrow 0} \frac{\Delta \varphi}{\Delta t} = \frac{d\varphi}{dt} = \dot{\varphi}. \quad (7.3.3)$$

Umuman olganda jismning burchak tezligi vaqtning differentiallanuvchi funksiyasi bo'lishi mumkin. Biror  $\Delta t$  vaqt oraliq'ida jismning burchak tezligi  $\Delta\omega$  miqdoriga o'zgarsin:

$$\varepsilon^* = \frac{\Delta\omega}{\Delta t} \quad (7.3.4)$$

miqdorga jismning  $\Delta t$  vaqt oraliq'ida o'rtacha burchak tezlanishi deyiladi.  $\varepsilon^*$  ning  $\Delta t \rightarrow 0$  dagi limitiga jismning  $t$  paytdagi algebraik burchak tezlanishi deyiladi va quyidagicha yoziladi:

$$\varepsilon = \lim_{\Delta t \rightarrow 0} \frac{\Delta\omega}{\Delta t} = \frac{d\omega}{dt} = \frac{d^2\varphi}{dt^2} = \ddot{\varphi}. \quad (7.3.5)$$

Burchak radianda o'lchansa, burchak tezlik va burchak tezlanishlarning o'lchamlari quyidagicha bo'ladi:

$$[\omega] = \text{burchak / vaqt} = \text{rad / c} = \text{c}^{-1}$$

$$[\varepsilon] = \text{burchak / (vaqt)}^2 = \text{rad / c}^2 = \text{c}^{-2}.$$

Algebraik burchak tezlik va burchak tezlanishlar musbat ham, manfiy ham bo'lishi mumkin. Agar jism soat strelkasi yo'nalishida aylansa,  $\omega < 0$  bo'ladi. Agar jismning aylanishi tezlanuvchan bo'lsa,  $\varepsilon > 0$ ; sekinlanuvchan bo'lsa,  $\varepsilon < 0$  bo'ladi.

Agar  $\dot{\varphi} > 0$ ,  $\ddot{\varphi} > 0$  bo'lsa, jismning harakati musbat yo'nalishidagi tezlanuvchan harakat;  $\dot{\varphi} > 0$  va  $\ddot{\varphi} > 0$  bo'lsa, harakat musbat yo'nalishidagi sekinlanuchan harakat;  $\dot{\varphi} < 0$  va  $\ddot{\varphi} > 0$  bo'lsa, harakat manfiy yo'nalishidagi tezlanuvchan harakat bo'ladi.

$\omega = \dot{\varphi}$  va  $\varepsilon = \ddot{\varphi}$  miqdorlarining ishoralari va miqdorlariga qarab jismning harakat yo'nalishini aniqlash mumkin, shuning

uchun ham jismning burchak tezligi va burchak tezlanishi vektor kattaliklar bo'ladi.

$\omega$  burchak tezlik vektori jismning aylanish o'qi bo'ylab, bu vektor uchidan qaraganda jism soat strelkasiga qarama-qarshi yo'nalishida aylansa  $\omega$  vektoring yo'nalishi musbat, soat strelkasi bo'yicha aylansa,  $\omega$  ning yo'nalishi manfiy bo'ladi. Burchak tezlik va burchak tezlanish vektorlarining moduli algebraik burchak tezlik va algebraik burchak tezlanishlarning absolut qiymatlari teng.

Burchak tezlik vektori aylanish o'qining ixtiyoriy nuqtasiga qo'yilishi mumkin, ya'ni bu vektor ozod vektor hisoblanadi (160-shakl).

Burchak tezlanish vektori ham jismning aylanish o'qi bo'ylab yo'nalgan bo'lib, agar harakat tezlanuvchan bo'lsa, burchak tezlik vektori bilan bir xil, harakat sekinlanuvchan bo'lsa, burchak tezlik vektoriga qarama-qarshi yo'nalagan bo'ladi. Burchak tezlanish vektori aylanish o'qining ixtiyoriy nuqtasiga qo'yilgan bo'lishi mumkin, ya'ni burchak tezlanish vektori ham ozod vektor.

Agar jismning butun harakati davomida  $\omega = \text{const}$  bo'lsa, uning bunday harakatiga tekis aylanma harakat deyiladi. Agar boshlang'ich ( $t = 0$ ) paytda  $\varphi = \varphi_0$  bo'lsa, tekis aylanma harakat tenglamasi quyidagi ko'rinishda bo'ladi:

$$\varphi = \varphi_0 + \omega t. \quad (7.3.6)$$

Agar jismning butun harakati davomida  $\varepsilon = \text{const}$  bo'lsa, uning bu holdagi harakatiga tekis o'zgaruvchan aylanma harakat deyiladi. Tekis harakat qonuni

$$\varphi = \varphi_0 + \omega_0 t + \frac{\varepsilon}{2} t^2 \quad (7.3.7)$$

ko'rinishida bo'ladi.  $\varphi_0$  — jismning boshlang'ich burchag tezligi. Tekis o'zgaruvchan harakatda burchak tezligining o'zgarishi qonuni

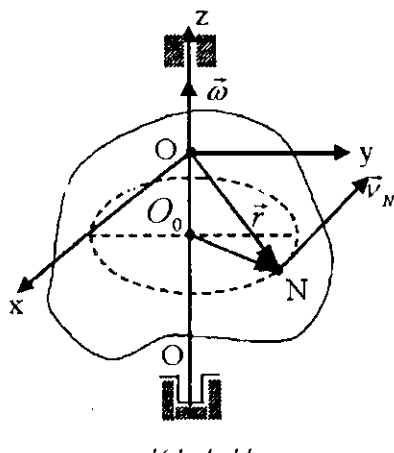
$$\omega = \omega_0 + \varepsilon t \quad (7.3.8)$$

ko'rinishida bo'ladi.

### 7.3.2. Qo'zg'almas o'q atrofida aylanuvchi qattiq jism nuqtalarining tezlik va tezlanishlari

Qo'zg'almas o'q atrofida aylanuvchi jism nuqtalarini markazlari aylanish o'qida bo'lgan aylanalar bo'y lab harakatlanadi, shuning uchun ixtiyoriy  $N$ -nuqtasining tezligi aylana bo'y lab harakatlanuvchi nuqtaning tezligi kabi topiladi, ya'ni

$$v_N = O_0 N \cdot \omega \quad (7.3.9)$$



bunda  $O_0 N$  — jismning aylanish o'qidan  $N$  nuqtagacha bo'lgan eng qisqa masofa (161-shakl). Jism nuqtalarining tezliklari trayektoriya (aylana)larining urinmalari bo'y lab yo'nalagan bo'ladi va demak, aylanish radiusiga perpendikular bo'ladi.

Ko'rsatish mumkinki, tezlik vektorining moduli va yo'nalishi

$$|v_N| = \omega \times r \quad (7.3.10)$$

vektorning moduli va yo'nalishi bilan bir xil bo'ladi. Haqiqatan ham,  $v_N$  vektor ham,  $\omega \times \vec{r}$

vektor ham  $\omega$  va  $\vec{r}$  vektorlar tekisligiga perpendikular va nuqta trayektoriyasining urinmasi bo'y lab aylanish tomoniga qarab yo'nalagan bo'ladi:

$$|\omega \times \vec{r}| = \omega \cdot r \sin(\omega, \vec{r}),$$

161-shaklga asosan:  $r \sin(\omega, \vec{r}) = O_0 N$ .

Bunga asosan:

$$|\omega \times \vec{r}| = O_0 N \cdot \omega.$$

Bunga asosan va vektorlarining modullari ham teng.

$O$  nuqta aylanish o'qining ixtiyoriy nuqtasi bo'lsin va  $\vec{r} = O\vec{N}$ . U holda

$$v_N = \overrightarrow{mom}_N (\vec{\omega}) = \overline{NO} \times \vec{\omega} = -\overline{ON} \times \vec{\omega} = -\vec{r} \times \vec{\omega} = \vec{\omega} \times \vec{r}$$

yoki

$$\vec{v}_N = \vec{\omega} \times \vec{r}. \quad (7.3.11)$$

(7.3.11) formulaga Eyler formulasi deyiladi.

Demak,  $\vec{\omega} \times \vec{r}$  moduli va yo‘nalishi bo‘yicha  $N$  nuqta tezligini to‘la aniqlaydi.

$O$  nuqtani koordinatalar sistemasini boshi deb olib,  $Z$  o‘qini aylanish o‘qi bo‘ylab yo‘naltiriladi (161-shakl). U holda  $\omega_x = \omega_y = 0$ ,  $\omega_z = \omega$  va (7.3.11)formulani quyidagi ko‘rinishda yozish mumkin:

$$\vec{v} = \vec{\omega} \times \vec{r} = \begin{vmatrix} \vec{i} & \vec{j} & \vec{r} \\ 0 & 0 & \omega \\ x & y & z \end{vmatrix}. \quad (7.3.12)$$

Bundan

$$v_x = -\omega y, \quad v_y = \omega x, \quad v_z = 0. \quad (7.3.13)$$

(7.3.13) formulalar jism nuqtalari tezliklarining koordinatalarini topish formulalarini ifodalaydi. (7.3.13) formulalarning ko‘rinishi  $Oxyz$  koordinatalar sistemasi qo‘zg‘almas bo‘lganda ham, jismga mahkamlangan bo‘lganda ham o‘zgarmaydi. Demak, tezlikning proyeksiyalari qo‘zg‘almas koordinatalar sistemasidan qo‘zg‘aluvchi koodinatalar sistemasiga o‘tishiga nisbatan **kovariant** bo‘lar ekan.

(7.3.11)formulaning ikkala tomoni vaqt bo‘yicha differensiallanadi:

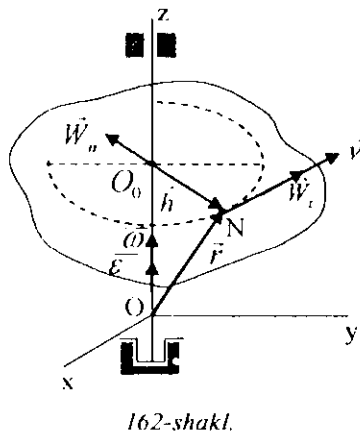
$$\dot{W} = \frac{d\vec{v}}{dt} = \frac{d}{dt}(\vec{\omega} \times \vec{r}) = \frac{d\vec{\omega}}{dt} \times \vec{r} + \vec{\omega} \times \frac{d\vec{r}}{dt}.$$

$\frac{d\vec{\omega}}{dt} = \vec{\epsilon}$ ;  $\frac{d\vec{r}}{dt} = \vec{v}$  larni e’tiborga olib, quyidagi formulani hosil qilamiz:

$$\dot{W} = \vec{\epsilon} \times \vec{r} + \vec{\omega} \times \vec{v}. \quad (7.3.14)$$

(7.3.14) tenglikning o'ng tomonidagi birinchi qo'shiluvchining moduli

$$|\dot{\varepsilon} \times \dot{r}| = \varepsilon r \sin(\dot{\varepsilon}, \dot{r}) = \varepsilon h$$



ga teng, bu esa aylana bo'ylab harakatlanuvchi nuqta urinma tezlanishining moduli bilan bir xil.  $\dot{\varepsilon} \times \dot{r}$  vektoring yo'naliishi ham urinma tezlanishining yo'naliishi bilan bir xil (162-shakl). Demak,  $\dot{\varepsilon} \times \dot{r}$  vektor  $N$  nuqtaning urinma tezlanishini ifodalaydi, ya'ni

$$\dot{W}_t = \dot{\varepsilon} \times \dot{r}. \quad (7.3.15)$$

(7.3.14) tenglikning o'ng tomonidagi ikkinchi qo'shiluvchini qaraymiz:

$$|\dot{\omega} \times \dot{v}| = \omega v \sin(\dot{\omega}, \dot{v}).$$

$\dot{\omega}$  va  $\dot{v}$  vektorlar o'zaro perpendikular va  $v = h\omega$  bo'lgani uchun yuqoridagi tenglikni quyidagi ko'rinishda yozish mumkin:

$$|\dot{\omega} \times \dot{v}| = h\omega^2.$$

$\dot{\omega} \times \dot{v}$  vektoring yo'naliishi normal tezlanishning yo'naliishiga parallel va  $N$  nuqtadan aylanish o'qiga qarab yo'nalgan, shuning uchun

$$\dot{W}_n = h\omega^2, \quad (7.3.16)$$

bunda  $h$  vektor aylanish o'qidari.  $N$  nuqtaga tomon yo'nalagan. Demak, (7.3.14) formula nuqtaning to'la tezlanishini ifodalaydi.

Urinma va normal tezlanishlarning modullari quyidagicha hisoblanadi:

$$W_t = h\varepsilon, \quad W_n = h\omega^2. \quad (7.3.17)$$

Tanlangan sanoq sistemasiga nisbatan (162-shakl)  $\varepsilon_x = \varepsilon_y = 0$ ,  $\varepsilon_r = \varepsilon$  ( $\varepsilon$ -algebraik burchak tezlanish) va  $\dot{W}_n = -\omega^2 \overrightarrow{O_0 N}$  deb olsak, (7.3.15) va (7.3.16) formulalarga asosan:

$$\vec{W} \cdot \vec{\varepsilon} \times \vec{r} - \omega^2 \overline{O_0 N} = \begin{vmatrix} i & j & k \\ o & o & \varepsilon \\ x & y & z \end{vmatrix} - \omega^2 \overline{O_0 N}. \quad (7.3.18)$$

Bundan tezlanishning koordinata o'qlaridagi proyeksiyalari topiladi:

$$W_x = -\varepsilon y - \omega^2 x, \quad W_y = \varepsilon x - \omega^2 y, \quad W_z = 0. \quad (7.3.19)$$

Bu formulalar ham qo'zg'almas koordinatalar sistemasidan qo'zg'aluvchi koordinatalar sistemasiga o'tishga nisbatan kovariant.

#### **7.4. Qattiq jismning ilgarilanma va qo'zg'almas o'q atrofidagi aylanma harakatiga doir masalalar yechish bo'yicha uslubiy tavsiyalar. Masalalar**

Qattiq jismning qo'zg'almas o'q atrofidagi aylanma harakatiga doir masalalarni quyidagi tartibda yechish tavsiya etiladi:

Birinchi tur masalalar — qattiq jismning aylanma harakat tenglamasi berilganda uning burchak tezligi, burchak tezlanishi, nuqtalarning chiziqli tezlik va tezlanishlarini topish.

1. Koordinatalar sistemasini shunday tanlash kerakki, o'qlarning bittasi, masalan,  $Z$  o'qi jismning aylanishi o'qi bilan ustma-ust tushsin.

2. Burchakning o'zgarish qonunidan foydalanib, burchak tezlik va burchak tezlanishlarning aylanish o'qidagi proyeksiylari topiladi.

3. Burchak tezlik va burchak tezlanishlarni topilgan qiymatlaridan foydalanib, jism nuqtalarining chiziqli tezligi, normal va urinma tezlanishlari topiladi.

4. Urinma va normal tezlanishlar topilgandan keyin jism nuqtalarining to'la tezlanishlari topiladi.

Ikkinci tur masalalarda aylanma harakat burchak tezligi yoki burchak tezlanishi berilganda, jismning harakat tenglamasi, nuqtalarning tezlik va tezlanishlarini topish.

1. Burchak tezlanishni ifodalovchi differentsial tenglamani integrallab, jismning burchak tezligi topiladi. Integrallash o'zgarmaslar boslang'ich shartlardan topiladi.
2. Burchak tezlikni ifodalovchi differentsial tenglamani integrallab, jismning aylanma harakat tenglamasi topiladi.
3. Burchak tezlik va burchak tezlanishlarning berilgan qiymatlaridan foydalanib, jism nuqtalarining tezliklari, urinma va normal tezlanishlari topiladi.
4. Urinma va normal tezlanishlarning topilgan qiymatlaridan foydalanib, jism nuqtalarining to'la tezlanishlari topiladi.

**1-masala.** Qo'zg'almas o'q atrofida aylanuvchi maxovikning ayanish o'qidan  $r = 0,3$  m masofadagi nuqtasi  $S = 3t + t^3$  qonunga muvofiq harakat qiladi. ( $S$  — metrda,  $t$  — sekundda).  $t_1 = 3$  bo'lган payda maxovikning burchak tezligi va burchak tezlanishi topilsin.

**Yechish.**  $r$  radiusli aylana bo'ylab harakatlanuvchi nuqta tezligining moduli

$$v = \frac{dS}{dt}$$

tenglamalardan foydalanib topiladi:

$$v = \frac{dS}{dt} = \frac{d(3t + t^3)}{dt} = 3 + 3t^2. \quad (a)$$

Nuqtaning urinma tezlanishining moduli

$$W_r = \frac{dv}{dt}$$

formuladan foydalanib topiladi:

$$W_r = \frac{d(3 + 3t^2)}{dt} = 6t. \quad (b)$$

Nuqta tezligi va urinma tezlanishlari modullari burchak tezlik va burchak tezlanishlar orqali ifodalanadi, ya'ni

$$v = r\omega, \quad W_r = r\varepsilon.$$

Bu formulalardan

$$\omega = \frac{v}{r}, \quad \varepsilon = \frac{W_r}{r}.$$

(a) va (b) tengliklarga asosan:

$$\omega = \frac{3(1+t^2)}{0,3} = 10(1+t^2), \quad \varepsilon = \frac{6t}{0,3} = 20t$$

$t = 3$  c bo'lgan paytda

$$\omega = 10(1+9)\frac{1}{c} = 100\frac{1}{c}, \quad \varepsilon = 20 \cdot 3 \frac{1}{c^2} = 60\frac{1}{c^2}.$$

**2-masala.** Elektromotor ishga tushirilganda uning  $r = 0,4$  radiusli rotori qonunga muvofiq harakatlanadi ( $\varphi$  — radianda,  $t$  — sekundda).  $T = 10$  c bo'lgan paytda rotorning burilish burchagi, burchak tezligi, burchak tezlanishi, shuningdek rotor gardishidagi nuqtaning tezligi, normal va urinma tezlanishlari topilsin.

**Yechish.**  $t_1 = 10s$  ni harakat tenglamasiga qo'yib, burilish burchagi topiladi:

$$t_1 = 10s; \quad \varphi = 0,3 \cdot 10^2 = 30 \text{ rad.}$$

Harakat tenglamasidan tegishli hosilalarini olib, burchak tezlik va burchak tezlanishlari topiladi, ya'ni

$$\omega = \frac{d\varphi}{dt} = 0,6t; \quad \varepsilon = \frac{d\omega}{dt} = \frac{d^2\varphi}{dt^2} = 0,6 \frac{\text{rad}}{c^2} = 0,6s^{-2};$$

$$t_1 = 10c; \quad \omega = 0,6 \cdot 10 = 6 \frac{\text{rad}}{s} = 6s^{-1}.$$

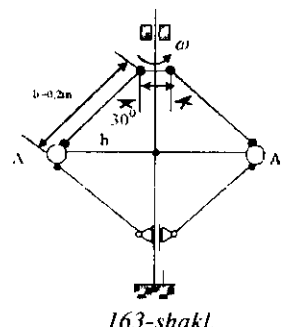
Rotor gardishidagi nuqtaning tezligi:

$$v = r\omega = 0,4m \cdot 6 \frac{1}{s} = 2,4 \frac{m}{s}.$$

Nuqtaning normal va urinma tezlanishlari:

$$W_n = \frac{v^2}{r} = \frac{5,76 \frac{m^2}{s^2}}{0,4m} = 14,4 \frac{m}{s^2},$$

$$W_n = r\varepsilon = 0,4m \cdot 0,6 \frac{1}{c^2} = 0,24 \frac{m}{s^2}.$$



163-shakl.

**3-masala.** Markazdan qochma regulyator vali  $n = 240 \text{ min}^{-1}$  chastota bilan aylanadi.  $A$  sharlar markazlarining normal tezlanishlari topilsin (163-shakl).  $l=0,4 \text{ m}$ , qolgan o'lchamlar shaklda ko'rsatilgan.

**Yechish.** Qattiq jismning aylanish chastotasi berilganda uning burchak tezligi quyidagi formuladan topiladi:

$$\omega = \frac{\pi n}{30} \text{ c}^{-1}.$$

Bunga asosan:

$$\omega = \frac{\pi \cdot 240}{30} = 8\pi \text{ s}^{-1}.$$

Normal tezlanish (7.3.17) formuladan foydalanib topiladi, ya'ni

$$W_n = h\omega^2,$$

bunda  $h=A$  shardan aylanish o'qigacha bo'lgan masofa. 163-shaklga asosan:

$$h = (0,2 + 0,1)M = 0,3m.$$

Natijada

$$W_n = 0,3m \cdot (8\pi \text{ s}^{-1})^2 \approx 189,3 \frac{m}{\text{s}^2}.$$

**4-masala (И.В. Мешчерский 13.8).** Motor o'chirilgan paytda  $40\pi \frac{\text{rad}}{\text{s}}$  ga to'g'ri keladigan burchak tezlik bilan aylanayotgan samolyot propelleri to'xtaguncha 80 marta aylanadi. Propeller aylanishini tekis sekinlashuvchan deb hisoblab, motor o'chirilganda propeller to'xtagunicha qancha vaqt o'tishi topilsin.

**Yechish.** Tekis sekinlashuvchan aylanma harakatda burchak tezlikni va burchakning o'zgarish qonunlari olinadi, ya'ni

$$\omega = \omega_0 - \varepsilon t,$$

$$\varphi = \omega_0 t - \frac{\varepsilon t^2}{2}.$$

Motor to'xtaganda:  $\omega = 0$ ;  $\varphi = 80 \cdot 2\pi = 160\pi$ ,  $\omega_0 = 40\pi \text{ rad/s}$ .  
Bular yuqorida keltirgan tenglamalarga qo'yiladi:

$$\begin{cases} 0 = 40\pi - \varepsilon t; & \varepsilon t = 40\pi; \\ 160\pi = 40\pi t - \frac{\varepsilon t^2}{2} \Rightarrow & 160\pi = 40\pi t - \frac{40\pi}{2} t. \end{cases}$$

Bundan:  $t = 8\text{s}$ .

**5-masala (И.В. Меншерский 14.3).** Tinch holatdagi A shkivli stanok elektromotoring uzlusiz tasma bilan harakatga keltiriladi; shkivlarning radiuslari  $r_1 = 75\text{sm}$ ,  $r_2 = 30\text{sm}$ ; elektromotoring harakatga keltirilgandan keyin burchak tezlanishi  $0,4\pi \text{ rad/s}^2$ .

Tasmaning shkivlar bo'ylab sirg'anishini hisobga olmay, stanok qancha vaqtidan keyin  $10\pi \text{ rad/s}$  ga teng burchak tezlikka ega bo'lishi aniqlansin (164-shakl).



164-shakl.

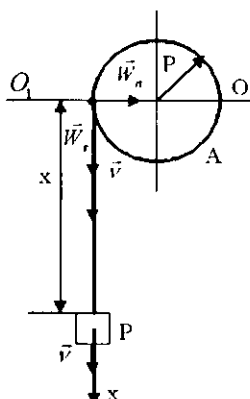
**Yechish.** A va B shkivlar gardishlaridagi nuqtalarning urinma tezlanishlarini (7.3.17) formuladan foydalanib topiladi:

$$\dot{W}_B^{(r)} = r_1 \varepsilon_B, \quad \dot{W}_A^{(r)} = r_2 \varepsilon_A.$$

Tasma shkivlar bo'ylab sirg'anmaydi, shuning uchun  $\dot{W}_B^{(r)} = \dot{W}_A^{(r)}$  bo'ladi. Bu munosabatdan:

$$r_2 \varepsilon_A = r_1 \varepsilon_B \text{ bundan } \varepsilon_A = \frac{r_1}{r_2} \varepsilon_B = \pi \text{ rad/s}^2.$$

A shkiv tekis tezlanuvchan harakat qiladi, shuning uchun uning burchak tezligi (7.3.4) formulaga asosan quyidagicha hisoblanadi:



$\omega_A = \omega_{AO} + \varepsilon_A t.$   
 $\omega_{AO} = 0, \quad t = T$  paytda  $\omega_A = 10\pi \frac{rad}{s}$  ga teng. Bular yuqoridagi tenglamaga qo'yiladi:

$$10\pi \frac{rad}{c} = \pi \frac{rad}{s^2} \cdot T.$$

Bundan

$$T = 10s$$

**6-masala.** Radiusi  $R = 10$  sm bo'lgan  $A$  val unga osilgan  $P$  tosh bilan aylantiriladi.

165-shakl. Toshning harakati  $x = 100t^2$  tenglama bilan ifodalanadi, bunda  $x$ -toshdan qo'zg'almas  $OO_1$  gorizontgacha bo'lgan santimetrlar hisobida ifodalangan masofa,  $t$ -vaqt (sekundlar hisobida).  $T$  paytda valning burchak tezligi  $\omega$  va burchak tezlanishi  $\varepsilon$ , shuningdek, val sirtidagi nuqtaning to'la tezlanishi  $W$  aniqlansin.

**Yechish.** Masofaning o'zgarish qonunidan foydalanib,  $P$  toshning tezligini topiladi, ya'ni

$$v = \frac{dx}{dt} = 200t \frac{sm}{sek}$$

$P$  toshning tezligi baraban chetidagi nuqtalar tezligi bilan bir xil bo'lganligi uchun bu tezlikni baraban nuqtasining tezligi deb topamiz, ya'ni

$$v = R \cdot \omega.$$

Bundan

$$\omega = \frac{v}{R} = 20t \frac{rad}{sek}.$$

Endi  $P$  toshning tezlanishi topiladi:

$$W = \frac{dv}{dt} = 200 \frac{sm}{sek^2}.$$

$P$  toshning tezlanishi baraban chetidagi nuqtalarning urinma tezlanishi bo'ladi, ya'ni

$$W_r = W = 200 \frac{sm}{sek^2}, \quad W_r = Re.$$

Bulardan:

$$\varepsilon = 20 \text{ rad/sec}^2.$$

(7.3.17) formulalardan foydalaniб, normal tezlanishi topiladi:

$$W_n = R\omega^2, \text{ bundan } W_n = 400t^2 \frac{\text{rad}}{\text{sek}^2}.$$

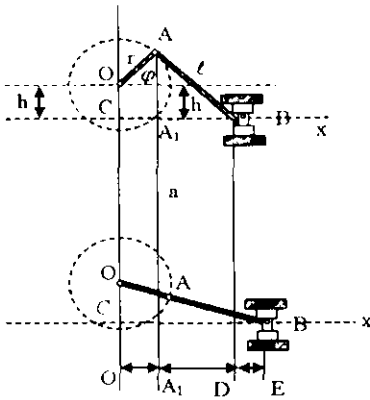
Endi to‘la tezlanish moduli topiladi:

$$W = \sqrt{W_n^2 + W_\sigma^2} = 200\sqrt{1 + 400/t^4} \text{ sm/s}^2.$$

## 7-masala (И.В. Мещерский)

**14.14).** Markazlashtirilmagan krivoship-polzunli mexanizm porshenining harakat tenglamasi yozilsin; krivoshipning aylanish o'qidan yo'naltiruvchi lineykagacha bo'lgan masofah  $h$  ga, krivoship uzunligi  $r$  ga, shatun uzunligi  $l$  ga teng;  $Cx$  o'q polzun yo'naltiruvchisi bo'ylab yo'nalgan. Masofalar polzunning chetki o'ng holatidan boshlab hisoblanadi (166-shakl).

**Yechish.** 166-shaklga asosan:



166-shakl.

$$\chi = OE - OD. \quad (a)$$

*O'E masofani COB uchburchakdan topiladi:*

$$O'E = \sqrt{(r+l)^2 - h^2}. \quad (\text{b})$$

166- a shakl mexanizmning ixtiyoriy paytidagi vaziyatiga mos,  
166-b shakl mexanizmining boshlang'ich holatiga mos. 166-shakldan:

$$O'D = O'A_1 + A_1B, \quad A_1B = \sqrt{l^2 - (AA_1)^2},$$

$$AA_1 = r \sin \varphi + h; \quad OA_1 = r \cos \varphi.$$

Demak,

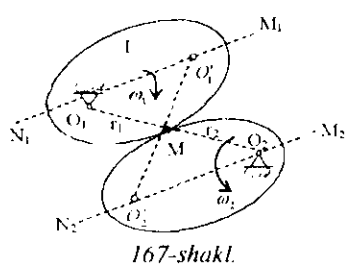
$$O'D = r \cos \varphi + \sqrt{l^2 - (h + r \sin \varphi)^2} \quad (c)$$

(b) va (c) lar (a) tenglamaga qo'shiladi:

$$x = \sqrt{(r+l)^2 - h^2} - \sqrt{l^2 - (h + r \sin \varphi)^2} - r \cos \varphi,$$

yoki

$$x = r \left[ \sqrt{\left(1 + \frac{l}{r}\right)^2 - \left(\frac{h}{r}\right)^2} - \sqrt{\left(\frac{l}{r}\right)^2 - \left(\sin \varphi + \frac{h}{r}\right)^2} - \cos \varphi \right]$$



**8-masala (И.В. Мешчереский 14.7).** Yarim o'qlari  $a$  va  $b$  bo'lgan bir juft elliptik tishli g'ildiraklarning aylanma harakatini uzatish qonuni chiqarilsin. I g'ildirakning burchak tezligi  $\omega_1 = \text{const}$ . O'qlar orasidagi mafsofa  $O_1O_2 = 2a$ ;  $\varphi$ -aylanish o'qlarini tutashtiruvchi to'g'ri chiziq bilan I elliptik g'ildirakning katta o'qi orasidagi burchak. O'qlar ellipsalining fokuslari orqali o'tadi (167-shakl).

**Yechish.**  $M$  nuqta har ikki g'ildirakka ham tegishli bo'lganligi uchun

$$r_1 \omega_1 = r_2 \omega_2$$

bo'ladi. Bundan

$$\omega_2 = \frac{r_1}{r_2} \omega_1.$$

167-shaklga asosan:

$$r_2^2 = 4a^2 - 4ar_1 + r_1^2, \quad (b)$$

$$r_2^2 = r_1^2 + 4c^2 - 4cr_1 \cos \varphi \quad (c)$$

Elli psning xossalariiga asosan  $c^2 = a^2 - b^2$ . (b) va (c) tengliklardan:

$$4a^2 - 4ar_1 + r_1^2 = r_1^2 + 4c^2 - 4cr_1 \cos \varphi.$$

Bundan

$$a^2 - ar_1 = c^2 - cr_1 \cos \varphi \Rightarrow r_1 = \frac{a^2 - c^2}{a - c \cos \varphi}.$$

Buni (c) ga qo'yib,  $r_2$  topiladi:

$$r_2 = \frac{a^2 - 2ac \cos \varphi + c^2}{a - c \cos \varphi}.$$

$r_1$  va  $r_2$  larning topilgan qiymatlari (a) tenglamaga qo'yiladi:

$$\omega_2 = \frac{a^2 - c^2}{a^2 - 2ac \cos \varphi + c^2} \omega_1.$$

### Muammoli masala va topshiriqlar

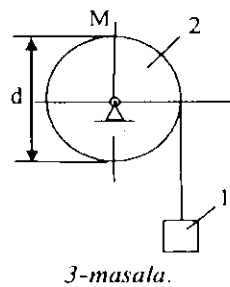
1. Tinch holatda turgan jism tejis tezlanish bilan aylana boshlab, birinchi 2 minutda 3600 marta aylanadi. Burchak tezlanishi aniqlansin.

2. Tinch holatda turgan maxovik tejis tezlanish bilan aylana boshlaydi; birinchi 5 sekundda u 12,5 marta aylanadi. Shu 5s o'tgandan so'ng uning burchak tezligi qancha bo'ladi?

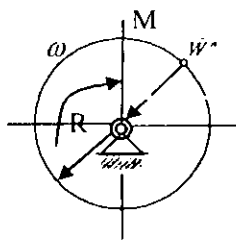
3. 1 yuk lebyodka yordamida ko'tariladi, 2 baraban  $\varphi = 5 + 2t^3$  qonunga asosan aylanadi. Agar barabanning diametri  $d = 0,6m$  bo'lsa,  $t = 1s$  bo'lganda baraban  $M$  nuqtasining tezligini toping.

4. Soat balansirining burchak tezligi  $\omega = \pi \sin 4\pi t$  qonun bilan o'zgaradi.  $T = 0,125s$  bo'lgan paytda balansirning aylanish o'qidan masofadagi nuqtalarning tezligini sm/s larda aniqlang.

5. Aylanish o'qidan  $r = 0,2m$  masofadagi nuqtalarning tezligi  $v = 4t^2$  qonun bilan o'zgaradi.  $t = 2s$  bo'lgan paytda jismning burchak tezlanishini toping.



3-masala.



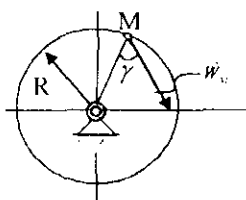
7-masala.

**6.** Jism qo‘zg‘almas o‘q atrofida  $\phi = 2t^2$  qonunga muvofiq aylanadi.  $t = 2c$  bo‘lgan paytda aylanish o‘qidan  $r = 0,2m$  masofadagi nuqtalarning normal tezlanishini toping.

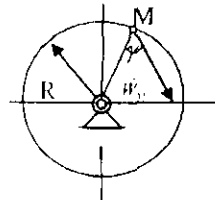
**7.** Qo‘zg‘almas o‘q atrofida aylanuvchi disk  $M$  nuqtasining normal tezlanishi  $W_M^n = 6,4m / s^2$ . Agar diskning radiusi  $R = 0,4m$  bo‘lsa, uning burchak tezligini toping.

**8.** Jism qo‘zg‘almas o‘q atrofida  $\phi = 2t^2$  qonunga asosan aylanadi. Jismning aylanish o‘qidan  $r = 0,2m$  masofadagi nuqtalarning  $t = 2c$  paytdagi urinma tezlanishini toping.

**9.** Jismning burchak tezligi qonunga asosan o‘zgaradi.  $t = 2c$  bo‘lgan paytda, jismning aylanish o‘qidan masofadagi nuqtalarning urinma tezlanishini toping.



10-masala.



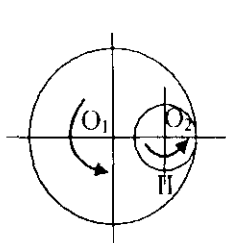
11-masala.

**10.** Qo‘zg‘almas o‘q atrofida aylanuvchi disk  $M$  nuqtasining tezlanishi  $W_M = 4m / s^2$ . Agar diskning radiusi  $R = 0,5m$  va  $\gamma = 60^\circ$  bo‘lsa, diskning burchak tezligini toping.

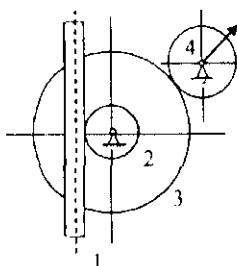
**11.** Qo‘zg‘almas o‘q atrofida aylanuvchi disk  $M$  nuqtasining tezlanishi  $W_M = 8m / s^2$ . Agar diskning radiusi  $R = 0,4m$  va  $\gamma = 30^\circ$  bo‘lsa, diskning burchak tezlanishini toping.

**12.** Diametri  $D_1 = 360mm$  bo‘lgan I tishli g‘ildirakning burchak tezligi  $10\pi / 3 rad / s$  ga teng. I g‘ildirak bilan ichki biriktirilgan va burchak tezligi unga qaraganda uch marta katta bo‘lgan II tishli g‘ildirakning diametri qanchaga teng bo‘lishi kerak?

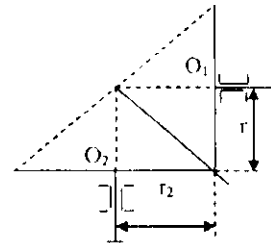
**13.** Strelkali indikator mexanizmida harakat o'chov shiftining 1 reykasidan 2 shesternyaga uzatiladi; 2 shesternyaning o'qiga 3 tishli



12-masala.



13-masala.



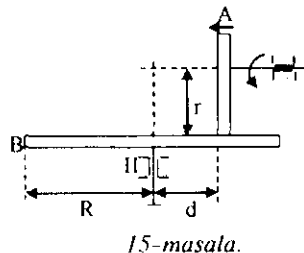
14-masala.

g'ildirak o'rnatilgan. 3 g'ildirak esa strelka biriktirilgan 4 shesternya bilan tishlashadi. Agar shiftning harakati  $x = a \sin kt$  tenglama bilan berilgan bo'lsa va tishli g'ildiraklarning radiuslari mos ravishda  $r_2$ ,  $r_3$  va  $r_4$  bo'lsa, strelkaning burchak tezligi aniqlansin.

**14.** Radiusi  $r = 10\text{sm}$  bo'lgan tishli konus shaklidagi  $O_1$  g'ildirakning qancha vaqtidan keyn  $144\pi\text{rad} / \text{s}$  ga teng burchak tezligiga ega bo'lishi aniqlansin; tinch harakatdagi bu g'ildirakni radiusi  $r_2 = 15\text{sm}$  ga teng va  $4\pi \frac{\text{rad}}{\text{s}^2}$  burchak tezlanishiga ega bo'lib, tekis tezlanish bilan aylanadigan konus shaklidagi  $O_2$  g'ildirak aylantiradi.

**15.** Frikcion uzatmaning I yetakchi vali  $\omega = 20\pi\text{rad} / \text{s}$  burchak tezlik bilan aylanadi va haikat vaqtida shunday silijiydik (yo'nalishi strelka bilan ko'rsatilgan), oraliq  $d = (10 - 0,5t)$  sm (t-sekundlar hisobida) qonunga muvofiq o'zgaradi. 1) II valning burchak tezlanishi d oraliq funksiyasi sifatida aniqlansin;

2) Frikcion g'ildirakning radiuslarini  $r=5\text{sm}$ ,  $R=15\text{sm}$ , deb olib,  $d=r$  bo'lgan paytda  $B$  g'ildirak gardishidagi nuqtaning to'la tezlanishi topilsin.



## Mustaqil ishlash uchun savol va topshiriqlar

1. *Qattiq jismning qanday harakatiga uning ilgarilanma harakati deyiladi?*
2. *Ilgarilanma harakatdagi qattiq jism nuqtalarining tezlik va tezlanishlari qanday bo'ldi?*
3. *Oniy ilgarilanma harakat deganda qanday harakatni tushunasiz?*
4. *Qattiq jismning qanday harakatiga qo'zg'almas o'q atrofidagi aylanma harakat deyiladi?*
5. *Qo'zg'almas o'q atrofida aylanuvchi qattiq jismning burchak tezligi va burchak tezlanishi deganda nimani tushunasiz?*
6. *Qo'zg'almas o'q atrofida aylanuvchi jismning burchak tezlik va burchak tezlanish vektorlari qanday yo'nalgan bo'ldi?*
7. *Qattiq jismning qanday harakatiga tekis aylanma harakat deyiladi?*
8. *Qattiq jismning qanday harakatiga tekis o'zgaruvchan harakat deyiladi?*
9. *Qattiq jism nuqtalarining tezliklari qanday topiladi?*
10. *Qattiq jism nuqtalarining urinma va normal tezlanishlari qanday topiladi?*
11. *Qattiq jism nuqtalarining urinma va normal tezlanishlari qanday yo'nalgan bo'ldi?*
12. *Qo'zg'almas o'q atrofida aylanuvchi jism nuqtalarining to'la tezlanishi qanday topiladi?*

## VIII BOB. QATTIQ JISMNING TEKIS PARALLEL HARAKATI

### 8.1. Asosiy tushunchalar

Qattiq jism nuqtalari biror qo'zg'almas tekislikka parallel tekisliklarda harakatlansa, uning bunday harakatiga **tekis parallel harakat** deyiladi. Bu ta'rifdan shunday xulosa chiqarish mumkinki, qattiq jismga qo'zg'almas tekislikka perpendikular qilib mahkamlangan ixtiyoriy to'g'ri chiziq kesmasi ilgarilanma harakat qiladi, ya'ni o'z-o'ziga parallel ko'chadi. Haqiqatan ham, qattiq jismning qo'zg'almas tekislikka perpendikular  $AB$  kesmasi biror  $\Delta t$  vaqt oralig'ida  $A'B'$  holatga o'tsin. Qattiq jismning ta'rifiiga asosan  $AB = A'B'$ ,  $AA'$  va  $BB'$  ko'chishlar esa qo'zg'almas tekislikka

parallel bo'lishi kerak, bundan

$ABB'A'$  shakl parallelogramm ekanligi kelib chiqadi. Demak,  $ABHA'B'$  (168-shakl).

Bundan shunday xulosa qilish mumkinki, qattiq jismning asosiy tekislikka perpendikular to'g'ri chiziqda yotuvchi nuqtalarining harakati uning bitta nuqtasining harakati bilan aniqlanadi. Butun jismning harakati qattiq jismni qo'zg'almas tekislikka parallel tekislik bilan kesishdan hosil bo'lgan  $S$  kesimning o'z tekisligidagi harakati bilan aniqlandi. Shunday qilib, qattiq jismning tekis parallel harakati tekis shaklning o'z tekisligidagi harakatiga keltiriladi.

O'zgarmas tekis shaklning o'z tekisligidagi holati uning ikkita nuqtasining holati bilan yoki ikkita nuqtasini tutash-tiruvchi kesmaning holati bilan to'liq aniqlanadi.

Tekis shaklning o'z tekisligidagi harakati ilgarilanma va aylanma harakatlardan iborat bo'ladi.

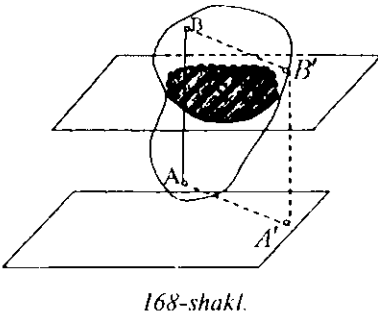
Tekis shaklning ilgarilanma harakati deb shunday harakatga aytildiği, uning harakat tekisligida yotgan ixtiyoriy to'g'ri chiziq kesması o'z-o'ziga parallel ko'chadi.

Tekis shaklning o'z tekisligidagi harakati davomida uning aylanish markazi deb ataluvchi bitta nuqtasi qo'zg'almasdan qolsa, bunday harakatga aylanma harakat deyiladi. Qattiq jismning bunday harakati davomida nuqtalarining trayektoriyalari markazi qo'zg'almas nuqtada bo'lgan konsentrik aylanalardan iborat bo'ladi. Nuqtalarining tezlik va tezlanishlari aylanish markazigacha bo'lgan masofalarga proporsional bo'ladi, ya'ni

$$v_Q = OQ \cdot \omega, \quad (8.1.1)$$

$$W_Q = OQ \cdot \sqrt{\varepsilon^2 + \omega^4}, \quad (8.1.2)$$

bunda  $\omega$  va  $\varepsilon$ -lar aylanish burchak tezligi va burchak



168-shakl.

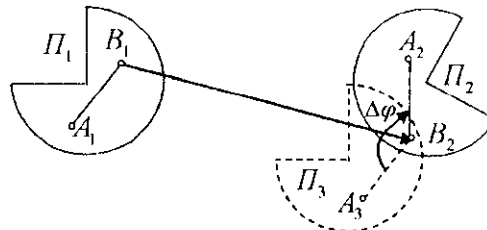
tezlanishi. Qattiq jismning aylanma harakatida nuqtalarning tezlanishlari  $OQ$  aylanish radiusidan  $\mu$  burchakka og'gan bo'ladi. Bu burchak hamma nuqtalar uchun bir xil qiymatga ega. U faqat  $\omega$  va  $\varepsilon$  larga bog'liq, ya'ni

$$\operatorname{tg} \mu = \frac{W_r}{W_n} = \frac{\varepsilon}{\omega^2}. \quad (8.1.3)$$

**1-teorema.** *Qattiq jismning o'z tekisligidagi har qanday chekli ko'chishini bir ilgarilanma ko'chish va ixtiyoriy markaz (qutb) atrofiga bir marta burish bilan hosil qilish mumkin.*

**Isbot.** Tekis shaklning  $A_1B_2$  va  $A_2B_1$  kesmalar bilan aniqlangan ixtiyoriy ikkita  $\Pi_1$  va  $\Pi_2$ , holati berilgan bo'lsin ( $AB$  kesma tekis shaklga mahkamlangan) (169-shakl).

Ilgarilanma harakat bilan tekis shakl  $\Pi_1$  holatdan  $\Pi_3$  holatga o'tsin, bu holda  $AB$  kesma  $A_1B_1$  holatdan  $A_3B_2$  holatga o'tadi va bu ko'chish  $\overline{B_1B_2}$  vektor bilan aniqlanadi (169-shakl).



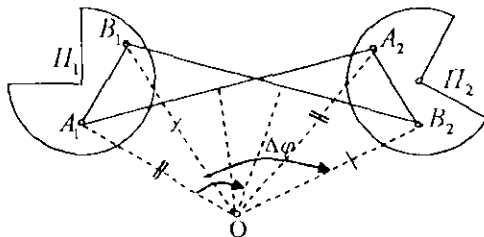
169-shakl

Ilgarilanma harakat ta'rifiga asosan  $A_3B_2 \parallel A_1B_1$ . Endi tekis shakl  $B_2$  markaz atrofiga  $\Delta\varphi = \angle A_3B_2A_2$  burchakka buriladi, natijada  $A_3B_2$  kesma  $A_2B_2$  holatga o'tadi va  $\Pi$  shakl  $\Pi_3$  holatdan  $\Pi_2$  holatga o'tadi. Biz ixtiyoriy markaz sifatida  $B_2$  nuqtani tanladik. Bu holda shaklning ilgarilanma ko'chishi  $\overline{B_1B_2}$  vektor bilan, aylanma ko'chishi esa  $\Delta\varphi = \angle A_3B_2A_2$  burchak bilan aniqlanadi. Agar qutb sifatida  $A$  nuqta olinganda edi shaklning ilgarilanma ko'chishi  $\overline{A_1A_2}$  vektor bilan,

aylanma ko'chishi  $\Delta\varphi' = \angle B_1 A_2 B_2$  burchak bilan aniqlanar edi. Osonlik bilan ko'rish mumkinki,  $\overline{B_1 B_2} \neq \overline{A_1 A_2}$ , ya'ni ilgarilanma ko'chish qutbni o'zgartirishi bilan o'zgaradi, lekin  $\Delta\varphi = \Delta\varphi'$  chunki bu burchaklar parallel kesmalardan tashkil topgan. Demak, figuraning aylanma ko'chishi qutbni tanlanishiga bog'liq emas. Shunday qilib, ilgarilanma ko'chishi qutbni tanlanishi bilan o'zgarar ekan, uni tanlash yo'li bilan ilgarilanma ko'chishni yo'qotish ham mumkin.

**2-teorema.** *Tekis shaklning o'z tekisligidagi ilgarilanma bo'limgan har qanday chekli ko'chishini chekli aylanish markazi deb ataluvchi markaz atrofida bir marta burish bilan hosil qilish mumkin.*

**Ishbot.** Tekis shaklning ixtiyoriy ikkita  $A_1 B_1$  va  $A_2 B_2$  kesmalar bilan aniqlangan  $\Pi_1$  va  $\Pi_2$  holatlari berilgan bo'lsin (170-shakl).



170-shakl.

Agar  $O$  chekli aylanish markazi mavjud bo'lsa, bu shunday nuqta bo'ladiki, bu nuqta  $A_1$  va  $A_2$  nuqtalardan bir xil uzoqlashgan bo'ladi, xudi shunday  $B_1$  va  $B_2$  nuqtalardan ham bir xil uzoqlashgan bo'ladi (170- shakl), ya'ni  $OA_1 = OA_2$ ;  $OB_1 = OB_2$ .

Demak,  $O$  aylanish markazi  $A_1 A_2$  va  $B_1 B_2$  kesmalar o'rta- laridan chiqarilgan perpendikularning kesishish nuqtasi bo'lar ekan.  $O$  nuqta aylanish markazi ekanini ko'rsatamiz. Haqiqatan ham,  $A_1 O = A_2 O$ ,  $B_1 O = B_2 O$ ,  $A_1 B_1 = A_2 B_2$  bo'lgani uchun  $\Delta A_1 O A_2 = \Delta B_1 O B_2$ . Demak,  $A_1 B_1$  kesmasi  $O$  markaz atrofida

$\Delta\varphi = \angle A_1OA_2 = \angle B_1OB_2$ , burchakka burish bilan tekis  $A_1B_2$  holatga va demak shaklni  $\Pi_1$  holatdan  $\Pi_2$  holatga o'tkazishi mumkin.

Shuni aytish kerakki,  $\Delta\varphi$  burchak  $A_1B_1$  va  $A_2B_2$  kesmalar orasidagi burchakka teng va bu burchak 1-teoremaga asosan qutbni tanlanishiga bog'liq emas.

Izbotlangan ikkita teoremadan tekis shaklning o'z tekisligidagi harakati haqida quyidagi xulosaga kelish mumkin:

1) 1-teoremaga asosan tekis shaklning o'z tekisligidagi har qanday harakatini qutb deb ataluvchi nuqta bilan birligidagi chekli ilgarilanma ko'chishlari va qutb atrofidagi chekli burishlarining uzlusiz ketma-ketligidan iborat deb qarash mumkin.

2) 2-teoremaga asosan tekis shaklning har qanday ilgarijanma bo'limgan elementar ko'chishini oniy aylanish markazi deb ataluvchi markaz atrofida bir marta elementar burchakka burish bilan hosil qilish mumkin. Bundan quyidagicha xulosa qilish mumkin: tekis shaklning o'z tekisligidagi ixtiyoriy ilgarijanma bo'limgan harakatini oniy aylanish markazlari atrofidagi elementar burishlar ketma-ketligidan iborat deb qarash mumkin.

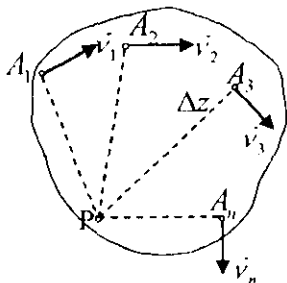
Tekis shaklning harakati davomida oniy aylanish markazining holati qo'zg'almas tekislikda ham, shaklga mahkamlan tekislikda ham uzlusiz o'zgarib boradi.

Oniy aylanish markazi atrofidagi aylanma harakat burchak tezligi  $\omega$  ga oniy burchak tezlik, burchak tezlanishi  $\varepsilon$  ga oniy burchak tezlanish deyildi.

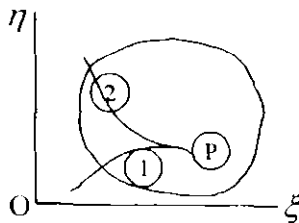
Tezlik vektori aylanish radiuslariga perpendikular bo'ladi (aylanish radiusi nuqtadan aylanish markazigacha bo'lgan masofa) (171-shakl). Tekis shaklning oniy aylanish markazi  $P$  nuqtaning qaralayotgan ondagi tezligi nolga teng bo'ladi.

Tekis shaklning oniy aylanish markazini topish uchun uning ikkita nuqtasi tezligining yo'nalishini bilish yetarli. Bu nuqtalar tezliklaridan chiqarilgan perpendikularlarning kesishish nuqtasi oniy aylanish markazi bo'ladi.

Oniy aylanish markazining qo'zg'almas tekislikda qoldirgan iziga qo'zg'almas sentroida, shaklga mahkamlangan tekislikda



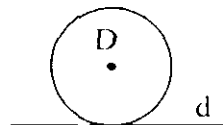
171-shakl.



172-shakl.

qoldirgan iziga qo'zg'aluvchi sentroida deyilad (172-shakl). ① bilan qo'zg'almas sentroida, ② bilan qo'zg'aluvchi sentroidani belgilanadi, oniy aylanish markazi ③ bilan belgilanadi.

Qaralayotgan onda oniy aylanish markazining qo'zg'almas tekislikdagi o'rni ① bilan qo'zg'aluvchi tekislikdagi o'rni ② oniy aylanish markazi ③ bilan ustma-ust tushadi (172-shakl). Cheksiz kichik  $\Delta t$  vaqtidan keyin oniy aylanish markazi boshqa nuqtaga o'tadi, ① va ②

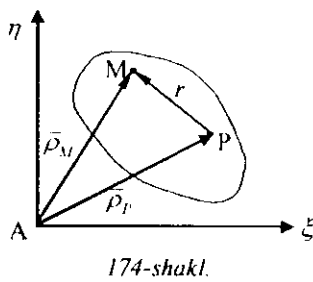


173-shakl.

nuqtalar ajraladi. Qo'zg'almas sentorida qo'zg'almas  $O\xi\eta$  tekisligiga nisbatan qo'zg'amas egri chiziq bo'ladi. Qo'zg'aluvchi sentroida shaklga mahkamlangan tekislikka nisbatan qo'zg'almas, tekislikka nisbatan qo'zg'aluvchi tekislik bilan birgalikda qo'zg'aluvchi yegri chiziq bo'ladi. Qo'zg'aluvchi va qo'zg'almas sentroidalarning urunish nuqtasi qaralayotgan onda oniy aylanish markazi bo'ladi.

Tekis shaklning harakati vaqtida qo'zg'aluvchi sentroida qo'zg'almas sentroida ustida sirpanmasdan yumalaydi va ularning urunish nuqtasi qaralayotgan onda oniy aylanish markazi bo'ladi. Masalan,  $D$  disk  $d$  to'g'ri chiziq bo'ylab sirpanmasdan yumalayotgan bo'lsa,  $d$  to'g'ri chiziq qo'zg'almas sentroida,  $D$  disk aylanasi qo'zg'aluvchi sentroida bo'ladi, ularning urunish nuqtasi oniy aylanish markazi bo'ladi.

## 8.2. Tekis shakl nuqtalarining tezliklari



$\bar{\rho}_P$ ,  $\bar{\rho}_M$  va  $\vec{r}$  vektorlar orasida quyidagi munosabat o'rini:

$$\bar{\rho}_M = \bar{\rho}_P + \vec{r}. \quad (8.2.1)$$

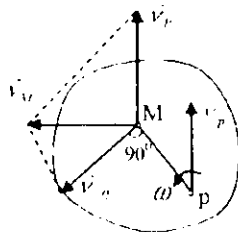
Bu tenglikning ikala tomoni vaqt bo'yicha differentiallanadi:

$$\frac{d\bar{\rho}_M}{dt} = \frac{d\bar{\rho}_P}{dt} + \frac{d\vec{r}}{dt} \quad (8.2.2)$$

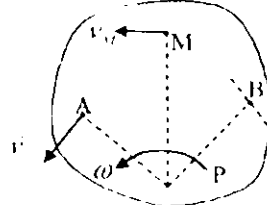
$PM = r = \text{const}$  bo'lganligi uchun  $\vec{r}$  vektor shaklining harakati vaqtida faqat yo'nalishi bo'yicha o'zgaradi. Eyler formulasiga asosan  $\frac{d\vec{r}}{dt} = \vec{\omega} \times \vec{r}$ , bundan tashqari  $\frac{d\bar{\rho}_M}{dt} = \vec{v}_M$ ,  $\frac{d\bar{\rho}_P}{dt} = \vec{v}_P$ . Natijada (8.2.2) tenglikdan quyidagi formulaga kelamiz:

$$\vec{v}_M = \vec{v}_P + \vec{\omega} \times \vec{r} \quad \text{yoki} \quad \vec{v}_M = \vec{v}_P + \vec{v}_{MP}. \quad (8.2.3)$$

Tezliklarni qo'shish teoremasiga asosan tekis shakl ixtiyoriy  $M$  nuqtasining tezligi qutb nuqtasining  $\vec{v}_P$  tezligi, ya'ni ilgari-lanma harakat tezligi bilan qutb atrofidagi aylanma harakat  $\vec{v}_{MP} = \vec{\omega} \times \vec{r}$  tezliklarining yig'indisiga teng.  $\vec{v}_{MP}$  vektor  $MP$  kesmaga perpendikular bo'lib, shaklining aylanish tomoniga qarab yo'nalgan bo'ladi (175-shakl) va moduli  $v_{MP} = \omega \cdot PM$  ga teng.



175-shakl.



176-shakl.

Demak, tekis shakl birorta  $P$  nuqtasining tezligi va bu nuqta atrosida aylanma harakat burchak tezligi  $\omega$  berilgan bo'lsa, uning ixtiyoriy nuqtasining tezligini topish mumkin (175-shakl).

Tezliklarni topishning boshqa usuli quyidagi teoremadan kelib chiqadi.

**1-teorema.** Agar tekis shakl bitta nuqtasining tezligi va boshqa bitta nuqtasi tezligining yo'nalishi berilgan bo'lsa, oniy aylanish markazidan foydalanih, tekis shakl ixtiyoriy nuqtasining tezligini topish mumkin.

**I'sbot.** Tekis shakl bitta  $A$  nuqtasining tezligi va boshqa bitta  $B$  nuqtasi tezligining yo'nalishi berilgan bo'lsin (176-shakl).  $A$  va  $B$  nuqtalardan ularning tezliklariga perpendikular to'g'ri chiziqlar chiziladi. Bu to'g'ri chiziqlarning kesishish nuqtasi  $P$  shaklning oniy aylanish markazi bo'ladi.  $P$  nuqtaga nisbatan  $A$  nuqtaning tezligi quyidagicha bo'ladi (176-shakl):

$$v_A = \omega \cdot PA.$$

Bundan, oniy burchak tezlik  $\omega$  topiladi:

$$\omega = \frac{v_A}{PA}. \quad (8.2.4)$$

Endi ixtiyoriy  $M$  nuqtaning tezligini topamiz:

$$v_M = \omega \cdot PM = v_A \cdot \frac{PM}{PA}. \quad (8.2.5)$$

$v_M$  tezlikning yo'nalishi  $\overrightarrow{PM}$  vektorga perpendikular bo'ladi.

(8.2.5) tenglikdan ko'rinib turibdiki, tekis shakl nuqtalarining ixtiyoriy paytdagi tezligi oniy aylanish markazidan nuqtacha bo'lgan masofaga proporsional bo'lar ekan.

Agar tekis shakl berilgan nuqtalarning tezliklari  $\vec{v}_A$  va  $\vec{v}_B$  lar parallel bo'lsa, yuqoridagi teorema ma'nosini yo'qotadi. Bunday holda quyidagi ikkita holdan bittasi o'rinni bo'ladi.

1)  $\vec{v}_A \parallel \vec{v}_B$  bo'lib,  $A$  va  $B$  nuqtalar bitta umumiy perpendikularda yotmasin (177-shakl). Shakldan ko'rinib turibdiki, bu holda oniy aylanish markazi cheksizlikda bo'ladi va (8.22.4) tenglikdan  $\omega = 0$ . Demak, shakl bu holda oniy ilgarilanma harakatda bo'lar ekan.

2)  $\vec{v}_A \parallel \vec{v}_B$  bo'lib,  $A$  va  $B$  nuqtalar bitta umumiy  $AB$  perpendikularda yotsin (178-shakl). Bu holda oniy aylanish markazini topish uchun  $\vec{v}_A$  va  $\vec{v}_B$  tezliklarning modullarini ham bilish kerak bo'ladi.  $\vec{v}_A$  va  $\vec{v}_B$  vektorlarning uchlari orqali to'g'ri chiziq o'tkaziladi. Bu to'g'ri chiziq bilan  $AB$  to'g'ri chiziqning kesishish nuqtasi oniy aylanish markazi bo'ladi (178-shakl). (8.2.5) formuladan:

$$\frac{v_A}{PA} = \frac{v_B}{PB}.$$

Demak, bu holda tekis shakl ixtiyoriy nuqtasining tezligini topish uchun ikkala  $A$  va  $B$  nuqtalar tezliklarining ham yo'naliishi, ham moduli berilgan bo'lishi kerak.

Agar  $\vec{v}_A = \vec{v}_B$  bo'lsa, bu holda yana tekis shakl oniy ilgarilanma harakatda bo'ladi.

**2-teorema.** *Tekis shakl o'zgarmas kesmasi uchlaring tezliklarini kesma yo'nalishidagi proyeksiyalari o'zaro teng.*

**Isbot.**  $AB$  kesma uchlaring tezliklari  $\vec{v}_A$  va  $\vec{v}_B$  bo'lsin (179-shakl).  $A$  va  $B$  nuqtalardan ularning tezliklariga perpendikular chiziqlar chiziladi, ularning kesishish nuqtasi  $P$  oniy aylanish markazi bo'ladi. Agar  $AB$  kesmaning oniy aylanish burchak tezligi  $\omega$  bo'lsa,  $A$  va  $B$  nuqtalarning tezliklari

$$v_A = \omega \cdot PA, \quad v_B = \omega \cdot PB \text{ bo'ladi.}$$

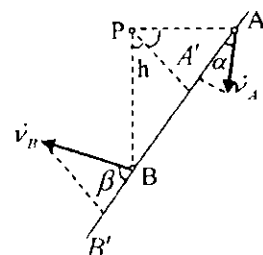
Ularning  $AB$  kesmadagi proyeksiyalari quyidagicha bo‘ladi:

$$AA' = (\vec{v}_A)_{AB} = v_A \cos \alpha = \omega \cdot PA \cdot \cos \alpha = \omega h,$$

$$BB' = (\vec{v}_B)_{AB} = v_B \cos \beta = \omega \cdot PB \cdot \cos \beta = \omega h,$$

bunda  $h$  179- shakldan ko‘rinib turibdiki  $P$  nuqtadan  $AB$  kesmagacha bo‘lgan masofa. Demak,

$$(\vec{v}_A)_{AB} = (\vec{v}_B)_{AB}.$$



177-shakl.

### 8.3. Tekis shakl nuqtalarining tezlanishlari

Tekis shakl ixtiyoriy  $M$  nuqtasining tezligi (8.2.3) formulaga asosan quyidagicha topiladi:

$$\vec{v}_M = \vec{v}_P + \vec{\omega} \times \vec{r},$$

bunda  $\vec{r} = \overline{PM} - M$  nuqtaning  $P$  nuqtaga nisbatan radius-vektori (174-shakl). Bu tenglikning ikkala tomoni vaqt bo‘yicha differentsiallanadi:

$$\frac{d\vec{v}_M}{dt} = \frac{d\vec{v}_P}{dt} + \left( \frac{d\vec{\omega}}{dt} \times \vec{r} \right) + (\vec{\omega} \times \frac{d\vec{r}}{dt}). \quad (8.3.1)$$

$\frac{d\vec{\omega}}{dt} = \vec{\varepsilon}$  miqdor shaklning burchak tezlanish vektori bo‘lib, bu vektor shakl tekisligiga perpendikular yo‘nalgan bo‘ladi.  $\frac{dr}{dt} = \vec{\omega} \times \vec{r}$  Eyler formulasi,  $\vec{\omega} \perp \vec{r}$  va  $\vec{\omega} \cdot \vec{r} = 0$  larni e’tiborga olib, quyidagini hosil qilamiz:

$$\vec{\omega} \times \frac{d\vec{r}}{dt} = \vec{\omega} \times (\vec{\omega} \times \vec{r}) = \vec{\omega}(\vec{\omega} \cdot \vec{r}) - \vec{r}(\vec{\omega} \cdot \vec{\omega}) = -\omega^2 \vec{r}.$$

Natijada (8.3.1) tenglik quyidagi ko‘rinishga keladi:

$$\vec{W}_M = \vec{W}_P + (\vec{\varepsilon} \times \vec{r}) - \omega^2 \vec{r}. \quad (8.3.2)$$

$$\vec{W}_{MP}^{(r)} = \vec{\varepsilon} \times \vec{r} \text{ va } \vec{W}_{MP}^{(n)} = -\omega^2 \vec{r} \quad (8.3.3)$$

miqdorlar shaklning  $P$  nuqta atrofidagi aylanma harakatining urinma va markazga intilma (normal) tezlanishlarini ifodalaydi. Shunday qilib, (8.3.2) tenglik quyidagi ko'rinishiga keladi:

$$\vec{W}_M = \vec{W}_P + \vec{W}_{MP}^{(r)} + \vec{W}_{MP}^{(n)} \quad (8.3.4)$$

yoki

$$\vec{W}_M = \vec{W}_P + \vec{W}_{MP}, \quad (8.3.5)$$

bunda  $\vec{W}_{MP} = \vec{W}_{MP}^{(r)} + \vec{W}_{MP}^{(n)}$ .

Shunday qilib, tekis shakl ixtiyoriy nuqtasining tezlanishi qutb nuqtasining tezlanishi bilan qutb nuqtasi atrofidagi aylanma harakatlari tezlanishlarining geometrik yig'indisiga teng.  $\vec{\varepsilon} \perp \vec{r}$  va  $\vec{r} = \overline{PM}$  bo'lganligi uchun

$$\vec{W}_{MP}^{(r)} = MP \cdot \vec{\varepsilon}, \quad \vec{W}_{MP}^{(n)} = PM \cdot \omega^2, \quad W_{MA} = PM \cdot \sqrt{\varepsilon^2 + \omega^4} \quad (8.3.6)$$

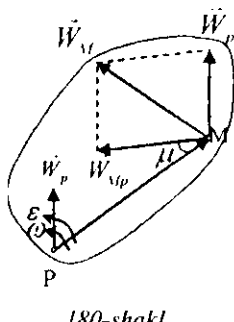
bo'ladi.  $\vec{W}_{MP}$  vektor bilan  $PM$  radius orasidagi  $\mu$  burchak quydigicha topiladi:

$$\operatorname{tg} \mu = \frac{W_{MP}^{(r)}}{W_{MP}^{(n)}} = \frac{\varepsilon}{\omega^2}. \quad (8.3.7)$$

## 8.4. Tezlanishlar oniy markazi

Tekis shaklning o'z tekisligidagi harakatining har bir paytida shaklning yoki shakl tekisligining shunday nuqtasi topsaksi, qaralayotgan onda bu nuqtaning tezlanishi nolga teng bo'lsa, bu nuqtaga tezlanishlar oniy markazi deyiladi.

Tekis shakl  $P$  nuqtasining  $\vec{W}_P$  tezlanishi, shuningdek  $P$  nuqta atrofidagi aylanma harakat burchak tezligi  $\omega$  va burchak tezlanishi  $\varepsilon$  berilgan bo'lsin (180-shakl).



(8.3.7) formuladan foydalaniib,  $\mu$  burchakning qiymati hisoblanadi:

$$\operatorname{tg} \mu = \frac{\varepsilon}{\omega^2}.$$

$P$  nuqtadan shaklning aylanish tomoniga qarab yo'nalgan va  $\vec{W}_p$  vektor bilan  $\mu$  burchak tashkil qiluvchi yarim to'g'ri chiziq o'tkaziladi. Agar aylanish sekinlashuvchan bo'lسا, yarim to'g'ri chiziq qarama-qarshi tomonga yo'nalgan bo'ladi.  $P$  nuqtadan boshlab bu yarim to'g'ri chiziqda

$$PQ = \frac{W_p}{\sqrt{\varepsilon^2 + \omega^4}}$$

kesma ajratiladi.  $Q$  nuqta tezlanishlar oniy markazi bo'ladi. (8.3.5) va (8.3.6) formulalarga asosan

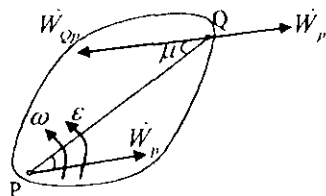
$$\vec{W}_Q = \vec{W}_p + \vec{W}_{Qp},$$

bunda  $W_{PQ} = PQ\sqrt{\varepsilon^2 + \omega^4} = W_p$ . Bundan tashqari,  $\vec{W}_{Qp}$  vektor  $PQ$  radius bilan  $\mu$  burchak tashkil qiladi, demak bu vektor  $\vec{W}_p$  vektor bilan perellel va qarama-qarshi yo'nalgan, ya'ni  $\vec{W}_{Qp} = -\vec{W}_p$ . Shuning uchun  $\vec{W}_Q = \vec{W}_p + \vec{W}_{Qp} = 0$ .

Agar qaralayotgan onda  $Q$  nuqtani qutb deb olsak,  $\vec{W}_Q = 0$  bo'lib, (8.3.5) va (8.3.6) formulalardan

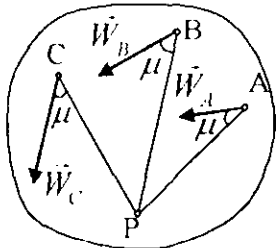
$$\vec{W}_M = \vec{W}_{MQ} \text{ va } \vec{W}_M = MQ\sqrt{\varepsilon^2 + \omega^4}. \quad (8.4.1)$$

Shunday qilib, tekis shakl nuqtalarining tezlanishlari nuqtadan tezlanishlar oniy markazgacha bo'lgan masofaga proporsional bo'ladi, ya'ni



181-shakti

$$\frac{W_M}{MQ} = \frac{W_p}{PQ} = \sqrt{\varepsilon^2 + \omega^4}.$$



182-shakl.

Teksi shakl nuqtalarining tezlanishlari nuqtalar bilan oniy markazni tutash-tiruvchi kesmalar bilan bir xil burchak tashkil qiladi (182-shakl).

Shuni ta'kidlab o'tish lozimki, oniy aylanish markazi  $P$  bilan tezlanishlar oniy markazi  $Q$  lar boshqa-boshqa nuqtalar bo'ladi. Oniy aylanish markazi uchun  $\nu_p = 0$ ;  $\nu_Q \neq 0$ .

### 8.5. Tekis shaklning o'z tekisligidagi harakat tenglamasi

Tekis  $B\xi\eta$  shakl qo'zg'almas koordinatalar sistemasiga nisbatan harakatlansin (183-shakl). Shaklning  $A$  nuqtasini qutb deb olib, shaklga mahkamlangan  $Axy$  koordinatalar sistemasi olinadi. Agar qutb nuqtaning  $\xi_A$ ,  $\eta_A$  koordinatalari hamda  $Ax$  va  $A\xi$  o'qlar orasidagi  $\varphi$  burchak ma'lum bo'lsa, tekis shaklning ixtiyoriy paytdagi holati aniqlangan bo'ladi. Tekis shaklning harakati berilgan bo'ladi, agar

$$\xi_A = f_1(t), \quad \eta_A = f_2(t), \quad \varphi = f_3(t) \quad (8.5.1)$$

bog'lanish tenglamalari berilgan bo'lsa va bu tenglamalarga tekis parallel harakat tenglamalari deyiladi.

Qutb nuqtasining  $B\xi\eta$  koordinatalar sistemasiga nisbatan radius-vektorini  $\vec{\rho}_A$ , shakl ixtiyoriy  $M$  nuqtasining radius-vektorini  $\vec{\rho}$ , shu nuqtaning  $Axy$  koordinatalar sistemasiaga nisbatan radius-vektori  $\vec{r}$  bilan belgilanadi. Bu vektorlarning vaqt o'tishi bilan ham moduli ham yo'nalishi o'zgaradi, ya'ni

$$\vec{\rho}_A = \vec{\rho}_A(t), \quad \vec{\rho} = \vec{\rho}(t), \quad \vec{r} = \vec{r}(t). \quad (8.5.2)$$

183- shaklda asosan:

$$\vec{\rho} = \vec{\rho}_A + \vec{r} . \quad (8.5.3)$$

$M$  nuqtaning  $B\xi\eta$  koordinatalar sistemasiga nisbatan koordinatalarni  $\xi, \eta$  bilan,  $Axy$  koordinatalar sistemasiga nisbatan koordinatalari  $x, y$  bilan belgilanadi. (8.5.3) tenglamalning ikkala tomonini  $A\xi$  va  $B\eta$  o'qlariga proyeksiyalab, quyidagi tenglamalar hosil qilinadi:

$$\begin{cases} \xi = \xi_A + x \cos \varphi - y \sin \varphi, \\ \eta = \eta_A + x \sin \varphi + y \cos \varphi. \end{cases} \quad (8.5.4)$$

(8.5.4) tenglamalar shaklning  $A\xi\eta$  koordinatalar sistemasiga nisbatan harakat tenglamalarini ifodalaydi. Bu tenglamalar  $M$  nuqta trayektoriyasining parametrik tenglamalarini ifodalaydi, parametr  $t$  bu tenglamalarga  $\xi_A, \eta_A$  va  $\varphi$  lar orqali kiradi. Bu tenglamalarda parametr  $t$  ni yo'qotib,  $\Phi(\xi, \eta) = 0$  trayektoriya tenglamasini hosil qilamiz.

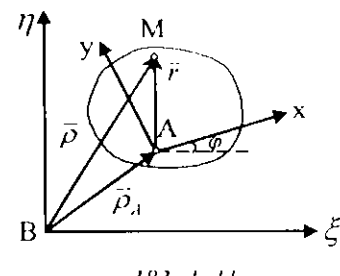
(8.5.4) tenglamalarning ikkala tomonini vaqt bo'yicha differentiallab, tekis shakl ixtiyoriy nuqtasining tezlik va tezlanishlarini topish mumkin:

$$\dot{\vec{v}}_M = \vec{v}_A + (\vec{\omega} \times \vec{r}), \quad (8.5.5)$$

yoki (8.5.3) formuladan:

$$\dot{\vec{v}}_M = \vec{v}_A + \vec{\omega} \times (\vec{\rho} - \vec{\rho}_A) = \frac{d\vec{\rho}_A}{dt} + \vec{\omega} \times (\vec{\rho} - \vec{\rho}_A). \quad (8.5.6)$$

$B\xi\eta\zeta$  koordinatalar sistemasining birlik vektorlari  $\xi^0, \eta^0$  lar bilan belgilanadi. U holda (8.5.6)ni quyidashicha yozish mumkin:



183-shakl.

$$\dot{v}_M = \frac{d\dot{v}_A}{dt} + \begin{vmatrix} \xi^0 & \eta^0 & \zeta^0 \\ 0 & 0 & \omega \\ \xi - \xi_p & \eta - \eta_p & 0 \end{vmatrix},$$

bunda  $\omega = \frac{d\varphi}{dt}$  -burchak tezlikning algebraik ifodasi.  $\dot{v}_M$  tezlikning  $\xi$  va  $\eta$  o'qlardagi proyeksiyalari quyidagicha bo'ladi:

$$\left. \begin{aligned} v_\xi &= \frac{d\xi}{dt} = \frac{d\xi_A}{dt} - \omega(\eta - \eta_p), \\ v_\eta &= \frac{d\eta}{dt} = \frac{d\eta_A}{dt} + \omega(\xi - \xi_p) \end{aligned} \right\} \quad (8.5.7)$$

$Axy$  koordinatalar sistemasining birlik vektortari  $\dot{x}^0$ ,  $\dot{y}^0$  bilan belgilnadi va (8.5.5) ni quyidagicha yoziladi:

$$\dot{v}_M = \dot{v}_A + \begin{vmatrix} \dot{x}^0 & \dot{y}^0 & \dot{z}^0 \\ 0 & 0 & \omega \\ x & y & 0 \end{vmatrix}. \quad (8.5.8)$$

Natijada  $\dot{v}_M$  tezlikni  $x$ ,  $y$  o'qlaridagi proyeksiyalari uchun quyidagi formulalarni hosil qilamiz:

$$\left. \begin{aligned} v_x &= v_{Ax} - \omega y, \\ v_y &= v_{Ay} + \omega x. \end{aligned} \right\} \quad (8.5.9)$$

$v_{Ax}$ ,  $v_{Ay}$  miqdorlar quyidagi formulalardan topiladi:

$$\dot{v}_A = \frac{d\xi_A}{dt} \xi^0 + \frac{d\eta_A}{dt} \eta^0,$$

bundan

$$\left. \begin{aligned} v_{Ax} &= \frac{d\xi_A}{dt} \cos \varphi + \frac{d\eta_A}{dt} \sin \varphi, \\ v_{Ay} &= \frac{d\xi_A}{dt} \sin \varphi + \frac{d\eta_A}{dt} \cos \varphi. \end{aligned} \right\} \quad (8.5.10)$$

Shakl oniy aylanish markazining koordinatalari  $v_M = 0$  deb yoki (8.5.7) va (8.5.10) tenglamalarning chap tomonlarini nolga tenglashtirib topiladi, ya'ni

$$\frac{d\xi_A}{dt} - \omega(\eta_P - \eta_A) = 0, \quad \frac{d\zeta_A}{dt} + \omega(\xi_P - \xi_A) = 0,$$

bunda  $\xi_P$ ,  $\eta_P$  –  $P$  oniy aylanish markazining koordinatalari. Bulardan:

$$\xi_P := \xi_A - \frac{1}{\omega} \frac{d\eta_A}{dt}, \quad \eta_P = \eta_A + \frac{1}{\omega} \frac{d\xi_A}{dt}. \quad (8.5.11)$$

Qo'zg'aluvchi koordinatalar sistemasiga nisbatan:

$$v_{Ax} - \omega y_p = 0, \quad v_{Ay} + \omega x_p = 0,$$

bunda  $x_p$  va  $y_p$  lar  $P$  oniy aylanish markazining  $Axy$  koordinatalar sistemasiga nisbatan koordinatalari. Bulardan:

$$x_p = -\frac{v_{Ay}}{\omega}, \quad y_p = \frac{v_{Ax}}{\omega}. \quad (8.5.12)$$

(8.5.11) va (8.5.12) tenglamalar o'z navbatida qo'zg'almas va qo'zg'aluvchi sentroidalarning parametrik tenglamalaridir. Ulardan parametr  $t$  ni yo'qotib, ularni koordinatalardagi

$$\phi(\xi_P, \eta_P) = 0, \quad f(x_p, y_p) = 0 \quad (8.5.13)$$

tenglamalari topiladi.

$M$  nuqtaning tezlanishini (8.3.2) formuladan foydalanib yoki (8.5.6) tenglikning ikkala tomoni vaqt bo'yicha differensiallab topiladi, ya'ni:

$$\dot{W}_M = \frac{d\dot{v}_M}{dt} = \frac{d\dot{v}_A}{dt} + \frac{d}{dt}(\dot{\omega} \times \vec{r}) = \dot{W}_A + \dot{\epsilon} \times \vec{r} - \omega^2 \vec{r}, \quad (8.5.14)$$

bunda  $\dot{\epsilon} = \frac{d\dot{\omega}}{dt}$  – shaklning burchak tezlanishi.

(8.5.14) tenglikni

$$\dot{W}_M = \frac{d^2\dot{\rho}}{dt^2} + \frac{d^2\dot{\rho}_A}{dt^2} - \dot{\epsilon} \times (\bar{\rho} - \bar{\rho}_A) - \omega^2(\dot{\rho} - \dot{\rho}_A).$$

ko'rinishda yozib,  $\dot{W}_M$  ning  $\xi$  va  $\eta$  o'qlardagi proyeksiyalari topiladi:

$$\left. \begin{aligned} W_\xi &= \frac{d^2\xi}{dt^2} = \frac{d^2\xi_A}{dt^2} + \epsilon(\eta - \eta_A) - \omega^2(\xi - \xi_A), \\ W_\eta &= \frac{d^2\eta}{dt^2} = \frac{d^2\eta_A}{dt^2} - \epsilon(\xi - \xi_A) - \omega^2(\eta - \eta_A). \end{aligned} \right\} \quad (8.5.15)$$

$x$  va  $y$  o'qlardagi proyeksiyalari quyidagicha bo'ladi:

$$\left. \begin{aligned} W_x &= W_{Ax} - \epsilon y - \omega^2 x, \\ W_y &= W_{Ay} + \epsilon x - \omega^2 y \end{aligned} \right\}. \quad (8.5.16)$$

$W_{Ax}$ ,  $W_{Ay}$  proyeksiyalar

$$\left. \begin{aligned} W_{Ax} &= \frac{d^2\xi_A}{dt^2} \cos \varphi + \frac{d^2\eta_A}{dt^2} \sin \varphi, \\ W_{Ay} &= -\frac{d^2\xi_A}{dt^2} \sin \varphi + \frac{d^2\eta_A}{dt^2} \cos \varphi \end{aligned} \right\}$$

formulalardan topiladi.

Tezlanishlar oniy markaz  $Q$  ning koordinatalarini  $\dot{W}_M = 0$  deb, yoki (8.5.15) tengliklar chap tomonlarini nolga tenglash-tirib topamiz, ya'ni

$$\left. \begin{aligned} \frac{d^2\xi_A}{dt^2} - \epsilon(\eta_Q - \eta_A) - \omega^2(\xi_Q - \xi_A) &= 0, \\ \frac{d^2\eta_A}{dt^2} + \epsilon(\xi_Q - \xi_A) - \omega^2(\eta_Q - \eta_A) &= 0. \end{aligned} \right\}. \quad (8.5.17)$$

Qo'zg'aluvchi koordinatalar sistemasi o'qlardagi proyeksiyalar:

$$\left. \begin{aligned} W - \epsilon y_Q - \omega^2 x_Q &= 0, \\ W - \epsilon x_Q - \omega^2 y_Q &= 0, \end{aligned} \right\}$$

bundan

$$\left. \begin{aligned} x_Q &= \frac{-W_{Ay}\varepsilon + W_{Ax}\omega^2}{\varepsilon^2 + \omega^4}, \\ y_Q &= \frac{-W_{Ax}\varepsilon + W_{Ay}\omega^2}{\varepsilon^2 + \omega^4}. \end{aligned} \right\} \quad (8.5.18)$$

## 8.6. Qattiq jismning tekis parallel harakatiga doir masalalarini yechish bo'yicha uslubiy tavsiyalar.

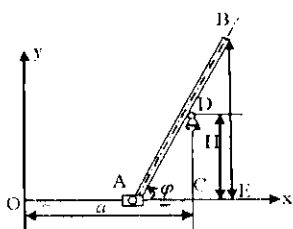
### Masalalar

Qattiq jismning tekis parallel harakatiga doir masalalarini quyidagi tartibda yechish tavsiya etiladi:

1. Ikkita koordinatalar sistemasi tanlanadi: qe'zg'almas hamda tekis shaklga mahkamlangan koordinatalar sistemasi.
2. Tanlangan koordinatalar sistemasiiga nisbatan tekis shaklning harakat tenglamalari tuziladi.
3. Tuzilgan tenglamalardan foydalanib, tekis shakl nuqtalarining tezlik va tezlanishlari topiladi.
4. Tekis shakl oniy aylanish markazi yuqorida bayon qilin-gan usullardan foydalanib topiladi va oniy markazdan foydalanib, nuqtalarining tezliklari topiladi.
5. Tekis shakl bitta nuqtasining tezlanishi va bu nuqta atrofidagi aylanma harakat burchak tezligi va burchak tezlanishi berilgan bo'lsa, tezlanishlar oniy markazi topiladi.
6. Tezlanishlar oniy markazidan foydalanib, tekis shakl nuqtalarining tezlanishlari topiladi.

#### 8.6.1. Harakat tenglamalariga oid masalalar

**1-masala. (И.В. Мешчерский).**  $AB$  sterjenning  $A$  uchi o'zgarmas tezlik bilan to'g'ri chiziqli yo'naluvchida sirpanadi va bunda sterjen harakat vaqtida  $D$  shkifga tayanadi. Sterjen va uning  $B$  uchi harakat tenglamalari yozilsin. Sterjen uzunligi  $\ell$  ga teng; shkif to'g'ri chiziqli yo'naltiruvchidan  $H$  balandlikda o'rnatilgan. Harakatning boshlanishida sterjenning  $A$  uchi



184-shakl.

qo‘zg‘almas koordinatalar sistemasi boshi  $O$  nuqta bilan ustma-ust tushadi:  $OC = a$ .  $A$  nuqta qutb deb olinsin (184-shakl).

**Yechish.** Berilganlar shaklda ko‘rsatilgan. Sterjenning  $A$  qutb atrofida aylanish burchagini  $\varphi$  bilan belgilanadi.  $A$  nuqta  $x$  o‘qi bo‘ylab to‘g‘ri chiziqli harakat qilgani uchun hamma vaqt  $y_A = 0$ . Endi  $x_A$  koordinatasi topiladi. Shakldan va  $A$  nuqta  $v$  tezlik bilan tekis harakat qilgani uchun

$$x_A = OA = v \cdot t$$

bo‘ladi.

$$\text{Shakldan: } \frac{H}{AC} = \operatorname{tg} \varphi; \quad AC = a - v \cdot t;$$

$$\operatorname{tg} \varphi = \frac{H}{a - vt} \text{ bundan } \varphi = \operatorname{arctg} \frac{H}{a - vt}.$$

$B$  nuqtaning koordinatalarini topiladi:

$$x_B = OA + AE, \quad OA = v \cdot t; \quad AE = \ell \cos \varphi,$$

$$\cos \varphi = \frac{1}{\sqrt{1 + \operatorname{tg}^2 \varphi}} = \frac{a - vt}{\sqrt{(a - vt)^2 + H^2}},$$

natijada

$$x_B = vt + \frac{a - vt}{\sqrt{H^2 + (a - vt)^2}} \ell,$$

$$y_B = BE = \ell \sin \varphi = \ell \frac{H \ell}{\sqrt{H^2 + (a - vt)^2}}.$$

**2-masala (И.В. Мещерский 15.7).** To‘g‘ri chiziqli yo‘naltiruvchi bo‘ylab sirpanuvchi  $A$  va  $B$  nuqtalar  $\ell$  uzunlikdagi  $AB$  sterjen bilan biriktirilgan.  $A$  musta  $v_A$  o‘zgarmas tezlik bilan harakatlanadi.  $A$  mustani  $O$  nuqtadan harakatlana boshlaydi deb hisoblab,  $AB$  sterjenning harakat tenglamalari yozilsin. Qutb uchun  $A$  nuqta olinsin.  $BOA$  burchak  $\pi - \alpha$  ga teng (185-shakl).

**Yechish.** A nuqtaning  $x_A$ ,  $y_A$  koordinatalari topiladi. Koordinatalar sistemasi shaklda ko'rsatilganday qilib tanlanadi.

Shakldan:

$$x_A = OA \cos \alpha; \quad y_A = OA \sin \alpha$$

185-shakl

A nuqta  $v_A$  o'zgarmas tezlik bilan tekis harakat qilgani uchun  $OA = v_A t$  va demak,

$$x_A = v_A t \cos \alpha; \quad y_A = v_A t \sin \alpha.$$

Endi  $\varphi$  burchak topiladi:

$$\frac{BC}{AB} = \sin \varphi; \quad BC = y_A = v_A t \sin \alpha,$$

natijada  $\sin \varphi = \frac{v_A t \sin \alpha}{\ell}$ , bundan  $\varphi = \arcsin \frac{v_A t \sin \alpha}{\ell}$ .

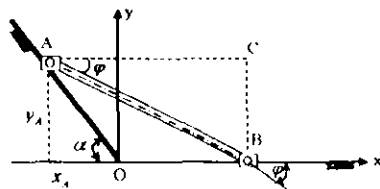
**3-masala (И.В. Мешнерский 15.2).** Radiusi  $R$  bo'lgan g'ildirak gorizontal to'g'ri chiziq bo'ylab sirpanmasdan g'ildiraydi. G'ildirak markazi C ning tezligi o'zgarmas va vga teng. G'ildirak bilan bog'langan y o'q boshlang'ich paytda vertikal bo'ylab, qo'zg'almas  $\eta$  o'q shu paytda g'ildirakning C markazi orqali o'tadi. G'ildirakning harakat tenglamalari aniqlansin. C nuqta qutb deb olinsin (186-shakl).

**Yechish.** Koordinatalar sistemasini shaklda ko'rsatilganday qilib tanlaymiz. G'ildirakning C markazi  $\xi$  o'qiga parallel to'g'ri chiziq bo'ylab v o'zgarmas tezlik bilan tekis harakat qilgani uchun uning  $\eta$  koordinatasi o'zgarmas va  $R$  ga teng, ya'ni  $\eta_C = R$ .

$\xi$  koordinatasi esa quyidagiga teng:

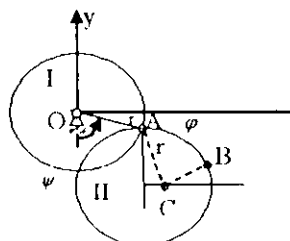
$$\xi_C = vt.$$

Endi  $\varphi$  burchakni topamiz. G'ildirak  $\varphi$  burchakka burliganda uning chetidagi nuqtalar  $R\varphi$  ga teng yoy chizadi va g'ildirak markazining  $vt$  ko'chishiga teng bo'ladi, ya'ni



$$R\phi = vt, \text{ bundan } \phi = \frac{v}{R}t.$$

### 8.6.2. Tekis shakl nuqtalarining tezliklarini topishga doir masalalar



187-shakl.

#### 4-masala (И.В. Мещерский)

16.5.). Har birining radiusi  $r$  bo'lgan ikkita bir xil disk  $A$  silindrik sharnir vositasida birlashtirilgan. I disk  $O$  qo'zg'almas gorizontal o'q atrofida  $\phi = \phi(t)$  qonunga binoan aylanadi. II disk  $A$  gorizontal o'q atrofida  $\psi = \psi(t)$  qonunga asocan aylanadi.  $O$  va  $A$  o'qlar rasm tekisligiga perpendikular.  $\phi$  va  $\psi$  burchaklar vertikalidan soat strelkasi harakatiga teskari yo'nalishda hisoblanadi. II disk  $C$  markazining tezligi topilsin (187-shakl).

**Yechish.** Shakldan foydalanib,  $C$  nuqtaning koordinatalari topiladi:

$$\begin{aligned} x_c &= r \sin \phi + r \sin \psi, \\ y_c &= -r \cos \phi - r \cos \psi. \end{aligned} \quad (\text{a})$$

(a) tenglamalar  $C$  nuqtaning  $Oxy$  koordinatalar sistemasiiga nisbatan harakat tenglamalarini ifodalaydi.

(a) tenglamalardan vaqt bo'yicha birinchi tartibli hosilalarni olib,  $C$  nuqta tezligining proyeksiyalari topiladi, ya'ni

$$\begin{aligned} v_{cx} &= \dot{x}_c = r(\phi \cos \phi + \psi \cos \psi), \\ v_{cy} &= \dot{y}_c = r(\phi \sin \phi + \psi \sin \psi). \end{aligned}$$

$C$  nuqta tezligining modulini topamiz:

$$v_c = \sqrt{\dot{x}_c^2 + \dot{y}_c^2} = \sqrt{\dot{\phi}^2 + \dot{\psi}^2 + 2\dot{\phi}\dot{\psi} \cos(\phi - \psi)}.$$

**5-masala (И.В. Мещерский 16.10.).**  $AB$  to'g'ri chiziq rasm tekisligida shunday harakatlanadiki, uning  $A$  uchi hamma vaqt  $CAD$  yarim aylanada turadi, to'g'ri chiziqning o'zi esa hamisha  $CD$  diametrning qo'zg'almas  $C$  nuqtasidan o'tadi.  $OA$

radius  $CD$  ga tik bo'lgan paytda to'g'ri chiziqning  $C$  nuqtaga mos kelgan nuqtasining  $v_c$  tezligi aniq-lansin;  $A$  nuqtaning shu paytdagi tezligi  $4 \text{ m/s}$  ga teng.

**Yechish.**  $A$  nuqtaning tezligi aylana radiusiga perpendikular bo'lib, harakat yo'nalishi to'monga yo'nalgan bo'ladi.  $B$  nuqtaning tezligi esa  $AB$  sterjen bo'ylab yo'nalgan bo'ladi. Proyeksiyalar haqidagi teoremaga asosan,  $A$  va  $B$  nuqtalarning  $AB$  to'g'ri chiziqdagi proyeksiyalari teng bo'lishi kerak, ya'ni

$$\begin{aligned} np_{AB}\vec{v}_A &= np_{AB}\vec{v}_B \\ np_{AB}\vec{v}_A &= v_A \cos 45^\circ = 4 \cdot \frac{\sqrt{2}}{2} \frac{m}{c} = 2\sqrt{2} \frac{m}{c} \approx 2,83 \frac{m}{c}. \\ np_{AB}\vec{v}_A &= v_B. \end{aligned}$$

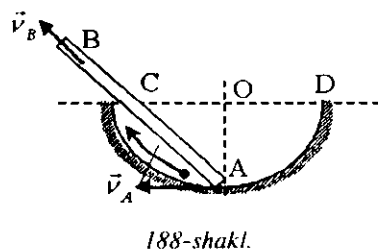
Demak,

$$v_B = 2,83 \frac{m}{c}.$$

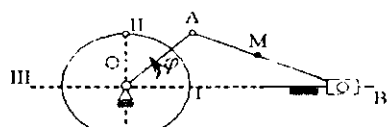
**6-masala (И.В. Мещерский 16.15).** Krivoship mexanizmida krivoship uzunligi  $OA=40 \text{ sm}$ , shatur uzuunligi  $AB=2\text{m}$ ; krivoship  $6\pi \frac{\text{rad}}{\text{s}}$  burchak tezlik bilan bir tekis aylanadi.  $AOB$  burchak turlicha:  $O; \frac{\pi}{2}; \pi, 3\frac{\pi}{2}$  ga teng bo'lgan hollar uchun shatunning burchak tezligi  $\omega$  va shatun o'ttasidagi  $M$  nuqta tezligining qancha bo'lishi topilsin (189-shakl).

**Yechish.** I holat uchun a) shaklda tasvirlangan sxema mos keladi.

Bu holda shaklning oniy aylanish markazi  $B$  nuqta bo'ladi.  $A$  nuqtasining tezligi topiladi:



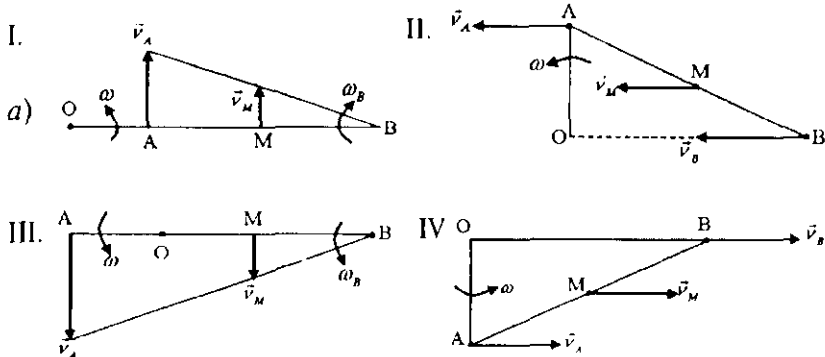
188-shakl.



189-shakl.

$$v_A = OA \cdot \omega,$$

oniy aylanish markaziga nisbatan  $v_A = AB \cdot \omega_B$ .



Bu ikki tenglikdan:

$$\omega_B = \frac{OA}{AB} \omega = \frac{1}{5} \omega = -\frac{6}{5} \pi \frac{\text{rad}}{\text{s}}.$$

$B$  oniy aylanish markaziga nisbatan  $M$  nuqtaning tezligi topiladi:

$$v_M = BM \cdot \omega_B = 100 \text{sm} \cdot \frac{1}{5} 6\pi \frac{\text{rad}}{\text{s}} \approx 377 \frac{\text{sm}}{\text{s}}.$$

II hol uchun  $\phi = \frac{\pi}{2}$ . Bu holda  $\bar{v}_A$  tezlik bilan  $\bar{v}_B$  tezliklar parallel. Demak,  $AB$  shatun ilgarilanma harakat qilar ekan. Shuning uchun uning hamma nuqtalarining tezliklari bir xil bo'ladi, ya'ni

$$v_M = v_A = OA \cdot \omega = 40 \cdot 6\pi \frac{\text{sm}}{\text{s}} \approx 754 \frac{\text{sm}}{\text{s}}.$$

Shakl ilgarilanma harakatda bo'lagni uchun uning oniy aylanish burchak tezligi  $\omega_P = 0$ .

III. Bu holga  $\phi = \pi$ . Bu holda shakl  $B$  nuqtasining tezligi nolga teng va oniy aylanish markazi  $B$  nuqtada bo'ladi.  $A$  nuqtaning tezligi topiladi:  $v_A = OA \cdot \omega$ , oniy aylanish markaziga nisbatan:

$$v_A = AB \omega_B.$$

Bulardan:

$$\omega_B = \frac{OA}{AB} \omega = \frac{6}{5} \pi \frac{\text{rad}}{\text{s}}.$$

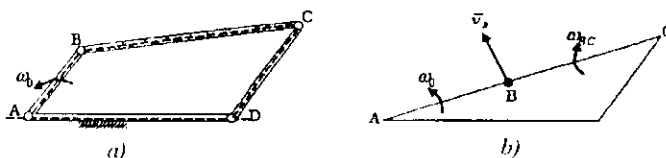
$M$  nuqtaning tezligi topiladi:

$$v_M = BM \cdot \omega_B = 100 \text{sm} \cdot \frac{1}{5} \pi \frac{\text{rad}}{\text{s}} \approx 377 \frac{\text{sm}}{\text{s}}.$$

IV.  $\varphi = \frac{3\pi}{2}$ . Bu holda ham  $AB$  shatun ilgarilanma harakatda o'lganligi uchun oniy burchak tezligi nolga teng:

$$v_M = v_A = OA \cdot \omega = 40 \text{sm} \cdot 6\pi \frac{\text{sm}}{\text{s}} \approx 754 \frac{\text{sm}}{\text{s}}.$$

**7-masala (И.В. Мешнерский 16.21).** Shatunli  $ABCD$  to'rt zvenolikda yetakchi  $AB$  krivoship  $\omega = 6\pi \frac{\text{rad}}{\text{s}}$  o'zgarmas burchak tezlik bilan aylanadi.  $AB$  krivoship bilan  $BC$  sterjen bir to'g'ri chiziqda yotgan paytda  $CD$  krivoship va  $BC$  sterjenning oniy burchak tezliklari topilsin;  $BC = 3AB$  (190-shakl).



190-shakl.

**Yechish.** Qaralayotgan holda  $B$  nuqta tezligidan chiqarilgan perpendikular  $C$  nuqtadan o'tadi, demak,  $C$  nuqta shaklning oniy aylanish markazi bo'ladi.  $A$  doimiy aylanish markaziga nisbatan  $B$  nuqtaning tezligi topiladi:

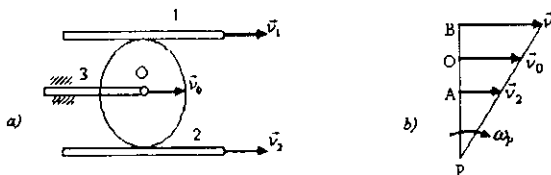
$$\begin{aligned} v_B &= AB \cdot \omega_0 \Rightarrow \omega_{BC} \cdot \frac{AB}{BC} \omega_0 = \frac{AB}{3AB} \omega_0 \\ v_B &= BC \cdot \omega_{BC} \end{aligned}$$

$$\text{yoki} \quad \omega_{BC} = \frac{1}{3} 6\pi \frac{\text{rad}}{\text{s}} = 2\pi \frac{\text{rad}}{\text{s}}.$$

Qaralayotgan onda  $C$  nuqtaga nisbatan  $DC$  sterjen tinch holatda bo'ladi, shuning uchun  $\omega_{CD} = 0$ .

**8-masala. (И.В. Мешчерский 16.32.).** Rasmida harakatlarni qo'shadigan mexanizm tasvirlangan. O'zaro parallel ikkita 1- va 2-reykalar  $v_1$  va  $v_2$  o'zgarmas tezliklar bilan bir tomoniga harakatlanadi. Reykalar orasida  $r$  radiusli, reykalar bo'ylab sirpanmay dumalaydigan disk qisilgan. Diskning  $C$  o'qiga mahkamlangan 3 reykaning tezligi 1 va 2 reykalar tezliklari yig'indisining yarimiga tengligi ko'rsatilsin. Shuningdek, diskning burchak tezligi topilsin (191-shakl).

**Yechish.** Masalani yechish uchun sxema 191-a shaklda rasmida tasvirlangan. Uchburchaklar o'xshashligidan:



192-shakl.

$$\frac{v_1}{v_2} = \frac{PB}{PA}, \quad PB - PA = 2r, \quad \frac{v_1}{v_2} = \frac{PA + 2r}{PA}, \quad \frac{PB}{PA} = \frac{v_1}{v_2},$$

$$PB = \frac{v_1}{v_2} PA, \quad \frac{v_1}{v_2} PA - PA = 2r$$

$$\text{bundan } PA = \frac{2rv_2}{v_1 - v_2},$$

a) Shakldan:

$$v_1 = PB\omega_p \Rightarrow \omega_p = \frac{v_1}{PB}.$$

$$PB = PA + 2r = \frac{2rv_2}{v_1 - v_2} + 2r = \frac{2rv_2}{v_1 - v_2}.$$

Natijada

$$\omega_p = v_1 : \frac{2rv_1}{v_1 - v_2} = \frac{v_1 - v}{2r}.$$

### 8.6.3. Tekis shakl nuqtalarining tezlanishlarini topishga doir masalalar

**9-masala. (И.В. Мешчерский 18.4.).** 4-masalaning shartlari bajarilganda II disk  $C$  va  $B$  nuqtalarining tezlanishlari topilsin.

**Yechish.** 4-masalada  $C$  nuqtaning harakat tenglamalari tuzilgan, o'sha tenglamalardan tezlanishning koordinata o'qlaridagi proyeksiyalarini topamiz:

$$W_{Cx} = \ddot{x}_C = r(\dot{\phi} \cos \varphi - \dot{\psi}^2 \sin \varphi + \dot{\psi} \cos \psi - \dot{\psi}^2 \sin \psi),$$

$$W_{cy} = \ddot{y}_C = r(\dot{\phi} \sin \varphi + \dot{\psi}^2 \cos \varphi + \dot{\psi} \sin \psi + \dot{\psi}^2 \cos \psi).$$

$B$  nuqta tezlanishini topish uchun 4-masala shaklidan foydalanib, harakat tenglamalari tuziladi:

$$x_B = r \sin \varphi + r \sin \psi + r \cos \psi,$$

$$y_B = -r \cos \varphi - r \cos \psi + r \sin \psi.$$

Bu tenglamalardan tezlanishning proyeksiyalarini topiladi, ya'ni

$$W_{Bx} = \ddot{x}_B = r \left[ \ddot{\phi} \cos \varphi - \dot{\psi}^2 \sin \varphi + \sqrt{2}\dot{\psi} \cos(\psi + \frac{\pi}{4}) \right] - \sqrt{2}\dot{\psi}^2 \sin(\psi + \frac{\pi}{4}),$$

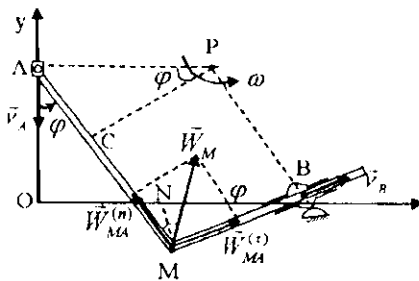
$$W_{By} = \ddot{y}_B = r \left[ \ddot{\phi} \sin \varphi - \dot{\psi}^2 \cos \varphi + \sqrt{2}\dot{\psi} \sin(\psi + \frac{\pi}{4}) \right] + \sqrt{2}\dot{\psi}^2 \cos(\psi + \frac{\pi}{4}).$$

To'lin tezlanishi

$$W_B = \sqrt{W_{Bx}^2 + W_{By}^2} = \sqrt{\ddot{x}_B^2 + \ddot{y}_B^2}$$

formula bilan topiladi.

**10-masala (И.В. Мешчерский 18.20.).** Mustahkam biriktirilgan  $AME$  to'g'ri burchak shaklidagi mexanizm shunday harakatlanadiki, bunda  $A$  nuqta har doim  $Oy$  qo'zg'almas o'qda qoladi, boshqa  $ME$  tomoni esa, aylanuvchi  $B$  sharnir orqali o'tadi. Masofa  $MA = OB = a$ .  $A$  nuqtaning tezligi o'zgarmas.  $M$  nuqtaning tezlanishi  $\phi$  burchakning funksiyasi sifatida aniqlansin (192-shakl).



192-shakl.

**Yechish.** Tekis mexanizmning  $A$  va  $B$  nuqtalarining tezliklaridan perpendikular chiqarib,  $P$  oniy aylanish markazi topiladi. Bu markazga nisbatan:

$$v_A = AP\omega \text{ bundan } \omega = \frac{v_A}{AP}. \quad (a)$$

Shakldan:

$$\cos \varphi = \frac{CP}{AP} = \frac{MB}{AP}, \text{ bundan } AP = \frac{MB}{\cos \varphi}, \quad (b)$$

$$ON = \frac{a \sin \varphi}{1 + \sin \varphi}, \quad NB = OB - ON = \frac{a}{1 + \sin \varphi},$$

$$\cos \varphi = \frac{MB}{NB} \Rightarrow MB = \frac{a \cos \varphi}{1 + \sin \varphi}, \quad AP = \frac{a}{1 + \sin \varphi}.$$

Burchak tezlikdan vaqt bo'yicha bir marta hosila olib, burchak tezlanishi topiladi:

$$\omega = \frac{v_A(1 + \sin \varphi)}{a} \Rightarrow \varepsilon = \dot{\omega} = \left(\frac{v_A}{a}\right)^2 \cos \varphi (1 + \sin \varphi).$$

Shaklning  $A$  nuqtasi vertikal to'g'ri chiziq bo'ylab o'zgarmas tezlik bilan harakatlangani uchun uning tezlanishi nolga teng, shuning uchun tezlanishlar oniy markazi deb  $A$  nuqta olinadi.

Shu  $A$  nuqtaga nisbatan  $M$  nuqtanining  $\dot{W}_{MA}^{(n)}$ ,  $\dot{W}_{MA}^{(t)}$ ,  $\dot{W}_A$  tezlanishlari topiladi:

$$W_{MA}^{(n)} = AM\omega^2 = a \frac{v_A^2(1 + \sin \varphi)^2}{a^2} = \frac{v_A^2}{a}(1 + \sin \varphi)^2,$$

$$W_{MA}^{(t)} = AM \cdot \varepsilon = a \frac{v_A^2 \cos^2 \varphi (1 + \sin \varphi)^2}{a^2} = \frac{v_A^2}{a} \cos^2 \varphi (1 + \sin \varphi)^2.$$

To'la tezlanish topiladi:

$$W = \sqrt{(W_{MA}^{(n)})^2 + (W_{MA}^{(t)})^2} = \frac{v_A^2 \sqrt{2}}{a} (1 + \sin \varphi)^{\frac{3}{2}}.$$

Endi tezlanishning yo'nalishi topiladi:

$$\operatorname{tg} \mu = \frac{\varepsilon}{\omega^2} = \frac{\cos \varphi (1 + \sin \varphi)}{(1 + \sin \varphi)^2} = \frac{\cos^2 \frac{\varphi}{2} - \sin^2 \frac{\varphi}{2}}{(\cos \frac{\varphi}{2} + \sin \frac{\varphi}{2})^2} = \frac{\cos \frac{\varphi}{2} - \sin \frac{\varphi}{2}}{\cos \frac{\varphi}{2} + \sin \frac{\varphi}{2}} = \frac{1 - \operatorname{tg} \frac{\varphi}{2}}{1 + \operatorname{tg} \frac{\varphi}{2}}.$$

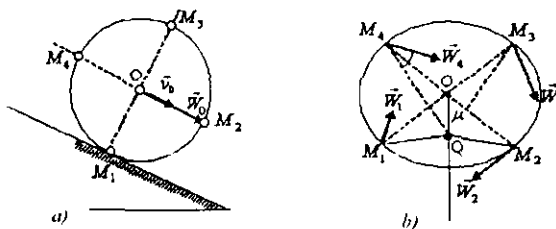
yoki

$$\operatorname{tg} \mu = \operatorname{tg} \left( \frac{\pi}{4} - \frac{\varphi}{2} \right)$$

bundan

$$\mu = \frac{\pi}{4} - \frac{\varphi}{2}.$$

**11-masala (И.В. Мешнерский 18.23).** G'ildirak vertikal tekislikda og'ma to'g'ri chiziqli yo'lda sirg'anmay g'ildiraydi. Ikkita o'zaro perendikular diametrlardan biri relsga parallel bo'lган paytda ular uchlarining tezlanishlari topilsin; shu paytda g'ildirak markazining tezligi  $v_0 = 1 \text{ m/s}$ , tezlanishi  $W_0 = 3 \text{ m/s}^2$ ; g'ildirak radiusi (193-shakl).



193-shakl.

**Yechish.** Masala tezlanishlar oniy markazidan foydalaniб yechiladi. G'ildirakning oniy aylanish markazi uning rels bilan urunish nuqtasi  $M_1$  nuqtada bo'ladi. O nuqtani qutb deb olsak, g'ildirakning aylanish burchak tezligi

$$\omega = \frac{v_0}{R} = \frac{Im / s}{0,5} = 2 \frac{1}{s}. \quad (a)$$

bo'ladi.

G'ildirak markazining tezlanishi qutb nuqtaga nisbatan urinma tezlanishni beradi, shuning uchun

$$\epsilon = \frac{W_0}{R} = \frac{3m / s^2}{0,5} = 6 \frac{1}{s^2}. \quad (b)$$

Endi  $\mu$  burchak topiladi:

$$\operatorname{tg} \mu = \frac{|\epsilon|}{\omega^2} = \frac{6}{4} = \frac{3}{2}.$$

O nuqta tezlanishining musbat yo`nalishi bilan  $\mu$  burchak tashkil qiluvchi yarim to`g`ri chiziq olinadi va bu yarim to`g`ri chiziqda  $O$  nuqtadan boshlab uzunligi

$$OQ = \frac{W_0}{\sqrt{\epsilon^2 + \omega^4}}$$

ga teng kesma ajratiladi.  $Q$  nuqta tezlanishlar oniy markazi bo'ladi:

$$OQ = \frac{3m / s^2}{\sqrt{36 + 16}} = \frac{3}{2\sqrt{13}} m. \quad (d)$$

$\Delta OQM_1$ , dan  $QM_1$  masofa topiladi:

$$QM_1 = \sqrt{R^2 + OQ^2 - 2 \cdot OQ \cdot R \cos(90^\circ - \mu)} = \sqrt{\frac{1}{4} + \frac{9}{52} - 2 \cdot \frac{3}{2\sqrt{13}} \cdot \frac{1}{2} \sin \mu},$$

$$\sin \mu = \frac{\operatorname{tg} \mu}{\sqrt{1 + \operatorname{tg}^2 \mu}} = \frac{2}{\sqrt{1 + \frac{9}{4}}} = \frac{2}{\sqrt{13}},$$

Natijada,

$$QM_1 = \sqrt{\frac{22}{55} - \frac{9}{26}} = \frac{1}{\sqrt{13}} m.$$

$Q$  markazga nisbatan  $M_1$  nuqtaning tezlanishi quyidagicha hisoblanadi:

$$W_1 = QM_1 \sqrt{\varepsilon^2 + \omega^4}.$$

Demak,

$$W_1 = \frac{1}{\sqrt{13}} \cdot \sqrt{36 + 16} \frac{m}{s^2} = 2m/s^2.$$

$\vec{W}_1$  tezlanish  $M_1 Q$  kesma bilan  $\mu$  burchak tashkil qiladi.

Endi  $QM_2$  masofani topamiz:

$$QM_2 = \sqrt{\frac{1}{4} + \frac{9}{52} - 2 \cdot \frac{1}{2} \cdot \frac{3}{2\sqrt{13}} \cos \mu},$$

$$\cos \mu = \frac{1}{\sqrt{1 + \tan^2 \mu}} = \frac{2}{\sqrt{13}},$$

$$QM_2 = \sqrt{\frac{22}{52} - \frac{3}{13}} = \sqrt{\frac{10}{52}}$$

Natijada,

$$W_2 = QM_2 \sqrt{\varepsilon^2 + \omega^4} = \frac{\sqrt{10}}{\sqrt{52}} \cdot \sqrt{52} \approx 3,16m/s^2.$$

Xuddi shunday

$$QM_3 = \sqrt{\frac{1}{4} + \frac{9}{52} - 2 \cdot \frac{1}{2} \cdot \frac{3}{2\sqrt{13}} \cos(90^\circ + \mu)} = \sqrt{\frac{22}{52} + \frac{3}{2\sqrt{13}} \sin \mu} = \frac{\sqrt{10}}{\sqrt{13}} m,$$

$$W_3 = QM_3 \sqrt{\varepsilon^2 + \omega^4} = \frac{\sqrt{10}}{\sqrt{13}} \cdot \sqrt{52} \frac{m}{s^2} \approx 6,32m/s^2$$

$$QM_4 = \sqrt{\frac{22}{52} - 2 \cdot \frac{1}{2} \cdot \frac{3}{2\sqrt{13}} \cos(180^\circ - \mu)} =$$

$$= \sqrt{\frac{22}{52} + \frac{3}{2\sqrt{13}} \cos \mu} = \sqrt{\frac{22}{52} + \frac{3}{13}} = \frac{\sqrt{34}}{\sqrt{52}} m,$$

$$W_4 = QM_4 \sqrt{\varepsilon^2 + \omega^4} = \frac{\sqrt{34}}{\sqrt{52}} \cdot \sqrt{52} \frac{m}{s^2} \approx 5,83m/s^2.$$

---

---

## FOYDALANILGAN ADABIYOTLAR

1. *Н.Н. Бухгольц.* Основной курс теоретической механики. ч.1—2. М.: Наука, 1972.
2. *Н.Н. Никитин.* Курс теоретической механики. М.: — Высшая школа, 1980.
3. *Н.В. Бутенин, Я.Л. Лунц, Д.Р. Меркин.* Курс теоретической механики. т.1—2., М.: Наука — 1985.
4. *А.А. Яблонский.* Курс теоретической механики. М.: — Высшая школа, ч. 1,2., 1984.
5. *М.А. Павловский, Л.Ю. Акинфеева, О.Ф. Бойчук.* Теоретическая механика. — Киев.: Высшая школа, 1990.
6. *М.И. Бать, Г.Ю. Джанелидзе, А.С. Кельзон.* Теоретическая механика в примерах и задачах. — М.: Наука, т.1—2, 1975.
7. *О.Э. Кене.* Сборник коротких задач по теоретической механике. М.:— Высшая школа, 1989.
8. *M.T. O'rozboyev.* Nazariy mexanika asosiy kursi. Toshkent: — 1961.
9. *Mirsaidov M.M., Baymuradova L.I., Giyasova N.T.* Nazariy mexanika. Toshkent «O'zbekiston nashriyoti» Toshkent: — 2008.
10. *T.R. Rashidov, Sh. Shoziyotov, K.B. Mo'minov.* Nazariy mexanika. Т.: O'kituvchi, 1990.
11. *S.Q.Aziz-Qoriyev, Sh.X.Yangurazov.* Nazariy mexanikadan masalalar yechish. Т.: O'qituvchi, 1-2 qism, 1974.
12. *I.V. Meshcherskiy.* Nazariy mexanikadan masalalar to'plami. Т.: — 1989.
13. *А.М. Файн.* Сборник задач по теоретической механике. — М.: Высшая школа, 1978.
14. *To'rayev H.T., Tilavov A.* Nazariy mexanika. Statika. Samarqand: Sam DU Nashri, 2008.
15. *To'rayev H.T., Tilavov A.,* Nazariy mexanika. Kinematika. Samarqand: Sam DU Nashri, 2010.
16. Абу Али ибн Сино и естественные науки. Ташкент.: «Фан», 1981. — С.127.
17. *B. Jo'rayev.* Ibn Sino ijodida fizika va texnika muammolari. Samarqand.: — «Zarafshon», 1996.

---

---

## M U N D A R I J A

KIRISH.....	3
-------------	---

### S T A T I K A

#### *I BOB. STATIKANING ASOSIY AKSIOMALARI.* TEKISLIKDA KESISHUVCHI KUCHLAR SISTEMASI

1.1. Statikaning asosiy tushunchalari va aksiomalari.....	8
1.2. Bog'lanish va bog'lanish reaksiyaları.....	13
1.3. Bir nuqtada kesishuvchi kuchlar sistemasi.....	16
1.4. Tekislikda kesishuvchi kuchlar sistemasining muvozanatiga doir masalalarni yechish bo'yicha uslubiy tavsiyalar.....	20
1.5. Markazga va o'qqa nisbatan kuch hamda kuchlar sistemasining momenti.....	28
1.6. Kuch va kuchlar sistemasining nuqtaga hamda o'qqa nisbatan momentini hisoblash tartibi.....	34

#### *II BOB. PARALLEL KUCHLAR SISTEMASI*

2.1. Parallel kuchlar sistemasi.....	41
2.2. Juftlar nazariyasi.....	45
2.3. Bir tekislikda yotgan parallel kuchlar sistemasining muvozanat shartlari.....	49
2.4. Bir tekislikda yotgan parallel kuchlar sistemasining muvozanatiga doir masalalarni yechish bo'yicha uslubiy tavsiyalar.....	50
2.5. Tekislikda ixtiyoriy ravishda joylashgan kuchlar sistemasining muvozanat shartlari.....	58
2.6. Tekislikda ixtiyoriy ravishda joylashgan kuchlar sistemasining muvozanat shartiga doir masalalarni yechish bo'yicha uslubiy tavsiyalar.....	59
2.7. Parallel kuchlar markazi.....	69
2.8. Og'irlilik markazi.....	73
2.9. Og'irlilik markazining koordinatalarini topish usullari.....	77
2.10. Ba'zi oddiy jismrlarning og'irlilik markazlari.....	79
2.11. Gulen-Pap teoremlari.....	85
2.12. Jismrlarning og'irlilik markazini topishga doir masalalar.....	86

#### *III BOB. TAQSIMLANGAN KUCHLAR SISTEMASI*

3.1. Taqsimlangan kuchlar.....	95
--------------------------------	----

3.2. Taqsimlangan kuchlarga doir masalalar.....	98
3.3. Qattiq jismlar sistemasining muvozanati.....	104
3.4. Qattiq jismlar sistemasining muvozanatiga doir masalalar.....	107

#### **IV BOB. ISHQALANISH VA FERMALAR HISOBI**

4.1. Sirpanishdagagi ishqalanish qonunlari.....	116
4.2. Ishqalanish kuchi tufayli yuzaga keladigan jismlar muvozanatini tekshirishga doir masalalarni yechish uchun uslubiy tavsiyalar.....	118
4.3. Yumalashda hosil bo'ladigan ishqalanish kuchi.....	124
4.4. Yumalashda hosil bo'ladigan ishqalanish kuchini topishga doir masalalar.....	127
4.5. Fermalar hisobi. Ferma sterjenlaridagi zo'riqishlarni tugunlarni qirqish usuli bilan topish.....	130
4.6. Fermalar hisobiga doir masalalarning tugunlarni qirqish usuli bilan yechishga doir uslubiy tavsiyalar.....	131

#### **V BOB. FAZODA KUCHLAR SISTEMASI**

5.1. Fazoda ta'sir chiziqlari bir nuqtada kesishuvchi kuchlar sistemasining muvozanat shartlari.....	140
5.2. Fazoda kesishuvchi kuchlar sistemasining muvozanatiga doir masalalarni yechish uslubi.....	141
5.3. Fazoda juftlar sistemasini qo'shish.....	146
5.4. Fazoda ixtiyoriy ravishda yo'nalgan kuchlar sistemasi.....	149
5.5. Bosh vektor va bosh momentni hisoblash formulalari.....	152
5.6. Kuchlar sistemasini keltirishning xususiy hollari.....	155
5.7. Kuchlar sistemasini keltirishga doir masalalar.....	159
5.8. Fazoda ixtiyoriy ravishda joylashgan kuchlar sistemasining muvozanat shartlari.....	167
5.9. Fazoda ixtiyoriy ravishda joylashgan kuchlar sistemasining muvozanatiga doir masalalarni yechish bo'yicha tavsiyalar.....	168
5.10. Fazoda parallel kuchlar sistemasining muvoznat shartlari.....	177
5.11. Fazoda parallell kuchlari sistemasining muvoznat shartlari.....	179

#### **VI BOB. NUQTA HARAKATINING TENGLAMASI VA KINEMATIK ELEMENTLARI**

6.1. Asosiy tushunchalar.....	183
6.2. Nuqta harakatining berilish usullari.....	185
6.3. Nuqtaning trayektoriya bo'ylab harakat qonuniga doir masalalarni yechish bo'yicha uslubiy tavsiyalar. Masalalar.....	188
6.4. Moddiy nuqtaning tezligi.....	192
6.5. Nuqta tezligini topishga doir masalalarni yechish bo'yicha uslubiy tavsiyalar. Masalakur.....	201

6.6. Moddiy nuqtaning tezlanishi.....	209
6.7. Differensial geometriyadan ba'zi ma'lumotlar.....	211
6.8. Harakati tabiiy usulda berilgan nuqtaning tezlanishi.....	214
6.9. Nuqtaning tekis va tekis o'zgaruvchan harakati.....	217
6.10. Aylana bo'yab harakatlanuvchi nuqtaning tezlanishi.....	218
6.11. Nuqta tezlanishining qutb koordinatalaridagi ifodasi .....	219
6.12. Nuqta tezlanishini topishga doir masalalarni yechish bo'yicha uslubiy tavsiyalar. Masalalar.....	222
6.13. Egri chiziqli koordinatalar.....	231
6.14. Tezlikning egri chiziqli koordinatalardagi ifodasi.....	234
6.15. Tezlanishning egri chiziqli koordinatalardagi ifodasi.....	237
6.16. Egri chiziqli koordinatalar sistemasida nuqta tezligi va tezlanishini topishga doir uslubiy tavsiyalar. Masalalar.....	242

### **VII BOB. QATTIQ JISMNING ILGARILANMA VA QO'ZG'ALMAS O'Q ATROFIDAGI AYLANMA HARAKATI**

7.1. Asosiy tushunchalar va ta'riflar. Mexanik sistema va qattiq jismning erkinlik darajasitavsiyalar.....	248
7.2. Qattiq jismning ilgarilanma harakati.....	250
7.3. Qattiq jismning qo'zg'almas o'q atrofidagi aylanma harakati.....	258

### **VIII BOB. QATTIQ JISMNING TEKIS PARALLEL HARAKATI**

8.1. Asosiy tushunchalar.....	270
8.2. Tekis shakl nuqtalarining tezliklari.....	276
8.3. Tekis shakl nuqtalarining tezlanishlari.....	279
8.4. Tezlanishlar oniy markazi.....	280
8.5. Tekis shaklining o'z tekisligidagi harakat tenglamasi.....	282
8.6. Qattiq jismning tekis parallellar harakatiga doir masalalarni yechish bo'yicha uslubiy tavsiyalar. Masalalar.....	287

FOYDALANILGAN ADABIYOTLAR.....	300
--------------------------------	-----

**УДК: 531.1(075)**  
**КБК 22.21**

**H. T. TO'RAYEV, A. TILAVOV**

**NAZARIY MEXANIKA.  
STATIKA VA KINEMATIKA**

*Darslik*

*Toshkent — «Noshir» — 2012*

*Muharrir X. Po'latxo'jayev  
Musahhih D. Mamadaliyeva  
Badiiy muharrir Sh. Odilov  
Texnik muharrir X. Xamidullayev*

Nashriyot litsenziyasi Al № 200, 28.08.2011-y.  
Bosishga ruxsat etildi 25.08.2012-y. Bichimi 60×84 1/<sub>16</sub>.  
«Times TAD» garniturasi. Offset qog'ozsi. Offset usulida chop etildi  
Hajmi 19,0 b.t. Adadi 500 nusxa. Buyurtma № 52.

«NOSHIR» nashriyoti, Toshkent sh., Langar ko'ch., 78.

«NOSHIR» O'zbekiston-Germaniya qo'shma korxonasi bosmaxonasida chop  
etildi, Toshkent sh., Langar ko'ch., 78.